

Rizki
Ardiyansah_3336210023_Fullte
xt.pdf
by Turnitin

Submission date: 03-Aug-2025 06:20AM (UTC-0500)
Submission ID: 2724436047
File name: Rizki_Ardiyansah_3336210023_Fulltext.pdf (5.38M)
Word count: 68848
Character count: 306580

**PERBANDINGAN PERANCANGAN STRUKTUR GEDUNG
SRPMK MENGGUNAKAN ETABS DAN TEKLA STRUCTURAL
DESIGNER**

SKRIPSI

Disusun sebagai salah satu syarat untuk memperoleh gelar Sarjana Teknik (S.T.)



Disusun Oleh:

RIZKI ARDIYANSAH

3336210023



JURUSAN TEKNIK SIPIL

FAKULTAS TEKNIK

UNIVERSITAS SULTAN AGENG TIRTAYASA

2025

PERNYATAAN KEASLIAN SKRIPSI

Dengan ini saya sebagai penulis Skripsi berikut :

Judul : PERBANDINGAN PERANCANGAN STRUKTUR
GEDUNG SRPMK MENGGUNAKAN ETABS DAN
TEKLA STRUCTURAL DESIGNER

Nama : Rizki Ardiyansah

Nim : 3336210023

Fakultas/Jurusan : Teknik/Teknik Sipil

Menyatakan dengan sesungguhnya bahwa Skripsi tersebut di atas adalah benar-benar hasil karya asli saya dan tidak memuat hasil karya orang lain, kecuali dinyatakan melalui rujukan yang benar dan dapat dipertanggungjawabkan. Apabila dikemudian hari ditemukan hal – hal yang menunjukkan bahwa sebagian atau seluruh karya ini bukan karya saya, maka saya bersedia dituntut melalui hukum yang berlaku. Saya juga bersedia menanggung segala akibat hukum yang timbul dari pernyataan yang secara sadar dan sengaja saya nyatakan melalui lembar ini.

Cilegon, Juni 2025



SKRIPSI
PERBANDINGAN PERANCANGAN STRUKTUR GEDUNG SRPMK
MENGGUNAKAN ETABS DAN TERLA STRUCTURAL DESIGNER

Dipersiapkan dan disusun oleh:

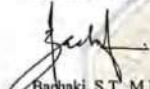
RIZKI ARDIYANSAH / 3336210023

Telah dipertahankan di depan Dewan Pengaji

Pada Tanggal : Juni 2025

Susunan Dewan Pengaji

Dosen Pembimbing I



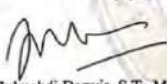
Dr. Baginki, S.T., M.Eng
NIP. 198705082015041001

Dosen Pembimbing II



Dr. Soelarto, S.T., M.Eng
NIP. 198010012008121004

Dosen Pengaji I



Zulmahdi Darwis, S.T., M.Eng
NIP. 197706182008011005

Dosen Pengaji II



Midia Rahma, S.Pd., M.T
NIP. 199601192024062002

Skripsi ini telah diterima sebagai salah satu persyaratan

Untuk memperoleh gelar Sarjana Teknik

Tanggal : Juni 2025

Mengetahui

Ketua Jurusan Teknik Sipil



Dr. Rindu Iwidi Bembary, S.T., M.T
NIP. 198212062010122001

PRAKATA

2 Puji syukur penulis panjatkan kepada Allah SWT, karena atas berkat dan rahmat-Nya, penulis dapat menyelesaikan Skripsi. Skripsi ini diajukan untuk memenuhi salah satu persyaratan memperoleh ³¹ derajat kesarjanaan Strata-1 dalam rangka menyelesaikan studi Strata (S1) di Jurusan Teknik Sipil, Fakultas Teknik, Universitas Sultan Ageng Tirtayasa.

Dalam proses penyusunan skripsi ini saya turut mengucapkan terima kasih yang besar kepada :

- 1) Bapak Baehaki, S.T., M.Eng., selaku dosen pembimbing I Skripsi.
- 2) Bapak Dr. Soelarso, S.T., M.Eng., selaku dosen pembimbing II Skripsi.
- 3) Bapak Zulmahdi Darwis, S.T., M.Eng., selaku dosen pengaji I Skripsi.
- 4) Ibu Midia Rahma, S.Pd., M.T., selaku dosen pengaji II Skripsi.
- 5) Ibu Dr. Rindu Twidi Bethary, ST., MT., selaku Ketua Jurusan Teknik Sipil Fakultas Teknik, Universitas Sultan Ageng Tirtayasa.
- 6) Bapak Ngakan Putu Purnaditya, ST., MT., selaku Kepala Laboratorium Teknik Sipil Universitas Sultan Ageng Tirtayasa.
- 7) Ibu Dwi Ainun Naseha, ST., selaku Admin Jurusan Teknik Sipil, Fakultas Teknik, Universitas Sultan Ageng Tirtayasa.
- 8) PT. Tibki Konsultan Nusantara yang telah memberikan kesempatan dan membantu saya dalam proses pengumpulan data sebagai kebutuhan Skripsi.
- 9) Kedua orang tua tercinta yaitu Bapak Ngadiman dan Ibu Kasianah yang selalu senantiasa memberikan dukungan dan do'anya kepada saya.
- 10) Teman – teman Asisten Laboratorium Teknik Sipil Untirta yang telah memberikan dukungan dan menjadi tempat bagi saya untuk berdiskusi banyak hal selama masa perkuliahan.
- 11) Teman – teman terdekat saya yang telah menemaninya kehidupan saya diluar dunia perkuliahan dan menjadi tempat saya untuk berbagi cerita.

Karena telah memberikan banyak bantuan dan bimbingan kepada saya. Akhir kata semoga Skripsi ini dapat bermanfaat bagi pembacanya.

Cilegon, 2025

Penulis

**PERBANDINGAN PERANCANGAN STRUKTUR GEDUNG
SRPMK MENGGUNAKAN ETABS DAN TEKLA
STRUCTURAL DESIGNER**

Rizki Ardiyansah

INTISARI

Seiring perkembangan teknologi dalam bidang teknik sipil, khususnya dalam perancangan struktur, berbagai perangkat lunak telah dikembangkan untuk membantu dalam perencanaan struktur. Dua di antaranya adalah *ETABS (Extended Three-Dimensional Analysis of Building Systems)* dan *TSD (Tekla Structural Designer)*. Studi ini melakukan perbandingan terhadap kedua perangkat lunak dalam hal gaya gempa, simpangan, dan detailing tulangan yang dihasilkan oleh kedua prangkat lunak.

Studi ini bertujuan untuk mengetahui perbandingan nilai gaya gempa, simpangan, dan detailing tulangan yang dihasilkan kedua perangkat lunak. Penelitian dilakukan pada gedung imajiner dengan sistem rangka pemikir momen khusus (SRPMK), fungsi gedung sebagai perkantoran dengan jumlah 10 lantai, tinggi antar lantai 4 meter, panjang 30 meter, dan lebar 18 meter. Perencanaan struktur mengacu pada SNI 1726:2019, SNI 1727:2020, SNI 2847:2019, ACI 318-14, dan ASCE 7-16. Perhitungan dibantu dengan *Microsoft Excel*, *ETABS*, dan *TSD*.

Hasil menunjukkan bahwa *TSD* menghasilkan gaya gempa lebih besar dari *ETABS*, dengan selisih maksimum 680,374 kg pada lantai 10. Simpangan antar tingkat pada keduanya sama. Rasio tulangan lentur pelat, tulangan geser balok, dan tulangan lentur kolom lebih besar di *TSD*, sedangkan rasio lentur balok lebih besar di *ETABS*. Rasio tulangan geser kolom dan sambungan balok-kolom menunjukkan hasil yang sama pada kedua perangkat lunak. Dalam perencanaan struktur gedung, disarankan untuk memilih acuan standar yang digunakan karena berpengaruh pada nilai-nilai yang dihasilkan.

Kata kunci: SRPMK, *ETABS*, *Tekla Structural Designer*, gaya gempa, tulangan, struktur gedung

**Comparison of Structural Design for SMRF Buildings Using
ETABS and Tekla Structural Designer**

Rizki Ardiyansah

ABSTRACT

With the advancement of technology in the field of civil engineering, particularly in structural design, various software programs have been developed to assist in structural planning. Two of these are ETABS (Extended Three-Dimensional Analysis of Building Systems) and TSD (Tekla Structural Designer). This study compares both software programs in terms of seismic forces, displacements, and reinforcement detailing produced by each.

The objective of this study is to identify the differences in seismic force values, displacements, and reinforcement detailing produced by the two software programs. The research is conducted on a hypothetical building with a Special Moment Resisting Frame (SMRF) system, designed as a 10-story office building with a floor-to-floor height of 4 meters, a length of 30 meters, and a width of 18 meters. The structural design is based on SNI 1726:2019, SNI 1727:2020, SNI 2847:2019, ACI 318-14, and ASCE 7-16. The calculations are supported by Microsoft Excel, ETABS, and TSD.

The results show that TSD generates higher seismic forces than ETABS, with a maximum difference of 680.374 kg on the 10th floor. The inter-story drifts from both software are identical. The flexural reinforcement ratio of slabs, shear reinforcement of beams, and flexural reinforcement of columns are greater in TSD, while the flexural reinforcement ratio of beams is higher in ETABS. The shear reinforcement ratio of columns and the reinforcement of beam-column joints yielded the same results in both software. In structural design, it is recommended to carefully consider the design standards being applied, as they significantly influence the resulting values.

Keywords: SMRF, ETABS, Tekla Structural Designer, seismic load, reinforcement ratio, structural design

8
DAFTAR ISI

HALAMAN JUDUL	i
HALAMAN PERNYATAAN.....	ii
HALAMAN PENGESAHAN.....	iii
PRAKATA	iv
INTISARI	v
ABSTRACT	vi
DAFTAR ISI.....	vii
DAFTAR TABEL	x
DAFTAR GAMBAR	xiii
DAFTAR ISTILAH	xxi
BAB 1 PENDAHULUAN	
1.1 Latar Belakang	1
1.2 Rumusan Masalah	2
1.3 Tujuan Penelitian	2
1.4 Batasan Masalah.....	2
1.5 Manfaat Penelitian	3
1.6 Keaslian Penelitian.....	3
BAB 2 TINJAUAN PUSTAKA	
2.1 Gaya Gempa dan Simpangan Antar Tingkat	2 4 19
2.2 Sistem Rangka Pemikul Momen Khusus	4
2.3 Keterkaitan Penelitian	6
BAB 3 LANDASAN TEORI	
3.1 Struktur Beton Bertulang	9
3.2 Daktilitas	10
3.3 Sistem Struktur Bangunan Gedung Tahan Gempa	10 2
3.4 Pembebanan	11
3.4.1 Beban mati	11
3.4.2 Beban hidup	11
3.4.3 Beban gempa.....	12

3.4.4 Kombinasi beban.....	18
3.5 Simpangan Antar Tingkat	20
3.6 Pelat	21
3.7 Balok	22
3.8 Kolom	33
3.9 Hubungan Balok-Kolom (HBK)	42

BAB 4 METODE PENELITIAN

4.1 Umum.....	45
4.2 Bagan Alir Metode Penelitian	45
4.3 Tahapan Penelitian	46
4.4 Pedoman Analisa Struktur.....	48
4.5 Deskripsi Gedung.....	48
4.6 Parameter Gedung dan Data Response Spektra	49
4.7 Data Material.....	50
4.8 Jadwal Penelitian.....	50

BAB 5 ANALISIS DAN PEMBAHASAN

5.1 Spesifikasi Gedung	51
5.1.1 Data perencanaan	51
5.1.2 Data Jumlah dan Fungsi Lantai	52
5.1.3 Geometri Struktur.....	53
5.2 Analisis Pembebaan	54
5.2.1 Beban mati (DL)	54
5.2.2 Beban mati tambahan (SDL).....	54
5.2.3 Beban hidup (LL)	55
5.2.4 Beban gempa.....	55
5.3 Kombinasi Beban	61
5.4 Perkiraan Awal Dimensi Struktur	69
5.4.1 Perkiraan awal dimensi balok	69
5.4.2 Perkiraan awal dimensi pelat	72
5.4.3 Perkiraan awal dimensi kolom	74
5.5 Permodelan Struktur.....	81

5.5 Permodelan struktur pada <i>ETABS</i>	82
5.5 Permodelan struktur pada TSD	99
5.6 Hasil Analisis Struktur	109
5.6.1 Berat seismik aktif	109
5.6.2 Periode getar alami	113
5.6.3 Gaya lateral akibat gempa	114
5.6.4 Displacement	119
5.6.5 Simpangan struktur	119
5.6.6 Pengaruh P-Δ	127
5.6.7 Analisa ketidakberaturan struktur	129
5.7 Desain Elemen Struktur	142
5.7.1 Desain pelat	142
5.7.2 Desain balok	149
5.7.3 Desain kolom	166
5.7.4 Desain hubungan balok-kolom (HBK)	188

BAB 6 KESIMPULAN DAN SARAN

6.1 Kesimpulan	196
6.2 Saran	196

DAFTAR PUSTAKA**LAMPIRAN**

DAFTAR TABEL

Tabel 2.1 Penelitian Terdahulu yang Relevan	7
Tabel 3.1 Nilai Parameter Periode Pendekatan ¹⁹	13
Tabel 3.2 Pemilihan Faktor Keutamaan Gempa	14
Tabel 3.3 Faktor R, Cd, dan Ω_0 Untuk Sistem Pemikul Gaya Seismik	14
Tabel 3.4 Spasi Maksimum Tulangan Geser Balok	28
Tabel 4.1 Jadwal Penelitian Penulis	50
Tabel 5.1 Jumlah dan Fungsi Lantai	52
Tabel 5.2 Kategori Risiko	55
Tabel 5.3 Pemilihan Faktor Keutamaan Gempa ⁴⁴	56
Tabel 5.4 Koefisien Situs, F_d	57
Tabel 5.5 Koefisien Situs, F_V	57
Tabel 5.6 Kategori Desain Seismik Periode Pendek	57
Tabel 5.7 Kategori Desain Seismik Periode 1 Detik	57
Tabel 5.8 Pemilihan Faktor R, Cd, dan Ω_0 Untuk Sistem Pemikul Gaya Seismik	58
Tabel 5.9 Prosedur Analisis Yang Diizinkan	58
Tabel 5.10 Rekapitulasi Kombinasi Beban	69
Tabel 5.11 Pemilihan Tinggi Minimum Balok Nonprategang ³⁰	69
Tabel 5.12 Ketebalan Minimum Pelat Dua Arah Nonprategang Dengan Balok Di Antara Tumpuan Pada Semua Sisinya	73
Tabel 5.13 Pembebaan Tributary Area Lantai 10	77
Tabel 5.14 Pembebaan Tributary Area Per Lantai 5-9	78
Tabel 5.15 Pembebaan Tributary Area Per Lantai 1-4	79
Tabel 5.16 Momen Inersia Dan Luas Penampang Yang Diizinkan Untuk Analisis Elastis Pada Level Beban Terfaktor	84
Tabel 5.17 Perhitungan Manual Berat Seismik Aktif Lantai 10	110
Tabel 5.18 Perhitungan Manual Berat Seismik Aktif Lantai 6-9	111
Tabel 5.19 Perhitungan Manual Berat Seismik Aktif Lantai 5	111
Tabel 5.20 Perhitungan Manual Berat Seismik Aktif Lantai 1-4	112
Tabel 5.21 Rekapitulasi Hasil Berat Seismik Aktif Manual Dan Perangkat Lunak	112

Tabel 5.22 Perbandingan Hasil Berat Seismik Aktif <i>ETABS</i> dengan <i>TSD</i>	112
Tabel 5.23 Pemilihan Nilai Parameter Periode Pendekatan.....	113
Tabel 5.24 Koefisien Batas Atas Periode.....	114
Tabel 5.25 Hasil Output Periode Getar Alami.....	114
Tabel 5.26 Hasil Output Periode Getar Alami.....	114
Tabel 5.27 Perhitungan Pembebatan Gempa Statik Ekivalen Arah X	117
Tabel 5.28 Perhitungan Pembebatan Gempa Statik Ekivalen Arah Y	117
Tabel 5.29 Hasil Gaya Lateral Dengan Prosedur Analisis Gempa Statik	
Arah X.....	118
Tabel 5.30 Perbandingan Gaya Lateral <i>ETABS</i> Dengan <i>TSD</i>	118
Tabel 5.31 Hasil Output <i>Displacement</i> Dengan Prosedur Analisis Gempa	
Statik	119
Tabel 5.32 Pengecekan Syarat Redudansi	120
Tabel 5.33 Simpangan Antar Tingkat Izin Menurut SNI 1726:2019	120
Tabel 5.34 Hasil Analisis Simpangan Antar Lantai	121
Tabel 5.35 Hasil Analisis Simpangan Total.....	122
Tabel 5.36 Penggantian Dimensi Elemen Struktur	123
Tabel 5.37 Rekapitulasi Berat Seismik Aktif Setelah Pergantian Dimensi	
Struktur.....	124
Tabel 5.38 Rekapitulasi Periode Getar Alami Setelah Pergantian Dimensi	
Struktur.....	124
Tabel 5.39 Rekapitulasi Gaya Lateral Setelah Pergantian Dimensi Struktur ..	124
Tabel 5.40 Rekapitulasi Simpangan Antar Lantai Setelah Pergantian Dimensi	
Struktur.....	125
Tabel 5.41 Rekapitulasi Simpangan Total Setelah Pergantian Dimensi	
Struktur.....	125
Tabel 5.42 Hasil Analisis Pengaruh P-Δ Setiap Lantai (<i>ETABS</i>)	128
Tabel 5.43 Hasil Analisis Pengaruh P-Δ Setiap Lantai (<i>TSD</i>)	129
Tabel 5.44 Ketidakberaturan Horizontal Pada Struktur	129
Tabel 5.45 Ketidakberaturan Horizontal Kategori 1a dan 1b Arah X	
(<i>ETABS</i>)	132
Tabel 5.46 Ketidakberaturan Horizontal Kategori 1a dan 1b Arah Y	

.....	132
Tabel 5.47 Ketidakberaturan Horizontal Kategori 1a dan 1b Arah X (TSD)...	132
Tabel 5.48 Ketidakberaturan Horizontal Kategori 1a dan 1b Arah Y (TSD)...	132
Tabel 5.49 Ketidakberaturan Vertikal Pada Struktur.....	136
Tabel 5.50 Rekapitulasi Kekakuan Lateral Setiap Lantai	138
Tabel 5.51 Analisa Ketidakberaturan Vertikal Kategori 1a.....	139
Tabel 5.52 Analisa Ketidakberaturan Vertikal Kategori 1b.....	139
Tabel 5.53 Analisa Ketidakberaturan Massa Kategori 2	140
Tabel 5.54 Rekapitulasi Gaya Momen Yang Terjadi Pada Pelat Lantai.....	145
Tabel 5.55 Rekapitulasi Hasil Desain Tulangan Lentur Pelat	148
Tabel 5.56 Rekapitulasi Momen Ultimit Pada Balok (Grid 2C-D)	150
Tabel 5.57 Rekapitulasi Hasil Desain Tulangan Lentur Balok (Grid 2C-D Lantai 1)	154
Tabel 5.58 Pemilihan Ve Pakai	157
³⁶ Tabel 5.59 Syarat Gaya Geser di Muka Kolom Kiri dan Kanan	158
Tabel 5.60 Hasil Desain Tulangan Geser Pada Balok	160
Tabel 5.61 Rekapitulasi Perhitungan Desain Tulangan Torsi Balok (Grid 2C-D)	161
Tabel 5.62 Pengecekan Kekuatan Momen Pada Tumpuan Balok SRPMK....	163
Tabel 5.63 Pengecekan Kekuatan Momen Pada Sepanjang Bentang Balok SRPMK	164
Tabel 5.64 Pengecekan Kelangsingan Kolom	169
¹ Tabel 5.65 Rekapitulasi Perhitungan Nilai $\bar{\sigma}_{Mn}$ dan $\bar{\sigma}_{Pn}$ Arah X dan Arah Y.....	174
Tabel 5.66 Data nilai P, M3, dan M2 pada Kolom K1 (Grid 2/D Lantai 1)	176
Tabel 5.67 Rekapitulasi Pengecekan Kapasitas Kolom K1 (Grid 2/D Lantai 1)	177
Tabel 5.68 Gaya Aksial Yang Terjadi Pada Kolom Desain, Atas, dan Bawah	179
¹ Tabel 5.69 Pemilihan Gaya Geser Ultimit Kolom	183
¹ Tabel 5.70 Rekapitulasi Perhitungan Desain Tulangan Geser Kolom.....	185
¹ Tabel 5.71 Rekapitulasi Perbandingan Hasil Desain Tulangan Geser Kolom.	188
Tabel 5.72 Rekapitulasi Hasil Desain Tulangan Geser HBK	194

DAFTAR GAMBAR

Gambar 1.1 Hotel Roa Roa Sebelum Dan Sesudah Terjadinya Gempa	1
Gambar 2.1 Flowchart Keterkaitan Penelitian Terhadap Penelitian Terdahulu	6
Gambar 3.1 Hubungan Tegangan Dan Regangan Beton	9
Gambar 3.2 Diagram Regangan Pada Balok Lentur, (a) <i>compression-controlled section</i> , (b) <i>transition region</i> , dan (c) <i>tension-controlled section</i>	10
Gambar 3.3 Konsep Dasar Metode Statik Ekuivalen.....	12
Gambar 3.4 Konsep Perhitungan Beban Pada Bangunan	13
¹ Gambar 3.5 Peta transisi periode panjang (TL) Wilayah Indonesia	14
Gambar 3.6 Grafik respon spektrum	16
Gambar 3.7 Diagram Alir Analisis Gaya Geser Gempa (V) Sesuai SNI 1726:2019.....	18
Gambar 3.8 Ilustrasi Arah Datang Gempa	19
Gambar 3.9 Simpangan Antar Lantai	20
Gambar 3.10 Diagram Alir Prosedur Desain Tulangan Lentur Pelat	22
Gambar 3.11 Lentur Pada Balok Beton Bertulang.....	23
Gambar 3.12 Variasi nilai faktor reduksi (ϕ) sesuai kategori penampang	23
Gambar 3.13 Diagram Tegangan Regangan Balok Tulangan Tunggal	24
Gambar 3.14 Diagram Alir Prosedur Desain Tulangan Lentur Balok	27
Gambar 3.15 Sengkang Pada Balok	27
Gambar 3.16 Diagram Alir Prosedur Desain Tulangan Sengkang Balok.....	30
Gambar 3.17 Gaya Torsi Pada Balok	31
Gambar 3.18 Diagram Alir Prosedur Desain Tulangan Torsi Balok	33
Gambar 3.19. (a) Beban aksial dan momen lentur (b) Beban eksentris	34
Gambar 3.20. Beban Terkonsentrasi	35
Gambar 3.21. Kondisi Regangan Berimbang Untuk Penampang Persegi	36
Gambar 3.22. Diagram Interaksi Kolom	37
Gambar 3.23. Diagram Alir Prosedur Desain Tulangan Lentur Kolom	38

Gambar 3.24 Momen Mpr Kolom	40
Gambar 3.25 Momen Probabilitas Balok Pada Kolom	40
Gambar 3.26 Diagram Alir Perhitungan Tulangan Geser Kolom.....	42
Gambar 3.27 Model 3D Skema Analisis HBK	43
Gambar 3.28 Diagram Alir Prosedur Desain Tulangan Geser Joint	44
19 Gambar 4.1 Diagram alir penelitian	46
Gambar 4.2 (a) Potongan 1-1 dan (b) Potongan A-A	48
2 Gambar 4.3 Denah Gedung.....	49
1 Gambar 4.4 Tampak 3D Gedung	49
Gambar 5.1 Lokasi Gedung Rencana.....	51
Gambar 5.2 Denah Bangunan	53
Gambar 5.3 Potongan A-A.....	53
Gambar 5.4 Potongan 1-1	54
Gambar 5.5 Website RSA Cipta Karya	57
Gambar 5.6 Grafik Spektrum Respons Desain Jakarta Dengan Tanah Lunak	61
Gambar 5.7 Ilustrasi Arah Datang Gempa	63
Gambar 5.8 Ilustrasi Arah Gaya Gempa Kombinasi 3	63
Gambar 5.9 Ilustrasi Arah Gaya Gempa Kombinasi 4	64
Gambar 5.10 Ilustrasi Arah Gaya Gempa Kombinasi 5	64
Gambar 5.11 Ilustrasi Arah Gaya Gempa Kombinasi 6	64
Gambar 5.12 Ilustrasi Arah Gaya Gempa Kombinasi 7	65
Gambar 5.13 Ilustrasi Arah Gaya Gempa Kombinasi 8	65
Gambar 5.14 Ilustrasi Arah Gaya Gempa Kombinasi 9	65
Gambar 5.15 Ilustrasi Arah Gaya Gempa Kombinasi 10	66
Gambar 5.16 Ilustrasi Arah Gaya Gempa Kombinasi 11	66
Gambar 5.17 Ilustrasi Arah Gaya Gempa Kombinasi 12	66
Gambar 5.18 Ilustrasi Arah Gaya Gempa Kombinasi 13	67
Gambar 5.19 Ilustrasi Arah Gaya Gempa Kombinasi 14	67
Gambar 5.20 Ilustrasi Arah Gaya Gempa Kombinasi 15	67
Gambar 5.21 Ilustrasi Arah Gaya Gempa Kombinasi 16	68
Gambar 5.22 Ilustrasi Arah Gaya Gempa Kombinasi 17	68
Gambar 5.23 Ilustrasi Arah Gaya Gempa Kombinasi 18	68

Gambar 5.24 Ilustrasi Kondisi Perletakan (a) Perletakan sederhana,	
(b) Perletakan menerus, dan (c) Perletakan kantilever.....	70
Gambar 5.25 Ilustrasi Kondisi Perletakan Balok Pada Penclitian	70
6 Gambar 5.26 Denah Balok Lantai 1-5	71
7 Gambar 5.27 Denah Balok Lantai 6-10	71
Gambar 5.28 Penampang Balok – Pelat.....	72
Gambar 5.29 Denah Pelat Lantai 1-10.....	74
2 Gambar 5.30 Lokasi Kolom Yang Ditinjau	75
Gambar 5.31 Potongan Kolom Yang Ditinjau.....	75
29 Gambar 5.32 3D Tributary Area Kolom C-3	76
Gambar 5.33 Denah Kolom Lantai 1-4.....	81
5 Gambar 5.34 Denah Kolom Lantai 5-9.....	81
6 Gambar 5.35 Pengaturan Permodelan Pada ETABS	82
Gambar 5.36 Pengaturan Grid Dan Story Pada ETABS	82
Gambar 5.37 Denah Grid Pada ETABS	83
Gambar 5.38 Pendefinisian Material Beton Fc' 30 Mpa Pada ETABS	83
Gambar 5.39 Pendefinisian Elemen Balok Induk (B1) Pada ETABS	84
Gambar 5.40 Pendefinisian Elemen Balok Induk (B2) Pada ETABS	85
Gambar 5.41 Pendefinisian Elemen Balok Anak (B3) Pada ETABS	85
Gambar 5.42 Pendefinisian Elemen Kolom (K1) Pada ETABS	85
Gambar 5.43 Pendefinisian Elemen Kolom (K2) Pada ETABS	86
2 Gambar 5.44 Pendefinisian Elemen Pelat Pada ETABS.....	86
5 Gambar 5.45 Permodelan Struktur Pada ETABS	86
6 Gambar 5.46 Denah Lantai 1-5 Pada ETABS	87
Gambar 5.47 Denah Lantai 6-10 Pada ETABS	87
Gambar 5.48 Potongan 1 - 1 Pada ETABS	88
Gambar 5.49 Potongan A - A Pada ETABS	88
Gambar 5.50 Beban Mati Tambahan (SDL) Pelat Lantai 1-10 Pada ETABS ..	89
Gambar 5.51 Tampak 3D Beban Mati Tambahan (SDL) Pelat Pada ETABS..	89
Gambar 5.52 Beban Mati Tambahan (SDL) Dinding Lantai 1-4 Pada ETABS90	
Gambar 5.53 Beban Mati Tambahan (SDL) Dinding Lantai 5-9 Pada ETABS90	
Gambar 5.54 Beban Mati Tambahan (SDL) Dinding Lantai 10 Pada ETABS	91

Gambar 5.55 Tampak 3D Beban Mati Tambahan (SDL) Dinding Pada <i>ETABS</i>	91
Gambar 5.56 Beban Hidup (LL) Lantai 1-9 Pada <i>ETABS</i>	92
Gambar 5.57 Beban Hidup (LL) Lantai 10 Pada <i>ETABS</i>	92
Gambar 5.58 Tampak 3D Beban Hidup (LL) Pelat Pada <i>ETABS</i>	93
Gambar 5.59 Permodelan Diafragma Pada <i>ETABS</i>	93
Gambar 5.60 Penginputan <i>Mass Source</i> Pada <i>ETABS</i>	94
Gambar 5.61 Penamaan Beban Pada <i>ETABS</i>	94
Gambar 5.62 Penginputan Beban Gempa Statis Arah X Pada <i>ETABS</i>	95
Gambar 5.63 Penginputan Beban Gempa Statis Arah Y Pada <i>ETABS</i>	95
Gambar 5.64 Penginputan Respon Spektrum Pada <i>ETABS</i>	96
Gambar 5.65 Pendefinisiian Beban Dinamik Arah X dan Y Pada <i>ETABS</i>	96
Gambar 5.66 Penginputan Kombinasi Beban Pada <i>ETABS</i>	97
Gambar 5.67 Jenis Perletakan Kolom Pada <i>ETABS</i>	97
Gambar 5.68 <i>End Length Offset</i> Dan <i>Rigid Zone Factor</i> Pada <i>ETABS</i>	98
Gambar 5.69 Pengaturan <i>Load Case</i> Yang Akan Running Pada <i>ETABS</i>	98
Gambar 5.70 Pengaturan Kode Desain Pada <i>TSD</i>	99
Gambar 5.71 Pengaturan <i>Grid</i> Pada <i>TSD</i>	99
Gambar 5.72 Pengaturan Jumlah Dan Ketinggian Lantai Pada <i>TSD</i>	99
Gambar 5.73 Denah <i>Grid</i> Pada <i>TSD</i>	100
Gambar 5.74 Pendefinisiian Material Beton $f_c' = 30$ Mpa Pada <i>ETABS</i>	100
Gambar 5.75 Modifikasi Faktor Elemen Pada <i>TSD</i>	101
Gambar 5.76 Pendefinisiian Elemen Balok Induk (B1) Pada <i>TSD</i>	101
Gambar 5.77 Pendefinisiian Elemen Balok Induk (B2) Pada <i>TSD</i>	101
Gambar 5.78 Pendefinisiian Elemen Balok Anak (B3) Pada <i>TSD</i>	102
Gambar 5.79 Pendefinisiian Elemen Kolom (K1) Pada <i>TSD</i>	102
Gambar 5.80 Pendefinisiian Elemen Kolom (K2) Pada <i>TSD</i>	103
Gambar 5.81 Pendefinisiian Elemen Pelat Pada <i>TSD</i>	103
Gambar 5.82 Permodelan 3D Pada <i>TSD</i>	104
Gambar 5.83 Denah Lantai 1-10 Pada <i>TSD</i>	105
Gambar 5.84 Beban Mati Tambahan (SDL) Pelat dan Dinding Lantai 1-10	

Pada <i>TSD</i>	105
Gambar 5.85 Beban Hidup (LL) Lantai 1-10 Pada <i>TSD</i>	105
Gambar 5.86 Penginputan Beban Gempa Statis Pada <i>TSD</i>	106
Gambar 5.87 Analisis Gempa Statik Dan Ketidakberaturan Struktur Pada <i>TSD</i>	106
Gambar 5.88 Penginputan Periode Dan Tipe Struktur Pada <i>TSD</i>	107
Gambar 5.89 Penginputan Sistem Struktur Pada <i>TSD</i>	107
Gambar 5.90 Penginputan Berat Seismik Pada <i>TSD</i>	107
Gambar 5.90 Pemilihan Kombinasi Pada <i>TSD</i>	108
Gambar 5.91 Hasil <i>Generate</i> Otomatis Pada <i>TSD</i>	108
Gambar 5.92 Jenis Perlakuan Kolom Pada <i>TSD</i>	108
Gambar 5.93 <i>End Length Offset</i> Dan <i>Rigid Zone Factor</i> Pada <i>TSD</i>	109
Gambar 5.94 Fitur Analisis Dan Desain Pada <i>TSD</i>	109
Gambar 5.95 Ilustrasi Konsep Distribusi Berat Seismik Aktif Tiap Lantai ...	110
Gambar 5.96 Ilustrasi Penggunaan C sperlu Arah X	115
Gambar 5.97 Grafik Gaya Gempa	119
Gambar 5.98 Grafik Simpangan Antar Lantai	122
Gambar 5.99 Grafik Simpangan Total	123
Gambar 5.100 Grafik Simpangan Antar Lantai Setelah Pergantian Dimensi Struktur	126
Gambar 5.101 Grafik Simpangan Total Setelah Pergantian Dimensi Struktur	126
Gambar 5.102 Ketidakberaturan Horizontal Kategori 1a dan 1b	130
Gambar 5.103 Ketidakberaturan Horizontal Kategori 2	134
Gambar 5.104 Ketidakberaturan Horizontal Kategori 3	134
Gambar 5.105 Ketidakberaturan Horizontal Kategori 4	135
Gambar 5.106 Ketidakberaturan Horizontal Kategori 5	135
Gambar 5.107 Ketidakberaturan Vertikal Kategori 1a dan 1b	137
Gambar 5.108 Ketidakberaturan Vertikal Kategori 2	140
Gambar 5.109 Ketidakberaturan Vertikal Kategori 3	141
Gambar 5.110 Ketidakberaturan Vertikal Kategori 4	142
Gambar 5.111 Ketidakberaturan Vertikal Kategori 5	142
Gambar 5.112 Pelat Yang Didesain Pada Lantai 10 Grid 2-3/A-B	143

Gambar 5.113 Distribusi Momen Pelat Pada <i>ETABS</i> (a) Arah x (b) Arah Y .. ³⁷ 143
Gambar 5.114 Distribusi Momen Pelat Tinjauan Pada <i>ETABS</i> (a) Arah x (b) Arah Y .. ³⁷ 144
Gambar 5.115 Distribusi Momen Pelat Pada <i>TSD</i> (a) Arah x (b) Arah Y .. ³⁷ 144
Gambar 5.116 Distribusi Momen Pelat Tinjauan Pada <i>TSD</i> (a) Arah x (b) Arah Y .. ³⁷ 145
Gambar 5.117 Tampilan Perhitungan Otomatis Desain Tulangan Lentur Pelat Pada <i>TSD</i> 148
Gambar 5.118 Potongan A-A Pelat..... 148
Gambar 5.119 Potongan B-B Pelat..... 148
Gambar 5.120 Penulangan Pelat 149
Gambar 5.121 3D Penulangan Pelat 149
Gambar 5.122 Balok Tinjauan (Grid 2/C-D Lantai 1) 150
Gambar 5.123 Diagram Tegangan Regangan pada Balok Tulangan Tumpuan Atas 153
Gambar 5.124 Tampilan Perhitungan Otomatis Tulangan Lentur Tumpuan Atas Balok (Grid 2C-D Lantai 1) Pada <i>TSD</i> 154
Gambar 5.125 Kuat Lentur Mungkin Maksimum (Mpr1 dan Mpr3) Pada Balok Akibat Goyangan ke Kanan 155
Gambar 5.126 Kuat Lentur Mungkin Maksimum (Mpr2 dan Mpr4) Pada Balok Akibat Goyangan ke Kiri 156
Gambar 5.127 Diagram Gaya Geser Balok (Grid 2C-D Lantai 1) <i>ETABS</i> 157
Gambar 5.128 Tampilan Perhitungan Otomatis Tulangan Geser Sendi Plastis Balok (Grid 2C-D) Pada <i>TSD</i> 160
Gambar 5.129 Perhitungan Otomatis Maksimum Tinggi Efektif Izin Balok Pada <i>TSD</i> 162
Gambar 5.130 Perhitungan Otomatis Minimum Lebar Izin Balok Pada <i>TSD</i> . 162
Gambar 5.131 Perhitungan Otomatis Maksimum Lebar Balok Pada <i>TSD</i> 163
Gambar 5.132 Perhitungan Syarat Momen Tumpuan Balok SRPMK Pada <i>TSD</i> 163
Gambar 5.133 Perhitungan Syarat Momen Tumpuan Balok SRPMK Pada <i>TSD</i> 164

Gambar 5.134 Potongan Portal Balok B1(Grid 2C-D)	164
Gambar 5.135 Detail Penulangan Balok B1 (Grid 2C-D)	165
Gambar 5.136 Potongan Portal Balok B1 (Grid 2C-D) Hasil <i>TSD</i>	165
Gambar 5.137 Detail Penulangan Balok B1 (Grid 2C-D) Hasil <i>TSD</i>	165
Gambar 5.138 Lokasi Kolom Kolom Tinjauan (Grid 2/D Lantai 1)	166
Gambar 5.139 Perhitungan Otomatis Pengecekan Kolom Pendek/Panjang Pada <i>TSD</i>	168
Gambar 5.140 Diagram Tegangan Regangan Kondisi $c = cb$	170
Gambar 5.141 Diagram Tegangan Regangan Kondisi $c > cb$	171
Gambar 5.142 Diagram Tegangan Regangan Kondisi $c < cb$	173
Gambar 5.143 Diagram Interaksi Uniaksial (P-M3) Kapasitas Kolom K1 (Grid 2/D lantai 1).....	175
Gambar 5.144 Diagram Interaksi Uniaksial (P-M2) Kapasitas Kolom K1 (Grid 2/D lantai 1).....	175
Gambar 5.145 Pengecekan Kapasitas Pada Diagram Uniaxial (P-M3) Kolom K1 (Grid 2/D lantai 1).....	176
Gambar 5.146 Pengecekan Kapasitas Pada Diagram Uniaxial (P-M2) Kolom K1 (Grid 2/D lantai 1).....	176
Gambar 5.147 Diagram Biaxial Metode ACI (Beban M2max).....	177
Gambar 5.148 Ilustrasi Kuat Kolom Balok Lemah (Gempa Kanan).....	178
Gambar 5.149 Diagram Interaksi Kapasitas Momen Kolom Desain.....	179
Gambar 5.150 Pengecekan Otomatis Kuat Kolom Balok Lemah Pada <i>TSD</i> ... 180	
Gambar 5.151 Kapasitas Momen Max ($f_y = 1,25$ dan $\phi = 1$) Kolom K1.....	182
Gambar 5.152 Momen Ujung (Mpr) Pada Kolom	182
Gambar 5.153 Tampilan Perhitungan Otomatis Desain Tulangan Geser Kolom Pada <i>TSD</i>	185
Gambar 5.154 Potongan Kolom K1 Grid 2/D Lantai 1	186
Gambar 5.155 (a) Detail kolom daerah lo, (b) Detail kolom luar daerah lo	186
Gambar 5.156 Hasil Gambar Potongan Kolom Grid 2/D Lantai 1 (Hasil <i>TSD</i>)	187
Gambar 5.157 Hasil Gambar Detail Kolom Grid 2/D Lantai 1 (Hasil <i>TSD</i>)... 187	
Gambar 5.158 Perhitungan Otomatis Syarat Dimensi Kolom (K11) SRPMK	

Pada <i>TSD</i>	188
Gambar 5.159 Skema Hubungan Balok-Kolom	189
Gambar 5.160 Skema Momen Kapasitas Arah Y ketika Gempa Kanan	190
Gambar 5.161 Skema Momen Kapasitas Arah Y ketika Gempa Kiri	190
Gambar 5.162 Detail Joint 2/D-2	194
Gambar 5.163 Potongan Joint (a) Arah X dan (b) Arah Y	194
Gambar 5.164 3D Joint 2/D-2	195
Gambar 5.165 Tampilan Perhitungan Kapasitas Geser Joint 2/D-2 Pada <i>TSD</i> 195	

DAFTAR ISTILAH

Istilah	Keterangan
P	: Beban terpusat (kN)
d	: Tinggi efektif balok (m)
c	: Tinggi garis netral (mm)
d_t	: Jarak lapisan terluar tulangan tarik terhadap scrat tekan balok (mm)
ϵ_t	: Regangan tulangan tarik
ϵ_{cu}	: Regangan penampang beton
a	: Tinggi blok tekan beton (mm).
d	: Tinggi efektif balok (mm).
b	: Lebar balok (mm).
f_c'	: Kuat tekan beton (Mpa).
A_s	: Luas tulangan (mm^2).
f_y	: Kuat leleh tulangan longitudinal (Mpa).
β_1	: Koefisien reduksi tinggi garis netral.
ρ	: Rasio tulangan.
ϵ_s	: Regangan tulangan baja.
ϵ_{cu}	: Regangan penampang beton.
V_u	: Gaya geser <i>ultimate</i> (kN).
V_c	: Kuat geser beton (kN).
V_s	: Kuat geser tulangan geser (kN).
s	: Spasi tulangan geser (mm).
f_{yt}	: Kuat leleh tulangan geser (Mpa).
A_y	: Luas tulangan geser (mm^2).
λ	: Koefisien faktor modifikasi beton
T_n	: Momen torsi nominal (kNm)
T_u	: Momen torsi <i>ultimate</i> (kNm)
A_{cp}	: Luas penampang balok (mm^2).
P_{cp}	: Keliling penampang balok (mm).
P_h	: Luas penampang balok dengan as sengkang (mm^2).
S_{MS}	: Parameter respon spektrum pada periode 0,2 detik (g).

S_{MI}	: Parameter respon spektrum pada periode 1 detik (g).
S_s	: Percepatan batuan dasar pada periode pendek 0,2 detik (g).
S_i	: Percepatan batuan dasar pada periode 1 detik (g).
F_a	: Koefisien situs pada periode pendek 0,2 detik.
F_y	: Koefisien situs pada periode 1 detik.
C_t dan x	: Koefisien parameter periode.
h_n	: Ketinggian bangunan (m).
C_u	: Koefisien batas periode.
C_S	: Koefisien respon seismik.
W	: Berat bangunan (kN).
I	: Koefisien faktor keutamaan gempa.
R	: Koefisien modifikasi respons.
Δ_a	: Simpangan ijin sebelum dibagi faktor redundansi (mm).
ρ	: Koefisien faktor redundansi.
C_d	: Koefisien faktor pembesaran simpangan.
δ_e	: Simpangan ditingkat-x sebelum diperbesar (mm).
l_d	: Panjang penyaluran kondisi tarik (mm).
l_{dk}	: Panjang penyaluran kondisi tekan (mm).
l_{dh}	: Panjang penyaluran kait standar (mm).
l_{ext}	: Panjang kait lurus (mm).

BAB I
PENDAHULUAN

1.1 Latar Belakang

Indonesia merupakan negara yang terletak di wilayah rawan gempa, sehingga bencana gempa bumi seperti yang terjadi di Palu, Sulawesi Tengah, pada 28 September 2018, menjadi salah satu peristiwa tragis yang menyadarkan pentingnya ⁹⁴ perencanaan strukur yang tahan gempa. Salah satu infrastruktur yang terdampak adalah Hotel Roa Roa, sebuah gedung bertingkat yang runtuh setelah gempa terjadi.



Gambar 1.1 Hotel Roa Roa Sebelum Dan Sesudah Terjadinya Gempa

(Sumber: Madutujuh, 2018)

Runtuhnya Hotel Roa Roa menjadi pertanyaan mengenai perancangan yang digunakan pada bangunan tersebut. Hotel yang dibangun pada tahun 2012 ini kemungkinan dirancang berdasarkan peta gempa tahun 2002 yang menyebabkan ketidaksesuaian dengan gempa aktual yang terjadi, selain itu ditemukan bahwa adanya kesalahan perencanaan pada bagian sambungan (Madutujuh, 2018). Kasus ini menyoroti pentingnya pemilihan sistem struktur yang tepat, khususnya gedung dengan ⁴⁶ Sistem Rangka Pemikul Momen Khusus (SRPMK) yang dirancang untuk memiliki daya tahan tinggi dan mampu menyerap energi gempa secara maksimal.

Seiring perkembangan teknologi dalam bidang teknik sipil, khususnya dalam perancangan struktur, berbagai perangkat lunak telah dikembangkan untuk membantu dalam perencanaan struktur. Dua di antaranya adalah *ETABS (Extended Three-Dimensional Analysis of Building Systems)* dan *TSD (Tekla Structural Designer)*. Perlu diketahui hasil perancangan struktur gedung pada kedua perangkat lunak, khususnya pada sistem SRPMK untuk mengetahui sejauh mana perbedaan hasil perancangan struktur yang dihasilkan dari kedua perangkat lunak tersebut.

Dengan membandingkan hasil perancangan struktur gedung SRPMK menggunakan *ETABS* dan *TSD*, diharapkan memberikan gambaran mengenai hasil perencanaan dari masing-masing perangkat lunak sehingga dapat dipilih perangkat yang sesuai untuk mendesain struktur yang aman, serta menghindari terulangnya kejadian runtuhnya Hotel Roa Roa di masa yang akan datang. Perbandingan kedua perangkat lunak antara *ETABS* dan *Tekla Structural Designer* juga telah diteliti oleh (Aziz dkk, 2023) dengan model gedung 3 lantai. Penelitian kedua perangkat lunak ini dapat dikembangkan dengan menambahkan lantai gedung untuk mengetahui perbandingan secara lebih signifikan.

6

1.2 Rumusan Masalah

Berdasarkan latar belakang masalah tersebut, dapat dirumuskan permasalahan sebagai berikut.

- a. Bagaimana perbandingan nilai gaya gempa yang dihasilkan oleh *ETABS* dan *Tekla Structural Designer*?
- b. Bagaimana perbandingan nilai simpangan yang dihasilkan oleh *ETABS* dan *Tekla Structural Designer*?
- c. Bagaimana perbandingan hasil desain tulangan balok, kolom, hubungan balok-kolom, dan pelat pada *ETABS* dan *Tekla Structural Designer*?

1

1.3 Tujuan Penelitian

Berdasarkan rumusan masalah tersebut, didapat tujuan dari penelitian ini. Berikut tujuan dari penelitian ini.

- a. Untuk mengetahui perbandingan nilai gaya gempa yang dihasilkan oleh *ETABS* dan *Tekla Structural Designer*.
- b. Untuk mengetahui perbandingan nilai simpangan yang dihasilkan oleh *ETABS* dan *Tekla Structural Designer*.
- c. Untuk mengetahui perbandingan hasil desain tulangan balok, kolom, hubungan balok-kolom, dan pelat pada *ETABS* dan *Tekla Structural Designer*.

2

1.4 Batasan Masalah

Agar pembahasan tidak meluas dan dapat dibahas secara terstruktur, maka pembahasan topik penelitian ini diberi batasan masalah sebagai berikut.

- ⁱ
- a. Perancangan struktur mengacu pada standar yang berlaku (**SNI 1726:2019, SNI 1727:2020, SNI 2847:2019**, ACI 318-14, dan ASCE 7-16).
 - b. Permodelan gedung yang dimodelkan adalah gedung imajiner dengan 10 lantai yang berfungsi sebagai perkantoran dan atap dak.
 - c. Sistem struktur menggunakan Sistem Rangka Pemikul Momen Khusus (SRPMK).
 - d. Tanah diasumsikan tanah lunak (SE) dan berlokasi di Jakarta.
 - e. Data parameter respon spektrum diambil dari situs Puskim PU.
 - f. Perhitungan membahas elemen struktur atas yaitu balok, kolom hubungan balok-pelat, dan pelat.
 - g. Pelat pada *ETABS* dimodelkan sebagai *shell* dan pada *TSD* dimodelkan sebagai *slab on beam*.
 - h. Tumpuan diasumsikan sebagai jepit.
 - i. Kedua perangkat lunak yang digunakan merupakan versi terbaru yaitu *ETABS V22 Evaluation* dan *TSD 2024 Student Version*.

²¹

1.5 Manfaat Penelitian

Manfaat dari penelitian ini adalah sebagai berikut.

- a. Penelitian dalam perbandingan nilai gaya gempa yang dihasilkan oleh *ETABS* dan *TSD* dapat bermanfaat untuk menentukan perangkat lunak yang sesuai dengan kebutuhan perencanaan.
- b. Penelitian dalam perbandingan nilai simpangan yang dihasilkan oleh *ETABS* dan *TSD* dapat membantu dalam menilai efektivitas masing-masing perangkat lunak dalam memprediksi perilaku struktur terhadap beban lateral.
- c. Penelitian dalam membandingkan hasil desain tulangan dapat memberikan manfaat dalam menentukan perangkat lunak mana yang menghasilkan desain yang lebih efisien dan sesuai dengan kebutuhan perencanaan.

1.6 Keaslian Penelitian

Penelitian ini merupakan hasil karya penulis yang dilakukan secara mandiri dan semua analisis, interpretasi data, serta kesimpulan yang disajikan adalah murni hasil pemikiran penulis dengan mengacu pada sumber-sumber yang telah diakui keabsahannya.

BAB 2

TINJAUAN PUSTAKA

2.1 Gaya Gempa dan Simpangan Antar Tingkat

Gaya gempa dan simpangan sangat dipengaruhi oleh nilai dari parameter lainnya seperti berat bangunan, kekakuan struktur, dan waktu getar alaminya. Dibuktikan dengan penelitian yang disusun oleh (Rifandi, 2020) bahwa semakin besar berat seismik maka gaya lateral ekivalen akan semakin besar dan semakin tinggi gedung yang dianalisis maka semakin besar juga nilai periode struktur yang dihasilkan. Selain itu pada penelitian yang disusun oleh (Bingly et al., 2021) dalam penggunaan nilai kuat tekan beton apabila semakin besar nilai f_c' maka gaya geser gempa, simpangan, gaya dalam dan dimensi elemen struktur yang dihasilkan semakin kecil.

Gaya gempa dan simpangan yang dihasilkan juga dipengaruhi oleh prosedur analisis yang digunakan. Pada penelitian yang disusun oleh (Nurkhusnaedi, 2025) dengan membandingkan hasil gaya gempa dari prosedur analisis statik ekivalen, respon spektrum, dan *time history* dengan hasil bahwa gaya **gempa** dan simpangan dari **yang** terbesar hingga terkecil secara berturut-turut yaitu prosedur analisis statik ekivalen, respon spektrum, dan yang paling kecil yaitu *time history*.

Dalam penelitian yang disusun oleh (Azis Syah et al., 2023) dengan membandingkan hasil dari simpangan dan gaya geser pada *ETABS* dan *TSD* dengan hasil pada perangkat lunak *ETABS* lebih besar dibandingkan dengan *TSD* dikarenakan tidak adanya faktor skala pada *TSD*. Dalam penelitian yang disusun oleh (Rusliyana, 2024) dengan membandingkan *SAP2000* dengan *TSD* didapat nilai periode pada *SAP2000* lebih besar dari *TSD*, simpangan pada arah x dan y pada *SAP2000* lebih besar dari *TSD*, sedangkan **gaya geser arah x** lebih besar *TSD* namun **gaya geser arah y** lebih besar *SAP2000*.

2.2 Sistem Rangka Pemikul Momen Khusus

Dalam mendesain gedung SRPMK, perlu ditinjau konsep *strong column weak beam* yang telah digunakan pada penelitian yang dilakukan oleh (Jaglien et al., 2020) mengenai analisis Perencanaan Struktur Beton Bertulang Gedung Kuliah 5 Lantai pada Juli tahun 2020. Penelitian ini bertujuan untuk perencanaan **Gedung Kuliah**

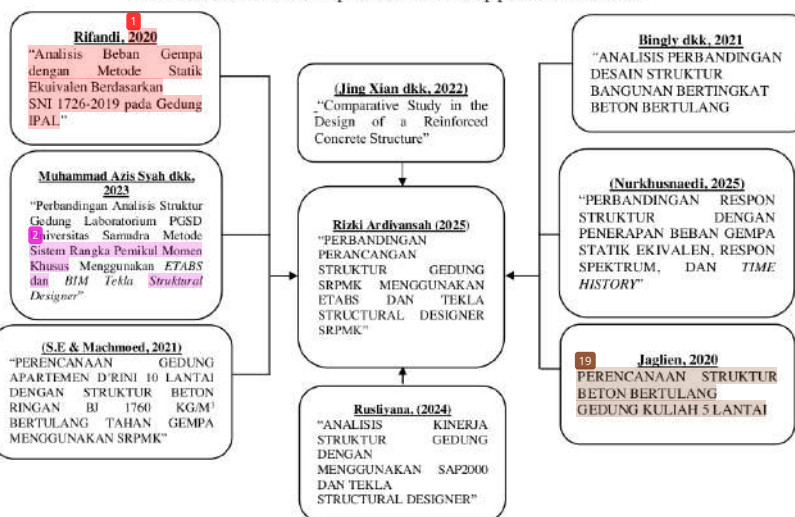
Fakultas Teknik Unsrat Manado yang terdiri dari 5 lantai akan dilakukan dengan memperhitungkan aspek kegempaan tersebut agar struktur bangunan tahan terhadap gempa. Dari penelitian ini didapatkan hasil perencanaan gedung yang telah mencakup prinsip SRPMK yaitu, *strong column weak beam*, dihasilkan gaya geser dasar nominal sebesar 1453.896 ⁶⁷ kN untuk arah X dan 1266.698 kN untuk arah Y dengan pencakalan 100% sesuai dengan peraturan SNI 1726:2019.

Penelitian perencanaan struktur beton bertulang bangunan gedung SRPMK juga sudah pernah diteliti oleh (S.E & Machmoed, 2021) .. Dari penelitian ini dihasilkan penampang kolom, balok, dan elemen struktur lainnya yang sudah sesuai dengan SNI 2847:2013 dan sudah memenuhi persyaratan *strong column weak beam* ($\Sigma M_{rc} > 1,2 \Sigma M_{rb}$). Dihasilkan juga komponen balok, kolom, dan hubungan balok-kolom dengan penulangan ⁴⁹ mampu menahan gaya geser yang terjadi akibat gempa dengan terpenuhinya syarat-syarat desain kapasitas geser dimana kapasitas geser nominal (V_n) lebih besar dari gaya yang bekerja (V_u).

Dalam penelitian yang disusun oleh (Jing Xian dkk, 2022) didapat hasil bahwa pada perangkat lunak *Tekla Structural Designer* memerlukan kebutuhan luasan tulangan balok, kolom, dan pilecap 35% lebih besar dibandingkan kebutuhan luasan tulangan pada perangkat lunak *Esteem*.

2.3 Keterkaitan Penelitian

Berikut flowchart keterkaitan penelitian ini terhadap penelitian terdahulu.



Gambar 2.1 Flowchart Keterkaitan Penelitian Terhadap Penelitian Terdahulu

(Sumber: Hasil Analisis Penulis, 2025)

Tabel 2.1 Penelitian Terdahulu yang Relevan

No	Judul	Publis (tahun)	Yang diteliti	Hasil
1	Perbandingan Analisis Struktur Gedung Lab 2 Jurum PESD Universitas Samantra Menggunakan <i>E/FAS</i> dan <i>BIM Tekla Structured Designer</i>	Muhammad Aziz Syah Iik (2023)	a. Gaya gempa b. Simpangan	Hasil perbandingan dari simpangan dan gaya geser pada <i>E/FAS</i> dan <i>TSD</i> dengan hasil perangkat lunak <i>E/FAS</i> lebih besar dibandingkan dengan <i>TSD</i> dikarenakan tidak adanya faktor skala pada <i>TSD</i>
2	Analisis Behan Gempa dengan Metode Statik Ekuivalen Berdasarkan SNI 1726-2019 pada Gedung IPAL	Rifandi (2020)	a. Berat bangunan b. Gaya gempa c. Waku gelar alami	Hasil penelitian menunjukkan bahwa semakin besar berat strukur maka gaya lateral ekstravis akan semakin besar dan semakin tinggi gedung yang di analisis maka semakin besar juga nilai periode struktur yang dihasilkan
3	ANALISIS PERBANDINGAN DESAIN STRUKTUR BANGUNAN BERTINGKAT BETON BERTULANG MENGGUNAKAN MATERIAL MUTU NORMAL DAN MUTU TINGGI	Bingsly (2021)	a. Gaya gempa b. Simpangan c. Gaya dalam elemen struktur	Dalam pengujian ini kuad tekan terhadap strukur semakin besar nilai f_c' maka gaya geser gempa, simpangan, gaya dalam dan dimensi elemen struktur yang dihasilkan semakin kecil
4	PERBANDINGAN RESPON STRUKTUR DENGAN PENERAPAN BEBAN GEMPA STATIK EKIVALEN, RESPON SPECTRUM DAN TIME HISTORY	Nurkhusnaedi (2025)	a. Gaya gempa b. Simpangan	Hasil menunjukkan bahwa gaya gempa dan simpangan datu yang terbesar luenga terlebih secara berturut-turut yaitu prosedur analisis statik ekivalen, respon spektrum, dan yang paling kecil yaitu time history
5	ANALISIS KINERJA STRUKTUR GEDUNG DENGAN MENGGUNAKAN SAP2000 DAN TEKLA STRUCTURAL DESIGNER	Ruslyana, (2024)	a. Waktu gelar alami b. Gaya gempa c. Simpangan	Hasil periode-datu SAP2000 lebih besar dari TSD simpangan pada arah x dan y pada SAP2000 lebih besar dari TSD sedangkan gaya geser arah x lebih besar TSD namun gaya geser arah y lebih besar SAP2000
6	19 PERENCANAAN STRUKTUR BETON BER TULANG GEDUNG KULLAH 5 LANTAI	Juglien dk (2020)	a. Blok b. Kolom c. Plat d. Tangga e. Dinding geser f. Beban gempa g. Fondasi	Hasil perencanaan sedang telah mencakup prinsip SRPMK yaitu, strong column $\frac{1}{6}$ beam, dihitungkan gaya geser dasar nominal sebesar 1453.896 kN untuk arah X dan 1266.698 kN untuk arah Y dengan pencakalan 100% sesuai dengan peraturan SNI 1726-2019.

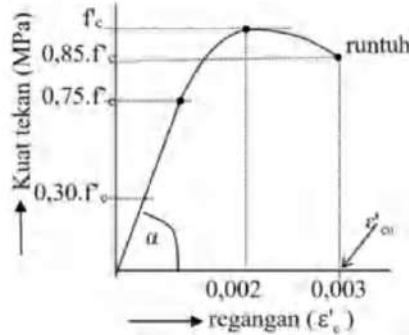
No	Judul	Penulis (tahun)	Yang diteliti	Hasil
7	PERENCANAAN GEDUNG APARTEMEN DTRINI 10 LANTAI DENGAN STRUKTUR BETON RINGAN BJT 1760 KG/M ² BERTULANG TAHAN GEMPA MENGGUNAKAN SRPMK	S.E & Machmood (2021)	a. Balok b. Kolom c. Plat d. Tangan e. Hubungan balok-kolom f. Pondasi	Dari penelitian ini dihasilkan penampang kolom, balok, dan elemen struktur lainnya yang sudah sesuai dengan SN 12847-2013 dan sudah memenuhi persyaratan tentang elemen weak-beam ($\Sigma M_{bc} > 1,2 EI_{bb}$). Dihasilkan juga kompozisi balok-kolom , dan hubungan balok-kolom dengan pemutangan mampang sampai 49 tan gaya yang terjadi akibat gempa dengan terpenuhinya syarat-syarat desain kapasitas geser dimana kapasitas geser nominal (V_n) lebih besar dari geser yang berasal (V_u).
8	Comparative Study in the Design of a Reinforced Concrete Structure	Jing Xian dkk, (2022)	a. Balok b. Kolom c. Filecap	Penelitian ini menghasilkan bahwa pada perangkat lunak Tekla Structural Designer memerlukan kebutuhan luasan tulangan balok, kolom, dan filecap 35% lebih besar dibandingkan kebutuhan luasan tulangan pada perangkat lunak Esefer .

(Sumber: Hasil Analisis Penulis, 2025)

BAB 3
LANDASAN TEORI

45
3.1 Struktur Beton Bertulang

Beton bertulang merupakan gabungan dari material beton polos dan tulangan baja yang saling bekerja sama, sehingga beton memiliki kekuatan untuk memikul tegangan tarik (Lesmana, 2020). Hubungan antara tegangan regangan tekan beton dapat dilihat pada gambar berikut.



Gambar 3.1 Hubungan Tegangan Dan Regangan Beton

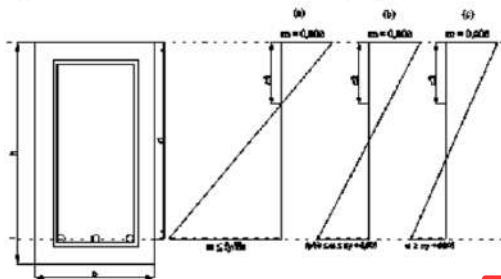
(Sumber: Ir Ali Asroni, 2017)

Menurut Ir Ali Asroni (2017) terdapat 3 prilaku yang menunjukkan perilaku tegangan regangan tekan beton sebagai berikut.

- Pada saat beban tekan mencapai $0,3f'_c$ sampai $0,4f'_c$, perilaku tegangan regangan beton pada dasarnya masih linear (f'_c merupakan kekuatan batas tekan beton).
- Pada saat beban melebihi $0,3f'_c$ sampai $0,4f'_c$, retak-retak lekatan mulai terbentuk. Pada saat ini mulai terjadi deviasi pada hubungan tegangan-regangan dari kondisi linear.
- Pada saat beban tekan mencapai $0,75f'_c$ sampai $0,9f'_c$, retak-retak lekatan tersebut merambat ke mortar sehingga terbentuk pola retak yang kontinu.

3.2 Daktilitas

Daktilitas merupakan kemampuan struktur untuk berdeformasi hingga melewati batas elastisnya tanpa mengalami kegagalan (Lesmana, 2020). Baja tulangan mempengaruhi sifat daktilitas pada beton sehingga beton memiliki sifat daktail saat diberi tulangan. Namun, banyaknya jumlah tulangan bisa mempengaruhi garis netral (c) pada tegangan regangan beton, apabila tulangan dipasang terlalu banyak beton akan getas dimana beton runtuh sebelum tulangannya leleh.



73

Gambar 3.2 Diagram Regangan Pada Balok Lentur, (a) compression-controlled section, (b) transition region, dan (c) tension-controlled section.

(Sumber: Hassoun & Al-Manaseer, 2020)

14

3.3 Sistem Struktur Bangunan Gedung Tahan Gempa

Dalam mendesain struktur bangunan gedung tahan gempa, harus diperhatikan kekuatan dan kemampuan layan dari struktur bangunan tersebut. Kedua aspek tersebut harus dipenuhi agar ketika terjadi gempa pada struktur bangunan, tidak ada korban jiwa akibat keruntuhan struktur dan kondisi idealnya struktur gedung hanya mengalami kerusakan non-struktural sehingga bisa segera dihuni kembali pasca gempa. Secara umum, terdapat 3 sistem struktur yang sering digunakan oleh para engineers (Lesmana, 2019).

a. Sistem rangka struktural

Sistem struktur ini terdiri dari rangkaian balok dan kolom sebagai komponen struktur utamanya. Adapun komponen struktur sekundernya bisa terdiri dari balok sekunder, pelat lantai, dan tangga. Komponen sekunder berfungsi untuk

memikul beban dan kemudian menyalurkan beban tersebut ke dalam komponen struktur utama.

b. Sistem dinding struktur

Sistem struktur ini mempunyai dinding struktur yang difungsikan secara khusus untuk memikul beban lateral berupa gempa. Istilah dinding struktur ini biasanya lebih dikenal dengan istilah dinding geser atau *shear wall*. Dalam sistem ini, perlu diperhatikan penempatan dinding struktur demi mencegah efek torsi yang berlebihan pada struktur.⁹

c. Sistem ganda

Sistem ganda merupakan sistem struktur gabungan struktur rangka dan dinding struktur. Kombinasi kedua struktur ini sangat menguntungkan karena interaksi antar rangka dan dinding struktur akan membuat penyerapan energi yang lebih besar. Dengan adanya kekakuan dinding struktur yang besar, perilaku struktur bangunan gedung saat terjadi gempa lebih terkontrol.

3.4 Pembebaan

²⁷

Menurut Badan Standarisasi Nasional (2020), beban merupakan gaya atau tindakan lain akibat berat semua bahan bangunan, penghuni dan properti, dampak lingkungan, perbedaan gerakan dan gaya penahan akibat dari perubahan dimensi.

Pembebaan gedung diatur dalam SNI 1727:2020.

3.4.1 Beban mati

²⁷

Menurut Badan Standarisasi Nasional (2020) beban mati merupakan berat semua material konstruksi terpasang, termasuk dinding, lantai, atap, langit-langit, tangga, partisi tetap, penyelesaian akhir, bangunan dan komponen arsitektur dan struktural lainnya serta peralatan servis terpasang lainnya, termasuk termasuk derek dan sistem pengangkutan material. Beban mati diatur dalam SNI 1727:2020 Pasal 3.1 Hal-21.

3.4.2 Beban hidup

²⁷

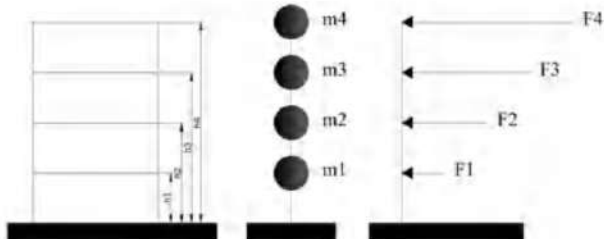
Beban hidup menurut Badan Standarisasi Nasional (2020) merupakan beban yang disebabkan oleh pengguna dan penghuni atau bangunan lain yang tidak termasuk beban dan beban lingkungan, seperti beban hujan, beban seismik, beban atau beban permanen. Beban hidup diatur dalam SNI 1727:2020 Pasal 4 Hal-25.

3.4.3 Beban gempa

Beban gempa merupakan energi yang dilepas selama gempa bumi terjadi sehingga mempengaruhi struktur bangunan. Berdasarkan SNI 1726:2019 terdapat 3 jenis prosedur yang digunakan untuk menganalisis beban gempa yang terjadi pada struktur yaitu prosedur *static equivalent*, *response spectrum (RS)*, dan *linear time history*.

a. *Static Equivalent*

Prosedur analisis statik ekivalen merupakan metode pendekatan untuk mempresentasikan pengaruh beban dinamik gempa menjadi beban statik yang berupa gaya terpusat yang terdistribusi pada tiap tingkat struktur bangunan sesuai besaran massa pada tingkat yang di tinjau (Lesmana, 2020). Metode ini diatur dalam SNI 1726:2019 pasal 7.8 Hal-59. Berikut konsep dasar dan tahapan analisis beban gempa menggunakan prosedur analisis statik ekuivalen.

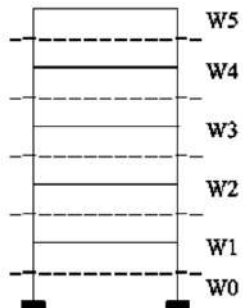


Gambar 3.3 Konsep Dasar Metode Statik Ekuivalen

(Sumber: Lesmana, 2020)

1) Perhitungan berat seismik (W)

Pada tahap ini akan dilakukan proses perhitungan berat pada tiap tingkat berdasarkan sumbu memanjang dan melintang untuk memperoleh ⁴ gempa pada setiap sumbu dan tiap level tingkat. Berdasarkan ³¹ SNI 1726:2019 Pasal 7.7.2 Hal-68, berat seismik meliputi beban mati, beban mati tambahan, dan beban hidup.



Gambar 3.4 Konsep Perhitungan Beban Pada Bangunan

(Sumber: Lesmana, 2020)

2) Estimasi periode struktur (T)

Penentuan periode struktur diatur dalam SNI 1726:2019 Pasal 7.8.2 Hal-71.

Ada 2 pendekatan yang digunakan antara lain

- Pendekatan 1 (Pasal 7.8.2.1 Hal-72)

$$T_a = C_i \cdot h_n^x \quad (3.1)$$

Dengan nilai C_i dan x diperoleh dari SNI 1726:2019 Tabel 18 Hal-72

Tabel 3.1 Nilai Parameter Periode Pendekatan

Tipe struktur	C_i	x
Sistem rangka pemikul momen dimana rangka memikul 100% gaya seismik yang diisyaratkan dan tidak dilengkapi atau dihubungkan dengan komponen yang lebih kaku dan akan mencegah rangka dari defleksi jika dikenai gaya seismik:		
▪ Rangka baja pemikul momen	0.0724	0.8
▪ Rangka beton pemikul momen	0.0466	0.9
Rangka baja dengan bresing eksentris	0.0731	0.75
Rangka baja dengan bresing tekekang terhadap tekuk	0.0731	0.75
Semua sistem struktur lainnya	0.0488	0.75

(Sumber: SNI 1726:2019 Tabel 18 Hal 72)

- Pendekatan 2 (Pasal 7.8.2.1 Hal-72)

$$T_a = 0.1 N \quad (3.2)$$

Dengan nilai N merupakan jumlah tingkat.

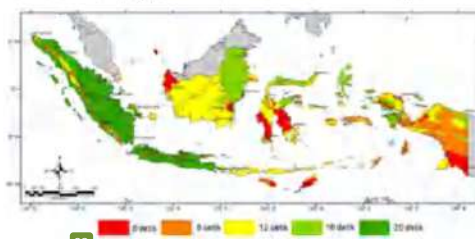
Apabila periode struktur ditentukan dengan perangkat lunak ETABS atau TSD, maka nilai T tidak boleh melampaui $C_d T_a$ dan tidak boleh kurang dari T_a .

3) Perhitungan gaya geser (V)

Perhitungan gaya geser seismik struktur diatur dalam SNI 1726:2019 Pasal 7.8 Hal-69.

$$V = C_s \times W \quad (3.3)$$

Untuk menghitung nilai koefisien seismik (C_s) dibutuhkan parameter pendukung seperti panjang periode (T_a) (SNI 1726:2019 Gambar 20 Hal-238), faktor keamanan (L_e) (SNI 1726:2019 Pasal 4.1.2 Tabel 4 Hal-25), faktor modifikasi (R) (SNI 1726:2019 Tabel 12 Hal-49).



Gambar 3.5 Peta transisi periode panjang (T_a) Wilayah Indonesia

(Sumber: SNI 1726:2019 Gambar 20 Hal-238)

Tabel 3.2 Pemilihan Faktor Keutamaan Gempa

Kategori risiko	Faktor keutamaan gempa, L_e
I atau II	1,0
III	1,25
IV	1,5

(Sumber: Tabel 4 SNI 1727:2020 Hal 25)

25

Tabel 3.3 Faktor R, C_d , dan Ω_0 Untuk Sistem Pemikul Gaya Seismik

Sistem pemikul gaya seismik	Koefisien modifikasi respon	Faktor kuat lebih sistem	Faktor pembesaran defleksi	Batasan sistem struktur dan batasan tinggi struktur				
				Kategori desain seismik				
B	C	D	E	F				
C. Sistem rangka pemikul momen								
1. Rangka baja pemikul momen khusus	8	3	5,5	TB	TB	TB	TB	TB
2. Rangka batang baja pemikul momen khusus	7	3	5,5	TB	TB	40	30	TB
3. Rangka baja pemikul momen menengah	4,5	3	4	TB	TB	10	TI	TI
4. rangka baja pemikul momen biasa	3,5	3	3	TB	TB	TI	TI	TI

51 Sistem pemikul gaya seismik	Koefisien modifikasi respon	Faktor kuat lebih sistem	Faktor pembesaran defleksi	Batasan sistem struktur dan batasan tinggi struktur					
				Kategori desain seismik					
				B	C	D	E	F	TB
5. Rangka beton bertulang pemikul momen khusus	8	3	5,5	TB	TB	TB	TB	TB	TB
6. Rangka beton bertulang pemikul momen menengah	5	3	4,5	TB	TB	TII	TII	TII	TII
7. Rangka beton bertulang pemikul momen biasa	3	3	2,5	TB	TII	TII	TII	TII	TII
8. Rangka baja dan beton komposit pemikul momen khusus	8	3	5,5	TB	TB	TB	TB	TB	TB
9. Rangka baja dan beton komposit pemikul momen menengah	5	3	4,5	TB	TB	TII	TII	TII	TII
10. Rangka baja dan beton komposit terkekang parsial pemikul beban	6	3	5,4	48	48	30	TII	TII	TII
11. Rangka baja dan beton komposit pemikul momen biasa	3	3	2,5	TB	TII	TII	TII	TII	TII
12. Rangka baja canal dingin pemikul momen susus dengan pembautan	3,5	3	5,5	10	10	10	10	10	10

(Sumber : SNI 1726:2019 Tabel 12 Hal 50)

2
Pada SNI 1726:2019 Pasal 7.8.1.1 ditentukan nilai C_s dan juga membatasi nilai maksimum dan minimumnya.

$$C_{s \text{ perlu}} = \frac{S_{ds}}{\left(\frac{R}{I_e}\right)} \quad (3.4)$$

Untuk $T \leq T_L$

$$C_{s \text{ max}} = \frac{S_{ds}}{\left(\frac{R}{T\left(\frac{R}{I_e}\right)}\right)} \quad (3.5)$$

51
Untuk $T > T_L$

$$C_{s \text{ max}} = \frac{T_L \cdot S_{ds}}{\left(\frac{R}{T\left(\frac{R}{I_e}\right)}\right)} \quad (3.6)$$

2
 C_s harus tidak kurang dari

$$C_{s \text{ min}} = 0,044 \cdot S_{ds} \cdot I_e \quad (3.7)$$

Jika S_L sama dengan atau lebih besar dari 0,6g, C_s harus tidak kurang dari

$$C_{s \text{ min}} = \frac{0,5}{T\left(\frac{R}{I_e}\right)} \quad (3.8)$$

4) Perhitungan gaya gempa (F) 12

Perhitungan gaya gempa (F) diatur dalam SNI 1726:2019 Pasal 7.8.3 Hal

73. Rumus yang digunakan merupakan sebagai berikut.

$$F = C_{vx} \times V \quad (3.9)$$

dimana:

V = gaya geser dasar total bangunan

$$C_{vx} = \frac{W_{xs} h^k}{\sum_{i=1}^n W_{is} h_i^k} \quad , \text{ dengan nilai } k \text{ apabila nilai } T_a \text{ kurang dari } 0,5 \text{ maka}$$

39

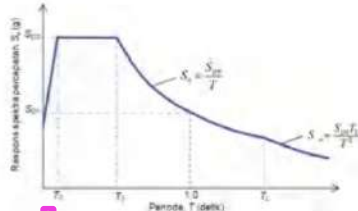
nilai $k=1$, jika nilai T_a lebih dari 2,5 maka nilai $k=2$, jika nilai T_a diantara 0,5 sampai 2,5 maka k menggunakan interpolasi.

b. *Response Spectrum (RS)*

Prosedur analisis respons spektrum merupakan metode yang digunakan untuk mengetahui respon struktur terhadap getaran seismik berdasarkan spektrum respons. Spektrum respons digunakan untuk memperkirakan respon maksimum struktur terhadap gerakan tanah akibat gempa. Untuk memodelkan grafik respon spektrum diatur dalam SNI 1726:2019 Pasal 6.4 Gambar 3 Hal 35-36. Untuk membuat grafik respon spektrum, diperlukan data seismik gempa (S_d , S_s , dll). Untuk nilai T_L dapat dilihat pada SNI 1726:2019 Gambar 20 Hal 238. Untuk mencari T_0 dan T_s menggunakan rumus berikut.

$$T_0 = 0,2 \times \frac{S_{ds}}{S_{ds}} \quad (3.10)$$

$$T_s = \frac{S_{ds}}{S_{ds}} \quad (3.11)$$



Gambar 3.6 Grafik respon spektrum

(Sumber: SNI 1726:2019 Gambar 3 Hal-36)

Untuk $T < T_0$

$$S_d = S_{ds} \left(0,4 + 0,6 \frac{T}{T_0} \right) \quad (3.12)$$

7

Untuk $T_0 < T \leq T_s$

$$S_d = S_{ds} \quad (3.13)$$

Untuk $T_s < T \leq T_L$

$$S_d = \frac{S_{dI}}{T} \quad (3.14)$$

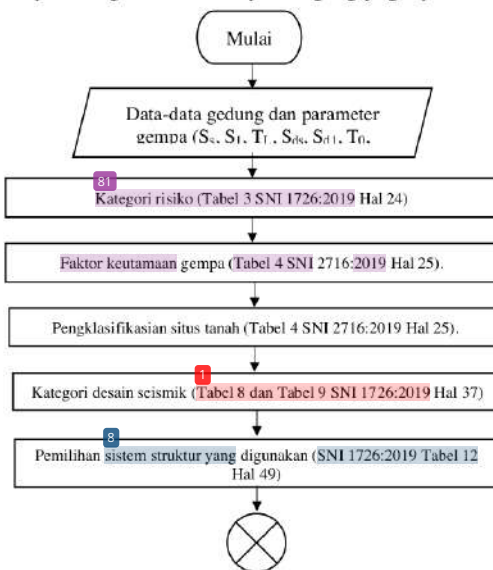
Untuk $T > T_L$

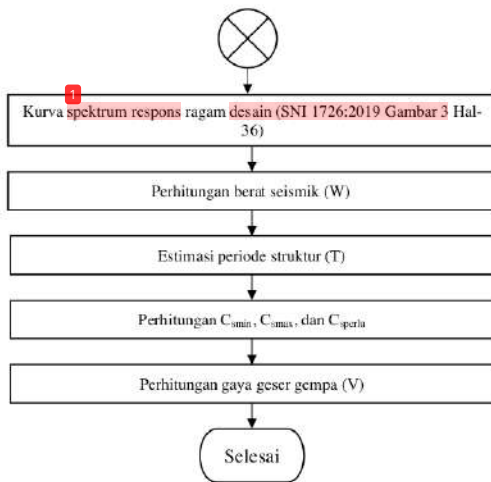
$$S_d = \frac{T_L S_{dI}}{T^2} \quad (3.15)$$

c. *Linear Time History (LTH)*

Menurut Lesmana (2020), metode *linear time history* merupakan metode analisa beban gempa dengan menggunakan rekaman gempa asli (*ground motion*) yang diperoleh secara langsung dari alat peredam gempa (*seismograph*). Metode ini diatur dalam SNI 1726:2019 Pasal 7.9.2 Hal-78. Berdasarkan SNI 1726:2019 Pasal 7.9.2.3 Hal-79 menyaratkan minimal pemakaian rekaman gempa asli (*ground motion*) minimal 3 dan tidak disebutkan untuk penggunaan maksimalnya.

Berikut merupakan diagram alir analisis perhitungan gaya gempa.





Gambar 3.7 Diagram Alir Analisis Gaya Geser Gempa (V) Sesuai SNI 1726:2019

(Sumber: Hasil Analisis Penulis, 2025)

3.4.4 Kombinasi beban

Menurut Badan Standarisasi Nasional (2020), kombinasi beban digunakan untuk memastikan bahwa struktur dapat menahan berbagai kombinasi pembebanan yang mungkin terjadi selama masa pakainya. Berdasarkan SNI 1726:2019 Pasal 7.5.3
gaya seismik untuk memikul kombinasi beban yang ditetapkan yaitu 100% gaya satu arah ditambah 30% gaya untuk arah tegak lurus.

- a. Kombinasi beban dasar

 - 1) 1.4D
 - 2) 1.2D + 1.6 L + 0,5 (Lr atau S atau R)
 - 3) 1.2D + 1,6 (Lr atau S atau R) + (L atau 0,5 W)
 - 4) 1.2D + E + L + 0,5 (Lr atau S atau R)
 - 5) 0,9D + E

b. Kombinasi yang digunakan

62

 - 1) 1.4D
 - 2) 1.2D + 1.6 L

3) $1,2D + E + L$

4) $0,9D + E$

Dikarenakan dalam perencanaan beban mati terbagi menjadi dua yaitu *Super Dead Load (SDL)* dan *Dead Load (DL)*.

1) $1,4DL + \frac{1}{4}SDL$

2) $1,2D + \frac{1}{2}SDL + 1,6L$

3) $1,2D + \frac{1}{2}SDL + E + L$

4) $0,9D + 0,9SDL + E$

c. Pengaruh beban gempa horizontal (E_h) dan vertikal (E_v)

Pada SNI 1726:2019 dijabarkan pengaruh beban gempa. Pengaruh beban gempa (E) pada kombinasi 3 harus ditentukan sesuai dengan persamaan sebagai berikut.

$E = E_h + E_v$

(3.16)

Sedangkan untuk kombinasi 4, beban gempa dijabarkan sebagai berikut.

$E = E_h - E_v$

(3.17)

$E_h = \rho \times Q_E$

(3.18)

$E_v = 0,2S_{DS} \times D$

(3.19)

Keterangan:

ρ = faktor redundansi

Q_E = Pengaruh gaya gempa horizontal

S_{DS} = Parameter percepatan spektrum respons desain pada periode pendek

d. Arah pembebanan



Gambar 3.8 Ilustrasi Arah Datang Gempa

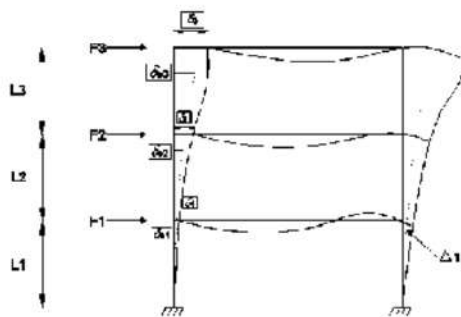
(Sumber : Hasil Analisis Penulis, 2025)

Berdasarkan gambar diatas maka kombinasi beban gempa dijabarkan menjadi:

- 1) $1,4DL + 1,4SDL$ 5
- 2) $1,2D + 1,2SDL + 1,6L$
- 3) $(1,2 + 0,2SDS) DL + (1,2 + 0,2SDS) SDL + 1, \rho . Ex + 0,3, \rho . Ey + L$ 6
- 4) $(1,2 + 0,2SDS) DL + (1,2 + 0,2SDS) SDL + 0,3, \rho . Ex + 1, \rho . Ey + L$ 6
- 5) $(0,9 - 0,2SDS) DL + (0,9 - 0,2SDS) SDL + 1, \rho . Ex + 0,3, \rho . Ey$
- 6) $(0,9 - 0,2SDS) DL + (0,9 - 0,2SDS) SDL + 0,3, \rho . Ex + 1, \rho . Ey$

3.5 Simpangan Antar Tingkat

Simpangan antar tingkat merupakan perpindahan horizontal di bagian atas tingkat yang ditinjau relatif terhadap bagian bawahnya. Simpangan antar tingkat diatur dalam SNI 1726:2019 Pasal 7.8.6 Hal-75.



Gambar 3.9 Simpangan Antar Lantai

(Sumber : SNI 1726, 2019)

Untuk menghitung simpangan antar tingkat menggunakan rumus berikut:

$$\Delta = \frac{Cd \times \delta ex}{Ie} \quad (3.20)$$

dimana:

4 Cd = faktor pembesaran simpangan lateral

δex = simpangan di tingkat-x yang disyaratkan pada pasal ini, yang ditentukan dengan analisis elastik

Ie = faktor keutamaan gempa

3.5 Pelat

6 Pelat lantai merupakan struktur dengan bidang permukaan yang lurus, datar dan tebalnya lebih kecil dibandingkan struktur lainnya yang berfungsi untuk menerima beban yang akan disalurkan ke struktur lainnya (Zebua, 2018). Pelat lantai diberi tulangan baja dengan posisi melintang dan memanjang yang diikat dengan kawat bendar serta tidak menempel pada permukaan pelat bagian bawah maupun atas.

40 Secara umum pelat lantai dibagi menjadi dua tipe yaitu pelat satu arah (*one way*) 2 dan pelat dua arah. Pelat satu arah merupakan jenis pelat yang mengalami lendutan pada satu arah sumbunya, sebaliknya, pelat dua arah merupakan pelat yang mengalami lendutan pada kedua arah sumbunya. Ketentuan pelat satu arah diatur pada SNI 2847:2019 Pasal 7 Hal-119, sedangkan pelat dua arah diatur dalam SNI 2847:2019 Pasal 8 Hal-131.

Dalam meninjau syarat kuat lentur, pelat dalam ketebalan tertentu diharuskan memikul momen terfaktor yang terjadi dengan pendekatan faktor tahanan (R_n). Berikut hubungan persamaan R_n dan M_n .

$$M_n = \frac{M_u}{\phi} = R_n \cdot b \cdot d^2 \quad (3.21)$$

Dimana:

4 M_n = Momen nominal pelat (Nmm)

M_u = Momen terfaktor pelat (Nmm)

b = Lebar pelat ($b = 1000$ mm)

d = Tinggi efektif pelat (mm)

30 Dalam SNI 2847:2019 Tabel 8.6.1.1 mengatur luasan minimum tulangan lentur pelat nonprategang.

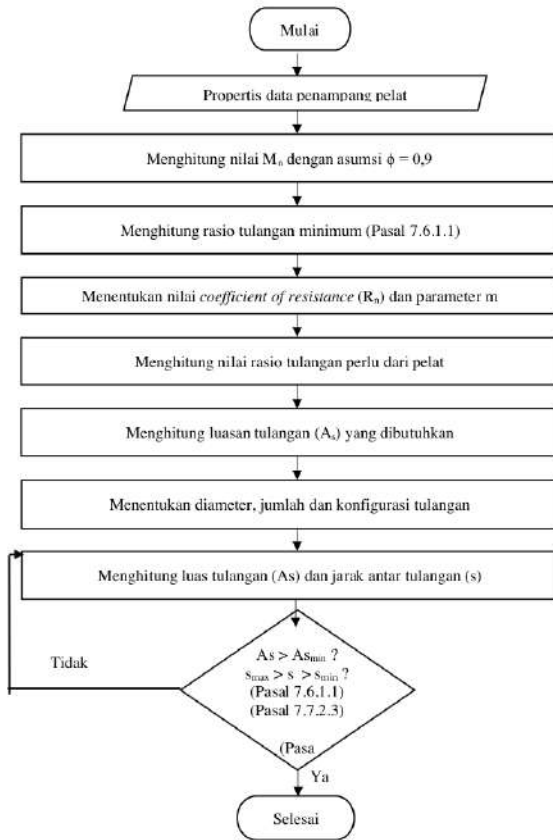
$$A_g = b \times h \quad (3.22)$$

dimana:

4 b = Lebar pelat per satuan meter ($b = 1000$ mm)

h = Tebal pelat (mm)

Berikut diagram alir prosedur desain tulangan lentur pelat.



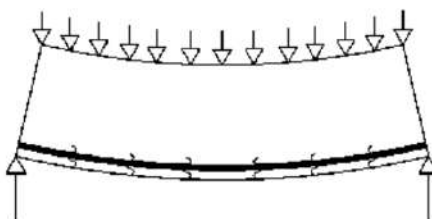
Gambar 3.10 Diagram Alir Prosedur Desain Tulangan Lentur Pelat

(Sumber: Hasil Analisis Penulis, 2025)

3.7 Balok

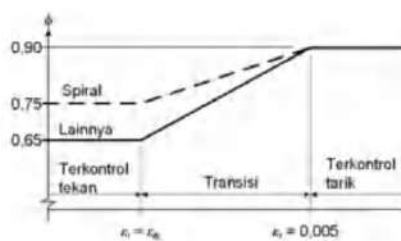
¹² Balok merupakan salah satu elemen utama penyusun struktur gedung yang umumnya terpasang secara horizontal atau lateral (Lesmana, 2020). Fungsi utama

balok yaitu menyalurkan beban ke dalam elemen kolom berupa gaya dan momen. Terdapat beberapa gaya dan momen yang terjadi pada balok yaitu gaya aksial, gaya geser, momen torsi dan momen lentur.



Gambar 3.11 Lentur Pada Balok Beton Bertulang

(Sumber: Hasil Analisis Penulis, 2025)

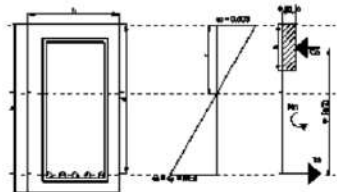


Gambar 3.12 Variasi nilai faktor reduksi (ϕ) sesuai kategori penampang

(Sumber : SNI 2847:2019 Gambar R21.2.2b))

Dalam tahap menghitung parameter ϵ_t , dapat juga digunakan c/d_t , untuk memastikan bahwa penampang dapat terjaga dalam kondisi tarik, regangan pada tulangan tarik perlu mencapai angka 0,005 dan regangan pada beton harus berada di angka 0,003 (Lesmana, 2020). Dengan menggunakan persamaan segitiga sebangun, maka didapatkan:

$$\frac{c}{d_t} = \frac{\epsilon_{cu}}{\epsilon_t + \epsilon_{cu}} = \frac{0,003}{0,005 + 0,003} = 0,375$$



Gambar 3.13 Diagram Tegangan Regangan Balok Tulangan Tunggal

(Sumber: Hasil Analisis Penulis, 2025)

Lesmana (2020), berdasarkan diagram tegangan dan regangan balok didapatkan persamaan untuk mendapatkan nilai momen nominal balok (M_n) adalah

$$M_n = T(d - a/2) = C(d - a/2) \quad (3.23)$$

Gaya tekan (C) pada penampang adalah

$$C = 0,85 x f'_c x b x \beta I x c \quad (3.24)$$

Berdasarkan SNI 2847:2019 Hal. 478, nilai βI dipengaruhi oleh nilai f'_c :

a. Jika $17 \text{ Mpa} \leq f'_c \leq 28 \text{ Mpa}$, maka nilai βI diambil sebesar 0,85

b. Jika $28 \text{ Mpa} < f'_c \leq 55 \text{ Mpa}$, maka nilai βI diambil sebesar $0,85 - 0,05(f'_c - 28)/7$

c. Jika $55 \text{ Mpa} < f'_c$, maka nilai βI diambil sebesar 0,65

Gaya tarik (T) pada tulangan baja adalah

$$T = As x f_y = \rho x b x d x f_y \quad (3.25)$$

Karena nilai $C = T$, maka

$$0,85 x f'_c x b x \beta I x c = \rho x b x d x f_y \quad (3.26)$$

$$\rho = \beta I x c \quad (3.27)$$

$$0,85 x f'_c x b x \rho = \rho x b x d x f_y \quad (3.28)$$

Nilai tinggi blok tekan (a) adalah

$$a = \rho \frac{f_y}{0,85 x f'_c} \times d \quad (3.29)$$

Jika persamaan 3.28 disubstitusikan kedalam persamaan 3.22, maka rumus momen nominal menjadi

$$M_n = \rho b d x f_y (d - \rho \frac{f_y}{0,85 x f'_c} \times d) = \rho b d^2 x f_y (1 - \rho m/2) \quad (3.30)$$

$$m = \frac{f_y}{0,85 x f'_c} \quad (3.31)$$

Persamaan 3.9 jika dibagi dengan bdzakan menghasilkan parameter koefisien resistansi (R_n)

$$R_n = \frac{Mn}{bd^2} = \rho \times f_y (1 - \rho m/2) \quad (3.32)$$

Sehingga persamaan rasio tulangan bisa didapatkan sebagai berikut

$$\rho = \frac{I}{m} (1 - \sqrt{\frac{I}{T}} \cdot \frac{2 \times m \times R_n}{f_y}) \quad (3.33)$$

⁶ Pada SNI 2849:2019 Pasal 9.6.1.2 mengatur bahwa rasio tulangan minimal pada elemen lentur balok diambil terbesar dari dua persamaan berikut ini

$$\rho_{min} = \frac{0.25\sqrt{f'_c}}{f_y} \quad (3.34)$$

$$\rho_{min} = \frac{1.4}{f_y} \quad (3.35)$$

Sedangkan rasio tulangan seimbang adalah

$$\rho b = \frac{0.85 \times f'_c \times \beta_1}{f_y} \frac{\varepsilon_{cu}}{\varepsilon_y/E_s + \varepsilon_{cu}} \quad (3.36)$$

Demi menjamin penampang terkontrol tarik, maka rasio tulangan yang digunakan harus dibawah rasio tulangan seimbang. Kategori penampang juga bisa diperiksa melalui regangan tulangan tarik yang terjadi (Ω)

$$\Omega = 0,003 \frac{(d_t - c)}{c} \quad (3.37)$$

Jika $\Omega \geq 0,005$ maka balok tergolong terkontrol tarik, bila $\Omega < 0,002$ maka balok tergolong terkontrol tekan dan diantara kedua itu balok tergolong transisi.

Keterangan:

a : Tinggi blok tekan beton (mm). ⁸⁵

d : Tinggi efektif balok (mm).

b : Lebar balok (mm).

f'_c : Kuat tekan beton (Mpa).

A_s : Luas tulangan (mm²).

f_y : Kuat leleh tulangan (Mpa).

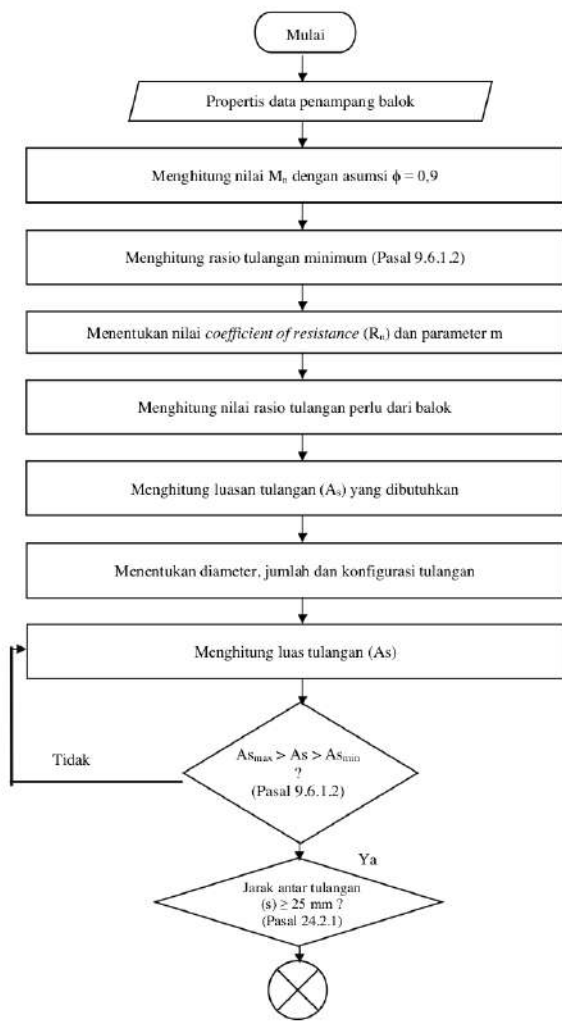
β_1 : Koefisien reduksi tinggi garis netral.

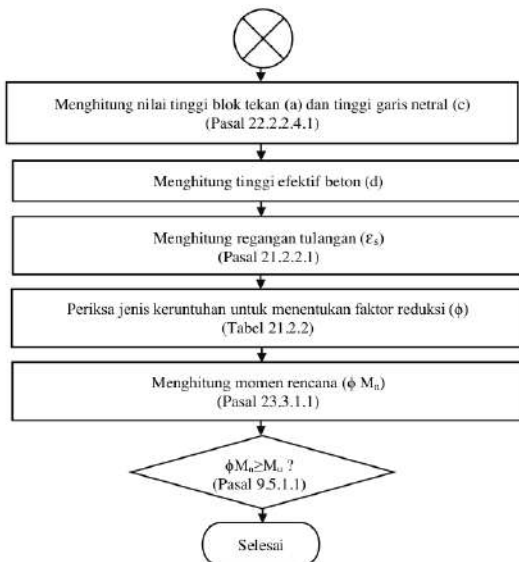
ρ : Rasio tulangan.

ε_s : Regangan tulangan baja.

ε_{cu} : Regangan penampang beton.

Prosedur desain tulangan longitudinal pada balok berdasarkan SNI 2847:2019, dapat dilihat pada diagram alir berikut ini.

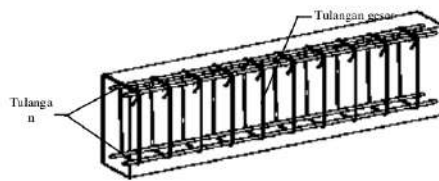




Gambar 3.14 Diagram Alir Prosedur Desain Tulangan Lentur Balok

(Sumber : Hasil Analisis Penulis, 2025)

Selain momen lentur yang perlu ditahan oleh balok, ada gaya geser yang dapat menyebabkan patahan pada balok. Bentuk dan ukuran dari retakan yang muncul dapat ditangani dengan menambahkan tulangan geser pada balok, yang biasanya dipasang tegak lurus terhadap tulangan lenturnya (Lesmana, 2020)



Gambar 3.15 Sengkang Pada Balok

(Sumber : Hasil Analisis Penulis, 2025)

Berdasarkan SNI 2847:2019 Pasal 22.5.1.1 persamaan untuk kuat geser nominal (V_n) adalah:

$$Vn = \frac{34}{Vc + Vs} \quad (3.38)$$

Dimana nilai kuat geser beton (Vc) didapatkan dari persamaan

$$Vc = 0,17 x \lambda x \sqrt{f'c} x b x d \quad (3.39)$$

Pemeriksaan dimensi penampang beton apakah mampu untuk memikul beban geser melalui persamaan

$$Vu \leq \phi (Vc + 0,66 x \sqrt{f'c} x b x d) \quad (3.40)$$

Pada proses desain, kebutuhan tulangan geser didasarkan pada nilai geser *ultimate* terhadap nilai geser beton (ϕVc).

- a. Kategori C ($Vu \leq 0,5 \phi Vc$), pada kondisi ini secara teoritis balok tidak memerlukan tulangan geser.

- b. Kategori B ($0,5 \phi Vc \leq Vu \leq \phi Vc$), pada kondisi dapat digunakan tulangan geser minimum, nilai Av_{min} harus lebih besar dari persamaan berikut ini (Pasal 9.6.3.3)

$$Av_{min} = 0,062 \sqrt{f'c} b.s / fyt \quad (3.41)$$

$$Av_{min} = 0,35 b.s / fyt \quad (3.42)$$

- c. Kategori A ($\phi Vc < Vu$), pada kondisi ini nilai Vs dan Av minimum diperoleh dari persamaan berikut ini (Pasal 22.5.10.1 dan Pasal 22.5.10.5.3)

$$Vs = (Vu - \phi Vc) / \phi \quad (3.43)$$

$$Av = (Vs . s) / (fyt . d) \quad (3.44)$$

Spasi (s) maksimum tulangan geser ditentukan berdasarkan tabel berikut ini

Tabel 3.4 Spasi Maksimum Tulangan Geser Balok

Vs	Maksimum s (mm)	
$\leq 0,33.b.d.\sqrt{f'c}$	Terkecil dari	$d/2$ 600
$\geq 0,33.b.d.\sqrt{f'c}$	Terkecil dari	$d/4$ 300

(Sumber : SNI 2847:2019, Tabel 9.7.6.2.2)

Dengan catatan bahwa nilai faktor reduksi (ϕ) kuat geser pada beton adalah sebesar 0,75 (Pasal 21.2.1).

Keterangan :

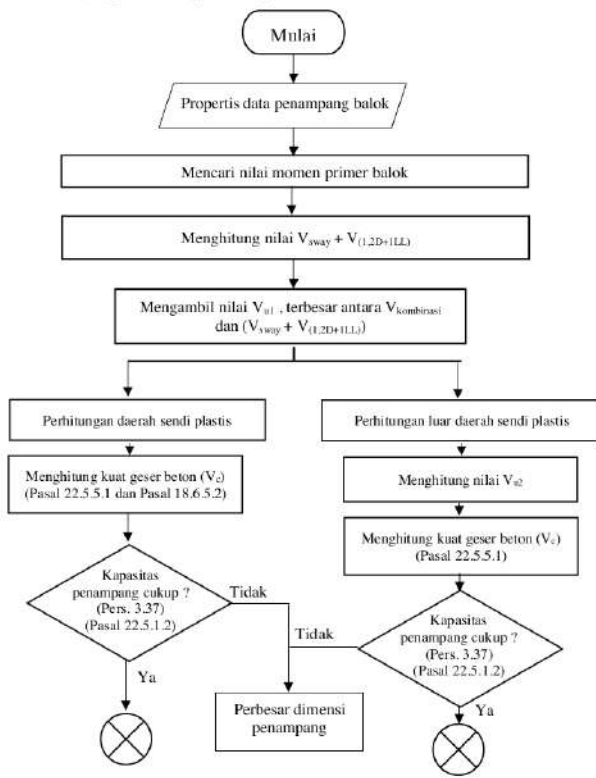
Vn : Gaya geser *ultimate* (kN).

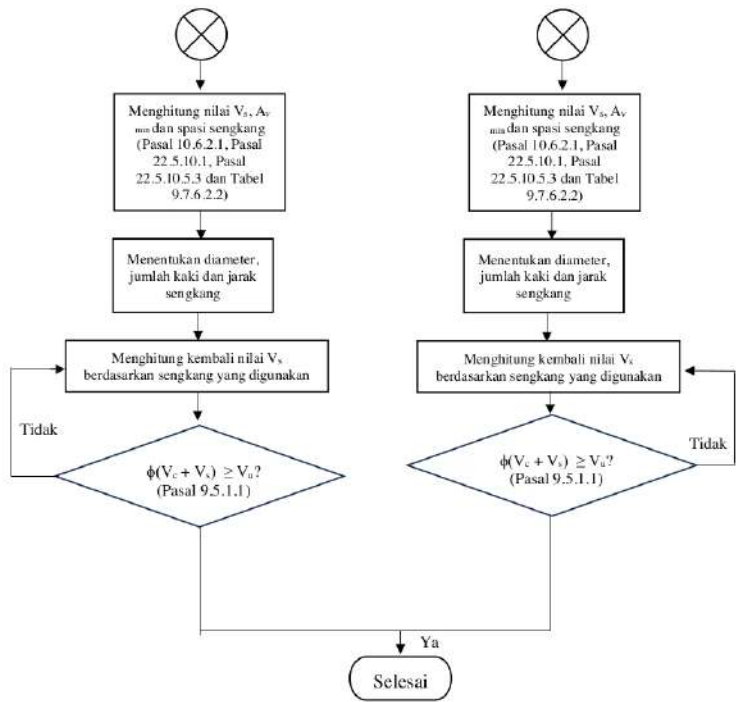
Vc : Kuat geser beton (kN).

Vs : Kuat geser tulangan geser (kN).

- b : lebar penampang beton (mm).
 d : Tinggi efektif penampang beton (mm).
 s : Spasi tulangan geser (mm).
 f_yt : Kuat leleh tulangan geser (Mpa).
 A_v : Luas tulangan geser (mm²).
 λ : Koefisien faktor modifikasi beton (pada beton normal diambil sebesar 1).

Prosedur desain tulangan transversal (sengkang) pada balok berdasarkan SNI 2847:2019, dapat dilihat pada diagram alir berikut ini.

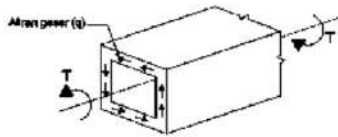




Gambar 3.16 Diagram Alir Prosedur Desain Tulangan Sengkang Balok

(Sumber : Hasil Analisis Penulis, 2025)

6. Torsi yang terjadi pada balok merupakan momen yang berputar di sumbu longitudinal balok, sehingga menyebabkan balok itu berputar. Umumnya, momen torsi muncul pada balok yang hanya menerima beban di salah satu sisi, sementara sisi lainnya tidak terbebani. Contoh kasus yang sering terlihat adalah pada balok tepi.



Gambar 3.17 Gaya Torsi Pada Balok

(Sumber : SNI 2847:2019, Gambar 22.7)

Karena torsi dalam balok melibatkan kombinasi geser dan torsi, perencanaan untuk tulangan torsi perlu mencakup tulangan transvers dan longitudinal. Biasanya pengaruh torsi diatur dalam SNI 2847:2019 Pasal 22.7.1, di mana pengaruh torsi pada balok dapat diabaikan apabila nilai torsi pada balok melebihi torsi ultimate ($\phi T_n \geq Tu$) (Lesmana, 2020). Nilai torsi nominal (T_n) didapatkan berdasarkan persamaan berikut ini.

Torsi statis tertentu (torsi kesetimbangan)

$$T_n = 0,083 \times \lambda \times \sqrt{f'c} \times (A_{cp}^2/P_{cp}) \quad (3.45)$$

$$A_{cp} = b \times h \quad (3.46)$$

$$P_{cp} = 2(b + h) \quad (3.47)$$

Penampang balok harus dipastikan mampu memikul torsi melalui persamaan berikut ini

$$\sqrt{\left(\frac{Vu}{bd}\right)^2 + \left(\frac{Tu \cdot Ph}{1,7A_{oh}h^2}\right)^2} \leq 0,75 \left(\frac{V_c}{b \cdot d} + 0,66\sqrt{f'c}\right) \quad (3.48)$$

$$A_{oh} = (b - 2 \times ts) \times (h - 2 \times ts) \quad (3.49)$$

$$Ph = 2((b - 2 \times ts) + (h - 2 \times ts)) \quad (3.50)$$

Karena torsi pada balok mempengaruhi tulangan geser dan longitudinal, maka luasan tulangan geser (At) dan longitudinal (Al) akibat pengaruh torsi ditentukan melalui persamaan berikut ini ($\phi = 0,75$)

$$At = \frac{\frac{Tu}{20} \times s}{\phi \times 2 \times A_o \times f_y t} \tan 45^\circ \quad (3.51)$$

$$Al = \frac{Tu \times Ph}{\phi \times 2 \times A_o \times f_y t} \cot 45^\circ \quad (3.52)$$

$$A_o = 0,85 A_{oh} \quad (3.53)$$

Jika luasan yang dihitung lebih besar dari luasan sebelumnya, maka perlu adanya penyesuaian luas tulangan yang baru. Setelah didapatkan luasan tulangan geser dan longitudinal yang baru, untuk memastikan bahwa luasan tersebut mampu memikul momen torsi pada balok perlu diperiksa melalui persamaan berikut ini

$$T_n (\text{geser}) = \phi \frac{\frac{2}{s} x A_o x A_t x f_y t}{\frac{2}{s}} \cot 45^\circ \geq T_u \quad (3.54)$$

$$T_n (\text{longitudinal}) = \phi \frac{\frac{2}{s} x A_o x A_t x f_y}{P_h} \tan 45^\circ \geq T_u \quad (3.55)$$

Keterangan :

T_n : Momen torsi nominal (kNm)

T_u : Momen torsi *ultimate* (kNm)

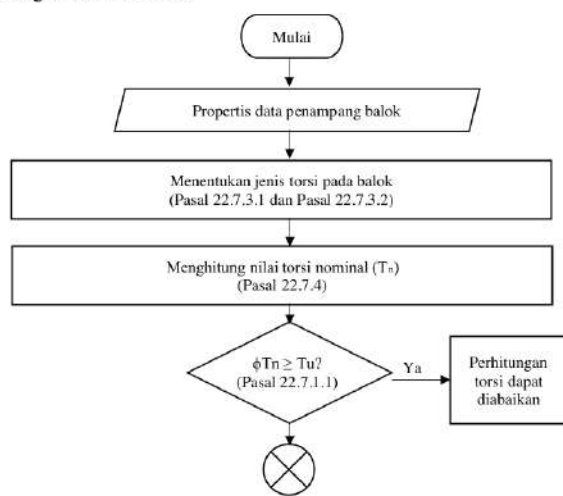
$A_c p$: Luas penampang balok (mm^2).

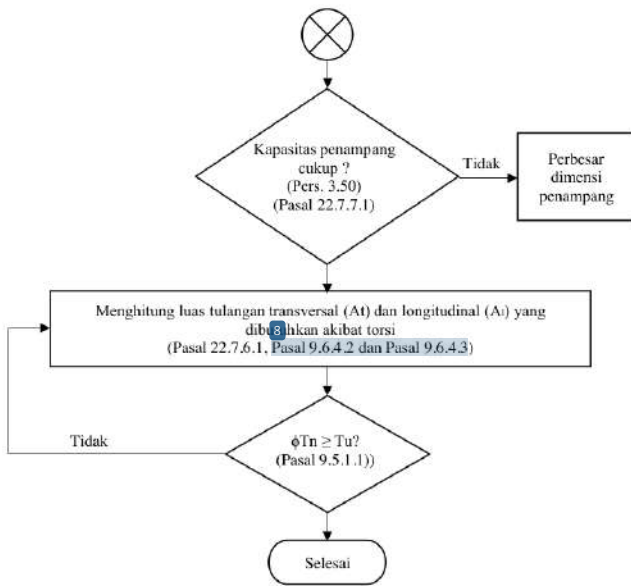
$P_c p$: Keliling penampang balok (mm).

A_{oh} : Keliling penampang balok dengan as sengkang (mm).

P_h : Luas penampang balok dengan as sengkang (mm^2).

Prosedur desain tulangan torsi pada balok berdasarkan SNI 2847:2019, dapat dilihat pada diagram alir berikut ini.





Gambar 3.18 Diagram Alir Prosedur Desain Tulangan Torsi Balok

(Sumber : Hasil Analisis Penulis, 2024)

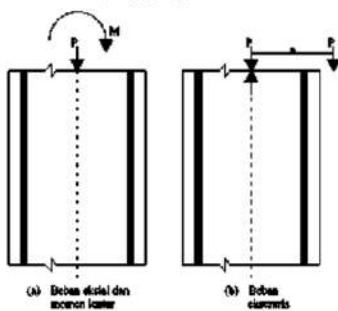
3.8 Kolom¹⁴

Kolom merupakan elemen struktur utama yang memikul beban kombinasi aksial tekan dan momen lentur (Lesmana, 2020). Kolom juga merupakan elemen struktur yang berperan memikul beban lateral pada struktur gedung. Perencanaan elemen struktur kolom diatur dalam SNI 2847:2019 Pasal 10 Hal-211 dan Pasal 18.7 Hal-384.

Berdasarkan kelangsingannya, kolom dikelompokkan menjadi dua jenis, yaitu kolom pendek dan kolom langsing. Perbedaan mendasar dari kedua jenis kolom terletak berdasarkan jenis kerutuhanannya. Kolom pendek tergolong kerutuhan material, dimana kolom tersebut hancur akibat beban yang dipikul melebihi dari kekuatan material penyusunnya. Kolom panjang tergolong kerutuhan tekuk, dimana kolom tersebut hancur akibat penampang kolom yang terlalu langsing

sehingga ketika menerima beban aksial tekan lalu mengalami tekuk meskipun belum mencapai batas kekuatan materialnya.

Kolom juga dibedakan menjadi dua akibat sistem struktur dan tipe pembebaan, ⁴⁰ yaitu kolom tak bergoyang dan kolom bergoyang. Kolom tak bergoyang terjadi pada struktur yang mengalami beban gravitasi yang simetris, sehingga kolom tidak mengalami perpindahan secara lateral. Kolom bergoyang terjadi pada struktur yang mengalami beban gravitasi yang tidak simetris, sehingga membuat kolom mengalami perpindahan lateral (bergoyang).



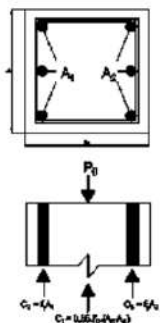
Gambar 3.19. (a) Beban aksial dan momen lentur (b) Beban eksentris

(Sumber: Lesmana, 2020)

⁴⁶ Keadaan beban aksial yang bekerja pada kolom, dibedakan menjadi 5 kondisi yaitu, beban aksial sentris, beton tekan menentukan, scimbang, tulangan tarik menentukan, dan beban $P = 0$.

a. Kondisi beban sentris ⁵⁴

Pada kondisi ini beban bekerja pada sumbu (as) longitudinal kolom, sehingga beton maupun baja tulangan semuanya menahan beban tekan. Kekuatan penampang kolom dianggap semua baja tulangan ⁹⁹ sudah mencapai leleh dan regangan tekan beton sudah mencapai batas maksimum.



Gambar 3.20. Beban Terkonsentrasi

(Sumber: Lesmana, 2020)

$$P_0 = 0,85f'_c(A_g - A_{sv}) + A_{sv}f_y \quad (3.56)$$

Keterangan:

A_g : Luasan penampang kolom

A_{sv} : Luasan tulangan longitudinal (memanjang) kolom.

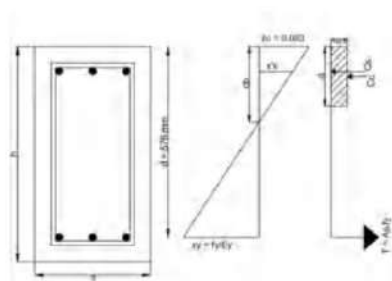
Berdasarkan SNI 2847:2019 Tabel 22.4.2.1 Hal-481, kuat nominal yang digunakan dalam desain tidak boleh melebihi $0,8P_0$.

- b. Kondisi beton tekan menentukan

Pada kondisi ini kolom terjadi sedikit beban tarik sehingga sebagian baja tulangan tarik belum lelah sedangkan sebagian tetap menahan beban tekan yang cukup besar. Pada sedikit tulangan baja yang terkena tarik belum mengalami lelah, tulangan baja yang mengalami tekan sudah lelah, dan regangan tekan beton telah mencapai batas ultimitnya.

- c. Kondisi seimbang

Pada kondisi ini, penampang kolom dalam keadaan seimbang, maka tulangan tarik mengalami kelebihan bersamaan dengan regangan tekan beton mencapai batas ultimitnya.



Gambar 3.21. Kondisi Regangan Berimbang Untuk Penampang Persegi

(Sumber: Lesmana, 2020)

Sehingga persamaan C_c , T_s , C_s , dan P_b , sebagai berikut.

$$C_c = 0,85 f'_c c_b \beta_1 b \quad (3.57)$$

$$T_s = A_s f_y \quad (3.58)$$

$$C_s = A'_s (f_y - 0,85 f'_{c,c}) \quad (3.59)$$

$$P_b = 0,85 f'_c c_b \beta_1 b + A_s' (f_y - 0,85 f'_{c,c}) - A_s f_y \quad (3.60)$$

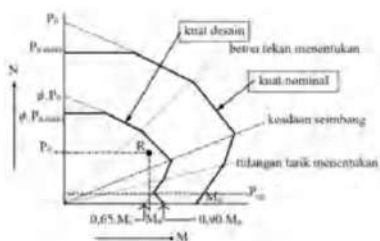
d. Kondisi tulangan tarik menentukan

Pada kondisi ini luas penampang beton tekan semakin kecil, sehingga regangan tekan beton juga semakin kecil. Namun sebaliknya, luas penampang tarik semakin besar, sehingga regangan tulangan tarik melebihi batas leleh.

e. Kondisi beban $P=0$

Pada kondisi ini beban aksial $P=0$ yang berarti kolom hanya menahan momen lentur. Karena hanya menahan momen lentur, maka kolom tersebut dihitung seperti balok biasa.

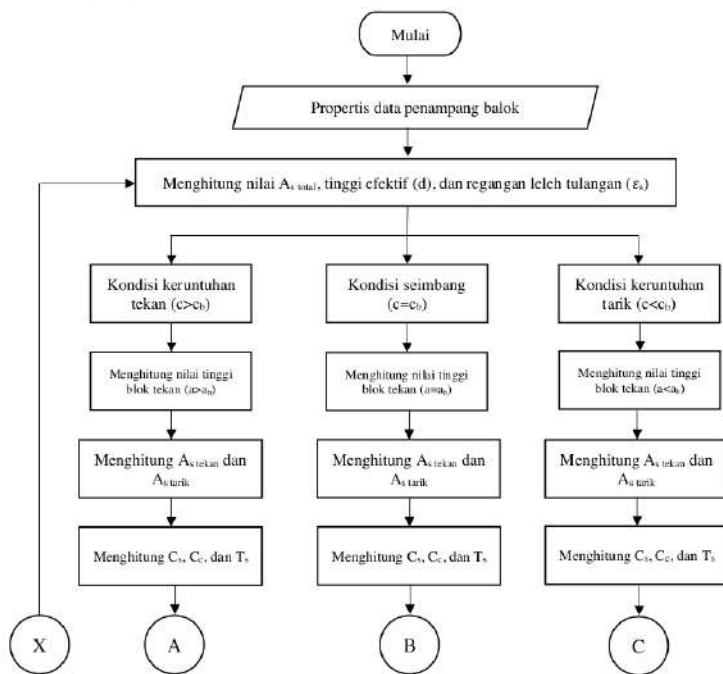
Interaksi dari beban aksial tekan (P) dan momen lentur (M) diwujudkan dalam sebuah kurva yang dikenal sebagai diagram interaksi $P-M$ (aksial momen) kolom. Manfaat dari diagram interaksi yaitu dapat memberikan gambaran tentang kekuatan dari kolom.

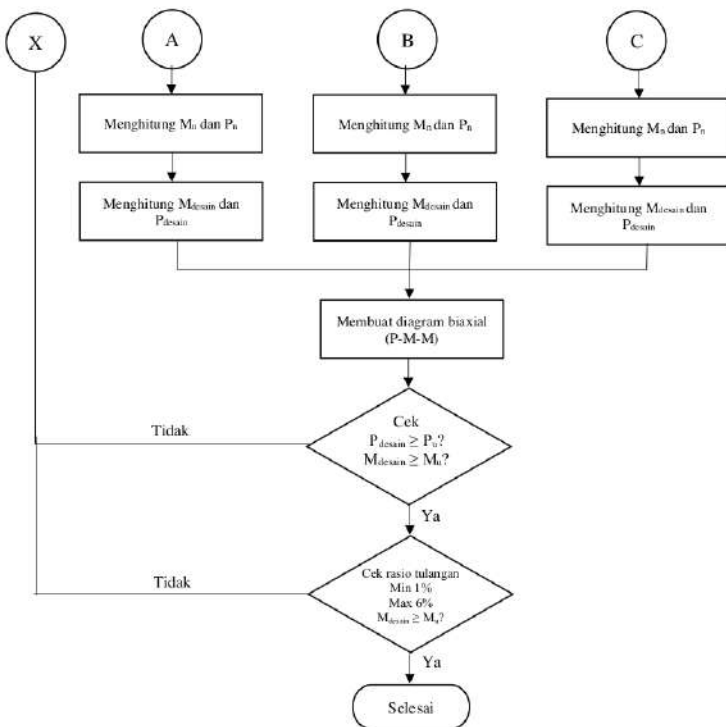


Gambar 3.22. Diagram Interaksi Kolom

(Ir Ali Asroni, n.d.)

Langkah desain tulangan longitudinal pada kolom dapat dilihat pada diagram alir berikut ini.





Gambar 3.23. Diagram Alir Prosedur Desain Tulangan Lentur Kolom

(Sumber: Hasil Analisis Penulis, 2025)

Dalam mendesain kapasitas kolom, perlu menerapkan konsep *strong column-weak beam* yakni konsep desain struktur dengan menjamin kekuatan kolom lebih besar dibandingkan kekuatan balok. Tujuan konsep ini yaitu saat terjadi beban bolak-balik gempa, sendi plastis yang pertama kali muncul harus pada komponen struktur balok, kemudian selanjutnya muncul pada komponen struktur kolom.

$$\sum M_{nc} \geq 1,2 \sum M_{nb} \quad (3.61)$$

Dalam mendesain tulangan geser pada kolom sama halnya dengan yang telah dijelaskan pada konsep geser balok. Hal yang menjadi perbedaan adalah besaran

nilai kuat geser yang berasal dari material beton yaitu V_e . Berdasarkan SNI 2847:2019 Pasal 22.5.6.1 Hal-486, persamaan V_e untuk elemen kolom adalah

$$V_e = 0,17 \left(1 + \frac{N_u}{14A_g} \right) \lambda \cdot \sqrt{f'_c} \cdot b_n \cdot d \quad (3.62)$$

Dimana:

N_u : Gaya aksial ter faktor

A_g : Luas penampang kolom

λ : 1,0 (beton normal)

d : tinggi efektif

Berdasarkan SNI 2847:2019 pasal 18.7.6.1.1, dijelaskan bahwa gaya geser desain V_e perlu ditentukan melalui analisis terhadap gaya maksimum yang mungkin timbul di area joint di setiap sisi kolom. Gaya-gaya di joint ini harus dihitung dengan memanfaatkan kekuatan lentur maksimum yang mungkin ada, M_{pr} , di setiap sisi kolom yang berhubungan dengan beban aksial ter faktor, P_u , yang diterapkan pada kolom. Gaya geser kolom tersebut tidak boleh melebihi nilai geser yang dihitung berdasarkan kekuatan joint yang terkait M_{pr} balok yang menghubungkan ke joint. Nilai V_e tidak diperbolehkan kurang dari geser ter faktor yang didapat dari analisis struktur.

Menurut Anugrah Pamungkas, 2021 menjelaskan bahwa kuat rencana V_e di tentukan dari 3 hal berikut.

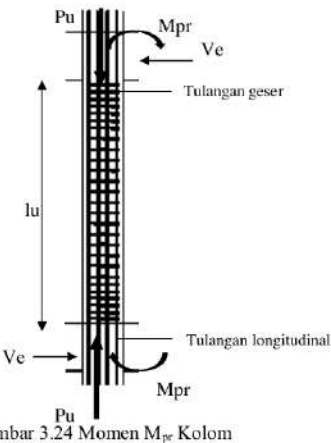
- Kapasitas momen kolom yang dihitung berdasarkan tulangan longitudinal kolom yang direncanakan menghasilkan V_e-k ,
- Kapasitas momen balok menghasilkan V_e-b .
- Gaya geser dari hasil perhitungan analisis struktur, menghasilkan V_u .

Dimana ketiganya harus memenuhi : $V_u \leq V_e-k \leq V_e-b$. Untuk menyusun tulangan geser pada kolom dapat dilakukan langkah-langkah berikut.

- Hitung V_e-k , dalam perhitungan V_e-k kualitas baja ditingkatkan menjadi 1,25fy dan faktor reduksi yang diterapkan adalah $\phi = 1$, sedangkan nilai M_n diperoleh dari kombinasi nilai terbesar.

$$M_{pr} = \frac{M_n}{\phi} \quad (3.63)$$

$$V_{e-k} = \frac{M_{prtop} + M_{prbot}}{l_u} \quad (3.64)$$

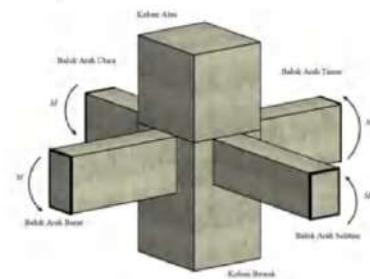


Gambar 3.24 Momen M_{pr} Kolom

(Sumber: Buku Contoh Laporan Perencanaan Struktur Gedung Beton Bertulang, 2021)

- b. Dalam analisis penguatan geser kolom, perhatian juga diberikan kepada momen balok yang ada di sisi kolom pada sumbu-X dan sumbu-Y, serta gaya geser yang dihasilkan oleh balok tersebut. Kualitas baja yang dipakai ditetapkan menjadi 1,25fy.

$$V_{e-b} = \frac{(M_{pr(Bk)} + M_{pr(Bt)})}{l_u} \quad (3.65)$$



Gambar 3.25 Momen Probabilitas Balok Pada Kolom

(Sumber: Hasil Analisis Penulis, 2025)

- c. Nilai Vu di dapat dari analisis struktur yang dihasilkan dari bantuan program.
- d. Mencari nilai Vc, menurut SNI 2847:2019 Pasal 18.7.6.2 untuk nilai Vc dianggap 0 apabila syarat berikut terpenuhi
- 1) Gaya geser akibat gempa berdasarkan pasal 18.7.6.1 setidaknya setengah kekuatan geser perlu maksimum di sepanjang l0.
 - 2) Gaya tekan aksial terfaktor Pu termasuk pengaruh gempa kurang dari $A_{eff}f'_c/20$.

- e. Menurut SNI 2847:2019 pasal 22.5.10.5.3, nilai Vs untuk tulangan geser dihitung menggunakan persamaan berikut.

$$V_{e-k} = \frac{A_v \cdot f_y \cdot d}{l_u} \quad (3.66)$$

- f. Gaya geser total Vn yang dapat ditahan oleh beton dihitung dengan persamaan berikut.

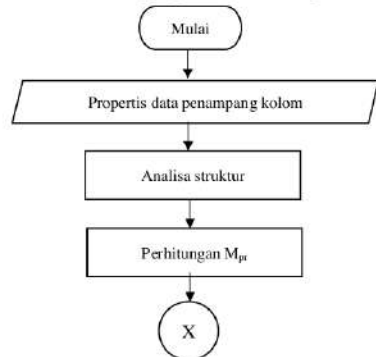
$$\emptyset V_n = \emptyset (V_c + V_s) \quad (3.67)$$

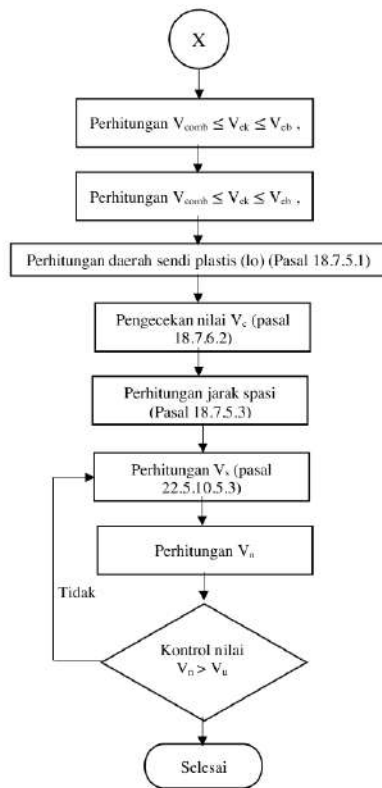
Nilai $\emptyset V_n$ harus lebih besar dari nilai Ve.

- g. Kontrol tulangan geser menurut SNI 2847:2019 pasal 10.7.6.5.2 sebagai berikut.

- 1) Jika $V_s \leq 0,33 \times \sqrt{f_c} \times b_w \times d$, maka untuk spasi maksimum kolom nonprategang $d/2$ atau 600 mm.
- 2) Jika $V_s \geq 0,33 \times \sqrt{f_c} \times b_w \times d$, maka untuk spasi maksimum kolom nonprategang $d/4$ atau 300 mm.

Adapun diagram alir desain tulangan geser kolom sebagai berikut.





Gambar 3.26 Diagram Alir Perhitungan Tulangan Geser Kolom

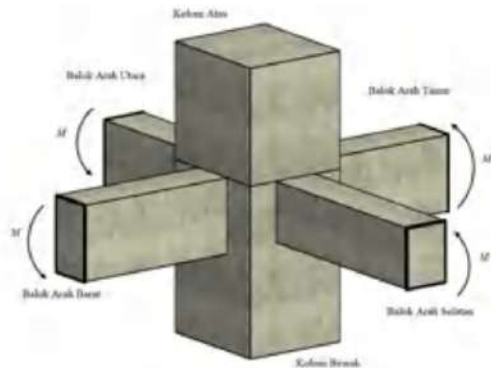
(Sumber : Hasil Analisa Penulis, 2025)

3.9 Hubungan Balok-Kolom (HBK)

Perbedaan yang paling terlihat antara struktur SRMK dengan struktur lainnya (SRMB dan SRMM) merupakan dengan adanya perhitungan sambungan balok kolom yang dikenal dengan istilah hubungan balok kolom (HBK) (Lesmana, 2019). HBK yang dimaksud disini merupakan perhitungan menentukan jumlah tulangan

geser (sengkang) yang akan dipasang pada daerah sambungan balok kolom pada struktur.

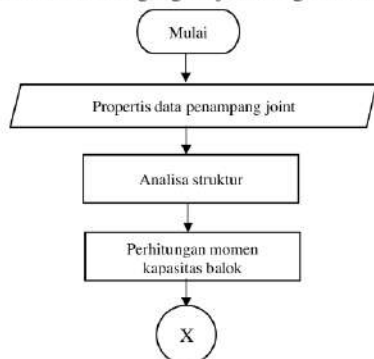
Beberapa gaya yang terjadi seperti gaya tarik pada tulangan, momen akibat balok, dan gaya geser pada ujung kolom dan pada bagian tengah HBK. Kombinasi gaya tersebut bekerja pada satu titik temu yang memiliki potensi kegagalan geser bila tidak direncanakan dengan baik. Untuk mendesain HBK mengacu pada SNI 2847:2019 Pasal 18,8 Hal-392.

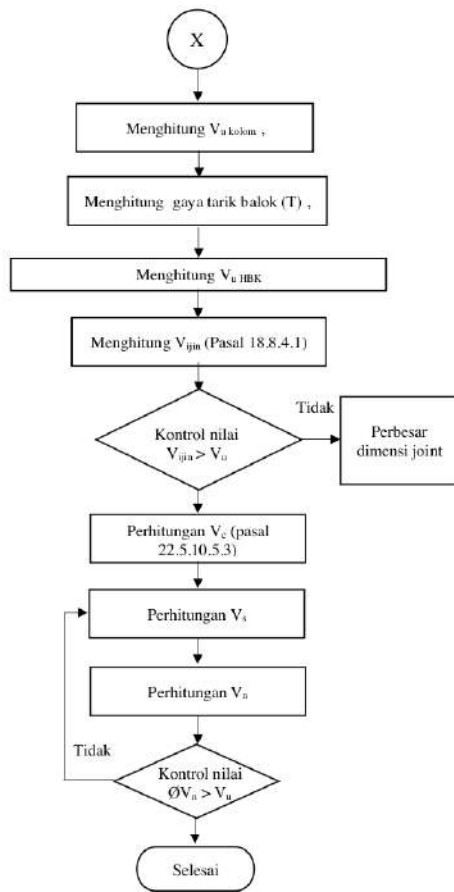


Gambar 3.27 Model 3D Skema Analisis HBK

(Sumber: Lesmana, 2019)

Adapun diagram alir desain tulangan geser joint sebagai berikut.





Gambar 3.28 Diagram Alir Prosedur Desain Tulangan Geser Joint

(Sumber: Hasil Analisis Penulis, 2025)

BAB 4

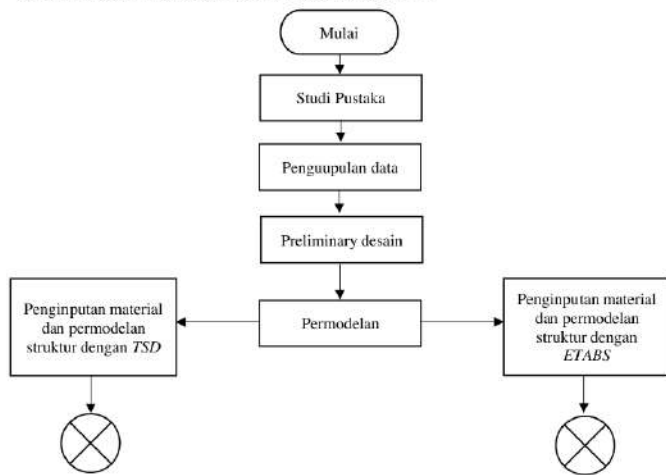
1 METODE PENELITIAN

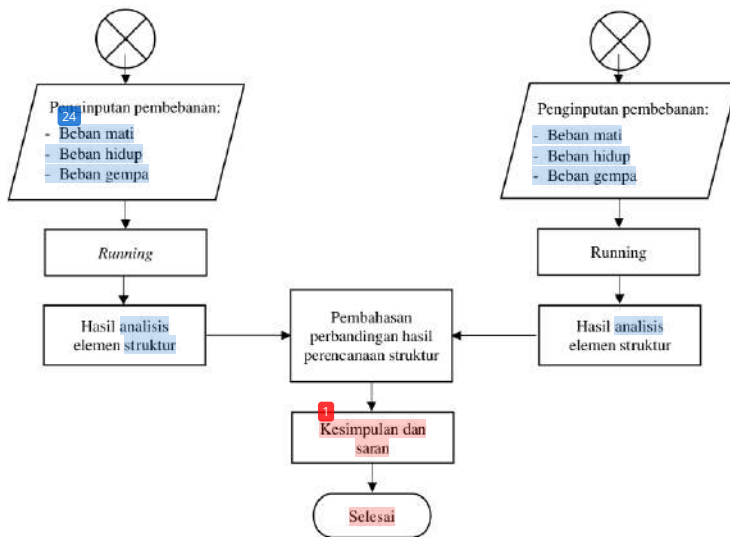
4.1 Umum

Penelitian ini membahas Perbandingan Perancangan Struktur Gedung SRPMK Menggunakan ETABS dan TSD dengan spesifikasi bangunan yang akan dijadikan penelitian adalah gedung perkantoran dengan Sistem Rangka Pemikul Momen Khusus (SRPMK) yang terdiri dari 10 lantai dengan tinggi antar lantai 4 meter dan memiliki lebar 18 meter serta memiliki panjang 30 meter. Lokasi bangunan yang dijadikan penelitian berada di Jakarta dengan jenis tanah lunak (SE). Perhitungan dalam tugas akhir ini dibantu dengan software Microsoft excel dan untuk permodelan struktur gedung menggunakan perangkat lunak ETABS V22 dan TSD 2024.

4.2 Bagan Alir Metode Penelitian

Penelitian ini dilakukan dengan beberapa tahapan. Berikut merupakan alur penelitian yang disajikan dalam bentuk diagram alir.





Gambar 4.1 Diagram alir penelitian

(Sumber: Hasil Analisis Penulis, 2025)

4.3 Tahapan Penelitian

Penelitian ini memiliki beberapa tahapan, secara garis besar tahapan penggerjaan tersebut seperti di bawah ini :

a. Tahap Persiapan

Tahap persiapan adalah tahap awal di mana penulis melakukan studi literatur dengan cara mengumpulkan referensi, buku acuan, dan peraturan-peraturan mengenai perencanaan gedung. Literatur pedoman yang digunakan pada penelitian ini adalah SNI 2847:2019 sebagai pedoman dalam perencanaan struktur beton bertulang, SNI 1727:2020 sebagai pedoman dalam pembebanan gedung dan SNI 1726:2019 sebagai pedoman percaean gaya gempa yang akan di input pada permodelan.

¹⁰¹

b. Tahap Pengumpulan Data

Data dalam penelitian ini dikumpulkan melalui studi literatur dengan mengacu pada berbagai sumber referensi, seperti jurnal ilmiah dan buku yang relevan

dengan topik penelitian. Penulis melakukan analisis terhadap data yang diperoleh dari referensi tersebut untuk mendukung temuan dalam penelitian ini.

c. Preliminary desain

¹⁹ Dimensi elemen struktur seperti kolom, balok, dan pelat harus dihitung dengan mengacu pada SNI 2847:2019. Pada preliminary balok digunakan data jarak antar kolom yang digunakan untuk mencari dimensi balok. Pada preliminary pelat dibutuhkan data bentang dan mengasumsikan tebal pelat yang digunakan untuk mencari tebal pelat minimum. Pada preliminary kolom dicari beban yang terjadi pada kolom untuk mencari luasan minimal kolom.

d. Permodelan Gedung

Gedung dimodelkan menggunakan program *ETABS V22* dan *TSD 2024* dalam skala 3 dimensi dengan memasukan elemen struktur yang berupa balok, kolom dan plat. Dimana penampang balok dan kolom dimodelkan sebagai *frame sections*. Pondasi dimodelkan sebagai tumpuan jepit dan plat dimodelkan sebagai *shell* pada *ETABS* dan dimodelkan sebagai *slab on beam* pada *TSD*. ⁵⁹ Material yang digunakan yaitu beton dengan $f'c = 30$ Mpa. Pembebatan yang diimput adalah beban hidup, beban mati, beban mati tambahan (*super dead load*) dan beban gempa. Untuk parameter gempa diambil dari situs Puskim PU dengan lokasi gedung di Jakarta dan menggunakan tanah lunak (SE).

e. Pembahasan perbandingan hasil perencanaan struktur

Pada tahap ini setelah gedung dimodelkan pada kedua perangkat lunak akan menghasilkan analisis dan desain sesuai perhitungan yang dijalankan oleh kedua perangkat lunak tersebut. Kemudian hasil analisis seperti berat bangunan, waktu getar alami, gaya gempa, *displacement*, simpangan antar lantai, pengaruh P-Δ, dan ketidakberaturan struktur akan dibandingkan antara kedua perangkat lunak. Kemudian dari hasil analisis tersebut bisa dihitung desain tulangan elemen struktur yang dibutuhkan berdasarkan hasil *output* yang dikeluarkan oleh kedua perangkat lunak lalu membandingkan hasil desain tulangan elemen struktur yang telah memenuhi syarat yang berlaku.

f. Kesimpulan dan Saran

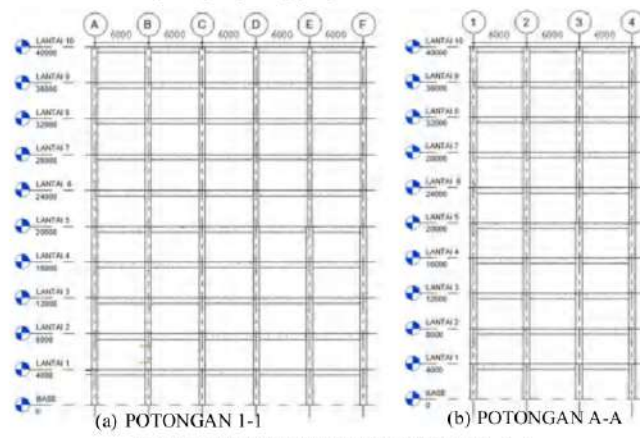
Menarik kesimpulan dan saran dari penelitian yang sudah dilakukan.

4.4 Pedoman Analisa Struktur

- Pedoman yang digunakan pada Penelitian ini adalah standar SNI sebagai berikut :
- a. SNI 2847:2019, yaitu tentang “Tata Cara Perencanaan Persyaratan Beton Struktural Untuk Bangunan Gedung dan Penjelasan”.
 - b. SNI 1726:2019, yaitu tentang “Tata Cara Ketahanan Gempa Untuk Struktur Bangunan Gedung dan Non-Gedung”.
 - c. SNI 1727:2020, yaitu tentang “Beban Minimum Untuk Perancangan Bangunan Gedung dan Struktur Lain”.
 - d. ASCE/SEI 7-16, yaitu tentang “*Minimum Design Loads and Associated Criteria for Buildings and Other Structures*”
 - e. ACI 318-14, yaitu tentang “*Building Code Requirements for Structural Concrete and Commentary*”.

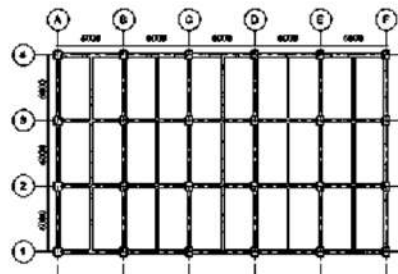
4.5 Deskripsi Gedung

Berikut denah dan potongan gedung yang di telti.

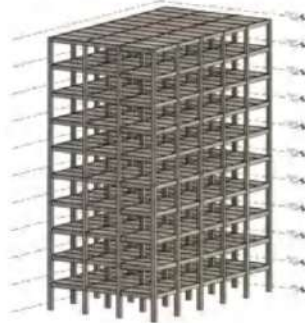


Gambar 4.2 (a) Potongan 1-1 dan (b) Potongan A-A

(Sumber : Hasil Analisis Penulis, 2025)



Gambar 4.3 Denah Gedung
(Sumber : Hasil Analisis Penulis, 2025)



Gambar 4.4 Tampak 3D Gedung
(Sumber : Hasil Analisis Penulis, 2025)

4.6 Parameter Gedung dan Data Response Spektra

Berikut data parameter gedung dan respons spektra

- Fungsi bangunan : Gedung perkantoran dengan atap dak $\frac{80}{80}$
- Panjang bangunan : 30 meter
- Lebar bangunan : 18 meter
- Tinggi bangunan : 40 meter
- Tinggi antar lantai : 4 meter
- Model bangunan : Persegi panjang
- Data Response Spektra

Lokasi bangunan : Jakarta

Jenis tanah : Tanah lunak (SE)
 Ss : 0,7806 g
 S1 : 0,3823 g
 S_d : 0,67 g
 S_d : 0,63 g
 T_0 : 0,19 detik
 T_s : 0,94 detik
 T_L : 20 detik

4.7 Data Material

Material yang digunakan pada penelitian ini menggunakan beton dengan tulangan baja. Mutu beton yang digunakan ² yaitu beton normal dengan berat jenis 2400 kg/m³ dan mempunyai kuat tekan (f_c') sebesar 30 Mpa. Semua diameter tulangan baja tulangan diseragamkan menggunakan kuat leleh baja (f_y) sebesar 420 Mpa.

4.8 Jadwal Penelitian

Berikut jadwal dari penelitian ini.

Tabel 4.1 Jadwal Penelitian Penulis

No	Nama Kegiatan	2025																			
		Februari				Maret				April				Mei				Juni			
1	Pengajuan Judul	1	2	3	4	1	2	3	4	1	2	3	4	1	2	3	4	1	2	3	4
1	Pengajuan Judul	1	2																		
2	Pengumpulan Data		1	2																	
3	Pembuatan Usulan Penelitian			1	2																
4	Bimbingan Usulan Penelitian				1	2	3	4													
5	Seminar Proposal																1	2			
6	Penelitian																				
7	Pengolahan Data																				
8	Seminar Hasil																	1	2		
9	Sidang Akhir																	1	2		
Keterangan		1	Rencana	Jadwal Penelitian Tugas Akhir																	
		2	Aktual	Rizki Ardiyansah (3336210023)																	

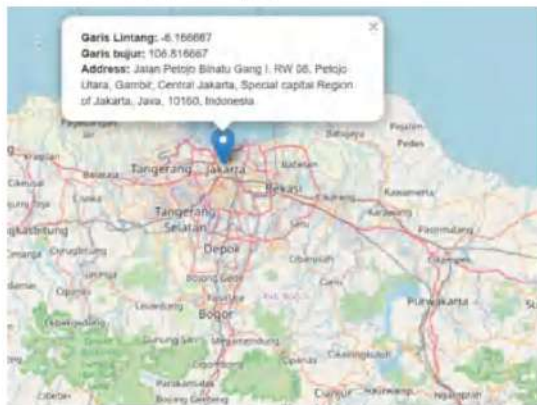
(Sumber : Hasil Analisis Penulis, 2025)

ANALISIS DAN PEMBAHASAN**5.1 Spesifikasi Gedung****5.1.1 Data perencanaan**

68

Berikut ini merupakan data perencanaan yang digunakan dalam penelitian.

- a. Fungsi bangunan : Gedung perkantoran
- b. Panjang bangunan : 30 m
- c. Lebar bangunan : 18 m
- d. Luas bangunan : 540 m²
- e. Tinggi bangunan : 28 m
- f. Tinggi antar lantai : 4 m
- g. Jumlah lantai : 10 lantai
- h. Lokasi bangunan : Jakarta
- i. Mutu beton : 30 Mpa : K-305,915
- j. fy tulangan : 420 Mpa
- k. Jenis tanah : Tanah lunak (SE)



Gambar 5.1 Lokasi Gedung Rencana

(Sumber: *Google Earth Pro*)

Fungsi bangunan dipilih sebagai gedung perkantoran dan berlokasi di Jakarta karena pusat pemerintahan dan perekonomian Indonesia berada di Jakarta dengan sehingga dibutuhkan gedung perkantoran untuk memenuhi kebutuhan yang ada. Jenis tanah lunak dipilih karena mempunyai karakteristik mekanis yang terburuk sehingga penting untuk memahami perilaku struktur gedung dengan keadaan terburuk.

Nilai kuat tekan beton sebesar 30 Mpa digunakan karena sudah memenuhi standar pemakaian kuat tekan beton untuk sistem struktur SRPMK dengan jenis beton normal yang diatur dalam ⁴ SNI 2847:2019 Tabel 19.2.1.1 Hal-433. Nilai kuat tarik baja **tulangan** sebesar 420 Mpa, dan modulus elastisitas sebesar 200000 Mpa digunakan karena nilai ini mewakili material yang umum digunakan dalam konstruksi bangunan yang memenuhi standar kekuatan dan ketersediaan material di pasar Indonesia.

5.1.2 Data Jumlah dan Fungsi Lantai

Berikut ini merupakan data jumlah dan fungsi lantai beserta beban hidup yang dipikul pada setiap lantai sesuai ¹⁴ SNI 1727:2020 Tabel 4.3-1 Hal 26

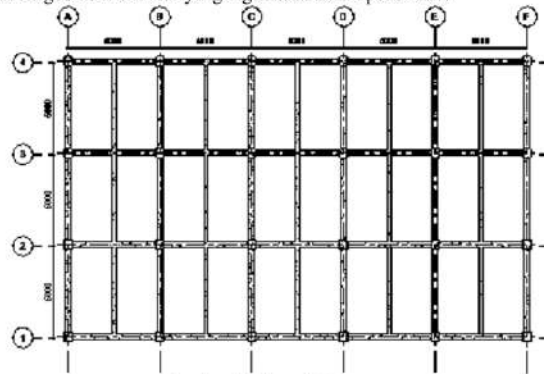
Tabel 5.1 Jumlah dan Fungsi Lantai

Lantai	Tinggi lantai (m)	Elevasi (m)	Fungsi lantai	LL (kg/m ²)
Lantai 10	4	+40	Balkon/Dak	367,1
Lantai 9	4	+36	Kantor	244,73
Lantai 8	4	+32	Kantor	244,73
Lantai 7	4	+28	Kantor	244,73
Lantai 6	4	+24	Kantor	244,73
Lantai 5	4	+20	Kantor	244,73
Lantai 4	4	+16	Kantor	244,73
Lantai 3	4	+12	Kantor	244,73
Lantai 2	4	+8	Kantor	244,73
Lantai 1	4	+4	Kantor	244,73
BASE	-	±0		

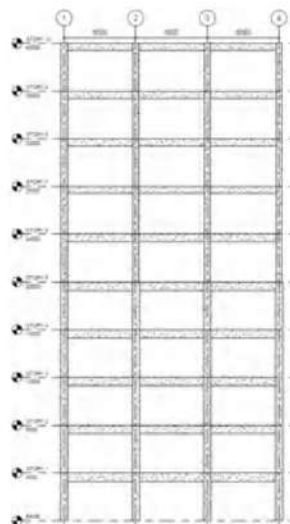
(Sumber: Hasil Analisis Penulis, 2025)

5.1.3 Geometri Struktur

Berikut ini geometri struktur yang digunakan dalam penelitian.



Gambar 5.2 Denah Bangunan
28
(Sumber: Hasil Analisis Penulis, 2025)



Gambar 5.3 Potongan A-A
28
(Sumber: Hasil Analisis Penulis, 2025)



Gambar 5.4 Potongan 1-1

(Sumber: Hasil Analisis Penulis, 2025)

5.2 Analisis Pembebatan

Pembebatan menggunakan beban gravitasi yaitu beban mati (DL), beban mati tambahan (SDL), beban hidup (LL) dan beban lateral yang berupa beban gempa (E).
Pembebatan mengacu pada SNI 1727:2020 yang mengatur Beban desain minimum dan kriteria terkait untuk bangunan gedung dan struktur lain.

5.2.1 Beban mati (DL)

Beban mati dihitung secara otomatis oleh program ETABS dan TSD berdasarkan input data dimensi dan karakteristik material yang digunakan. Beban yang digunakan berdasarkan PPURG 1987, PBI 1983, dan referensi lain.

$$\begin{aligned} \text{Berat jenis material beton (DL)} &= 2400 \text{ kg/m}^3 \\ \text{Berat jenis material baja (DL)} &= 7850 \text{ kg/m}^3 \end{aligned}$$

5.2.2 Beban mati tambahan (SDL)

Berikut beban mati tambahan ini yang terdistribusi pada pelat.

$$\begin{aligned} \text{Keramik (SDL)} &= 24 \text{ kg/m}^2 \\ \text{Plester 2 cm (SDL)} &= 53 \text{ kg/m}^2 \\ \text{MEP (SDL)} &= 25 \text{ kg/m}^2 \end{aligned}$$

Plafond dan pengantung (SDL)	= 18 kg/m ²
Total SDL pelat lantai	= 120 kg/m ²
Pasangan dinding ½ batu (SDL)	= 250 kg/m ²

Dinding berada pada balok perimter bangunan pada semua lantai. Khusus lantai 10, tinggi dinding hanya 1m.

5.2.3 Beban hidup (LL)

Beban hidup mengacu pada Tabel 4.3-1 SNI 1727:2020 Hal 26 yang terdistribusi pada pelat. Berikut beban hidup yang dipakai pada penelitian ini.

$$\begin{array}{ll} \text{Perkantoran} & = 2,4 \text{ kN/m}^2 \\ \text{Balok/dak beton} & = 3,6 \text{ kN/m}^2 (1,5 \times 2,4 = 3,6 \text{ kN/m}^2) = 367,098 \text{ kg/m}^2 \end{array}$$

5.2.4 Beban gempa

Beban gempa mengacu pada SNI 1726:2019 berikut uraian analisis beban gempa.

- Kategori risiko : II (Gedung perkantoran, Tabel 3 SNI 1726:2019 Hal 24)

Tabel 5.2 Kategori Risiko

Jenis pemanfaatan	Kategori risiko
Gedung dan nongedung yang memiliki risiko rendah terhadap jiwa manusia pada saat terjadi kegagalan, termasuk, tapi tidak dibatasi untuk, antara lain: - Fasilitas pertanian, perkebunan, perternakan, dan perikanan - Fasilitas sementara - Gudang penyimpanan - Rumah jaga dan struktur kecil lainnya	I
Semua gedung dan struktur lain, kecuali yang termasuk dalam kategori risiko I,II,IV, termasuk, tapi tidak dibatasi untuk: - Perumahan - Rumah toko dan rumah kantor - Pasar - Gedung perkantoran - Gedung apartemen/ rumah susun - Pusat perbelanjaan/ mall - Bangunan industri - Fasilitas manufaktur - Pabrik	II
Gedung dan nongedung yang memiliki risiko tinggi terhadap jiwa manusia pada saat terjadi kegagalan, termasuk, tapi tidak dibatasi untuk: - Bioskop - Gedung pertemuan - Stadion - Fasilitas kesehatan yang tidak memiliki unit bedah dan unit gawat darurat - Fasilitas penitipan anak	III

Jenis pemanfaatan	Kategori risiko
<p>1</p> <ul style="list-style-type: none"> - Penjara - Bangunan untuk orang jompo <p>Gedung dan nongedung, tidak termasuk kedalam kategori risiko IV, yang memiliki potensi untuk menyebabkan dampak ekonomi yang besar dan/atau gangguan massal terhadap kehidupan masyarakat sehari-hari bila terjadi kegagalan, termasuk, tapi tidak dibatasi untuk:</p> <ul style="list-style-type: none"> - Pusat pembangkit listrik biasa - Fasilitas penanganan air - Fasilitas penanganan limbah - Pusat telekomunikasi <p>Gedung dan nongedung yang tidak termasuk dalam kategori risiko IV, (termasuk, tetapi tidak dibatasi untuk fasilitas manufaktur, proses, penanganan penyimpanan, penggunaan atau tempat pembuangan bahan bakar berbahaya, bahan kimia berbahaya, limbah berbahaya, atau bahan yang mudah meledak) yang mengandung bahan beracun atau pelekat di mana jumlah kandungan bahannya melebihi nilai batas yang disyaratkan oleh instansi yang berwenang dan cukup menimbulkan bahaya bagi masyarakat jika terjadi kebocoran.</p>	
<p>Gedung dan nongedung yang dikategorikan sebagai fasilitas yang penting, termasuk, tetapi tidak dibatasi untuk:</p> <ul style="list-style-type: none"> - Bangunan-bangunan monumental - Gedung sekolah dan fasilitas pendidikan - Rumah ibadah - Rumah sakit dan fasilitas kesehatan lainnya yang memiliki fasilitas bedah dan unit gawat darurat - Fasilitas pemadam kebakaran, ambulans, dan kantor polisi, serta garasi kendaraan darurat - Tempat perlindungan terhadap gempa bumi, tsunami, angin badai, dan tempat perlindungan darurat lainnya - Fasilitas kesiapan darurat, komunikasi, pusat operasi dan fasilitas lainnya untuk tanggap darurat - Pusat pembangkit energi dan fasilitas publik lainnya yang dibutuhkan pada saat keadaan darurat - Struktur tambahan (termasuk menara telekomunikasi, tangki penyimpanan bahan bakar, menara pendingin, struktur stasiun listrik, tangki air pemadam kebakaran atau struktur rumah atau struktur pendukung air atau material atau peralatan pemadam kebakaran) yang disyaratkan untuk beroperasi pada saat keadaan darurat <p>Gedung dan nongedung yang dibutuhkan untuk mempertahankan fungsi struktur bangunan lain yang masuk ke dalam kategori risiko IV.</p>	IV

(Sumber: Tabel 3 SNI 1727:2020 Hal 24)

17. b. Faktor keutamaan untuk kategori risiko II adalah 1,0 (Tabel 4 SNI 2716:2019 Hal 25).

Tabel 5.3 Pemilihan Faktor Keutamaan Gempa

Kategori risiko	Faktor keutamaan gempa, I_e
I atau II	1,0
III	1,25
IV	1,5

(Sumber: Tabel 4 SNI 1727:2020 Hal 25)

- c. Klasifikasi situs berdasarkan jenis tanah adalah SE (Tanah lunak)
d. Parameter respon spektrum diambil dari website RSA Cipta Karya yang disajikan sebagai berikut:

⁴⁰ SS	= 0,7806 g
S1	= 0,3823 g
⁵ TL	= 20 detik
Sds	= 0,6638 g
Sd1	= 0,6297 g
T0	= 0,1897 detik
Ts	= 0,9487 detik



⁵⁷

Gambar 5.5 Website RSA Cipta Karya

(Sumber : rsa.ciptakarya.pu.go.id)

- e. Kategori desain seismik berdasarkan Tabel 8 dan Tabel 9 SNI 1726:2019 Hal 37 adalah D.

$$\begin{aligned}
& \text{Fa} = 1,2755 \text{ (Tabel 6 SNI 1726:2019 Hal 34)} \\
& \text{Fv} = 2,4708 \text{ (Tabel 7 SNI 1726:2019 Hal 34)} \\
& \text{Sms} = \text{Fa} \times \text{Ss} = 1,2755 \times 0,7806 = 0,9957 \text{ g} \\
& \text{Sm1} = \text{Fv} \times \text{S1} = 2,4708 \times 0,3823 = 0,9446 \text{ g} \\
& \text{Sds} = \frac{2}{3} \times \text{Sms} \\
& = \frac{2}{3} \times 0,9957 \\
& = 0,6638 \text{ g (Tabel 8 SNI 1726:2019 Hal 37, kategori D)} \\
& \text{Sd1} = \frac{2}{3} \times \text{Sm1}
\end{aligned}$$

$$= 2/3 \times 0,9446$$

= 0,6297 g (Tabel 9 SNI 1726:2019 Hal 37, kategori D)

³⁴
Tabel 5.4 Koefisien Situs, F_a

Kelas situs	Parameter respons spektral percepatan gempa maksimum yang dipertimbangkan risiko-tertarget (MCER) terpetakan pada periode pendek, T =0,2 detik, S_s					
	$S_s \leq 0,25$	$S_s = 0,5$	$S_s = 0,75$	$S_s = 1,0$	$S_s = 1,25$	$S_s \geq 1,5$
SA	0,8	0,8	0,8	0,8	0,8	0,8
SB	0,9	0,9	0,9	0,9	0,9	0,9
SC	1,3	1,3	1,2	1,2	1,2	1,2
SD	1,6	1,4	1,2	1,1	1	1
SE	2,4	1,7	1,3	1,1	0,9	0,8
SF	SS					

(Sumber: SNI 1726:2019 Tabel 3 Hal 34)

Tabel 5.5 Koefisien Situs, F_v

Kelas situs	Parameter respons spektral percepatan gempa maksimum yang dipertimbangkan risiko-tertarget (MCER) terpetakan pada periode 1 detik, S_I					
	$S_I \leq 0,1$	$S_I = 0,2$	$S_I = 0,3$	$S_I = 0,4$	$S_I = 0,5$	$S_I \geq 0,6$
SA	0,8	0,8	0,8	0,8	0,8	0,8
SB	0,8	0,8	0,8	0,8	0,8	0,8
SC	1,5	1,5	1,5	1,5	1,5	1,4
SD	2,4	2,2	2	1,9	1,8	1,7
SE	4,2	3,3	2,8	2,4	2,2	2
SF	SS					

(Sumber: SNI 1726:2019 Tabel 4 Hal 34)

³⁵
Tabel 5.6 Kategori Desain Seismik Periode Pendek

Nilai SDS	Kategori Resiko		
	I atau II atau III	IV	
$SDS < 0,167$	A	A	
$0,167 \leq SDS < 0,33$	B	C	
$0,33 \leq SDS < 0,5$	C	D	
$0,50 \leq SDS$	D	D	

(Sumber : SNI 1726:2019 Tabel 8 Hal 37)

Tabel 5.7 Kategori Desain Seismik Periode 1 Detik

Nilai SDS	Kategori Resiko		
	I atau II atau III	IV	
$SD1 < 0,067$	A	A	
$0,067 \leq SD1 < 0,133$	B	C	
$0,133 \leq SD1 < 0,2$	C	D	
$0,20 \leq SD1$	D	D	

(Sumber : SNI 1726:2019 Tabel 9 Hal 37)

- f. Sistem struktur yang digunakan menurut SNI 1726:2019 Tabel 12 Hal 49 adalah Sistem Rangka Pemikul Momen Khusus (SRPMK) dengan nilai $R = 8$; $\Omega_0 = 3$; $C_d = 5,5$.

Tabel 5.8 Pemilihan Faktor R, C_d , dan Ω_0 Untuk Sistem Pemikul Gaya Seismik

Sistem pemikul gaya seismik	Koefisien modifikasi respon	Faktor kuat lebih sistem	Faktor pembesaran defleksi	Batasan sistem struktur dan batasan tinggi struktur					
				Kategori desain seismik					
				B	C	D	E	F	
C. Sistem rangka pemikul momen									
1. Rangka baja pemikul momen khusus	8	3	5,5	TB	TB	TB	TB	TB	
2. Rangka batang baja pemikul momen khusus	7	3	5,5	TB	TB	40	30	TI	
3. Rangka baja pemikul momen menengah	4,5	3	4	TB	TB	10	TI	TI	
4. Rangka baja pemikul momen biasa	3,5	3	3	TB	TB	TI	TI	TI	
5. Rangka beton bertulang pemikul momen khusus	8	3	5,5	TB	TB	TB	TB	TB	
6. Rangka beton bertulang pemikul momen menengah	5	3	4,5	TB	TB	TI	TI	TI	
7. Rangka beton bertulang pemikul momen biasa	3	3	2,5	TB	TI	TI	TI	TI	
8. Rangka baja dan beton komposit pemikul momen khusus	8	3	5,5	TB	TB	TB	TB	TB	
9. Rangka baja dan beton komposit pemikul momen menengah	5	3	4,5	TB	TB	TI	TI	TI	
10. Rangka baja dan beton komposit terkekang parzial pemikul beban	6	3	5,4	48	48	30	TI	TI	
11. Rangka baja dan beton komposit pemikul momen biasa	3	3	2,5	TB	TI	TI	TI	TI	
12. Rangka baja canal dingin pemikul momen sus dengan pembautan	3,5	3	5,5	10	10	10	10	10	

(Sumber : SNI 1726:2019 Tabel 12 Hal 50)

- g. Prosedur analisis yang digunakan dalam penelitian ini adalah analisis spektrum respon ragam atau analisis gaya lateral equivalen. Prosedur ini dipilih karena periode yang digunakan dalam analisis, $T < 3,5 T_s$. Untuk periode (T) yang dipakai sebesar 1,805 detik untuk arah x dan arah y. Untuk pembahasan periode akan dibahas pada point selanjutnya.

Tabel 5.9 Prosedur Analisis Yang Diizinkan

Kategori desain seismik	Karakteristik struktur	Analisis gaya lateral ekivalen pasal 7.8	Analisis spektrum respons ragam pasal 7.9	Prosedur respons riwayat waktu seismik pasal 11
				I
B, C	Semua struktur	I	I	I
D, E, F	Bangunan dengan kategori risiko I atau II yang tidak melebihi 2 tingkat diatas dasar	I	I	I
	Struktur tanpa ketidakberaturan struktural dan ketinggiannya tidak melebihi 48,8 m	I	I	I

Kategori desain seismik	Karakteristik struktur	Analisis gaya lateral ekivalen pasal 7.8	Analisis spektrum respons ragam pasal 7.9	Prosedur respons riwayat waktu seismik pasal 11
43	Struktur tanpa ketidakberaturan struktural dengan ketinggian melebihi 48,8 m dan $T < 3,5 T_s$	I	I	I
	Struktur dengan ketinggian tidak melebihi 48,8 m dan hanya memiliki ketidakberaturan horizontal tipe 2,3,4 atau 5 atau ketidakberaturan vertikal tipe 4, 5a atau 5b	I	I	I
	Se semua struktur lainnya	TI	I	I

(Sumber : SNI 1726:2019 Tabel 16 Hal 68)

$$T < 3,5 T_s$$

$$1,805 < 3,5 (0,9487)$$

$$1,805 \text{ detik} < 3,32 \text{ detik}$$

Karena $T < 3,5 T_s$, maka prosedur analisis gaya lateral ekivalen dapat digunakan untuk menganalisis gempa yang terjadi pada permodelan struktur.

32 h. Kurva spektrum respons ragam desain harus mengacu pada SNI 1726:2019

Gambar 3 Hal 36 yang merupakan grafik hubungan antara percepatan respons spektra (S_a) dan periode (T).

$$T_0 = 0,2 \times \frac{S_{D1}}{S_{Ds}}$$

$$= 0,2 \times \frac{0,6297}{0,6638}$$

$$= 0,1897 \text{ detik}$$

$$T_s = \frac{S_{D1}}{S_{Ds}}$$

$$= \frac{0,6297}{0,6638}$$

$$= 0,9487 \text{ detik}$$

8 Untuk periode yang lebih kecil dari $T_0, T = 0$

$$1 S_a = S_{Ds} (0,4 + 0,6 \times \frac{T}{T_0})$$

$$= 0,6638 \left(0,4 + 0,6 \times \frac{0}{0,1897} \right)$$

$$= 0,2655$$

Untuk periode T antara $T_0 = 0,1897$ dan $T_s = 0,9487$
³²

$$S_a = S_{ds} = 0,6638$$

Untuk periode yang lebih besar dari $T_s, T > 0,9487$

$$S_a = \frac{S_{D1}}{T}$$

$$= \frac{0,6297}{0,95}$$

$$= 0,6629$$

Untuk periode $T > T_L = 20$

$$S_a = \frac{S_{D1} \times T_L}{T^2}$$

$$= \frac{0,6297 \times 20}{T^2}$$

$$= \frac{12,5945}{T^2}$$



Gambar 5.6 Grafik Spektrum Respons Desain Jakarta Dengan Tanah Lunak

(Sumber : Hasil Analisis Penulis, 2025)

5.3 Kombinasi Beban

Berdasarkan SNI 1726:2019 Pasal 7.5.3 gaya seismik untuk memikul kombinasi beban yang ditetapkan yaitu 100% gaya satu arah ditambah 30% gaya untuk arah

¹⁰
tegak lurus. Pada pasal 7.3.4.2 untuk kategori desain seismik D, E, atau F, ρ harus sebesar 1,3 yang penentuan nilainya akan dibahas pada poin selanjutnya.

e. Kombinasi beban dasar

- 1) 1,4D
- 2) 1,2D + 1,6 L + 0,5 (Lr atau S atau R)
- 3) 1,2D + 1,6 (Lr atau S atau R) + (L atau 0,5 W)
- 4) 1,2D + E + L + 0,5 (Lr atau S atau R)
- 5) 0,9D + E

f. Kombinasi yang digunakan

- 62
1) 1,4D
- 2) 1,2D + 1,6 L
- 3) 1,2D + E + L
- 4) 0,9D + E

Dikarenakan dalam perencanaan beban mati terbagi menjadi dua yaitu *Super Dead Load* (SDL) dan *Dead Load* (DL).

- 58
1) 1,4DL + 1,4 SDL
- 2) 1,2D + 1,2 SDL + 1,6 L
- 3) 1,2D + 1,2 SDL + E + L
- 4) 0,9D + 0,9 SDL + E

1
g. Pengaruh beban gempa horizontal (Eh) dan vertikal (Ev)

²⁴
Pada SNI 1726:2019 dijabarkan pengaruh beban gempa. Pengaruh beban gempa (E) pada kombinasi 3 harus ditentukan sesuai dengan persamaan sebagai berikut.

$$E = Eh + Ev$$

Sedangkan untuk kombinasi 4, beban gempa dijabarkan sebagai berikut.

$$E = Eh - Ev$$

$$Eh = \rho \times Q_E$$

$$Ev = 0,2S_{DS} \times D$$

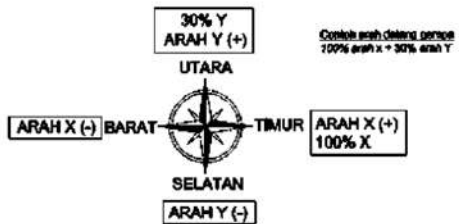
Keterangan:

$$\rho = \text{faktor redundansi}$$

Q_E = Pengaruh gaya gempa horizontal

S_{DS} = Parameter percepatan spektrum respons desain pada periode pendek

h. Arah pembebanan



Gambar 5.7 Ilustrasi Arah Datang Gempa

(Sumber : Hasil Analisis Penulis, 2025)

Berdasarkan gambar diatas maka kombinasi beban gempa dijabarkan menjadi:

- 1) 1,4DL + 1,4 SDL
- 2) 1,2D + 1,2 SDL + 1,6 L
- 3) $(1,2 + 0,2SDS) DL + (1,2 + 0,2SDS) SDL + 1 \cdot \rho \cdot Ex + 0,3 \cdot \rho \cdot Ey + L$
- 4) $(1,2 + 0,2SDS) DL + (1,2 + 0,2SDS) SDL + 0,3 \cdot \rho \cdot Ex + 1 \cdot \rho \cdot Ey + L$
- 5) $(0,9 - 0,2SDS) DL + (0,9 - 0,2SDS) SDL + 1 \cdot \rho \cdot Ex + 0,3 \cdot \rho \cdot Ey$
- 6) $(0,9 - 0,2SDS) DL + (0,9 - 0,2SDS) SDL + 0,3 \cdot \rho \cdot Ex + 1 \cdot \rho \cdot Ey$

i. Turunan kombinasi

- 1) 1,4DL + 1,4 SDL
- 2) 1,2D + 1,2 SDL + 1,6 L
- 3) $(1,2 + 0,2SDS) DL + (1,2 + 0,2SDS) SDL + 0,3 \cdot \rho \cdot Ex + 1 \cdot \rho \cdot Ey + L$



Gambar 5.8 Ilustrasi Arah Gaya Gempa Kombinasi 3

(Sumber : Hasil Analisis Penulis, 2025)

7)
4) $(1,2 + 0,2\text{SDS}) \text{DL} + (1,2 + 0,2\text{SDS}) \text{SDL} - 0,3 \cdot \rho \cdot \text{Ex} + 1 \cdot \rho \cdot \text{Ey} + \text{L}$



Gambar 5.9 Ilustrasi Arah Gaya Gempa Kombinasi 4

(Sumber : Hasil Analisis Penulis, 2025)

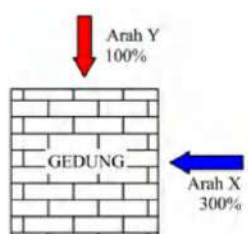
7)
5) $(1,2 + 0,2\text{SDS}) \text{DL} + (1,2 + 0,2\text{SDS}) \text{SDL} + 0,3 \cdot \rho \cdot \text{Ex} - 1 \cdot \rho \cdot \text{Ey} + \text{L}$



Gambar 5.10 Ilustrasi Arah Gaya Gempa Kombinasi 5

(Sumber : Hasil Analisis Penulis, 2025)

7)
6) $(1,2 + 0,2\text{SDS}) \text{DL} + (1,2 + 0,2\text{SDS}) \text{SDL} - 0,3 \cdot \rho \cdot \text{Ex} - 1 \cdot \rho \cdot \text{Ey} + \text{L}$



Gambar 5.11 Ilustrasi Arah Gaya Gempa Kombinasi 6

(Sumber : Hasil Analisis Penulis, 2025)

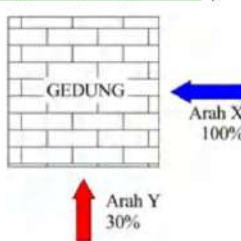
- 7) $(1,2 + 0,2\text{SDS}) \text{DL} + (1,2 + 0,2\text{SDS}) \text{SDL} + 1, \rho \cdot \text{Ex} + 0,3 \cdot \rho \cdot \text{Ey} + L$



Gambar 5.12 Ilustrasi Arah Gaya Gempa Kombinasi 7

(Sumber : Hasil Analisis Penulis, 2025)

- 8) $(1,2 + 0,2\text{SDS}) \text{DL} + (1,2 + 0,2\text{SDS}) \text{SDL} - 1, \rho \cdot \text{Ex} + 0,3 \cdot \rho \cdot \text{Ey} + L$



Gambar 5.13 Ilustrasi Arah Gaya Gempa Kombinasi 8

(Sumber : Hasil Analisis Penulis, 2025)

- 9) $(1,2 + 0,2\text{SDS}) \text{DL} + (1,2 + 0,2\text{SDS}) \text{SDL} + 1, \rho \cdot \text{Ex} - 0,3 \cdot \rho \cdot \text{Ey} + L$



Gambar 5.14 Ilustrasi Arah Gaya Gempa Kombinasi 9

(Sumber : Hasil Analisis Penulis, 2025)

5
10) $(1,2 + 0,2\text{SDS}) \text{DL} + (1,2 + 0,2\text{SDS}) \text{SDL} - 1 \cdot \rho \cdot \text{Ex} - 0,3 \cdot \rho \cdot \text{Ey} + \text{L}$



Gambar 5.15 Ilustrasi Arah Gaya Gempa Kombinasi 10

(Sumber : Hasil Analisis Penulis, 2025)

7
11) $(0,9 - 0,2\text{SDS}) \text{DL} + (0,9 - 0,2\text{SDS}) \text{SDL} + 0,3 \cdot \rho \cdot \text{Ex} + 1 \cdot \rho \cdot \text{Ey}$



Gambar 5.16 Ilustrasi Arah Gaya Gempa Kombinasi 11

(Sumber : Hasil Analisis Penulis, 2025)

7
12) $(0,9 - 0,2\text{SDS}) \text{DL} + (0,9 - 0,2\text{SDS}) \text{SDL} - 0,3 \cdot \rho \cdot \text{Ex} + 1 \cdot \rho \cdot \text{Ey}$



Gambar 5.17 Ilustrasi Arah Gaya Gempa Kombinasi 12

(Sumber : Hasil Analisis Penulis, 2025)

7
13) $(0,9 - 0,2SDS) DL + (0,9 - 0,2SDS) SDL + 0,3 \cdot \rho \cdot Ex - 1 \cdot \rho \cdot Ey$



Gambar 5.18 Ilustrasi Arah Gaya Gempa Kombinasi 13

(Sumber : Hasil Analisis Penulis, 2025)

7
14) $(0,9 - 0,2SDS) DL + (0,9 - 0,2SDS) SDL - 0,3 \cdot \rho \cdot Ex - 1 \cdot \rho \cdot Ey$



Gambar 5.19 Ilustrasi Arah Gaya Gempa Kombinasi 14

(Sumber : Hasil Analisis Penulis, 2025)

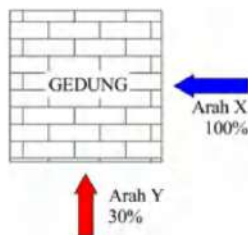
7
15) $(0,9 - 0,2SDS) DL + (0,9 - 0,2SDS) SDL + 1 \cdot \rho \cdot Ex + 0,3 \cdot \rho \cdot Ey$



Gambar 5.20 Ilustrasi Arah Gaya Gempa Kombinasi 15

(Sumber : Hasil Analisis Penulis, 2025)

7
16) $(0,9 - 0,2\text{SDS}) \text{DL} + (0,9 - 0,2\text{SDS}) \text{SDL} - [l \cdot \rho \cdot \text{Ex} + 0,3 \cdot \rho \cdot \text{Ey}]$



Gambar 5.21 Ilustrasi Arah Gaya Gempa Kombinasi 16

(Sumber : Hasil Analisis Penulis, 2025)

7
17) $(0,9 - 0,2\text{SDS}) \text{DL} + (0,9 - 0,2\text{SDS}) \text{SDL} + [l \cdot \rho \cdot \text{Ex} - 0,3 \cdot \rho \cdot \text{Ey}]$



Gambar 5.22 Ilustrasi Arah Gaya Gempa Kombinasi 17

(Sumber : Hasil Analisis Penulis, 2025)

7
18) $(0,9 - 0,2\text{SDS}) \text{DL} + (0,9 - 0,2\text{SDS}) \text{SDL} - [l \cdot \rho \cdot \text{Ex} - 0,3 \cdot \rho \cdot \text{Ey}]$



Gambar 5.23 Ilustrasi Arah Gaya Gempa Kombinasi 18

(Sumber : Hasil Analisis Penulis, 2025)

j. Rekapitulasi kombinasi beban yang digunakan 34

Dalam hal ini, faktor redundansi (ρ) = 1,3 dan $Sds = 0,6638$. Sehingga kombinasi pembebanan menjadi sebagai berikut. 4

Tabel 5.10 Rekapitulasi Kombinasi Beban

Kombinasi	Jenis Beban				
	DL	SDL	LL	EX	EY
K1	1,4	1,4	-	-	-
K2	1,2	1,2	1,6	-	-
K3	1,333	1,333	1	0,39	1,3
K4	1,333	1,333	1	-0,39	1,3
K5	1,333	1,333	1	0,39	-1,3
K6	1,333	1,333	1	-0,39	-1,3
K7	1,333	1,333	1	1,3	0,39
K8	1,333	1,333	1	-1,3	0,39
K9	1,333	1,333	1	1,3	-0,39
K10	1,333	1,333	1	-1,3	-0,39
K11	0,767	0,767	-	0,39	1,3
K12	0,767	0,767	-	-0,39	1,3
K13	0,767	0,767	-	0,39	-1,3
K14	0,767	0,767	-	-0,39	-1,3
K15	0,767	0,767	-	1,3	0,39
K16	0,767	0,767	-	-1,3	0,39
K17	0,767	0,767	-	1,3	-0,39
K18	0,767	0,767	-	-1,3	-0,39

(Sumber : Hasil Analisis Penulis, 2025)

5.4 Perkiraan Awal Dimensi Struktur

5.4.1 Perkiraan awal dimensi balok 22

Pada preliminary design balok mengacu pada SNI 2847:2019 Tabel 9.3.1.1 Hal 180.

Dikarenakan jarak antar kolom simetris, maka bentang terpanjang diambil 6m.

Untuk pengecekan batasan dimensi balok pada SRPMK akan dibahas selanjutnya. 22

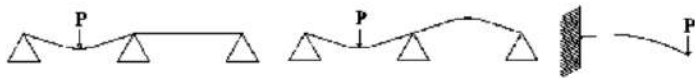
Tabel 5.11 Pemilihan Tinggi Minimum Balok Nonprategang

Kondisi perletakan	Minimum, h
Perletakan sederhana	$\ell/16$
Menerus satu sisi	$\ell/18,5$
Menerus dua sisi	$\ell/21$
Kantilever	$\ell/5$

(Sumber : SNI 2847:2019 Tabel 9.3.1.1 Hal 180)

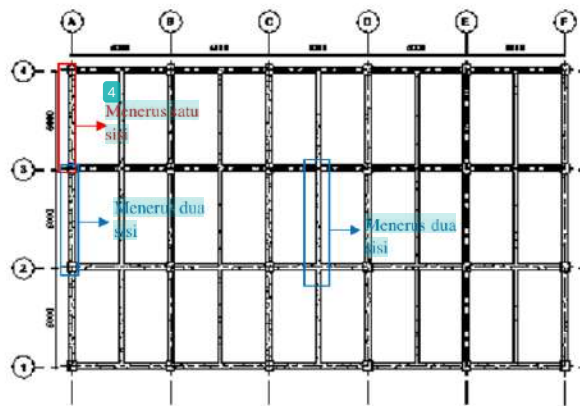
Kondisi perletakan sederhana yaitu balok yang menahan suatu beban di satu bentang dan menyebabkan momen lentur dan kelengkungan hanya pada batang tersebut. Kondisi perletakan menerus yaitu balok yang menahan suatu beban di satu bentang yang dapat menyebabkan timbulnya momen dan kelengkungan pada

bentang tersebut dan pada bentang lainnya. Kondisi perletakan kantilever yaitu balok yang dijepit kaku pada satu sisinya sedangkan ujung lainnya bebas. Pada penelitian ini kondisi perletakan balok ada yang mengalami kondisi perletakan menerus satu sisi atau menerus dua sisi.



Gambar 5.24 Ilustrasi Kondisi Perletakan (a) Perletakan sederhana, (b) Perletakan menerus, dan (c) Perletakan kantilever

(Sumber : Hasil Analisis Penulis, 2025)



Gambar 5.25 Ilustrasi Kondisi Perletakan Balok Pada Penelitian

(Sumber : Hasil Analisis Penulis, 2025)

a. Balok induk (B1)

$$h = \frac{\text{Panjang Bentang}}{18,5} = \frac{6000}{18,5} = 324,324 \text{ mm, digunakan } 500 \text{ mm}$$

$$b_{\min} = \frac{2}{2} \times h = 0,5 \times 500 = 250 \text{ mm}$$

$$b_{\max} = \frac{2}{2} \times h = 0,75 \times 500 = 375 \text{ mm}$$

$$b_{\text{pikai}} = 250 \text{ mm}$$

b. Balok induk (B2)

$$h = \frac{\text{Panjang Bentang}}{18,5} = \frac{6000}{18,5} = 324,324 \text{ mm, digunakan } 450 \text{ mm}$$

$$b_{\min} = 0,5 \times h = 0,5 \times 450 = 225 \text{ mm}$$

$$b_{\max} = \frac{31}{31} \times h = 0,75 \times 450 = 337,5 \text{ mm}$$

$$b_{\text{pakai}} = 250 \text{ mm}$$

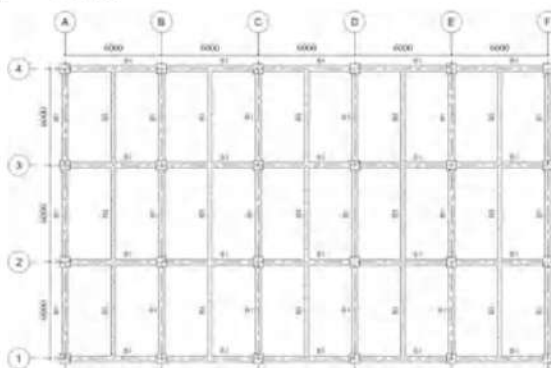
c. Balok anak (B3)

$$h = \frac{\text{Panjang Bentang}}{18,5} = \frac{6000}{21} = 285,714 \text{ mm, digunakan } 400 \text{ mm}$$

$$b_{\min} = \frac{2}{2} \times h = 0,5 \times 400 = 200 \text{ mm}$$

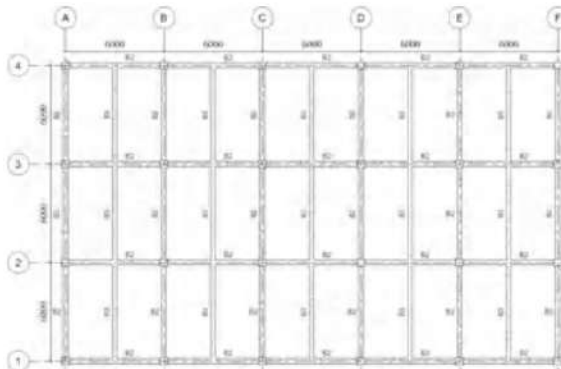
$$b_{\max} = \frac{2}{2} \times h = 0,75 \times 400 = 300 \text{ mm}$$

$$b_{\text{pakai}} = 250 \text{ mm}$$



Gambar 5.26 Denah Balok Lantai 1-5

(Sumber: Hasil Analisis Penulis, 2025)

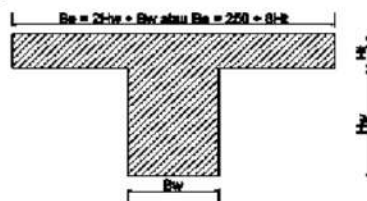


Gambar 5.27 Denah Balok Lantai 6-10

(Sumber: Hasil Analisis Penulis, 2025)

5.4.2 Perkiraan awal dimensi pelat

Batasan dimensi pelat mengacu pada Tabel 8.3.1.2 SNI 2847:2019 Hal 134. Pada penelitian ini tebal pelat diasumsikan sebesar 130 mm.



Gambar 5.28 Penampang Balok – Pelat

(Sumber: Hasil Analisis Penulis, 2025)

Berdasarkan preliminary design, ditentukan bahwa nilai $Bw = 250 \text{ mm}$, $Hw = 270 \text{ mm}$, dan $Ht = 130 \text{ mm}$.

$$Be1 = 2 Hw \times Bw = 2 \times 270 \times 250 = 790 \text{ mm}$$

$$Be2 = Bw + 8 Ht = 250 + 8 \times 130 = 1290 \text{ mm}$$

Be diambil dari nilai terkecil dari dua diatas yaitu sebesar 790 mm. Kemudian dihitung nilai titik berat penampang (y) dari balok T untuk kemudian dihitung momen inersianya.

$$\begin{aligned} \text{Luas bagian sayap} &= Be \times Ht \\ &= 790 \times 130 = 102700 \text{ mm}^2 \end{aligned}$$

$$\begin{aligned} \text{Luas bagian badan} &= Bw \times Hw = 250 \times 270 \\ &= 67500 \text{ mm}^2 \end{aligned}$$

$$\begin{aligned} \text{Luas total penampang} &= 102700 + 67500 \\ &= 170200 \text{ mm}^2 \end{aligned}$$

$$\begin{aligned} \text{Titik berat penampang} &= \frac{102700 \times (\frac{130}{2}) + 67500 \times (130 + \frac{270}{2})}{170200} \\ &= 144,318 \text{ mm} \end{aligned}$$

Momen inersia balok T:

$$\begin{aligned} I_b &= (\frac{1}{12} \times 790 \times 130^3) + (102700 \times (144,318 - (\frac{130}{2}))^2) + (\frac{1}{12} \\ &\quad \times 250 \times 270^3) + (67500 \times (144,318 - (130 + \frac{270}{2}))^2) \end{aligned}$$

$$= 2183899273 \text{ mm}^4$$

Momen inersia pelat arah pendek:

$$\begin{aligned} I_s &= \frac{1}{12} \times L_y \times H t^3 \\ &= \frac{1}{12} \times (6000 - 250) \times 130^3 \\ &= 1052729167 \text{ mm}^2 \\ \alpha_{fs} &= \frac{E_b \times I_b}{E_s \times I_s} = \frac{4700 \sqrt{30} \times 2183899273}{4700 \sqrt{30} \times 1052729167} = 2,0745 \end{aligned}$$

Momen inersia pelat arah panjang:

$$\begin{aligned} I_l &= \frac{1}{12} \times L_x \times H t^3 \\ &= \frac{1}{12} \times (\frac{6000}{2} - \frac{250}{2} - \frac{250}{2}) \times 130^3 \\ &= 503479166,7 \text{ mm}^4 \\ \alpha_{fl} &= \frac{E_b \times I_b}{E_s \times I_l} = \frac{4700 \sqrt{30} \times 2183899273}{4700 \sqrt{30} \times 503479166,7} = 4,338 \end{aligned}$$

Kemudian dapat dihitung nilai α_{fin} dan β , untuk menentukan tebal pelat minimum sesuai dengan SNI 2847:2019 Tabel 8.3.1.2 Hal 134.

$$\alpha_{fin} = \frac{\alpha_{fs} + \alpha_{fl}}{2} = \frac{2,0745 + 4,338}{2} = 3,206$$

Tabel 5.12 Ketebalan Minimum Pelat Dua Arah Nonprategang Dengan Balok Di

Antara Tumpuan Pada Semua Sisinya

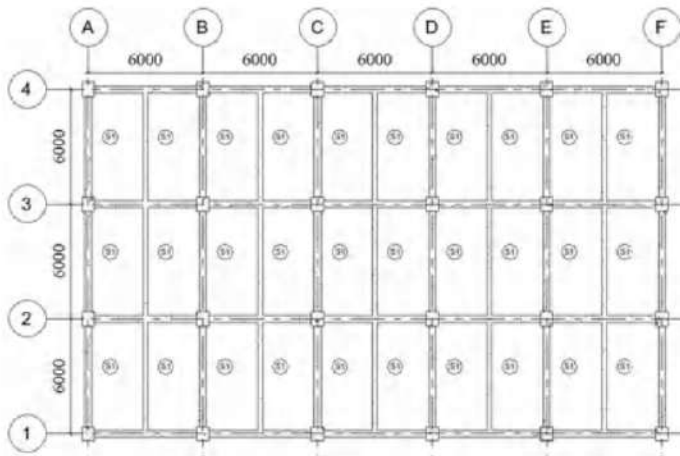
α_{fin}	h minimum, mm	
$\alpha_{fin} < 0,2$	8.3.1.1 berlaku	
$0,2 < \alpha_{fin} \leq 2,0$	Terbesar dari:	$\frac{\ell_n (0,8 + \frac{f_y}{1400})}{36 + 5\beta(\alpha_{fin} - 0,2)}$
		125
$\alpha_{fin} > \geq 2,0$	Terbesar dari:	$\frac{\ell_n (0,8 + \frac{f_y}{1400})}{36 + 9\beta}$
		90

(Sumber: Tabel 8.3.1.2 SNI 2847:2019 Hal 134)

Karena $\alpha_{fm} > 2$, maka tebal minimum h:

$$\begin{aligned}\beta &= \frac{6000}{\frac{6000}{2}} \\ &= 2 \\ l_n &= 6000 \text{ mm} \\ h &= \frac{\ln(0,8 + \frac{f_y}{1400})}{36 + 9\beta} \\ &= \frac{6000(0,8 + \frac{420}{1400})}{36 + 9(2)} \\ &= 122,222 \text{ mm}\end{aligned}$$

Maka perkiraan awal dengan tebal pelat sebesar 130mm telah memenuhi syarat dan dapat digunakan.

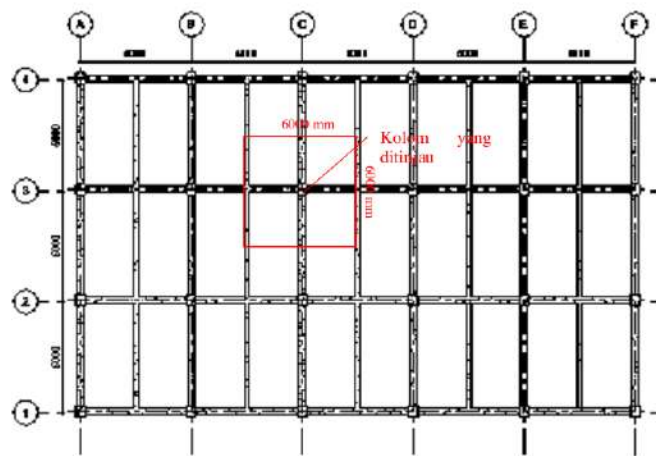


Gambar 5.29 Denah Pelat Lantai 1-10

(Sumber: Hasil Analisis Penulis, 2025)

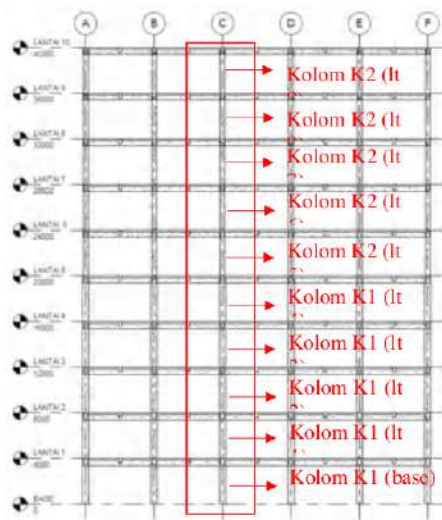
5.4.3 Perkiraan awal dimensi kolom

Untuk memperkirakan dimensi awal kolom kita perlu mengambil sebuah kolom yang sekiranya memiliki beban terbesar. Pada kasus ini diambil kolom yang berada di tengah bangunan yaitu pada grid C3.



Gambar 5.30 Lokasi Kolom Yang Ditinjau

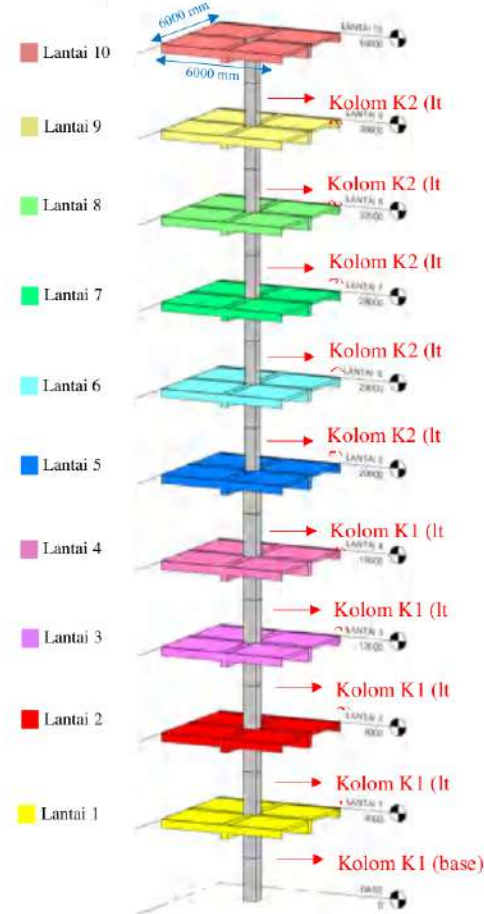
(Sumber: Hasil Analisis Penulis, 2025)



Gambar 5.31 Potongan Kolom Yang Ditinjau

(Sumber: Hasil Analisis Penulis, 2025)

Untuk mencari dimensi kolom yang dibutuhkan, perlu dicari terlebih dahulu beban yang dipikul oleh kolom tersebut. Dikarenakan jarak antar kolom C-3 dengan kolom disekitarnya yang simetris maka luas beban yang dipikul oleh kolom C-3 seluas 6m x 6m dihitung dari as kolom C-3. Berikut perhitungan beban yang dipikul kolom C-3 dengan kombinasi gravitasi 1,2DL + 1,6LL.



Gambar 5.32 3D Tributary Area Kolom C-3

(Sumber: Hasil Analisis Penulis, 2025)

Setelah beban diketahui, maka dapat dicari kebutuhan dimensi kolom dengan menggunakan rumus tegangan (σ)

$$\sigma = \frac{P}{A}$$

Dalam penelitian ini digunakan tegangan beton (f_c') sebesar 30 Mpa, namun untuk mencari kebutuhan dimensi kolom dalam persamaan digunakan tegangan beton maksimal sebesar $0,4f_c'$ karena beton masih bersifat elastis. Dalam penelitian ini digunakan nilai $0,4f_c'$ dengan harapan dapat digunakan dimensi kolom sekecil mungkin.

a. Kolom (K2) lt 9

Berikut pembebanan tributary area lantai 10.

Tabel 5.13 Pembebanan Tributary Area Lantai 10

No	Jenis Bahan	Tipe	Luas	Lebar	Tinggi	Panjang	BJ	Total	Satuan
1	Balok	B2		0,25	0,45	12	2400	3240	kg
2	Balok	B3		0,25	0,4	6	2400	1440	kg
3	Pelat		36		0,13		2400	11232	kg
4	Plester 2cm		36				53	1908	kg
5	Keramik		36				24	864	kg
6	MEP		36				25	900	kg
7	Plafond dan penggantung		36				18	648	kg
8	LL Atap		36				367,0978	13215,5	kg
Total Beban mati								15912	kg
Total Beban mati tambahan								4320	kg
Total Beban hidup								13215,5	kg
Total Pembebanan (kombinasi 2) $1,2(DL+SDL)+1,6LL$								45423,2	kg

(Sumber: Hasil Analisis Penulis, 2025)

Setelah mencari beban yang dipikul oleh kolom, selanjutnya bisa dicari dimensi kolom yang dibutuhkan sesuai beban yang dipikul. Berikut perhitungan dimensi kolom yang dibutuhkan.

$$\begin{aligned}
 b = h &= \sqrt{\frac{\text{Beban lt 10}}{0,4 \times f_c'}} \\
 &= \sqrt{\frac{45423,2}{0,4 \times 305,915}} \\
 &= 19,27 \text{ cm,}
 \end{aligned}$$

Dipakai dimensi 45cm x 45cm mengikuti kebutuhan dimensi kolom lt 5 yang akan dihitung selanjutnya.

b. Kolom (K2) lt 8

Berikut pembebangan tributary area lantai 5-9.

Tabel 5.14 Pembebangan Tributary Area Per Lantai 5-9

No	Jenis Bahan	Tipe	Luas	Lebar	Tinggi	Panjang	BJ	Total	Satuan
1	Balok	B2		0,25	0,45	12	2400	3240	kg
2	Balok	B3		0,25	0,4	6	2400	1440	kg
3	Kolom	K2		0,45	4	0,45	2400	1944	kg
4	Pelat		36		0,13		2400	11232	kg
5	Plester 2cm		36				53	1908	kg
6	Keramik		36				24	864	kg
7	MEP		36				25	900	kg
8	Plafond dan penggantung		36				18	648	kg
9	LL Atap		36				244,7319	8810,45	kg
133 Jl Beban mati							17856		kg
Total Beban mati tambahan							4320		kg
Total Beban hidup							8810,45		kg
Total Pembebangan (kombinasi 2) 1,2(DL+SDL)+1,6LL							40707,8		kg

(Sumber: Hasil Analisis Penulis, 2025)

$$\begin{aligned}
 b = h &= \sqrt{\frac{\text{Beban (lt 10 + lt 9)}}{0,4 \times f_c}} \\
 &= \sqrt{\frac{40707,8 + 45423,2}{0,4 \times 305,915}} \\
 &= 26,53 \text{ cm, dipakai dimensi kolom } 45\text{cm} \times 45\text{cm.}
 \end{aligned}$$

c. Kolom (K2) lt 7

$$\begin{aligned}
 b = h &= \sqrt{\frac{\text{Beban (lt 10 + lt 9 + lt 8)}}{0,4 \times f_c}} \\
 &= \sqrt{\frac{40707,8 + 45423,2 \times 2}{0,4 \times 305,915}} \\
 &= 32,2 \text{ cm, dipakai dimensi kolom } 45\text{cm} \times 45\text{cm.}
 \end{aligned}$$

d. Kolom (K2) lt 6

$$\begin{aligned}
 b = h &= \sqrt{\frac{\text{Beban (lt 10 + lt 9 + lt 8 + lt 7)}}{0,4 \times f_c}} \\
 &= \sqrt{\frac{40707,8 + 45423,2 \times 3}{0,4 \times 305,915}} \\
 &= 37 \text{ cm, dipakai dimensi kolom } 45\text{cm} \times 45\text{cm.}
 \end{aligned}$$

c. Kolom (K2) lt 5

$$\begin{aligned} b = h &= \sqrt{\frac{\text{Beban (lt 10 + lt 9 + lt 8 + lt 7 + lt 6)}}{0,4 \times f_c}} \\ &= \sqrt{\frac{40707,8 + 45423,2 \times 4}{0,4 \times 305,915}} \\ &= 41,25 \text{ cm, dipakai dimensi kolom } 45\text{cm} \times 45\text{cm.} \end{aligned}$$

f. Kolom (K1) lt 4

$$\begin{aligned} b = h &= \sqrt{\frac{\text{Beban (lt 10 + lt 9 + lt 8 + lt 7 + lt 6 + lt 5)}}{0,4 \times f_c}} \\ &= \sqrt{\frac{40707,8 + 45423,2 \times 5}{0,4 \times 305,915}} \\ &= 45,1 \text{ cm} \end{aligned}$$

Dipakai dimensi 60cm x 60cm mengikuti kebutuhan dimensi pedestal yang akan dihitung selanjutnya.

g. Kolom (K1) lt 3

Berikut pembebanan tributary area per lantai 1-4.

Tabel 5.15 Pembebanan Tributary Area Per Lantai 1-4

No	Jenis Bahan	Tipe	Luas	Lebar	Tinggi	Panjang	BJ	Total	Satuan
1	Balok	B1		0,25	0,5	12	2400	3600	kg
2	Balok	B3		0,25	0,4	6	2400	1440	kg
3	Kolom	K1		0,6	4	0,6	2400	3456	kg
4	Pelat		36		0,13		2400	11232	kg
5	Plester 2cm		36				53	1908	kg
6	Keramik		36				24	864	kg
7	MEP		36				25	900	kg
8	Plafond dan pengantung		36				18	648	kg
9	LL Perkantoran		36				244,7319	8810,45	kg
Total Beban mati							19728		kg
Total Beban mati tambahan							4320		kg
Total Beban hidup							8810,45		kg
Total Pembebanan (kombinasi 2) 1,2(DL+SDL)+1,6LL							42954,2		kg

(Sumber: Hasil Analisis Penulis, 2025)

$$\begin{aligned}
 b = h &= \sqrt{\frac{\text{Beban (lt 10 + lt 9 + lt 8 + lt 7 + lt 6 + lt 5 + lt 4)}}{0,4 \times f_c}}^{\text{35}} \\
 &= \sqrt{\frac{43818,157 + 46719,235 \times 5 + 42954,2}{0,4 \times 305,915}} \\
 &= 48,84 \text{ cm, dipakai dimensi kolom } 60\text{cm} \times 60\text{cm.}
 \end{aligned}$$

h. Kolom (K1) lt 2

$$\begin{aligned}
 b = h &= \sqrt{\frac{\text{Beban (lt 10 + lt 9 + lt 8 + lt 7 + lt 6 + lt 5 + lt 4 + lt 3)}}{0,4 \times f_c}}^{\text{35}} \\
 &= \sqrt{\frac{43818,157 + 46719,235 \times 5 + 42954,2 \times 2}{0,4 \times 305,915}} \\
 &= 52,31 \text{ cm, dipakai dimensi kolom } 60\text{cm} \times 60\text{cm.}
 \end{aligned}$$

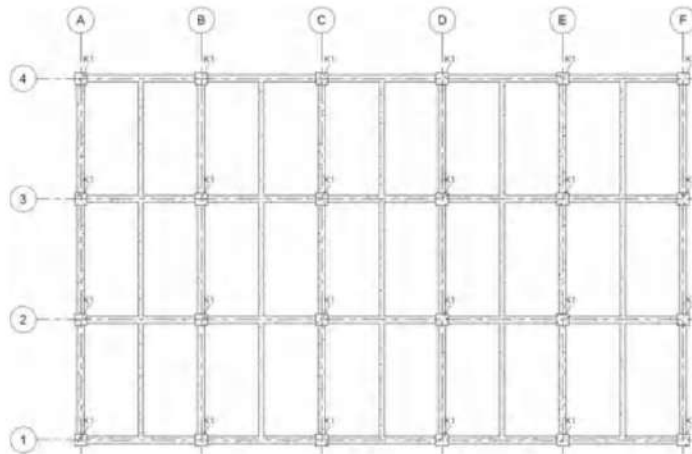
i. Kolom (K1) lt 1

$$\begin{aligned}
 b = h &= \sqrt{\frac{\text{Beban (lt 10 + lt 9 + lt 8 + lt 7 + lt 6 + lt 5 + lt 4 + lt 3 + lt 2)}}{0,4 \times f_c}}^{\text{35}} \\
 &= \sqrt{\frac{43818,157 + 46719,235 \times 5 + 42954,2 \times 3}{0,4 \times 305,915}} \\
 &= 55,57 \text{ cm, dipakai dimensi kolom } 60\text{cm} \times 60\text{cm.}
 \end{aligned}$$

j. Kolom (K1) pedestal

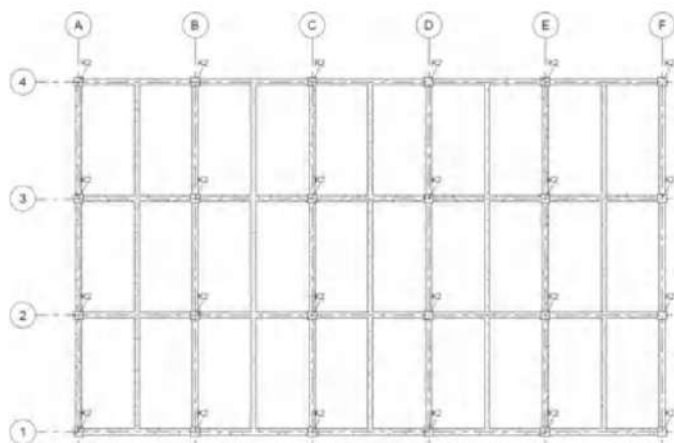
$$\begin{aligned}
 b = h &= \sqrt{\frac{\text{Beban (lt 10 + lt 9 + lt 8 + lt 7 + lt 6 + lt 5 + lt 4 + lt 3 + lt 2 + lt 1)}}{0,4 \times f_c}}^{\text{35}} \\
 &= \sqrt{\frac{43818,157 + 46719,235 \times 5 + 42954,2 \times 4}{0,3 \times 305,915}} \\
 &= 58,64 \text{ cm, dipakai dimensi kolom } 60\text{cm} \times 60\text{cm.}
 \end{aligned}$$

Setelah dilakukan perhitungan, didapat dimensi kolom (K1) sebesar 60cm x 60cm dan dimensi kolom (K2) sebesar 45cm x 45cm. Untuk pengecekan batasan dimensi kolom pada SRPMK akan dibahas pada poin selanjutnya.



Gambar 5.33 Denah Kolom Lantai 1-4

(Sumber: Hasil Analisis Penulis, 2025)



Gambar 5.34 Denah Kolom Lantai 5-9

(Sumber: Hasil Analisis Penulis, 2025)

5.5 Permodelan Struktur

Struktur dimodelkan pada perangkat lunak *ETABS* dan *TSD*. Struktur dimodelkan dalam skala 3 dimensi dengan memasukkan elemen struktur yang berupa kolom,

balok, dan pelat. Pelat beton dimodelkan sebagai *shell* (pada *ETABS*) dan *slab on beams* (pada *TSD*) dengan asumsi pelat membantu dalam menahan gaya yang terjadi. Beban struktur meliputi beban mati (DL), beban mati tambahan (SDL), beban hidup (LL), dan beban gempa. Jenis tumpuan berupa perletakan jepit. Tahapan permodelan pada kedua perangkat lunak tidak jauh berbeda.

5.5.1 Permodelan struktur pada *ETABS*

Berikut step step permodelan struktur pada perangkat lunak *ETABS*.

a. Pengaturan permodelan dan pembuatan grid

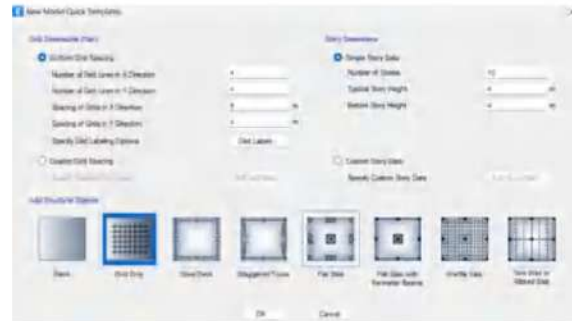
Permodelan menggunakan unit *Metric SI* dengan kode desain beton ACI 318:14 sesuai acuan dari standar peraturan Indonesia yaitu SNI 2847:2019. Grid dan jumlah lantai mengikuti data pada poin sebelumnya.



Gambar 5.35 Pengaturan Permodelan Pada *ETABS*

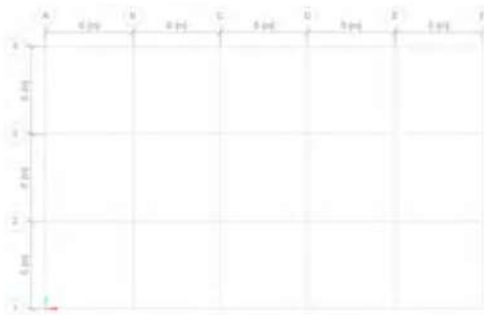
28

(Sumber: Hasil Analisis Penulis, 2025)



Gambar 5.36 Pengaturan Grid Dan Story Pada *ETABS*

(Sumber: Hasil Analisis Penulis, 2025)



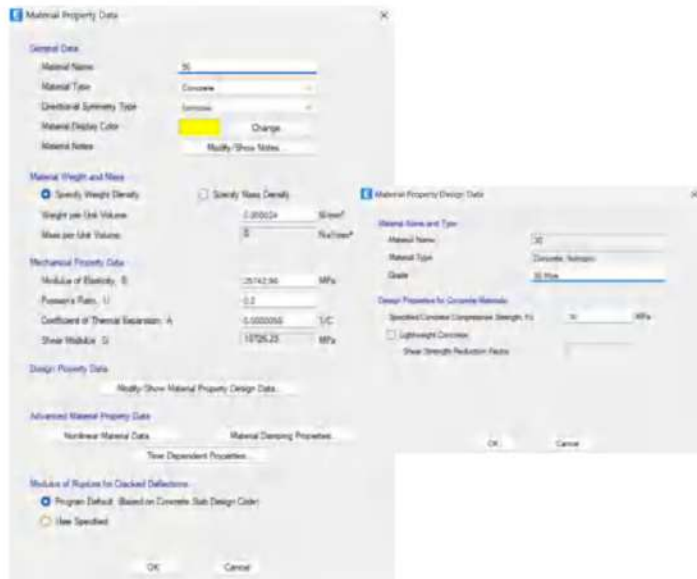
Gambar 5.37 Denah Grid Pada ETABS

(Sumber: Hasil Analisis Penulis, 2025)

b. Pendefinisian material

³¹

Material beton menggunakan mutu benton f_c' 30 Mpa, berat jenis 2400 kg/m³, dan modulus elastisitas beton sebesar $4700\sqrt{30} = 25742,96$ Mpa.



Gambar 5.38 Pendefinisian Material Beton f_c' 30 Mpa Pada ETABS

(Sumber: Hasil Analisis Penulis, 2025)

c. Pendefinisan elemen struktur (balok kolom pelat)

Berikut ukuran elemen struktur:

Ukuran balok induk (B1) = $250 \times 500 \text{ mm}$

Ukuran balok induk (B2) = $250 \times 450 \text{ mm}$

Ukuran balok anak (B3) = $250 \times 400 \text{ mm}$

Ukuran kolom (K1) = $600 \times 600 \text{ mm}$

Ukuran kolom (K2) = $450 \times 450 \text{ mm}$

Ukuran pelat = 130 mm dimodelkan sebagai *membrane*

Pada pendefinisan elemen struktur, dibutuhkan besaran momen inersia dan luas penampang yang diatur berdasarkan SNI 2847:2019 Tabel 6.6.3.1.1(a) atau

Tabel 6.6.3.1.1(b) Hal 103.

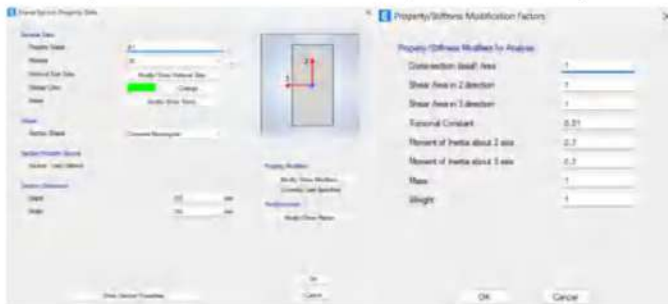
Tabel 5.16 Momen Inersia Dan Luas Penampang Yang Diizinkan Untuk Analisis

Elastis Pada Level Beban Terfaktor

Bagian dan kondisi	Momen inersia	Luas penampang
Kolom	$0,70 I_g$	
Dinding	Tidak retak	$0,70 I_g$
	Retak	$0,35 I_g$
Balok	$0,35 I_g$	
Pelat datar dan slab datar	$0,25 I_g$	

(Sumber: SNI 2847:2019 Tabel 6.6.3.1.1(a) Hal 103)

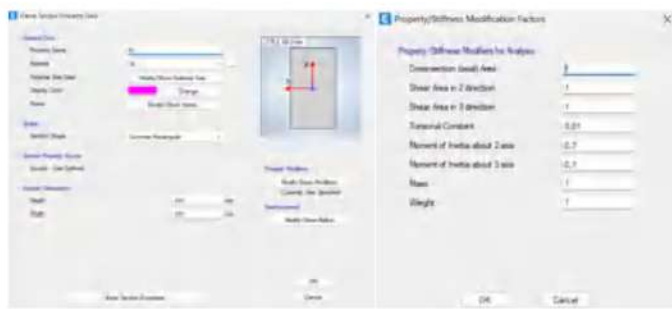
Berikut pendefinisan elemen balok induk (B1) 250 mm x 500 mm pada ETABS.



Gambar 5.39 Pendefinisan Elemen Balok Induk (B1) Pada ETABS

(Sumber: Hasil Analisis Penulis, 2025)

Berikut pendefinisan elemen balok induk (B2) 250 mm x 450 mm pada ETABS.



Gambar 5.40 Pendefinisan Elemen Balok Induk (B2) Pada *ETABS*

(Sumber: Hasil Analisis Penulis, 2025)

Berikut pendefinisan elemen balok anak (B3) 250 mm x 400 mm pada *ETABS*.



Gambar 5.41 Pendefinisan Elemen Balok Anak (B3) Pada *ETABS*

(Sumber: Hasil Analisis Penulis, 2025)

Berikut pendefinisan elemen kolom (K1) 600 mm x 600 mm pada *ETABS*.



Gambar 5.42 Pendefinisan Elemen Kolom (K1) Pada *ETABS*

(Sumber: Hasil Analisis Penulis, 2025)

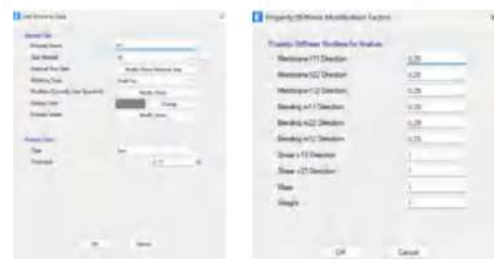
Berikut pendefinisan elemen kolom (K2) 450 mm x 450 mm pada *ETABS*.



Gambar 5.43 Pendefinisan Elemen Kolom (K2) Pada *ETABS*

(Sumber: Hasil Analisis Penulis, 2025)

Berikut pendefinisan elemen pelat dengan tebal 130 mm pada *ETABS*.



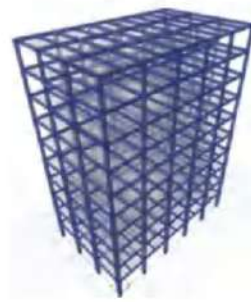
Gambar 5.44 Pendefinisan Elemen Pelat Pada *ETABS*

(Sumber: Hasil Analisis Penulis, 2025)

d. Permodelan struktur pada *ETABS*

²

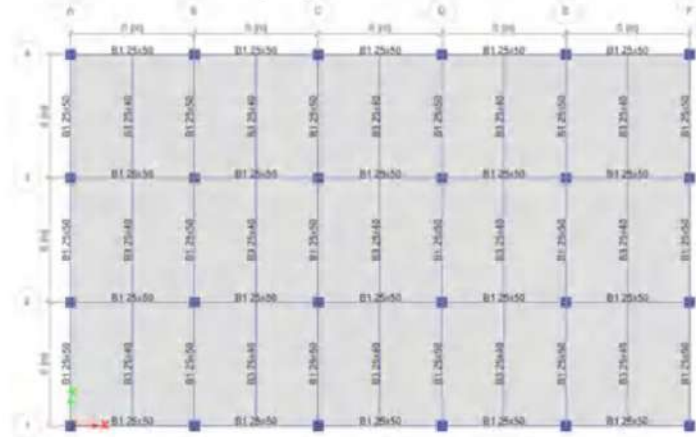
Berikut permodelan struktur pada *ETABS*.



Gambar 5.45 Permodelan Struktur Pada *ETABS*

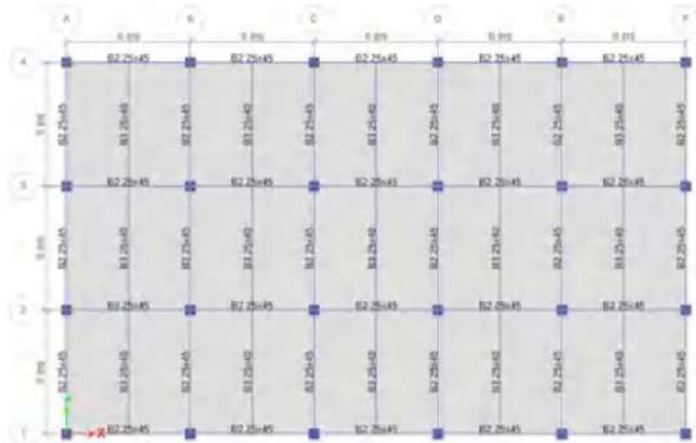
(Sumber: Hasil Analisis Penulis, 2025)

Berikut denah lantai 1-10 pada permodelan ETABS.



Gambar 5.46 Denah Lantai 1-5 Pada ETABS

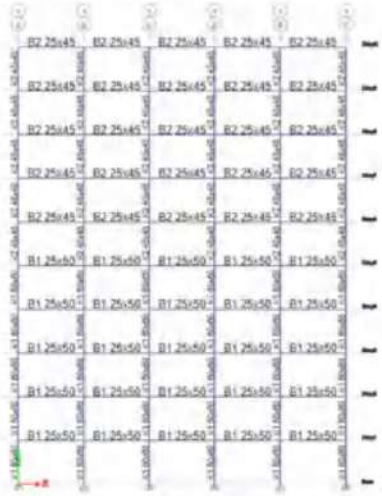
(Sumber: Hasil Analisis Penulis, 2025)



Gambar 5.47 Denah Lantai 6-10 Pada ETABS

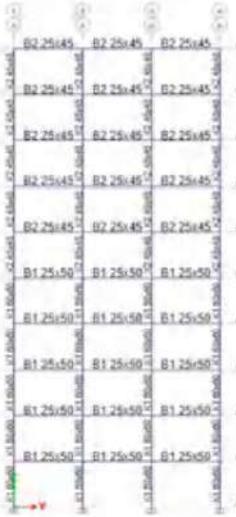
(Sumber: Hasil Analisis Penulis, 2025)

Berikut potongan 1-1 dan potongan A-A pada permodelan ETABS.



Gambar 5.48 Potongan 1 - 1 Pada ETABS

(Sumber: Hasil Analisis Penulis, 2025)



Gambar 5.49 Potongan A - A Pada ETABS

(Sumber: Hasil Analisis Penulis, 2025)

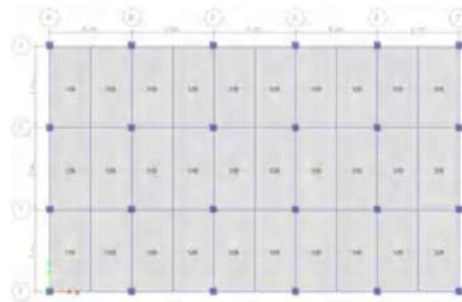
c. Penginputan beban

Beban yang diinput berupa **beban mati tambahan** (SDL), **beban hidup** (LL), dan **beban gempa**. Untuk beban mati (DL) dihitung secara otomatis oleh *ETABS*.

1) Beban mati tambahan (SDL)

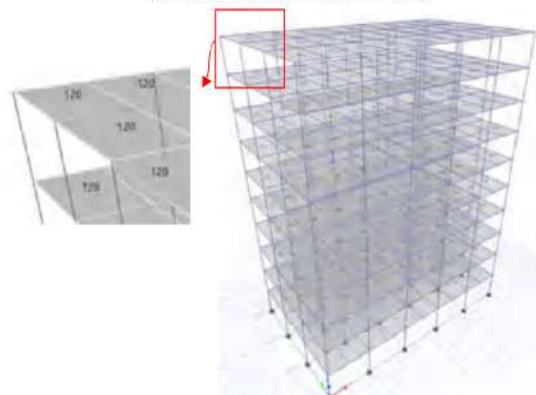
Beban mati tambahan berupa **beban yang ada pada pelat** yang telah dihitung sebelumnya sebesar 120 kg/m^2 pada semua lantai dan beban akibat dinding yang ada pada balok perimeter bangunan, khusus untuk lantai 10 tinggi dinding hanya 1m.

Beban mati tambahan (SDL) pelat lantai 1-10 = 120 kg/m^2



Gambar 5.50 Beban Mati Tambahan (SDL) Pelat Lantai 1-10 Pada *ETABS*

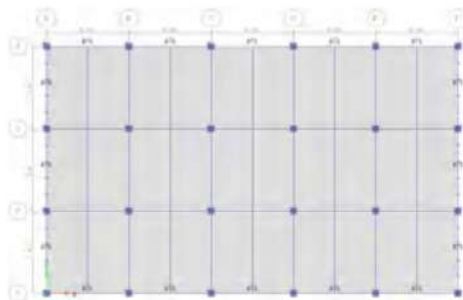
(Sumber: Hasil Analisis Penulis, 2025)



Gambar 5.51 Tampak 3D Beban Mati Tambahan (SDL) Pelat Pada *ETABS*

(Sumber: Hasil Analisis Penulis, 2025)

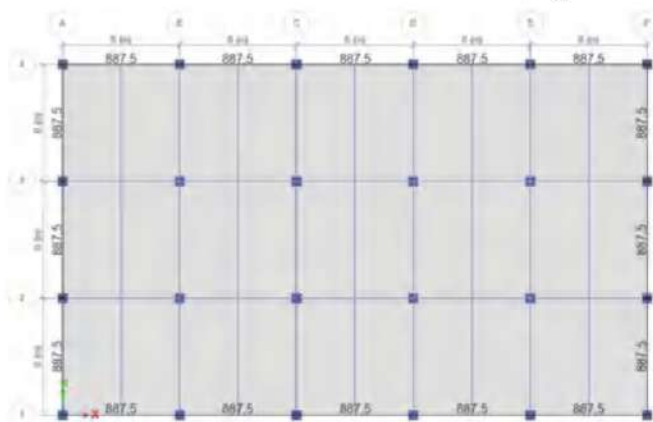
$$\begin{aligned}
 \text{Beban mati tambahan (SDL) dinding lantai 1-4} &= (4 - 0,5)\text{m} \times 250 \text{ kg/m}^2 \\
 &\stackrel{22}{=} 875 \text{ kg/m}^2
 \end{aligned}$$



Gambar 5.52 Beban Mati Tambahan (SDL) Dinding Lantai 1-4 Pada ETABS

(Sumber: Hasil Analisis Penulis, 2025)

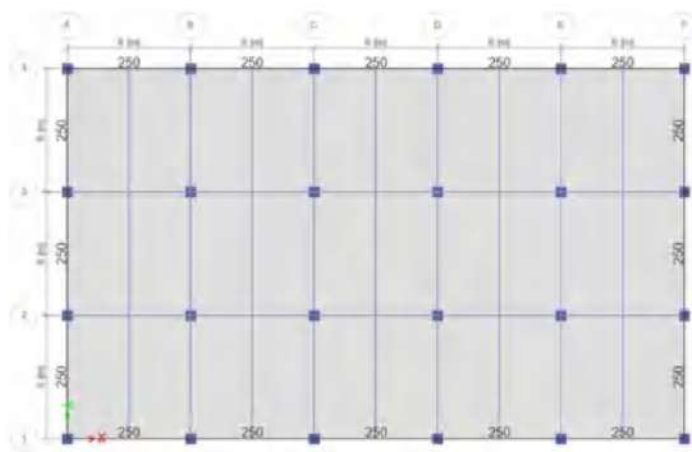
$$\begin{aligned}
 \text{Beban mati tambahan (SDL) dinding lantai 5-9} &= (4 - 0,45)\text{m} \times 250 \text{ kg/m}^2 \\
 &\stackrel{22}{=} 887,5 \text{ kg/m}^2
 \end{aligned}$$



Gambar 5.53 Beban Mati Tambahan (SDL) Dinding Lantai 5-9 Pada ETABS

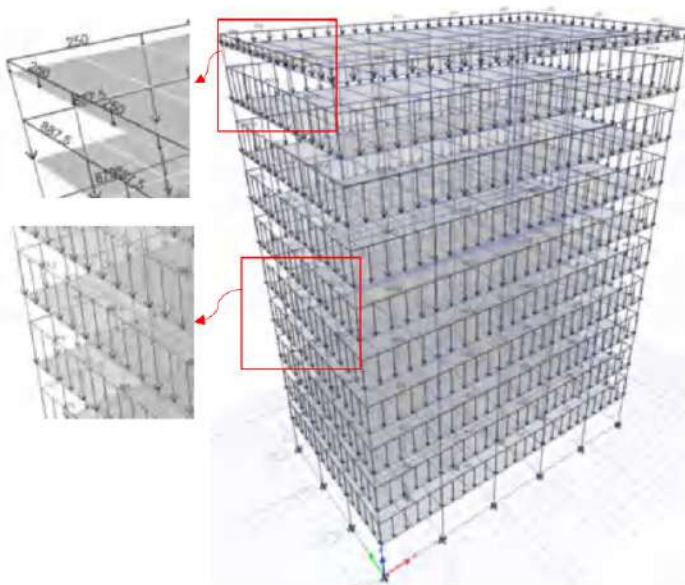
(Sumber: Hasil Analisis Penulis, 2025)

$$\begin{aligned}
 \text{Beban mati tambahan (SDL) dinding lantai 10} &= 1 \text{ m} \times 250 \text{ kg/m}^2 \\
 &= 250 \text{ kg/m}^2
 \end{aligned}$$



Gambar 5.54 Beban Mati Tambahan (SDL) Dinding Lantai 10 Pada ETABS

(Sumber: Hasil Analisis Penulis, 2025)



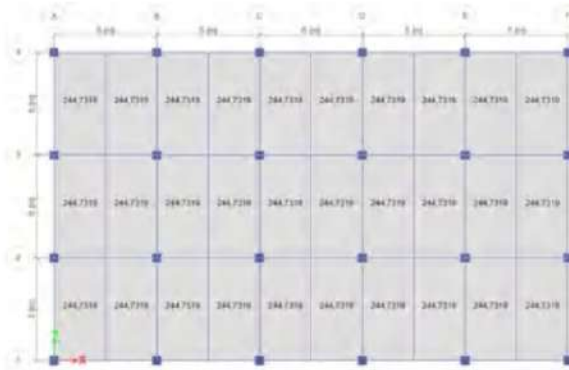
Gambar 5.55 Tampak 3D Beban Mati Tambahan (SDL) Dinding Pada ETABS

(Sumber: Hasil Analisis Penulis, 2025)

7
2) Beban hidup (LL)

Beban hidup mengacu pada Tabel 4.3-1 SNI 1727:2020 Hal 26 yang terdistribusi pada pelat. Beban hidup pada lantai 1-9 dengan fungsi lantai perkantoran sebesar $2,4 \text{ kN/m}^2$ dan beban hidup pada lantai 10 dengan fungsi lantai balkon atau dak sebesar $1,5 \times 2,4 \text{ kN/m}^2 = 3,6 \text{ kN/m}^2$

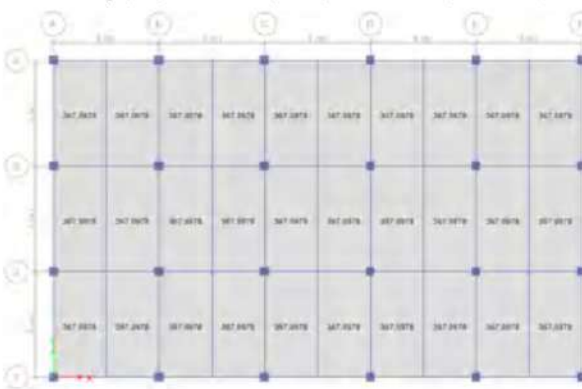
Beban hidup (LL) lantai 1-9 = $2,4 \text{ kN/m}^2 \times 101,972 = 244,7319 \text{ kg/m}^2$



Gambar 5.56 Beban Hidup (LL) Lantai 1-9 Pada ETABS

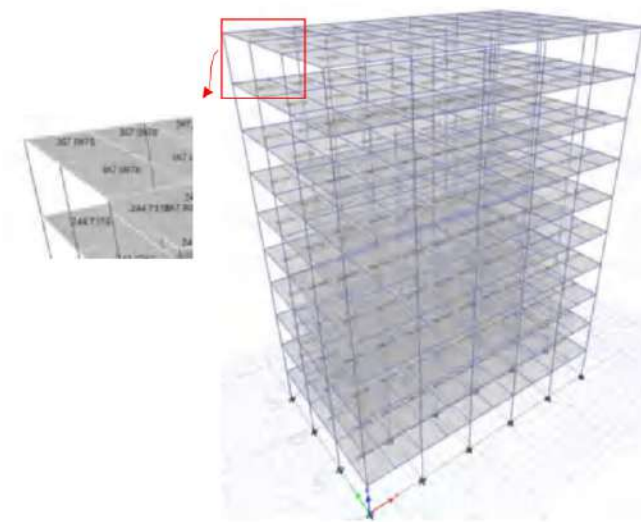
(Sumber: Hasil Analisis Penulis, 2025)

Beban hidup (LL) lantai 10 = $1,5 \times 2,4 \text{ kN/m}^2 \times 101,972 = 367,098 \text{ kg/m}^2$



Gambar 5.57 Beban Hidup (LL) Lantai 10 Pada ETABS

(Sumber: Hasil Analisis Penulis, 2025)

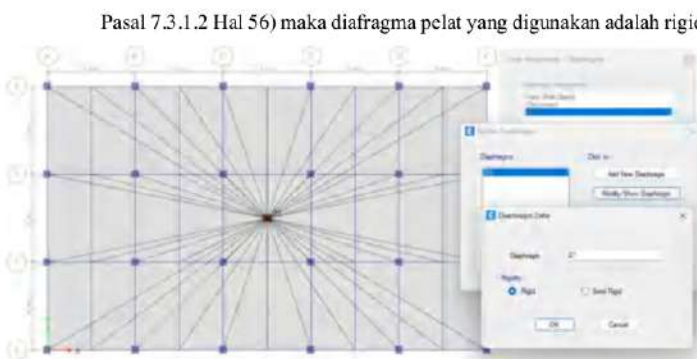


Gambar 5.58 Tampak 3D Beban Hidup (LL) Pelat Pada ETABS

(Sumber: Hasil Analisis Penulis, 2025)

3) Beban gempa

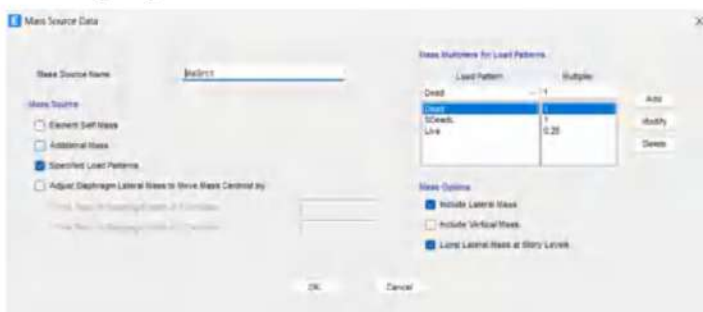
- a) Karena dalam kasus penelitian ini perbandingan panjang penutup lantai dengan lebar penutup lantai sebesar $\frac{30}{18} = 1,667 \leq 3$ (SNI 1726:2020 Pasal 7.3.1.2 Hal 56) maka diafragma pelat yang digunakan adalah rigid.



Gambar 5.59 Permodelan Diafragma Pada ETABS

(Sumber: Hasil Analisis Penulis, 2025)

- ⁴⁰ b) Berat seismik mengacu pada SNI 1726:2019 Pasal 7.7.2 Hal 68. ⁴⁸
 Beban yang harus disertakan ke dalam permodelan yaitu 100% beban mati (DL), 100% beban mati tambahan (SDL), dan minimal 25% beban hidup (LL). Untuk penginputan beban seismik pada ETABS dapat dilihat pada gambar dibawah ini.



Gambar 5.60 Penginputan *Mass Source* Pada ETABS

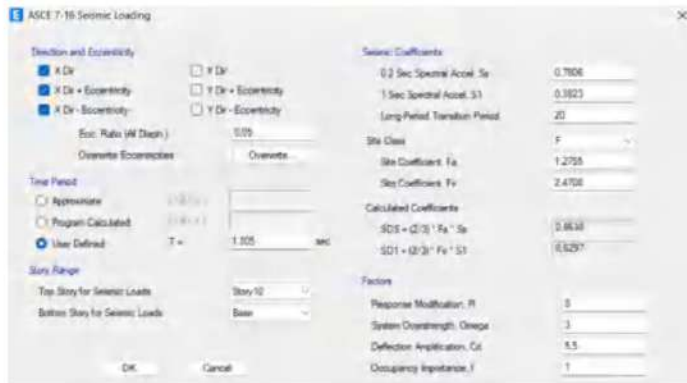
(Sumber: Hasil Analisis Penulis, 2025)

- c) Beban gempa statis diinput sesuai data parameter respon spektrum yang diambil dari website RSA Cipta Karya. Untuk penggunaan nilai periode akan dijelaskan pada poin selanjutnya. Berikut penginputan beban gempa statis pada ETABS.



Gambar 5.61 Penamaan Beban Pada ETABS

(Sumber: Hasil Analisis Penulis, 2025)



Gambar 5.62 Penginputan Beban Gempa Statis Arah X Pada ETABS

(Sumber: Hasil Analisis Penulis, 2025)



Gambar 5.63 Penginputan Beban Gempa Statis Arah Y Pada ETABS

(Sumber: Hasil Analisis Penulis, 2025)

- d) Beban gempa dinamik diinput sesuai data parameter respon spektrum yang diambil dari website RSA Cipta Karya.



Gambar 5.64 Penginputan Respon Spektrum Pada ETABS

(Sumber: Hasil Analisis Penulis, 2025)

Lalu perlu didefinisikan beban gempa dinamik untuk pengecekan apakah gempa dinamik lebih besar dari statik. Pada kolom *scale* diisi dengan menggunakan rumus berikut.

$$- \quad \text{Arah } x (U1) = \frac{g}{R} = \frac{9,81}{\frac{1}{1}} = 1,22625$$

$$- \quad \text{Arah y (U2)} = \frac{\frac{g}{R}}{\frac{1}{l^2}} = \frac{9,81}{\frac{8}{1}} = 1,22625$$

Lead Case Data

Lead Case Name	Response Specialist	Design...
Lead Case Type	Response Specialist	Design...
New Source	Response Specialist	Design...
Address Mgmt	Default	Design...

Lead Address

Lead Type	Lead Name	Telephone	Lead Folder
Accredited	John Doe	(555) 123-4567	Lead

New Parameters

Mobile Lead Case	Mobile
Mobile Construction Method	Mobile
<input type="checkbox"/> Include Right Response	Right Response

Advanced Construction Data

Advanced Construction Type	Mobile	
Mobile Demping	Customer (S)	Mobile Dem...
Employee Demping	Customer (S)	Mobile Dem...

Lead Case Data

Lead Case Name	Response Specialist	Design...
Lead Case Type	Response Specialist	Design...
New Source	Response Specialist	Design...
Address Mgmt	Default	Design...

Lead Address

Lead Type	Lead Name	Telephone	Lead Folder
Accredited	John Doe	(555) 123-4567	Lead

New Parameters

Mobile Lead Case	Mobile
Mobile Construction Method	Mobile
<input type="checkbox"/> Include Right Response	Right Response

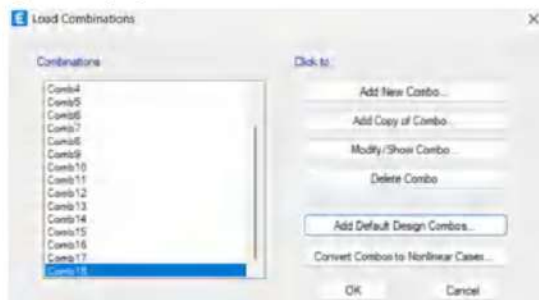
Advanced Construction Data

Advanced Construction Type	Mobile	
Mobile Demping	Customer (S)	Mobile Dem...
Employee Demping	Customer (S)	Mobile Dem...

Gambar 5.65 Pendefinisian Beban Gempa Dinamik Arah X dan Y Pada ETABS

(Sumber: Hasil Analisis Penulis, 2025)

- f. Kombinasi beban yang telah dibuat pada poin sebelumnya perlu diinput pada *ETABS* untuk mengetahui pengaruh gaya yang terjadi pada setiap kombinasi terhadap struktur yang telah dimodelkan.

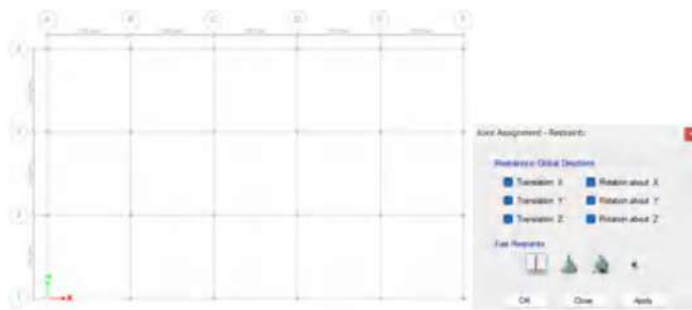


Gambar 5.66 Penginputan Kombinasi Beban Pada *ETABS*

(Sumber: Hasil Analisis Penulis, 2025)

- g. Jenis perletakan

Perletakan kolom dimodelkan sebagai jepit.

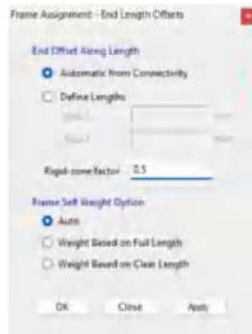


Gambar 5.67 Jenis Perletakan Kolom Pada *ETABS*

(Sumber: Hasil Analisis Penulis, 2025)

Pada setiap pertemuan kolom balok, *End length offset* atau pemotongan panjang pada setiap pertemuan kolom balok akan dihitung secara otomatis oleh *ETABS*. Untuk *rigid zone factor* atau faktor zona kekakuan sambungan pada kolom balok digunakan sebesar 0,5. Angka 0,5 diambil karena secara aktual sambungan kolom balok tidak sepenuhnya kaku, melainkan memiliki sedikit fleksibilitas.

Maka dari itu nilai 0,5 merupakan nilai pendekatan untuk menggambarkan sambungan kolom balok secara aktual.



Gambar 5.68 End Length Offset Dan Rigid Zone Factor Pada ETABS

(Sumber: Hasil Analisis Penulis, 2025)

h. Running permodelan

Untuk melihat hasil analisis struktur, perlu di running agar perhitungan analisis struktur dihitung otomatis oleh ETABS.



Gambar 5.69 Pengaturan Load Case Yang Akan Running Pada ETABS

(Sumber: Hasil Analisis Penulis, 2025)

i. Permodelan *uncrack*

Setelah permodelan *crack* dibuat pada poin sebelumnya, perlu dibuat permodelan *uncrack* pada file ETABS terpisah untuk digunakan mencari periode yang akan dipakai. Perbedaan permodelan *uncrack* dan *crack* hanya pada modifikasi faktor elemen yang bernilai 1.

5.5.2 Permodelan struktur pada TSD

Berikut step step permodelan struktur pada perangkat lunak TSD.

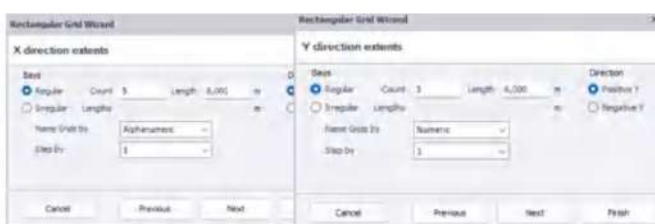
a. Pengaturan permodelan dan pembuatan grid

Permodelan menggunakan kode desain beton ACI 318-14 dan kode desain seismik ASCE7-16 sesuai acuan dari standar peraturan Indonesia yaitu SNI 2847:2019 dan SNI 1726:2019. Grid dan jumlah lantai mengikuti data pada poin sebelumnya.



Gambar 5.70 Pengaturan Kode Desain Pada TSD

(Sumber: Hasil Analisis Penulis, 2025)



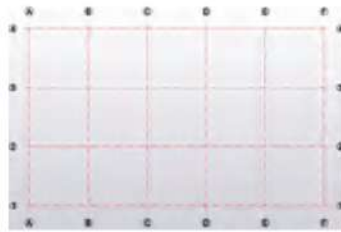
Gambar 5.71 Pengaturan Grid Pada TSD

(Sumber: Hasil Analisis Penulis, 2025)

Computation Levels							
#	Name	Type	Length [m]	Staggered [m]	Source	Safe Hs [mm]	Floor
1	1	L.S.L.	40,000	4,000	WIND	3,0	1
2	2	L.S.L.	36,000	4,000	WIND	3,0	1
3	3	L.S.L.	32,000	4,000	WIND	3,0	1
4	4	L.S.L.	28,000	4,000	WIND	3,0	1
5	5	L.S.L.	24,000	4,000	WIND	3,0	1
6	6	L.S.L.	20,000	4,000	WIND	3,0	1
7	7	L.S.L.	16,000	4,000	WIND	3,0	1
8	8	L.S.L.	12,000	4,000	WIND	3,0	1
9	9	L.S.L.	8,000	4,000	WIND	3,0	1
10	10	L.S.L.	4,000	4,000	WIND	3,0	1
11	11	L.S.L.	12,000	4,000	WIND	3,0	2
12	12	L.S.L.	8,000	4,000	WIND	3,0	2
13	13	L.S.L.	4,000	4,000	WIND	3,0	2
14	14	L.S.L.	12,000	4,000	WIND	3,0	3
15	15	L.S.L.	8,000	4,000	WIND	3,0	3
16	16	L.S.L.	4,000	4,000	WIND	3,0	3
17	17	L.S.L.	12,000	4,000	WIND	3,0	4
18	18	L.S.L.	8,000	4,000	WIND	3,0	4
19	19	L.S.L.	4,000	4,000	WIND	3,0	4
20	20	L.S.L.	12,000	4,000	WIND	3,0	5
21	21	L.S.L.	8,000	4,000	WIND	3,0	5
22	22	L.S.L.	4,000	4,000	WIND	3,0	5
23	23	L.S.L.	12,000	4,000	WIND	3,0	6
24	24	L.S.L.	8,000	4,000	WIND	3,0	6
25	25	L.S.L.	4,000	4,000	WIND	3,0	6
26	26	L.S.L.	12,000	4,000	WIND	3,0	7
27	27	L.S.L.	8,000	4,000	WIND	3,0	7
28	28	L.S.L.	4,000	4,000	WIND	3,0	7
29	29	L.S.L.	12,000	4,000	WIND	3,0	8
30	30	L.S.L.	8,000	4,000	WIND	3,0	8
31	31	L.S.L.	4,000	4,000	WIND	3,0	8
32	32	L.S.L.	12,000	4,000	WIND	3,0	9
33	33	L.S.L.	8,000	4,000	WIND	3,0	9
34	34	L.S.L.	4,000	4,000	WIND	3,0	9
35	35	L.S.L.	12,000	4,000	WIND	3,0	10
36	36	L.S.L.	8,000	4,000	WIND	3,0	10
37	37	L.S.L.	4,000	4,000	WIND	3,0	10
38	38	L.S.L.	12,000	4,000	WIND	3,0	11
39	39	L.S.L.	8,000	4,000	WIND	3,0	11
40	40	L.S.L.	4,000	4,000	WIND	3,0	11
41	41	L.S.L.	12,000	4,000	WIND	3,0	12
42	42	L.S.L.	8,000	4,000	WIND	3,0	12
43	43	L.S.L.	4,000	4,000	WIND	3,0	12
44	44	L.S.L.	12,000	4,000	WIND	3,0	13
45	45	L.S.L.	8,000	4,000	WIND	3,0	13
46	46	L.S.L.	4,000	4,000	WIND	3,0	13
47	47	L.S.L.	12,000	4,000	WIND	3,0	14
48	48	L.S.L.	8,000	4,000	WIND	3,0	14
49	49	L.S.L.	4,000	4,000	WIND	3,0	14
50	50	L.S.L.	12,000	4,000	WIND	3,0	15
51	51	L.S.L.	8,000	4,000	WIND	3,0	15
52	52	L.S.L.	4,000	4,000	WIND	3,0	15
53	53	L.S.L.	12,000	4,000	WIND	3,0	16
54	54	L.S.L.	8,000	4,000	WIND	3,0	16
55	55	L.S.L.	4,000	4,000	WIND	3,0	16
56	56	L.S.L.	12,000	4,000	WIND	3,0	17
57	57	L.S.L.	8,000	4,000	WIND	3,0	17
58	58	L.S.L.	4,000	4,000	WIND	3,0	17
59	59	L.S.L.	12,000	4,000	WIND	3,0	18
60	60	L.S.L.	8,000	4,000	WIND	3,0	18
61	61	L.S.L.	4,000	4,000	WIND	3,0	18
62	62	L.S.L.	12,000	4,000	WIND	3,0	19
63	63	L.S.L.	8,000	4,000	WIND	3,0	19
64	64	L.S.L.	4,000	4,000	WIND	3,0	19
65	65	L.S.L.	12,000	4,000	WIND	3,0	20
66	66	L.S.L.	8,000	4,000	WIND	3,0	20
67	67	L.S.L.	4,000	4,000	WIND	3,0	20
68	68	L.S.L.	12,000	4,000	WIND	3,0	21
69	69	L.S.L.	8,000	4,000	WIND	3,0	21
70	70	L.S.L.	4,000	4,000	WIND	3,0	21
71	71	L.S.L.	12,000	4,000	WIND	3,0	22
72	72	L.S.L.	8,000	4,000	WIND	3,0	22
73	73	L.S.L.	4,000	4,000	WIND	3,0	22
74	74	L.S.L.	12,000	4,000	WIND	3,0	23
75	75	L.S.L.	8,000	4,000	WIND	3,0	23
76	76	L.S.L.	4,000	4,000	WIND	3,0	23
77	77	L.S.L.	12,000	4,000	WIND	3,0	24
78	78	L.S.L.	8,000	4,000	WIND	3,0	24
79	79	L.S.L.	4,000	4,000	WIND	3,0	24
80	80	L.S.L.	12,000	4,000	WIND	3,0	25
81	81	L.S.L.	8,000	4,000	WIND	3,0	25
82	82	L.S.L.	4,000	4,000	WIND	3,0	25
83	83	L.S.L.	12,000	4,000	WIND	3,0	26
84	84	L.S.L.	8,000	4,000	WIND	3,0	26
85	85	L.S.L.	4,000	4,000	WIND	3,0	26
86	86	L.S.L.	12,000	4,000	WIND	3,0	27
87	87	L.S.L.	8,000	4,000	WIND	3,0	27
88	88	L.S.L.	4,000	4,000	WIND	3,0	27
89	89	L.S.L.	12,000	4,000	WIND	3,0	28
90	90	L.S.L.	8,000	4,000	WIND	3,0	28
91	91	L.S.L.	4,000	4,000	WIND	3,0	28
92	92	L.S.L.	12,000	4,000	WIND	3,0	29
93	93	L.S.L.	8,000	4,000	WIND	3,0	29
94	94	L.S.L.	4,000	4,000	WIND	3,0	29
95	95	L.S.L.	12,000	4,000	WIND	3,0	30
96	96	L.S.L.	8,000	4,000	WIND	3,0	30
97	97	L.S.L.	4,000	4,000	WIND	3,0	30
98	98	L.S.L.	12,000	4,000	WIND	3,0	31
99	99	L.S.L.	8,000	4,000	WIND	3,0	31
100	100	L.S.L.	4,000	4,000	WIND	3,0	31

Gambar 5.72 Pengaturan Jumlah Dan Ketinggian Lantai Pada TSD

(Sumber: Hasil Analisis Penulis, 2025)



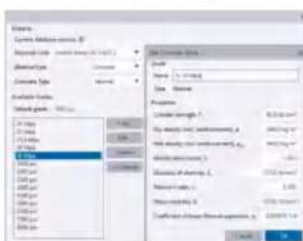
Gambar 5.73 Denah Grid Pada TSD

(Sumber: Hasil Analisis Penulis, 2025)

b. Pendefinisan material

³¹ Material beton menggunakan mutu benton f_c' 30 Mpa, berat jenis 2400 kg/m^3 ,

dan modulus elastisitas beton sebesar $4700\sqrt{30} = 25742,96 \text{ Mpa}$.



Gambar 5.74 Pendefinisan Material Beton F_c' 30 Mpa Pada ETABS

(Sumber: Hasil Analisis Penulis, 2025)

c. Pendefinisan elemen struktur (balok kolom pelat)

Berikut ukuran elemen struktur:

¹⁴ Ukuran balok induk (B1) = 250 x 500 mm

Ukuran balok induk (B2) = 250 x 450 mm

Ukuran balok anak (B3) = 250 x 400 mm

⁶⁰ Ukuran kolom (K1) = 600 x 600 mm

Ukuran kolom (K2) = 450 x 450 mm

Ukuran pelat = 130 mm dimodelkan sebagai slab on beams

⁷ Perlu diatur modifikasi faktor setiap elemen seperti yang diatur SNI 2847:2019

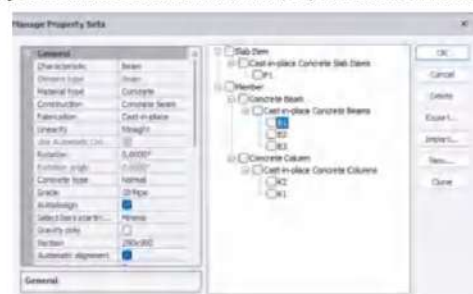
Tabel 6.6.3.1.1(a) dan Tabel 6.6.3.1.1(b) Hal 103. Berikut pengaturan modifikasi faktor pada TSD.

Analysis Settings							
	Element Type	N	Number - Major	Minor	Area	Average J.I Area	T
1" Order Nons-Cross	Flat Plate Girder	0,07	1,91	1,91	1,91	1,91	1,91
2" Order Nons-Cross	Flat Plate Girder	0,71	1,91	1,91	1,91	1,91	1,91
1" Order Metal	Flat Plate Girder	0,13					1,91
2" Order Building	Flanged Girder	0,76	1,91	1,91	1,91	1,91	1,91
3" Order Building	Flanged Girder	0,76	1,91	1,91	1,91	1,91	1,91
Concrete Cross-Wall Factors	Column Divided	1,06	0,06	2,45	0,79	1,91	1,91
Modifiable Factors	Column Undivided	1,06	0,06	1,91	0,79	1,91	1,91
	Column Unconnected	1,06	0,06	1,91	0,79	1,91	1,91
	Column Connected	1,06	0,06	1,91	0,79	1,91	1,91
	Flange Girder	0,29	0,75				1,91
	Flange Girder	0,09	0,21				1,91
	Flange Girder	0,55	1,33				1,91
	Flange Girder	1,40	3,50				1,91
	Concrete Slab	1,91	1,91				1,91

Gambar 5.75 Modifikasi Faktor Elemen Pada TSD

(Sumber: Hasil Analisis Penulis, 2025)

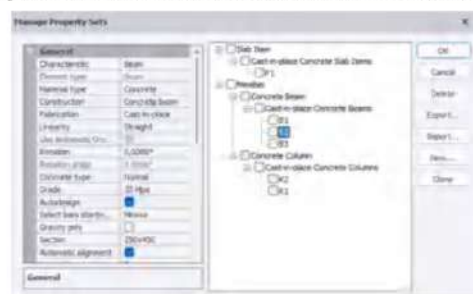
Berikut pendefinisian elemen balok induk (B1) 250 mm x 500 mm pada TSD.



Gambar 5.76 Pendefinisian Elemen Balok Induk (B1) Pada TSD

(Sumber: Hasil Analisis Penulis, 2025)

Berikut pendefinisian elemen balok induk (B2) 250 mm x 450 mm pada TSD.



Gambar 5.77 Pendefinisian Elemen Balok Induk (B2) Pada TSD

(Sumber: Hasil Analisis Penulis, 2025)

Berikut pendefinisan elemen balok anak (B3) 250 mm x 400 mm pada TSD.



Gambar 5.78 Pendefinisan Elemen Balok Anak (B3) Pada TSD

(Sumber: Hasil Analisis Penulis, 2025)

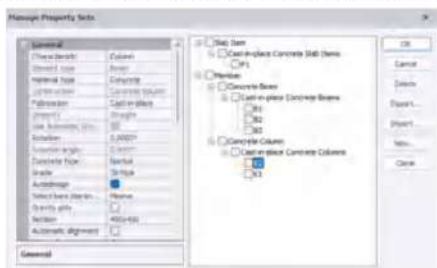
Berikut pendefinisan elemen kolom (K1) 600 mm x 600 mm pada TSD.



Gambar 5.79 Pendefinisan Elemen Kolom (K1) Pada TSD

(Sumber: Hasil Analisis Penulis, 2025)

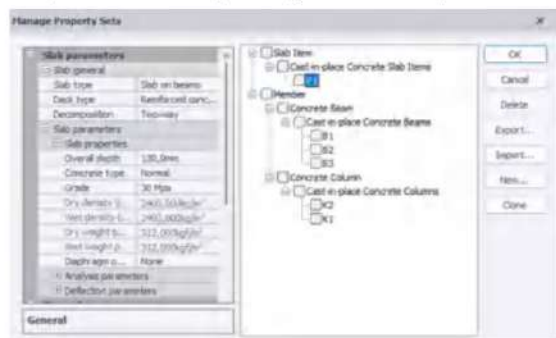
Berikut pendefinisan elemen kolom (K2) 450 mm x 450 mm pada TSD.



Gambar 5.80 Pendefinisan Elemen Kolom (K2) Pada TSD

(Sumber: Hasil Analisis Penulis, 2025)

Berikut pendefinisan elemen pelat dengan tebal 130 mm pada *TSD*.

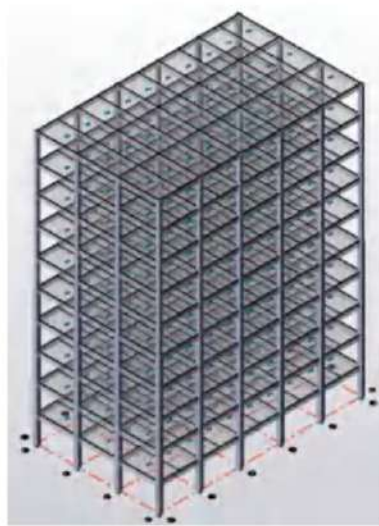


Gambar 5.81 Pendefinisan Elemen Pelat Pada *TSD*

(Sumber: Hasil Analisis Penulis, 2025)

d. Permodelan struktur pada *TSD*

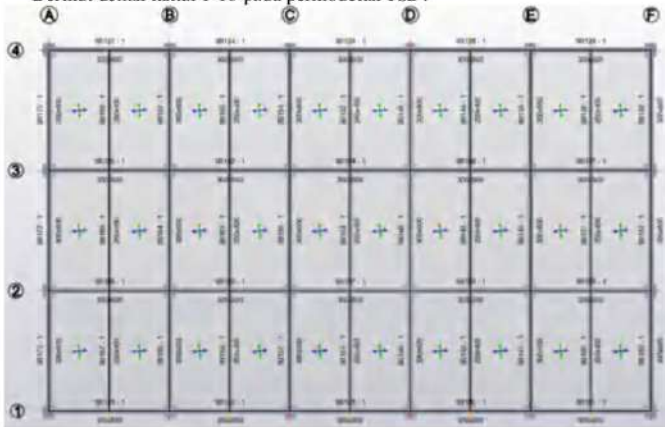
Berikut permodelan struktur pada *TSD*.



Gambar 5.82 Permodelan 3D Pada *TSD*

(Sumber: Hasil Analisis Penulis, 2025)

Berikut denah lantai 1-10 pada permodelan TSD.



Gambar 5.83 Denah Lantai 1-10 Pada TSD

(Sumber: Hasil Analisis Penulis, 2025)

c. Penginputan beban

Beban yang diinput berupa beban mati tambahan (SDL), beban hidup (LL), dan beban gempa. Untuk beban mati (DL) dihitung secara otomatis oleh TSD.

1) Beban mati tambahan (SDL)

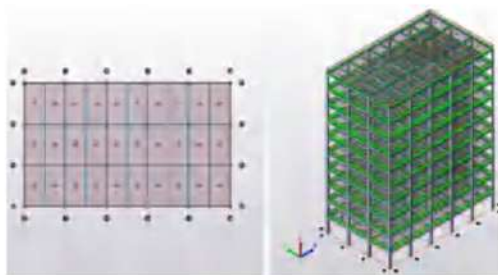
Beban mati tambahan berupa beban mati tambahan yang ada pada pelat yang telah dihitung sebelumnya sebesar 120 kg/m^2 pada semua lantai dan beban mati tambahan akibat dinding yang ada pada balok perimeter bangunan, khusus untuk lantai 10 tinggi dinding hanya 1m.

$$\text{Beban mati tambahan (SDL) pelat lantai 1-10} = 120 \text{ kg/m}^2$$

$$\begin{aligned}\text{Beban mati tambahan (SDL) dinding lantai 1-4} &= (4 - 0,5)\text{m} \times 250 \text{ kg/m}^2 \\ &= 875 \text{ kg/m}^2\end{aligned}$$

$$\begin{aligned}\text{Beban mati tambahan (SDL) dinding lantai 5-9} &= (4 - 0,45)\text{m} \times 250 \text{ kg/m}^2 \\ &= 887,5 \text{ kg/m}^2\end{aligned}$$

$$\begin{aligned}\text{Beban mati tambahan (SDL) dinding lantai 10} &= 1 \text{ m} \times 250 \text{ kg/m}^2 \\ &= 250 \text{ kg/m}^2\end{aligned}$$



Gambar 5.84 Beban Mati Tambahan (SDL) Pelat dan Dinding Lantai 1-10 Pada TSD

(Sumber: Hasil Analisis Penulis, 2025)

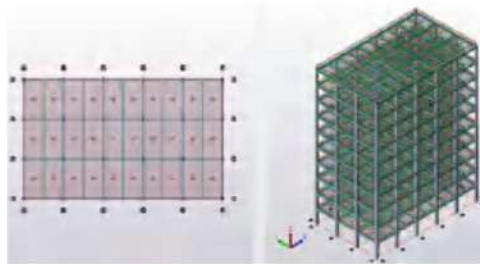
7

2) Beban hidup (LL)

Beban hidup mengacu pada Tabel 4.3-1 SNI 1727:2020 Hal 26 yang terdistribusi pada pelat. Beban hidup pada lantai 1-9 dengan fungsi lantai perkantoran sebesar $2,4 \text{ kN/m}^2$ dan beban hidup pada lantai 10 dengan fungsi lantai balkon atau dak sebesar $1,5 \times 2,4 \text{ kN/m}^2 = 3,6 \text{ kN/m}^2$

Beban hidup (LL) lantai 1-9 = $2,4 \text{ kN/m}^2 \times 101,972 = 244,7319 \text{ kg/m}^2$

Beban hidup (LL) lantai 10 = $1,5 \times 2,4 \text{ kN/m}^2 \times 101,972 = 367,098 \text{ kg/m}^2$

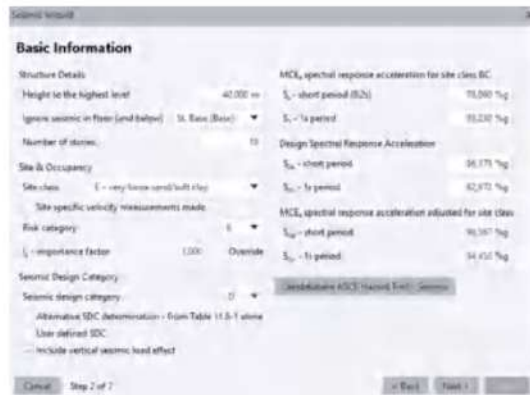


Gambar 5.85 Beban Hidup (LL) Lantai 1-10 Pada TSD

(Sumber: Hasil Analisis Penulis, 2025)

3) Beban gempa

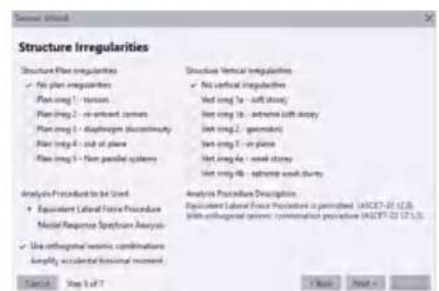
Beban gempa statis diinput sesuai data parameter respon spektrum yang diambil dari website RSA Cipta Karya. Untuk penggunaan nilai periode akan dijelaskan pada poin selanjutnya. Berikut penginputan beban gempa statis pada TSD.



Gambar 5.86 Penginputan Beban Gempa Statis Pada TSD

(Sumber: Hasil Analisis Penulis, 2025)

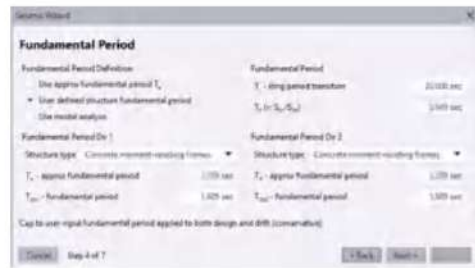
Pada permodelan TSD, kita perlu menginput ketidakberaturan struktur yang terjadi pada model struktur. Analisis ketidakberaturan struktur akan dibahas pada poin selanjutnya. Pada kasus ini struktur tidak termasuk ketidakberaturan struktur vertikal maupun horizontal.



Gambar 5.87 Analisis Gempa Statik Dan Ketidakberaturan Struktur Pada TSD

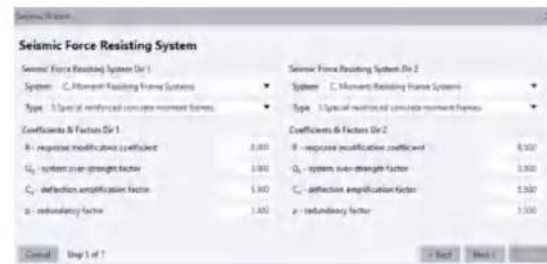
(Sumber: Hasil Analisis Penulis, 2025)

Sistem struktur merupakan sistem rangka beton pemikul momen khusus. Periode arah x dan arah y diinput sebesar 1,805 detik. Untuk perhitungan periode yang dipakai akan dibahas pada poin selanjutnya.



Gambar 5.88 Penginputan Periode Dan Tipe Struktur Pada TSD

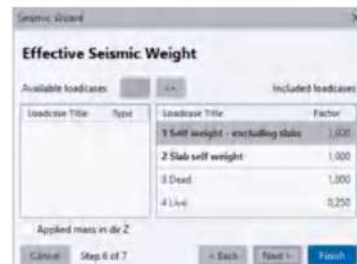
(Sumber: Hasil Analisis Penulis, 2025)



Gambar 5.89 Penginputan Sistem Struktur Pada TSD

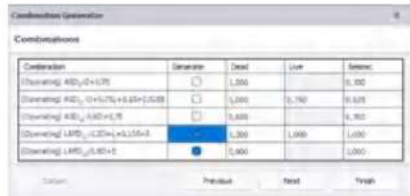
(Sumber: Hasil Analisis Penulis, 2025)

Untuk berat seismik sama seperti sebelumnya yaitu 100% beban mati (DL),
100% beban mati tambahan (SDL), dan 25% beban hidup (LL).



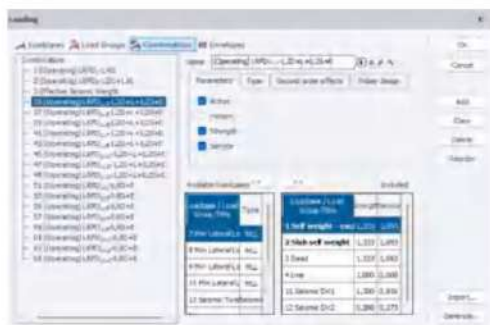
Gambar 5.90 Penginputan Berat Seismik Pada TSD

(Sumber: Hasil Analisis Penulis, 2025)



Gambar 5.90 Pemilihan Kombinasi Pada TSD

(Sumber: Hasil Analisis Penulis, 2025)

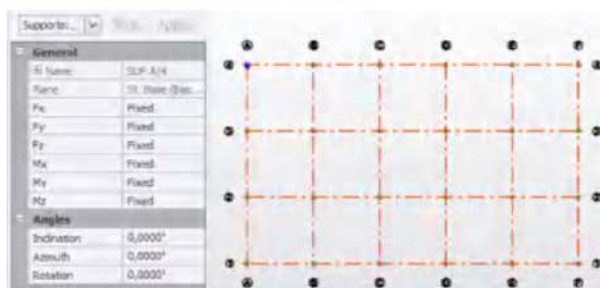


Gambar 5.91 Hasil *Generate* Otomatis Pada TSD

(Sumber: Hasil Analisis Penulis, 2025)

f. Jenis perletakan

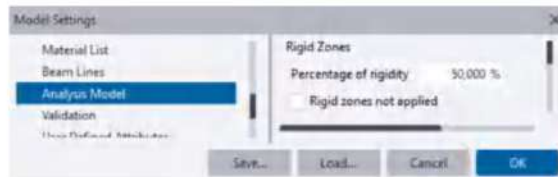
Perletakan kolom dimodelkan sebagai jepit.



Gambar 5.92 Jenis Perletakan Kolom Pada TSD

(Sumber: Hasil Analisis Penulis, 2025)

Seperi pada *ETABS*, *end length offset* dan *Rigid zone factor* juga perlu diatur pada *TSD* yakni sebesar 0,5 atau 50%.

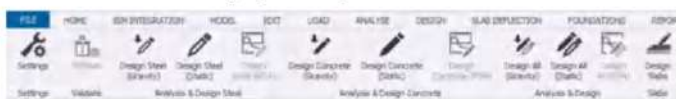


Gambar 5.93 *End Length Offset* Dan *Rigid Zone Factor* Pada *TSD*

(Sumber: Hasil Analisis Penulis, 2025)

g. *Running permodelan*

Untuk melihat hasil analisis struktur, perlu di *running* agar perhitungan analisis struktur dihitung otomatis oleh *TSD*. Hasil *running* *TSD* juga bisa langsung mendesain kebutuhan tulangan pada setiap elemen.



Gambar 5.94 Fitur Analisis Dan Desain Pada *TSD*

(Sumber: Hasil Analisis Penulis, 2025)

h. *Permodelan uncrack*

Setelah permodelan *crack* dibuat pada poin sebelumnya, perlu dibuat permodelan *uncrack* pada file *TSD* terpisah untuk digunakan mencari periode yang akan dipakai. Perbedaan permodelan *uncrack* dan *crack* hanya pada modifikasi faktor elemen yang bernilai 1.

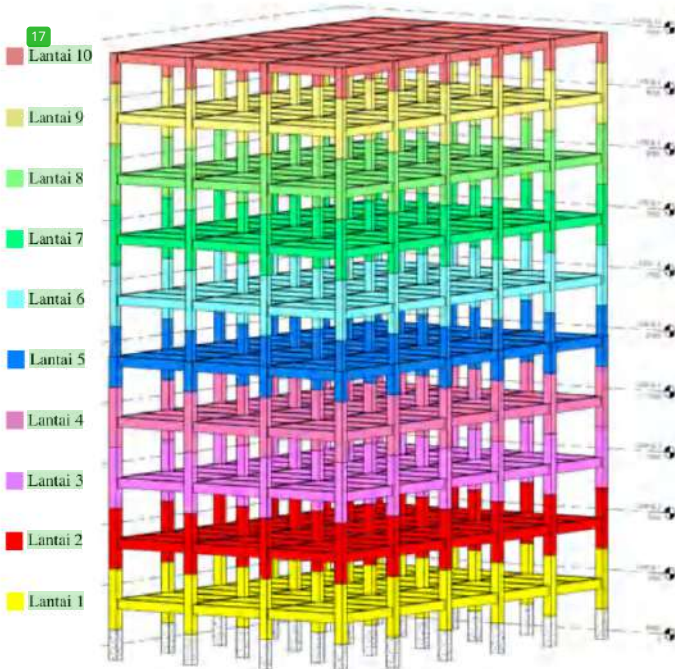
5.6 Hasil Analisis Struktur

Hasil analisis struktur yang diamati yaitu berat seismik aktif, waktu getar alami, gaya gempa, simpangan antar lantai, pengaruh P-Δ, dan ketidakberaturan struktur. Berikut hasil analisis struktur yang dihasilkan pada kedua perangkat lunak.

5.6.1 Berat seismik aktif

Berat seismik aktif dihitung secara manual dan otomatis oleh kedua perangkat lunak dengan kombinasi beban mengacu pada SNI 1726:2019 Pasal 7.7.2 Hal 68 yakni 100% beban mati (DL), 100% beban mati tambahan (SDL), dan 25% beban hidup

(LL). Berikut perhitungan berat seismik aktif yang dihitung secara manual dan otomatis oleh kedua perangkat lunak. Berat seismik aktif setiap lantai dihitung dari $\frac{1}{2}$ lantai keatas dan $\frac{1}{2}$ lantai kebawah.



Gambar 5.95 Ilustrasi Konsep Distribusi Berat Seismik Aktif Tiap Lantai

(Sumber: Hasil Analisis Penulis, 2025)

Tabel 5.17 Perhitungan Manual Berat Seismik Aktif Lantai 10

No	Jenis Bahan	Tipe	Luas	Lebar	Tinggi	Panjang	BJ	Total	Satuan
1	Balok	B2		0,3	0,6	209,1	2400	90331,2	kg
2	Balok	B3		0,25	0,4	90	2400	21600	kg
3	Kolom	K2		0,45	48	0,55	2400	28512	kg
4	Piat		540		0,13		2400	168480	kg
5	Plaster 2cm		540				53	28620	kg
6	Keramik		540				24	12960	kg
7	MEP		540				25	13500	kg
8	Plafond dan penggantung		540				18	9720	kg

No	Jenis Bahan	Tipe	Luas	Lebar	Tinggi	Panjang	BJ	Total	Satuan
9	Dinding (tinggi 1m)				1	96	250	24000	kg
10	LL Atap		540				367,0978	198232,832	kg
		33 al Beban mati						308923,2	kg
		Total Beban mati tambahan						88800	kg
		Total Beban hidup						198232,832	kg
		Total Pembebanan 1(DL+SDL)+0,25LL						447281,408	kg

(Sumber: Hasil Analisis Penulis, 2025)

Tabel 5.18 Perhitungan Manual Berat Seismik Aktif Lantai 6-9

No	Jenis Bahan	Tipe	Luas	Lebar	Tinggi	Panjang	BJ	Total	Satuan
1	Balok	B2		0,3	0,6	209,1	2400	90331,2	kg
2	Balok	B3		0,25	0,4	90	2400	21600	kg
3	Kolom	K2		0,45	96	0,55	2400	57024	kg
4	Pelat		540		0,13		2400	168480	kg
5	Plester 2cm		540				53	28620	kg
6	Keramik		540				24	12960	kg
7	MEP		540				25	13500	kg
8	Plafond dan penggantung		540				18	9720	kg
9	Dinding				3,55	96	250	85200	kg
10	LL Perkantoran		540				244,7319	132155,221	kg
		33 al Beban mati						337435,2	kg
		Total Beban mati tambahan						150000	kg
		Total Beban hidup						132155,221	kg
		Total Pembebanan 1(DL+SDL)+0,25LL						520474,005	kg

(Sumber: Hasil Analisis Penulis, 2025)

Tabel 5.19 Perhitungan Manual Berat Seismik Aktif Lantai 5

No	Jenis Bahan	Tipe	Luas	Lebar	Tinggi	Panjang	BJ	Total	Satuan
1	Balok	B1		0,35	0,65	205,3	2400	112093,8	kg
2	Balok	B3		0,25	0,4	90	2400	21600	kg
3	Kolom	K2		0,45	48	0,55	2400	28512	kg
4	Kolom	K1		0,55	48	0,65	2400	41184	kg
5	Pelat		540		0,13		2400	168480	kg
6	Plester 2cm		540				53	28620	kg
7	Keramik		540				24	12960	kg
8	MEP		540				25	13500	kg
9	Plafond dan penggantung		540				18	9720	kg
10	Dinding				3,55	96	250	85200	kg
11	LL Perkantoran		540				244,7319	132155,221	kg
		33 al Beban mati						371869,8	kg
		Total Beban mati tambahan						150000	kg
		Total Beban hidup						132155,221	kg
		Total Pembebanan 1(DL+SDL)+0,25LL						554908,605	kg

(Sumber: Hasil Analisis Penulis, 2025)

Tabel 5.20 Perhitungan Manual Berat Seismik Aktif Lantai 1-4

No	Jenis Bahan	Tipe	Luas	Lebar	Tinggi	Panjang	BJ	Total	Satuan
1	Balok	B1		0,35	0,65	205,3	2400	112093,8	kg
2	Balok	B2		0,25	0,4	90	2400	21600	kg
3	Kolom	K1		0,55	96	0,65	2400	82368	kg
4	Pelat lantai 12cm		540		0,13		2400	168480	kg
5	Plester 2cm		540				53	28620	kg
6	Keramik		540				24	12960	kg
7	MEP		540				25	13500	kg
8	Plafond dan penggantung		540				18	9720	kg
9	Dinding				3,5	96	250	84000	kg
9	LL Perkantoran		540				244,7319	132155,221	kg
Total Beban mati							384541,8		kg
Total Beban mati tambahan							148800		kg
Total Beban hidup							132155,221		kg
Total Pembebatan 1(DL+SDL)+0,25LL							566380,605		kg

(Sumber: Hasil Analisis Penulis, 2025)

Tabel 5.21 Rekapitulasi Hasil Berat Seismik Aktif Manual Dan Perangkat Lunak

STORY	Manual (kg)	ETABS (kg)	TSD (kg)
Story10	447281,408	447281,405	451558,279
Story9	520474,005	520474,023	520474,066
Story8	520474,005	520474,023	520474,066
Story7	520474,005	520474,023	520474,066
Story6	520474,005	520474,023	520474,066
Story5	554908,605	554908,604	556124,161
Story4	566380,605	566380,619	566380,568
Story3	566380,605	566380,619	566380,568
Story2	566380,605	566380,619	566380,568
Story1	566380,605	566380,619	566380,568
Σ	5349608,456	5349608,578	5355100,977

(Sumber: Hasil Analisis Penulis, 2025)

Tabel 5.22 Perbandingan Hasil Berat Seismik Aktif ETABS dengan TSD

STORY	ETABS (kg)	TSD (kg)	Selisih (kg)
Story10	408709,202	411333,636	2624,434
Story9	476717,830	476717,839	0,010
Story8	476717,830	476717,839	0,010
Story7	476717,830	476717,839	0,010
Story6	476717,830	476717,839	0,010
Story5	499478,770	502038,413	2559,643
Story4	516422,798	516422,836	0,037
Story3	516422,798	516422,836	0,037

STORY	ETABS (kg)	TSD (kg)	Selisih (kg)
Story2	516422,798	516422,836	0,037
Story1	516422,798	516422,836	0,037
Σ	4880750,484	4885934,748	5184,264

(Sumber: Hasil Analisis Penulis, 2025)

Pada berat seismik aktif dengan perhitungan manual dan ETABS, semua berat per lantai adalah sama. Namun pada TSD terdapat perbedaan berat seismik aktif pada lantai 5 dan lantai 10. Berat seismik aktif pada TSD cenderung lebih besar dibandingkan manual dan ETABS. Berikut hasil perhitungan berat oleh kedua perangkat lunak.

5.6.2 Periode getar alami

Pada SNI 1726:2019 Pasal 7.8.2.1 Hal 72, periode fundamental pendekatan (T_a) dihitung berdasarkan persamaan berikut.

Tabel 5.23 Pemilihan Nilai Parameter Periode Pendekatan

Tipe struktur	C _t	x
Sistem rangka pemikul momen dimana rangka memiliki 100% gaya seismik yang diisyaratkan dan tidak dilingkupi atau dihubungkan dengan komponen yang lebih kaku dan akan mencegah rangka dari defleksi jika dikenai gaya seismik:		
• Rangka baja pemikul momen	0,0724	0,8
• Rangka beton pemikul momen	0,0466	0,9
Rangka baja dengan bresing eksentris	0,0731	0,75
Rangka baja dengan bresing tekekang terhadap tekuk	0,0731	0,75
Sebuah sistem struktur lainnya	0,0488	0,75

(Sumber: SNI 1726:2019 Tabel 18 Hal 72)

$$T_a = C_t \times h^x = 0,0466 \times 40^{0,9} = 1,289 \text{ detik}$$

Dimana h adalah tinggi struktur dari dasar sampai atas setinggi 40 meter dan C_t serta x dapat diambil dari nilai pada SNI 1726:2019 Tabel 18 Hal 72.

Pada SNI 1726:2019 Pasal 7.8.2 Hal 71, periode fundamental struktur tidak boleh melebihi hasil perkalian C_a dengan T_a. Koefisien C_a mengacu pada SNI 1726:2019 Tabel 17 Hal 72.

7
Tabel 5.24 Koefisien Batas Atas Periode

Parameter percepatan respons spektral desain pada 1 detik, SDI	Koefisien Cu
≥0,4	1,4
0,3	1,4
0,2	1,5
0,15	1,6
≤0,1	1,7

(Sumber: SNI 1726:2019 Tabel 17 Hal 72)

$$1 \quad T_{max} = C_u \times T_a = 1,4 \times 1,289 = 1,805 \text{ detik}$$

36

Maka didapat T_a arah x dan y sebesar 1,289 detik dan T_{max} arah x dan y sebesar 1,309 detik. Periode getar alami juga dihitung secara otomatis oleh kedua perangkat lunak pada permodelan *crack* maupun *uncrack*. Terdapat perbedaan periode getar alami yang dihasilkan oleh kedua perangkat. Hasil periode getar alami yang dihasilkan *TSD* sendirunya lebih besar dibandingkan *ETABS*. Untuk periode yang dipakai diseragamkan sebesar 1,805 detik pada arah x dan arah y untuk meminimalisir perbedaan yang lebih jauh dalam perhitungan gempa.

Tabel 5.25 Hasil Output Periode Getar Alami

Arah	ETABS				TSD			
	Tmin (s)	Terack (s)	Tuncrack (s)	Tempiris (s)	Tmin (s)	Terack (s)	Tuncrack (s)	Tempiris (s)
Arah X	1,289	2,616	2,238	1,805	1,289	2,618	2,203	1,805
Arah Y	1,289	2,736	2,192	1,805	1,289	2,738	2,307	1,805

(Sumber: Hasil Analisis Penulis, 2025)

Tabel 5.26 Hasil Output Periode Getar Alami

ARAH	Terack (s)			Tuncrack (s)		
	ETABS	TSD	Selisih	ETABS	TSD	Selisih
Arah X	2,616	2,618	0,002	2,238	2,203	0,035
Arah Y	2,736	2,738	0,002	2,192	2,307	0,115

(Sumber: Hasil Analisis Penulis, 2025)

5.6.3 Gaya lateral akibat gempa

Gaya lateral pada setiap lantai akibat prosedur analisis gempa statik dihitung secara otomatis oleh kedua perangkat lunak. Pada poin sebelumnya terdapat perbedaan berat seismik yang dapat mempengaruhi gaya lateral akibat gempa statik pada setiap lantai yang dihasilkan oleh kedua perangkat lunak. Berikut perhitungan manual gaya lateral yang terjadi pada struktur.

a. Koefisien seismik (C_s)

Dalam perhitungan $C_{s\text{perlu}}$, karena nilai periode (T) pada arah x dan y adalah sama maka nilai $C_{s\text{perlu}}$ pada arah x dan arah y pun akan sama.

1) Perhitungan $C_{s\text{max}}$

$$C_{s\text{max}} = \frac{S_{DS}}{\left(\frac{R}{T}\right)^2}$$

$$C_{s\text{max}} = \frac{0,6638}{\left(\frac{8}{1}\right)^2}$$

$$C_{s\text{max}} = 0,083$$

2) Perhitungan $C_{s\text{min}}$

$$C_{s\text{min}} = 0,044 \cdot S_{DS} \cdot I_e \geq 0,001$$

$$C_{s\text{min}} = 0,044 \times 0,6638 \times 1 \geq 0,001$$

$$C_{s\text{min}} = 0,0292 \geq 0,001 \dots \text{OKE}$$

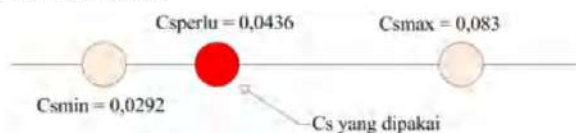
3) Perhitungan $C_{s\text{perlu}}$

$$C_{s\text{perlu}} = \frac{S_{DS}}{\left(\frac{T}{I}\right)^2}$$

$$C_{s\text{perlu}} = \frac{0,630}{\left(1,805 \frac{8}{1}\right)^2}$$

$$C_{s\text{perlu}} = 0,0436$$

Berdasarkan hasil analisis sebelumnya, diketahui nilai $C_{s\text{min}}$ sebesar 0,0292, nilai $C_{s\text{max}}$ sebesar 0,083, dan nilai $C_{s\text{perlu}}$ sebesar 0,0436, sehingga $C_{s\text{min}} < C_{s\text{perlu}} < C_{s\text{max}}$ ($0,0292 < 0,0436 < 0,083$). Maka nilai C_s yang digunakan pada arah x dan arah y adalah 0,0436.



Gambar 5.96 Ilustrasi Penggunaan $C_{s\text{perlu}}$ Arah X

(Sumber : Hasil Analisis Penulis, 2025)

b. Nilai Gaya Geser Gempa (V)

Nilai V dapat diperoleh dengan menggunakan rumus berikut.

$$V = C_s \times W_{\text{total}}$$

Karena C_s arah x = C_s arah y maka $V_x = V_y$, dengan $W_{\text{total}} = 5349608,456$ kg

$$V_x = V_y = C_s \text{ arah } x \times W_{\text{total}}$$

$$V_x = V_y = 0,0436 \times 5349608,456$$

$$V_x = V_y = 233353,7 \text{ kg}$$

c. Nilai k

Selanjutnya mencari nilai k dengan aturan sebagai berikut. 10

- 1) Untuk struktur yang mempunyai $T \leq 0,5$ detik nilai $k = 1$
- 2) Untuk struktur yang mempunyai $T \geq 2,5$ detik nilai $k = 2$
- 3) Untuk struktur yang mempunyai $0,5 < T < 2,5$ detik nilai k diperoleh menggunakan interpolasi

Karena nilai $T_{\text{arah } x} = T_{\text{arah } y} = 1,805$ detik, maka nilai k arah x dan y diperoleh melalui interpolasi.

$$k_x = k_y = y_1 + (y_2 - y_1) \times \frac{x - x_1}{x_2 - x_1}$$

$$k_x = k_y = 1 + (2 - 1) \times \frac{1,805 - 0,5}{2,5 - 0,5}$$

$$k_x = k_y = 1,652$$

d. Nilai C_v

Pada perhitungan nilai k pada arah x dan y didapat hasilnya sama, maka koefisien seismik terjadi pada arah x dan y akan sama pada masing masing sumbu. Berikut perhitungan nilai C_v

Tinggi antar lantai = 4 m

Berat seismik aktif lantai = 566380,605 kg

$$C_v = \frac{w_x h_x^k}{\sum_{i=0}^n w_i h_i^k}$$

$$C_{vx} = \frac{566380,605 \times 4^{1,652}}{970695440,501}$$

$$C_v = 0,006$$

e. Gaya seismik tiap lantai

Pada perhitungan koefisien seismik (C_v) pada kedua arah sumbu yang sama, maka gaya seismik pada setiap lantainya akan sama pada masing-masing sumbu. Berikut perhitungan nilai gaya gempa per-lantai

$$F_x = F_y = C_v \times V$$

$$F_x = F_y = 0,006 \times 233353,70$$

$$F_x = F_y = 1345,264 \text{ kg}$$

Berikut merupakan rekapitulasi gempa statik ekivalen tiap lantai dengan perhitungan manual.

Tabel 5.27 Perhitungan Pembebatan Gempa Statik Ekivalen Arah X

Story	hx (m)	Wx (kg)	$Wx.hx$ (kgm)	$Wx.hx^k$	Cvx	Fx (kg)	Vx (kg)
Story 10	40	447281,408	17891256,318	198436369,264	0,204	47703,800	47703,800
Story 9	36	520474,005	18737064,191	194015132,550	0,200	46640,942	94344,742
Story 8	32	520474,005	16655168,170	159704691,585	0,165	38392,764	132737,506
Story 7	28	520474,005	14573272,148	128085258,101	0,132	30791,501	163529,007
Story 6	24	520474,005	12491376,127	99285259,800	0,102	23868,025	187397,032
Story 5	20	554908,605	11098172,106	78320988,400	0,081	18828,246	206225,278
Story 4	16	566380,605	9062089,685	55289578,327	0,057	13291,530	219516,808
Story 3	12	566380,605	6796567,264	34372441,372	0,035	8263,082	227779,891
Story 2	8	566380,605	4531044,842	17589745,329	0,018	4228,548	232008,439
Story 1	4	566380,605	2265522,421	5595975,772	0,006	1345,264	233353,703
Σ				970695440,501	1,000	233353,703	

(Sumber : Hasil Analisis Penulis, 2025)

Tabel 5.28 Perhitungan Pembebatan Gempa Statik Ekivalen Arah Y

Story	hy (m)	Wy (kg)	$Wy.hy$ (kgm)	$Wy.hy^k$	Cvy	Fy (kg)	Vy (kg)
Story 10	40	447281,408	17891256,318	198436369,264	0,204	47703,800	47703,800
Story 9	36	520474,005	18737064,191	194015132,550	0,200	46640,942	94344,742
Story 8	32	520474,005	16655168,170	159704691,585	0,165	38392,764	132737,506
Story 7	28	520474,005	14573272,148	128085258,101	0,132	30791,501	163529,007
Story 6	24	520474,005	12491376,127	99285259,800	0,102	23868,025	187397,032
Story 5	20	554908,605	11098172,106	78320988,400	0,081	18828,246	206225,278
Story 4	16	566380,605	9062089,685	55289578,327	0,057	13291,530	219516,808
Story 3	12	566380,605	6796567,264	34372441,372	0,035	8263,082	227779,891
Story 2	8	566380,605	4531044,842	17589745,329	0,018	4228,548	232008,439
Story 1	4	566380,605	2265522,421	5595975,772	0,006	1345,264	233353,703
Σ				970695440,501	1,000	233353,703	

(Sumber : Hasil Analisis Penulis, 2025)

Berikut rekapitulasi hasil gaya lateral dengan perhitungan manual dan perangkat lunak menggunakan prosedur analisis gempa statik.

Tabel 5.29 Hasil Gaya Lateral Dengan Prosedur Analisis Gempa Statik Arah X

Story	Arah X			Arah Y		
	Vx Manual (kg)	Vx ETABS (kg)	Vx TSD (kg)	Vy Manual (kg)	Vy ETABS (kg)	Vy TSD (kg)
Story 10	43524,455	43516,960	43767,342	43524,455	43516,960	43767,342
Story 9	86180,091	86164,230	86386,279	86180,091	86164,230	86386,279
Story 8	121292,327	121268,640	121467,372	121292,327	121268,640	121467,372
Story 7	149452,802	149421,980	149602,056	149452,802	149421,980	149602,056
Story 6	171281,387	171244,280	171409,911	171281,387	171244,280	171409,911
Story 5	188203,409	188160,730	188401,748	188203,409	188160,730	188401,748
Story 4	200304,341	200257,060	200490,076	200304,341	200257,060	200490,076
Story 3	207827,252	207776,620	208004,670	207827,252	207776,620	208004,670
Story 2	211677,024	211624,320	211849,816	211677,024	211624,320	211849,816
Story 1	212901,785	212848,230	213072,864	212901,785	212848,230	213072,864

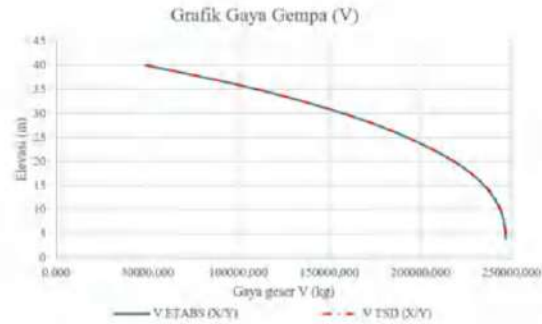
(Sumber: Hasil Analisis Penulis, 2025)

Tabel 5.30 Perbandingan Gaya Lateral ETABS Dengan TSD

Story	Arah X			Arah Y		
	Vx ETABS (kg)	Vx TSD (kg)	Selisih (kg)	Vx ETABS (kg)	Vy TSD (kg)	Selisih (kg)
Story 10	43516,960	43767,342	250,382	43516,960	43767,342	250,382
Story 9	86164,230	86386,279	222,049	86164,230	86386,279	222,049
Story 8	121268,640	121467,372	198,732	121268,640	121467,372	198,732
Story 7	149421,980	149602,056	180,076	149421,980	149602,056	180,076
Story 6	171244,280	171409,911	165,631	171244,280	171409,911	165,631
Story 5	188160,730	188401,748	241,018	188160,730	188401,748	241,018
Story 4	200257,060	200490,076	233,016	200257,060	200490,076	233,016
Story 3	207776,620	208004,670	228,050	207776,620	208004,670	228,050
Story 2	211624,320	211849,816	225,496	211624,320	211849,816	225,496
Story 1	212848,230	213072,864	224,634	212848,230	213072,864	224,634

(Sumber: Hasil Analisis Penulis, 2025)

Dari hasil diatas, gaya gempa setiap lantai antara perhitungan manual dengan ETABS maupun TSD pada arah x dan y mempunyai perbedaan yang sangat kecil. Seperti pada poin berat seismik aktif sebelumnya, berat seismik TSD cenderung lebih besar dibandingkan dengan manual maupun ETABS yang mempengaruhi hasil ⁹⁶ gaya lateral tiap lantai pada TSD, hal ini sesuai dengan hasil penelitian yang dilakukan oleh ¹ (Rifandi, 2020) bahwa semakin besar berat bangunan maka semakin besar juga gaya gempa yang terjadi. Sehingga hasil TSD lebih besar dibandingkan dengan ETABS dengan selisih terbesar pada lantai 10 sebesar 250,382 kg pada arah x dan arah y, hal ini bertolak belakang dengan penelitian yang disusun oleh (Aziz dkk, 2023) dengan hasil gaya gempa statik yang dihasilkan ETABS lebih besar dibandingkan TSD.



Gambar 5.97 Grafik Gaya Gempa

(Sumber : Hasil Analisis Penulis, 2025)

5.6.4 Displacement

Displacement pada setiap lantai dihitung secara otomatis pada kedua perangkat lunak dan memiliki hasil *displacement* pada setiap lantai yang berbeda pada kedua perangkat lunak. Nilai *displacement* yang dihasilkan dari prosedur analisis gempa statik memiliki perbedaan nilai sebagai berikut.

Tabel 5.31 Hasil Output *Displacement* Dengan Prosedur Analisis Gempa Statik

Story	Z [m]	MovX (mm)			MovY (mm)		
		ETABS	TSD	Selisih	ETABS	TSD	Selisih
Story 10	40	146,396	144,800	1,596	160,602	157,100	3,502
Story 9	36	139,666	138,400	1,266	152,984	150,000	2,984
Story 8	32	127,93	126,900	1,030	140,004	137,500	2,504
Story 7	28	111,613	110,900	0,713	122,079	120,100	1,979
Story 6	24	91,877	91,300	0,577	100,488	99,000	1,488
Story 5	20	71,453	71,100	0,353	78,209	77,200	1,009
Story 4	16	55,403	55,100	0,303	60,416	59,700	0,716
Story 3	12	38,958	38,800	0,158	42,276	41,800	0,476
Story 2	8	22,583	22,500	0,083	24,332	24,000	0,332
Story 1	4	7,91	7,900	0,010	8,426	8,300	0,126

(Sumber: Hasil Analisis Penulis, 2025)

5.6.5 Simpangan struktur

Pemeriksaan simpangan antartingkat mengacu pada SNI 1726:2019 Pasal 7.8.6,² Simpangan antartingkat desain yang diizinkan mengacu pada SNI 1726:2019 Pasal 7.12.1 Tabel 20 Hal 88 dengan jenis gedung adalah gedung perkantoran dengan kategori risiko II. Pada SNI 1726:2019 Pasal 7.12.1.1 Hal 88, simpangan

antartingkat tidak boleh melebihi $\frac{\Delta a}{\rho}$. Dengan nilai redundansi (ρ) sebesar 1,3 karena syarat pada setiap tingkat untuk menahan minimal 35% gaya geser dasar tidak terpenuhi pada arah x maupun y yang diatur pada SNI 1726:2019 Pasal 7.3.4.2 Hal 64.

Tabel 5.32 Pengecekan Syarat Redudansi

Story	ETABS		TSD	
	Vx (kg)	Vy (kg)	Vx (kg)	Vy (kg)
Story10	49401,56	49401,56	50081,9342	50081,9342
Story9	99221,83	99221,83	99811,6584	99811,6584
Story8	140230,6	140230,6	140745,82	140745,82
Story7	173119,1	173119,1	173574,564	173574,564
Story6	198611,8	198611,8	199020,868	199020,868
Story5	218484,9	218484,9	218880,454	218880,454
Story4	232383	232383	232753,285	232753,285
Story3	241022,7	241022,7	241377,229	241377,229
Story2	245443,5	245443,5	245790,051	245790,051
Story1	246849,7	246849,7	247193,69	247193,69
390 V	86397,39	86397,39	86517,7915	86517,7915
CEK	NOT OK	NOT OK	NOT OK	NOT OK

(Sumber: Hasil Analisis Penulis, 2025)

Tabel 5.33 Simpangan Antar Tingkat Izin Menurut SNI 1726:2019

Tipe Struktur	Kategori Risiko		
	I atau II	III	IV
Struktur, selain dari struktur dinding geser batu bata, 4 tingkat atau kurang dengan dinding interior, partisi, langit-langit dan sistem dinding eksterior yang telah didesain untuk mengakomodasi simpangan antar tingkat.	0,025 h_{xx}	0,020 h_{xx}	0,015 h_{xx}
Struktur dinding geser kantilever batu bata	0,010 h_{xx}	0,010 h_{xx}	0,010 h_{xx}
Struktur dinding geser batu bata lainnya	0,007 h_{xx}	0,007 h_{xx}	0,007 h_{xx}
Semua struktur lainnya	0,020 h_{xx}	0,015 h_{xx}	0,010 h_{xx}

(Sumber: Pada SNI 1726:2019 Pasal 7.12.1 Hal 88)

6 Simpangan antar izin diambil semua struktur lainnya dengan kategori resiko II = 0,020 h_{xx} . Nilai h_{xx} merupakan tinggi antar tingkat sebesar 4000 mm. Beikut perhitungan simpangan dengan prosedur analisis statik sebagai berikut.

$$\Delta_{izin} = 0,020 \times \frac{hsx}{\rho} = 0,020 \times \frac{4000}{1,5} = 61,538 \text{ mm}$$

$$C_d = 5,5 \text{ (SRPMK, SNI 2716:2019 Tabel 12 Hal 49)}$$

$$I_e = 1 \text{ (Kategori risiko II, SNI 1726:2019 Tabel 3 Hal 24)}$$

a. Simpangan antar tingkat (Δ) ETABS

$$\delta_{ex} = 7,91$$

$$\Delta_x = \frac{C_d \times (\delta_{ex} \text{ lt } 1)}{I_e} = \frac{5,5 \times (7,91)}{1}$$

$$= 43,505 \text{ mm} < 61,538 \text{ mm} \text{ (memenuhi syarat)}$$

$$\delta_{ey} = 8,426$$

$$\Delta_y = \frac{C_d \times (\delta_{ey} \text{ lt } 1)}{I_e}$$

$$= \frac{5,5 \times (8,426)}{1}$$

$$= 46,343 \text{ mm} < 61,538 \text{ mm} \text{ (memenuhi syarat)}$$

b. Simpangan antar tingkat (Δ) TSD

$$\delta_{ex} = 7,9$$

$$\Delta_x = \frac{C_d \times (\delta_{ex} \text{ lt } 1)}{I_e} = \frac{5,5 \times (7,9)}{1}$$

$$= 43,45 \text{ mm} < 61,538 \text{ mm} \text{ (memenuhi syarat)}$$

$$\delta_{ey} = 8,4$$

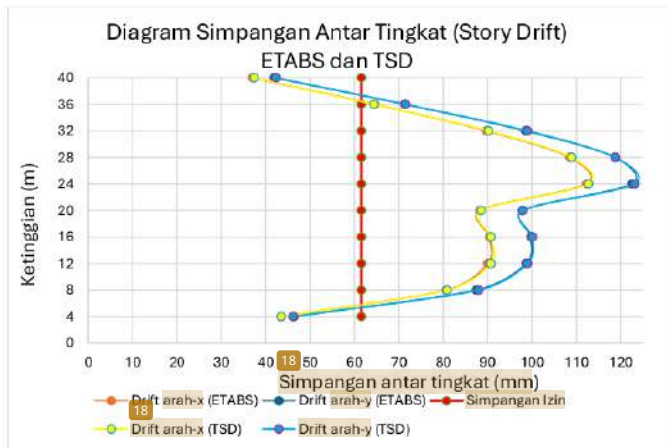
$$\Delta_y = \frac{C_d \times (\delta_{ey} \text{ lt } 1)}{I_e} = \frac{5,5 \times (8,4)}{1} = 46,2 \text{ mm} < 61,538 \text{ mm} \text{ (memenuhi syarat)}$$

Berikut rekapitulasi analisis simpangan dengan prosedur analisis gempa statik pada kedua perangkat lunak.

Tabel 5.34 Hasil Analisis Simpangan Antar Lantai

Story	Drift Limit 10 (mm)	ETABS				TSD			
		ΔX (mm)	Ratio	ΔY (mm)	Ratio	ΔX (mm)	Ratio	ΔY (mm)	Ratio
Story 10	61,538	37,015	0,601	41,899	0,681	37,400	0,608	42,350	0,688
Story 9	61,538	64,548	1,049	71,390	1,160	64,350	1,046	71,500	1,162
Story 8	61,538	89,744	1,458	98,588	1,602	90,200	1,466	99,000	1,609
Story 7	61,538	108,548	1,764	118,751	1,930	108,900	1,770	118,800	1,931
Story 6	61,538	112,532	1,825	122,535	1,991	112,750	1,832	123,200	2,002
Story 5	61,538	88,275	1,434	97,862	1,590	88,550	1,439	97,900	1,591
Story 4	61,538	90,448	1,470	99,770	1,621	90,750	1,475	100,100	1,627
Story 3	61,538	90,063	1,464	98,692	1,604	90,750	1,475	99,000	1,609
Story 2	61,538	80,702	1,311	87,483	1,422	80,850	1,314	88,000	1,430
Story 1	61,538	43,505	0,707	46,343	0,753	43,450	0,706	46,200	0,751
Rata-rata				1,308		1,435		1,313	
									1,440

(Sumber: Hasil Analisis Penulis, 2025)



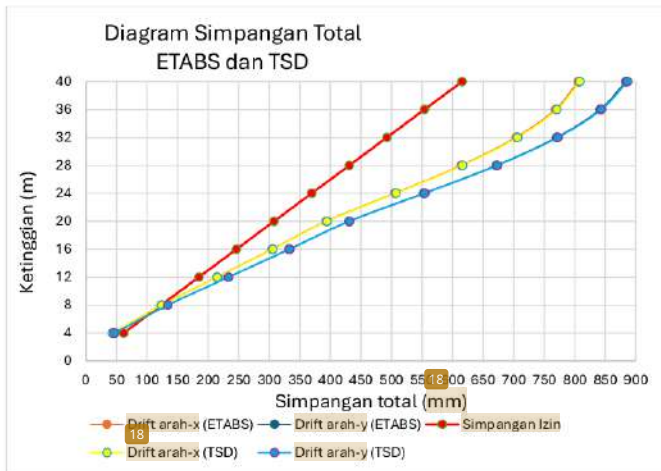
Gambar 5.98 Grafik Simpangan Antar Lantai

(Sumber: Hasil Analisis Penulis, 2025)

Tabel 5.35 Hasil Analisis Simpangan Total

Story	Drift Limit 10 (mm)	ETABS				TSD			
		AX (mm)	Ratio	AY (mm)	Ratio	AX (mm)	Ratio	AY (mm)	Ratio
Story 10	615,385	805,178	1,308	883,311	1,435	807,950	1,313	886,050	1,440
Story 9	553,846	768,163	1,387	841,412	1,519	770,550	1,391	843,700	1,523
Story 8	492,308	703,615	1,429	770,022	1,564	706,200	1,434	772,200	1,569
Story 7	430,769	613,872	1,425	671,435	1,559	616,000	1,430	673,200	1,563
Story 6	369,231	505,324	1,369	552,684	1,497	507,100	1,373	554,400	1,502
Story 5	307,692	392,992	1,277	430,150	1,398	394,350	1,282	431,200	1,401
Story 4	246,154	304,717	1,238	332,288	1,350	305,800	1,242	333,300	1,354
Story 3	184,615	214,269	1,161	232,518	1,259	215,050	1,165	233,200	1,263
Story 2	123,077	124,207	1,009	133,826	1,087	124,300	1,010	134,200	1,090
Story 1	61,538	43,505	0,707	46,343	0,753	43,450	0,706	46,200	0,751
Rata-rata			1,231		1,342		1,235		1,346

(Sumber: Hasil Analisis Penulis, 2025)



Gambar 5.99 Grafik Simpangan Total

(Sumber: Hasil Analisis Penulis, 2025)

Pada prosedur analisis gempa statik, nilai simpangan antar lantai yang kedua perangkat lunak hasilkan masih melebihi simpangan antar lantai maksimum yang dibatasi oleh SNI 1726 Pasal 7.12.1 Hal 88. Sehingga perlu merubah konfigurasi dimensi maupun posisi elemen struktur sampai simpangan yang dihasilkan tidak melebihi simpangan yang diizinkan. Berikut konfigurasi dimensi elemen struktur dengan simpangan antar tingkat kurang dari simpangan yang diizinkan.

Tabel 5.36 Penggantian Dimensi Elemen Struktur

Elemen	Lebar (b)	Tinggi (h)	Tebal (t)
B1	350	650	-
B2	300	600	-
B3	250	400	-
Pelat	-	-	130
K1	650	750	-
K2	600	700	-

(Sumber: Hasil Analisis Penulis, 2025)

Berikut rekapitulasi berat seismik aktif, periode getar alami, gaya lateral akibat gempa statik, dan simpangan yang terjadi setelah penggantian dimensi elemen struktur pada kedua perangkat lunak.

Tabel 5.37 Rekapitulasi Berat Seismik Aktif Setelah Pergantian Dimensi Struktur

STORY	ETABS (kg)	TSD (kg)	Selisih (kg)
Story10	464691	471948,6267	7257,627
Story9	557755,6	557755,6046	0,005
Story8	557755,6	557755,6046	0,005
Story7	557755,6	557755,6046	0,005
Story6	557755,6	557755,6046	0,005
Story5	587681,8	588350,2521	668,452
Story4	594257,8	594257,7741	0,026
Story3	594257,8	594257,7741	0,026
Story2	594257,8	594257,7741	0,026
Story1	594257,8	594257,7741	0,026
Σ	5660426,4	5668352,394	7925,994

(Sumber: Hasil Analisis Penulis, 2025)

Tabel 5.38 Rekapitulasi Periode Getar Alami Setelah Pergantian Dimensi Struktur

STORY	Terack (s)			Tunrack (s)		
	ETABS	TSD	Selisih	ETABS	TSD	Selisih
Arah X	1,698	1,698	0,000	1,433	1,435	0,002
Arah Y	1,707	1,706	0,001	1,421	1,447	0,026

(Sumber: Hasil Analisis Penulis, 2025)

Tabel 5.39 Rekapitulasi Gaya Lateral Setelah Pergantian Dimensi Struktur

Story	Arah X			Arah Y		
	Vx ETABS (kg)	Vx TSD (kg)	Selisih (kg)	Vy ETABS (kg)	Vy TSD (kg)	Selisih (kg)
Story 10	49401,560	50081,934	680,374	49401,560	50081,934	680,374
Story 9	99221,830	99811,658	589,828	99221,830	99811,658	589,828
Story 8	140230,580	140745,820	515,240	140230,580	140745,820	515,240
Story 7	173119,130	173574,564	455,434	173119,130	173574,564	455,434
Story 6	198611,800	199020,868	409,068	198611,800	199020,868	409,068
Story 5	218484,940	218880,454	395,514	218484,940	218880,454	395,514
Story 4	232383,040	232753,285	370,245	232383,040	232753,285	370,245
Story 3	241022,650	241377,229	354,579	241022,650	241377,229	354,579
Story 2	245443,480	245790,051	346,571	245443,480	245790,051	346,571
Story 1	246849,690	247193,690	344,000	246849,690	247193,690	344,000

(Sumber: Hasil Analisis Penulis, 2025)

Berdasarkan penelitian yang disusun oleh (Rifandi, 2020) dengan hasil bahwa semakin besar berat bangunan (W) akan semakin besar pula gaya geser yang terjadi.

Hal ini sesuai dengan hasil penelitian ini bahwa semakin besar berat bangunan maka semakin besar juga gaya geser yang terjadi.

Tabel 5.40 Rekapitulasi Simpangan Antar Lantai Setelah Pergantian Dimensi Struktur

Story	Drift Limit 10 (mm)	ETABS				TSD			
		ΔX (mm)	Ratio	ΔY (mm)	Ratio	ΔX (mm)	Ratio	ΔY (mm)	Ratio
Story 10	61.538	14,647	0,238	16,605	0,270	14,300	0,232	16,500	0,268
Story 9	61.538	24,585	0,400	26,032	0,423	24,750	0,402	25,850	0,420
Story 8	61.538	33,869	0,550	35,052	0,570	34,100	0,554	35,200	0,572
Story 7	61.538	40,623	0,660	41,520	0,675	40,700	0,661	41,800	0,679
Story 6	61.538	41,470	0,674	42,306	0,687	41,250	0,670	42,350	0,688
Story 5	61.538	37,356	0,607	38,951	0,633	37,400	0,608	38,500	0,626
Story 4	61.538	38,550	0,626	39,749	0,646	39,050	0,635	40,150	0,652
Story 3	61.538	39,122	0,636	39,732	0,646	39,050	0,635	39,600	0,644
Story 2	61.538	36,779	0,598	36,234	0,589	36,850	0,599	36,300	0,590
Story 1	61.538	22,083	0,359	20,482	0,333	22,000	0,358	20,350	0,331
Rata-rata			0,535		0,547		0,535		0,547

(Sumber: Hasil Analisis Penulis, 2025)

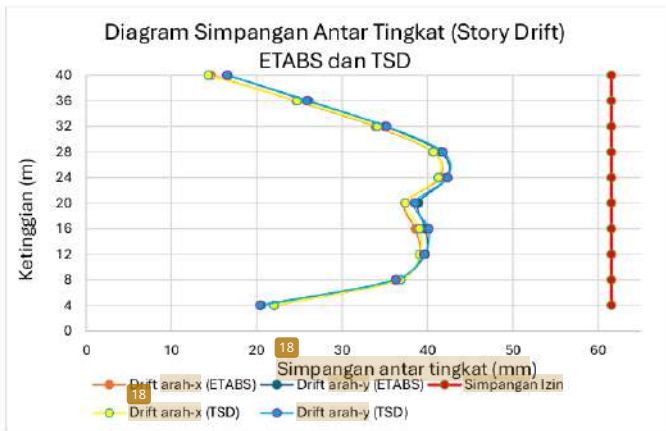
Tabel 5.41 Rekapitulasi Simpangan Total Setelah Pergantian Dimensi Struktur

Story	Drift Limit 10 (mm)	ETABS				TSD			
		ΔX (mm)	Ratio	ΔY (mm)	Ratio	ΔX (mm)	Ratio	ΔY (mm)	Ratio
Story 10	615,385	329,082	0,535	336,661	0,547	338,250	0,550	336,600	0,547
Story 9	553,846	314,435	0,568	320,056	0,578	321,750	0,581	320,100	0,578
Story 8	492,308	289,850	0,589	294,025	0,597	295,900	0,601	294,250	0,598
Story 7	430,769	255,981	0,594	258,973	0,601	260,700	0,605	259,050	0,601
Story 6	369,231	215,358	0,583	217,454	0,589	218,900	0,593	217,250	0,588
Story 5	307,692	173,888	0,565	175,148	0,569	176,550	0,574	174,900	0,568
Story 4	246,154	136,532	0,555	136,197	0,553	138,050	0,561	136,400	0,554
Story 3	184,615	97,983	0,531	96,448	0,522	97,900	0,530	96,250	0,521
Story 2	123,077	58,861	0,478	56,716	0,461	58,300	0,474	56,650	0,460
Story 1	61,538	22,083	0,359	20,482	0,333	22,000	0,358	20,350	0,331
Rata-rata			0,536		0,535		0,543		0,535

(Sumber: Hasil Analisis Penulis, 2025)

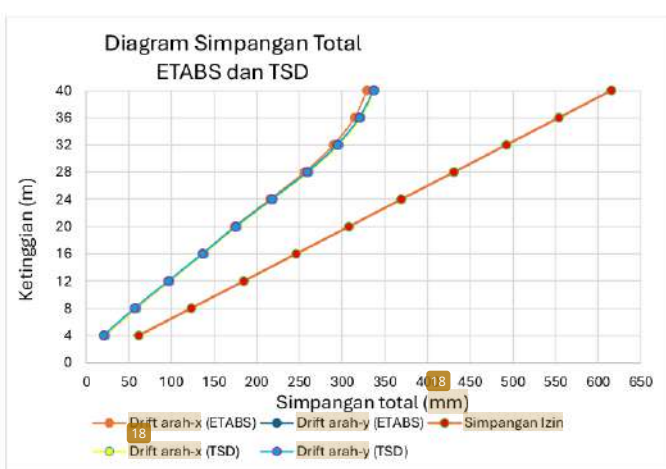
Hasil yang didapat yaitu simpangan ¹ antar tingkat pada TSD memiliki rasio rata-rata yang sama dengan ETABS yaitu sebesar 0,535 pada arah x dan 0,547 pada arah y.

Hal tidak sesuai dengan penelitian yang dilakukan oleh (Aziz dkk, 2023) dengan hasil penelitian yang didapat ialah nilai simpangan yang dihasilkan pada ETABS lebih besar dibandingkan dengan TSD dan penelitian yang disusun oleh (Rusliyana, 2024) dengan hasil simpangan TSD lebih kecil dibandingkan dengan SAP2000.



Gambar 5.100 Grafik Simpangan Antar Lantai Setelah Pergantian Dimensi Struktur

(Sumber: Hasil Analisis Penulis, 2025)



Gambar 5.101 Grafik Simpangan Total Setelah Pergantian Dimensi Struktur

(Sumber: Hasil Analisis Penulis, 2025)

6 5.6.6 Pengaruh P-Δ

Analisa pengaruh P-Δ mengacu pada SNI 1726:2019 Pasal 7.8.7 Hal 76. Berdasarkan pasal tersebut dikatakan bahwa pengaruh P-Δ tidak perlu diperhitungkan bila koefisien stabilitas (θ) $\leq 0,10$. Koefisien stabilitas (θ) tidak boleh melebihi θ_{max} karena struktur berpotensi tidak stabil. Dalam analisis pengaruh P-Δ menggunakan nilai beban aksial (P) total pada tingkat yang diambil dari kombinasi 1DL + 1SDL + ILL, gaya geser seismik (V) yang bekerja pada tingkat, simpangan antar tingkat (Δ), dan tinggi tingkat dibawah lantai yang ditinjau (h_s). Berikut perhitungan analisis pengaruh P-Δ pada keduanya perangkat lunak.

- a. Pengaruh P-Δ dengan output yang dihasilkan ETABS

$$C_d = 5,5 \text{ (SRPMK, SNI 2716:2019 Tabel 12 Hal 49)}$$

$$I_e = 1 \text{ (Kategori risiko II, SNI 1726:2019 Tabel 3 Hal 24)}$$

$$\beta = 1 \text{ (Rasio kebutuhan geser terhadap kapasitas geser, SNI 1726:2019)}$$

$$\theta_{max} = \frac{0,5}{\beta C_d} = \frac{0,5}{1 \times 5,5} = 0,091$$

$$P = 6710274,800 \text{ kg}$$

$$V_x = V_y = 246911,804 \text{ kg}$$

$$\Delta_x = 22,083 \text{ mm}$$

$$\Delta_y = 20,482 \text{ mm}$$

$$h_s = 4000 \text{ mm}$$

$$\begin{aligned}\theta_x &= \frac{P \Delta_x I_e}{V_x h_s C_d} \\ &= \frac{6710274,800 \times 22,083 \times 1}{246911,804 \times 4000 \times 5,5} \\ &= 0,027 < 0,091 \text{ (pengaruh P-Δ tidak perlu diperhitungkan)}\end{aligned}$$

$$\begin{aligned}\theta_y &= \frac{P \Delta_y I_e}{V_y h_s C_d} \\ &= \frac{6710274,800 \times 20,482 \times 1}{246911,804 \times 4000 \times 5,5} \\ &= 0,025 < 0,091 \text{ (pengaruh P-Δ tidak perlu diperhitungkan)}\end{aligned}$$

- b. Pengaruh P-Δ dengan output yang dihasilkan TSD

$$C_d = 5,5 \text{ (SRPMK, SNI 2716:2019 Tabel 12 Hal 49)}$$

⁴
 $I_e = 1$ (Kategori risiko II, SNI 1726:2019 Tabel 3 Hal 24)
 $\beta = 1$ (Rasio kebutuhan geser terhadap kapasitas geser, SNI 1726:2019)

$$\theta_{\max} = \frac{0,5}{\beta C_d} = \frac{0,5}{1 \times 5,5} = 0,091$$

$$P = 6756109,479 \text{ kg}$$

$$V_x = V_y = 246849,690 \text{ kg}$$

$$\Delta_x = 22 \text{ mm}$$

$$\Delta_y = 20,35 \text{ mm}$$

$$h_s = 4000 \text{ mm}$$

$$\theta_x = \frac{P \Delta_x I_c}{V_x h_s C_d}$$

$$= \frac{6756109,479 \times 22 \times 1}{246849,690 \times 4000 \times 5,5}$$

$$= 0,027 < 0,091 \text{ (pengaruh } P\text{-}\Delta \text{ tidak perlu diperhitungkan)}$$

$$\theta_y = \frac{P \Delta_y I_c}{V_y h_s C_d}$$

$$= \frac{6756109,479 \times 20,35 \times 1}{246849,690 \times 4000 \times 5,5}$$

$$= 0,025 < 0,091 \text{ (pengaruh } P\text{-}\Delta \text{ tidak perlu diperhitungkan)}$$

Berikut rekapitulasi pengaruh $P\text{-}\Delta$ setiap lantai pada hasil output kedua perangkat lunak.

Tabel 5.42 Hasil Analisis Pengaruh $P\text{-}\Delta$ Setiap Lantai (ETABS)

Story	h (mm)	P (kg)	Vx (kg)	Vy (kg)	Ax (mm)	Δy (mm)	θx	θy	θ _{max}	Cek
Story 10	4000	661749,640	49410,061	49410,061	14,647	16,605	0,009	0,010	0,909	≤ θ _{max}
Story 9	4000	1318621,640	99240,097	99240,097	24,585	26,032	0,015	0,016	0,909	≤ θ _{max}
Story 8	4000	1975493,720	140257,983	140257,983	33,869	35,052	0,022	0,022	0,909	≤ θ _{max}
Story 7	4000	2632365,720	173154,865	173154,865	40,623	41,520	0,028	0,029	0,909	≤ θ _{max}
Story 6	4000	3289237,640	198654,877	198654,877	41,470	42,306	0,031	0,032	0,909	≤ θ _{max}
Story 5	4000	3983811,880	218534,568	218534,568	37,356	38,951	0,031	0,032	0,909	≤ θ _{max}
Story 4	4000	4677186,120	232437,951	232437,951	38,550	39,749	0,035	0,036	0,909	≤ θ _{max}
Story 3	4000	5370560,280	241081,411	241081,411	39,122	39,732	0,040	0,040	0,909	≤ θ _{max}
Story 2	4000	6063934,520	245504,613	245504,613	36,779	36,234	0,041	0,041	0,909	≤ θ _{max}
Story 1	4000	6710274,800	246911,804	246911,804	22,083	20,482	0,027	0,025	0,909	≤ θ _{max}

(Sumber: Hasil Analisis Penulis, 2025)

Tabel 5.43 Hasil Analisis Pengaruh P-Δ Setiap Lantai (TSD)

Story	h (mm)	P (kg)	Vx (kg)	Vy (kg)	Ax (mm)	Ay (mm)	θx	θy	θmax	Cek
Story 10	4000	661749,729	49401,560	49401,560	13,750	15,400	0,008	0,009	0,909	≤ θmax
Story 9	4000	1318621,818	99221,830	99221,830	23,650	24,750	0,014	0,015	0,909	≤ θmax
Story 8	4000	1975493,907	140230,580	140230,580	33,550	33,550	0,021	0,021	0,909	≤ θmax
Story 7	4000	2632365,996	173119,130	173119,130	39,600	40,150	0,027	0,028	0,909	≤ θmax
Story 6	4000	3289238,085	198611,800	198611,800	40,700	40,700	0,031	0,031	0,909	≤ θmax
Story 5	4000	3982612,367	218484,940	218484,940	37,400	37,950	0,031	0,031	0,909	≤ θmax
Story 4	4000	4675986,645	232383,040	232383,040	37,950	39,050	0,035	0,036	0,909	≤ θmax
Story 3	4000	5369360,923	241022,650	241022,650	39,050	39,050	0,040	0,040	0,909	≤ θmax
Story 2	4000	6062735,201	245443,480	245443,480	36,300	35,200	0,041	0,040	0,909	≤ θmax
Story 1	4000	6756109,479	246849,690	246849,690	22,000	20,350	0,027	0,025	0,909	≤ θmax

(Sumber: Hasil Analisis Penulis, 2025)

5.6.7 Analisa ketidakberaturan struktur

12

Klasifikasi struktur beraturan dan tidak beraturan diatur dalam SNI 1726:2019;

Pasal 7.3.2; Hal-57. Klasifikasi ini berdasarkan kondisi horizontal dan vertikal

struktur yang diatur dalam SNI 1726:2019 Pasal 7.3.2 Tabel 13 Hal-59

(Ketidakberaturan horizontal) dan SNI 1726:2019 Pasal 7.3.2 Tabel 14 Hal-61

(Ketidakberaturan vertikal). Berikut analisis ketidakberaturan pada hasil permodelan

kedua perangkat lunak.

a. Ketidakberaturan struktur horizontal

103

Dalam analisa ketidakberaturan horizontal, terdapat beberapa kategori (1a, 1b,

2, 3, 4, 5a, 5b) yang perlu diperhitungkan yang sesuai dengan isi dari SNI

1726:2019 Tabel 13 Hal-59. Berikut analisa ketidakberaturan horizontal dalam

kasus ini.

8

Tabel 5.44 Ketidakberaturan Horizontal Pada Struktur

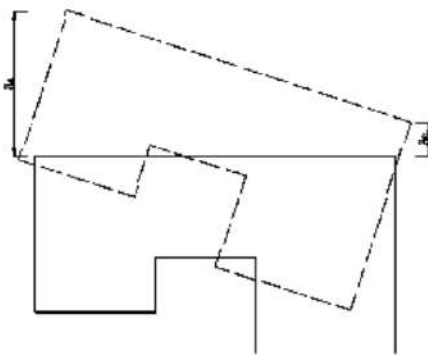
Kategori	Tipe dan penjelasan ketidakberaturan
1a	Ketidakberaturan torsi didefinisikan ada jika simpangan antar tingkat maksimum, yang dihitung termasuk torsi tak terduga dengan $Ax = 1,0$, di salah satu ujung struktur melintang terhadap suatu sumbu adalah lebih dari 1,2 kali simpangan antar tingkat rata-rata di kedua ujung struktur. Persyaratan ketidakberaturan torsi dalam pasal-pasal referensi berlaku hanya untuk struktur di mana diafragmanya kaku atau setengah kaku.
1b	Ketidakberaturan torsi berlebihan didefinisikan ada jika simpangan antar tingkat maksimum yang dihitung termasuk akibat torsi tak terduga dengan $Ax = 1,0$, di salah satu ujung struktur melintang terhadap suatu sumbu adalah lebih dari 1,4 kali simpangan antar tingkat rata-rata di kedua ujung struktur. Persyaratan ketidakberaturan torsi berlebihan dalam pasal-pasal referensi berlaku hanya untuk struktur di mana diafragmanya kaku atau setengah kaku.
2	Ketidakberaturan sudut dalam didefinisikan ada jika kedua dimensi proyeksi denah struktur dari lokasi sudut dalam lebih besar dari 15 % dimensi denah struktur dalam arah yang ditinjau.

Kategori	Tipe dan penjelasan ketidakberaturan
26 3	Ketidakberaturan diskontinuitas diafragma didefinisikan ada jika terdapat suatu diafragma yang memiliki diskontinuitas atau variasi kekakuan mendadak, tembusuk yang mempunyai daerah terpotong atau terbuka lebih besar dari 50 % daerah diafragma bruto yang tertutup, atau perubahan kekakuan diafragma efektif lebih dari 50 % dari suatu tingkat ke tingkat selanjutnya.
4	Ketidakberaturan akibat pergeseran tegak lurus terhadap bidang didefinisikan ada jika terdapat diskontinuitas dalam lintasan tahanan gaya lateral, seperti pergeseran tegak lurus terhadap bidang pada setidaknya satu elemen vertikal pemikul gaya lateral.
5	Ketidakberaturan sistem nonparallel didefinisikan ada jika elemen vertikal pemikul gaya lateral tidak parallel terhadap sumbu-sumbu ortogonal utama sistem pemikul gaya seismik. 4

(Sumber: SNI 1726:2019 Pasal 7.3.2 Tabel 13 Hal-59)

1) Kategori 1a dan 1b

Kategori 1a dan 1b adalah menganalisa simpangan maksimum yang terjadi akibat gempa disetiap tingkatnya dengan syarat simpangan maksimumnya melebihi 1,2 simpangan rata – rata untuk kategori 1a ($\delta_{max} > 1,2 \delta_{avg}$) dan melebihi 1,4 simpangan rata-rata untuk kategori 1b ($\delta_{max} > 1,4 \delta_{avg}$).



Gambar 5.102 Ketidakberaturan Horizontal Kategori 1a dan 1b

(Sumber: SNI 1726:2019)

Berikut perhitungan ketidakberaturan horizontal pada kedua perangkat lunak.

- Gempa arah x (ETABS)

$$\delta_A = 4,015 \text{ mm}$$

$$\delta_B = 4,015 \text{ mm}$$

$$1,2 \delta_{Average} = 1,2 \times \frac{\delta_A + \delta_B}{2}$$

$$= 1,2 \times \frac{4,015 + 4,015}{2}$$

$$= 4,818 \text{ mm}$$

$$1,4 \delta_{Average} = 1,4 \times \frac{\delta_A + \delta_B}{2}$$

$$= 1,4 \times \frac{4,015 + 4,015}{2}$$

$$= 5,621 \text{ mm}$$

$$\delta_{Max} = 4,015 \text{ mm} < 1,2 \delta_{Average} < 1,4 \delta_{Average} \text{ (tidak termasuk}$$

kategori 1a dan 1b)

- Gempa arah y (ETABS)

$$\delta_A = 3,724 \text{ mm}$$

$$\delta_B = 3,724 \text{ mm}$$

$$1,2 \delta_{Average} = 1,2 \times \frac{\delta_A + \delta_B}{2}$$

$$= 1,2 \times \frac{3,724 + 3,724}{2}$$

$$= 4,469 \text{ mm}$$

$$1,4 \delta_{Average} = 1,4 \times \frac{\delta_A + \delta_B}{2}$$

$$= 1,4 \times \frac{3,724 + 3,724}{2}$$

$$= 5,214 \text{ mm}$$

$$\delta_{Max} = 4,469 \text{ mm} < 1,2 \delta_{Average} < 1,4 \delta_{Average} \text{ (tidak termasuk}$$

kategori 1a dan 1b)

- Gempa arah x (TSD)

$$\delta_A = 4 \text{ mm}$$

$$\delta_B = 4 \text{ mm}$$

$$1,2 \delta_{Average} = 1,2 \times \frac{\delta_A + \delta_B}{2}$$

$$= 1,2 \times \frac{4 + 4}{2}$$

$$= 4,8 \text{ mm}$$

$$1,4 \delta_{Average} = 1,4 \times \frac{\delta_A + \delta_B}{2}$$

$$= 1,4 \times \frac{4 + 4}{2}$$

$$= 5,6 \text{ mm}$$

$\delta_{Max} = 4 \text{ mm} < 1,2 \delta_{Average} < 1,4 \delta_{Average}$ (tidak termasuk kategori 1a dan 1b)

- Gempa arah y (TSD)

$$\delta_A = 3,7 \text{ mm}$$

$$\delta_B = 3,7 \text{ mm}$$

$$1,2 \delta_{Average} = 1,2 \times \frac{\delta_A + \delta_B}{2}$$

$$= 1,2 \times \frac{3,7 + 3,7}{2}$$

$$= 4,4 \text{ mm}$$

$$1,4 \delta_{Average} = 1,4 \times \frac{\delta_A + \delta_B}{2}$$

$$= 1,4 \times \frac{3,7 + 3,7}{2}$$

$$= 5,18 \text{ mm}$$

δ_{Max} 1 $= 4,4 \text{ mm} < 1,2 \delta_{Average} < 1,4 \delta_{Average}$ (tidak termasuk kategori 1a dan 1b)

Berikut rekapitulasi perhitungan ketidakberaturan horizontal kategori 1a dan 1b setiap lantai pada hasil output kedua perangkat lunak.

Tabel 5.45 Ketidakberaturan Horizontal Kategori 1a dan 1b Arah X (ETABS)

Story	height (mm)	Perpindahan		δ_{max} (mm)	$1,2 \delta_{avg}$ (mm)	$1,4 \delta_{avg}$ (mm)	$\delta_{max} > 1,2 \delta_{avg}$ atau $\delta_{max} > 1,4 \delta_{avg}$
		δ_a (mm)	δ_b (mm)				
Story 10	4000	59,833	59,833	59,833	71,800	83,766	NOT OK
Story 9	4000	57,170	57,170	57,170	68,604	80,038	NOT OK
Story 8	4000	52,700	52,700	52,700	63,240	73,780	NOT OK
Story 7	4000	46,542	46,542	46,542	55,850	65,159	NOT OK
Story 6	4000	39,156	39,156	39,156	46,987	54,818	NOT OK
Story 5	4000	31,616	31,616	31,616	37,939	44,262	NOT OK
Story 4	4000	24,824	24,824	24,824	29,789	34,754	NOT OK
Story 3	4000	17,815	17,815	17,815	21,378	24,941	NOT OK
Story 2	4000	10,702	10,702	10,702	12,842	14,983	NOT OK
Story 1	4000	4,015	4,015	4,015	4,818	5,621	NOT OK

(Sumber: Hasil Analisis Penulis, 2025)

Tabel 5.46 Ketidakberaturan Horizontal Kategori 1a dan 1b Arah Y (ETABS)

Story	height (mm)	Perpindahan		δ_{max} (mm)	$I,2 \delta_{avg}$ (mm)	$I,4 \delta_{avg}$ (mm)	$\delta_{max} > 1,2 \delta_{avg}$ 65 atau $\delta_{max} > 1,4 \delta_{avg}$
		δ_a (mm)	δ_b (mm)				
Story 10	4000	61,211	61,211	61,211	73,453	85,695	NOT OK
Story 9	4000	58,192	58,192	58,192	69,830	81,469	NOT OK
Story 8	4000	53,459	53,459	53,459	64,151	74,843	NOT OK
Story 7	4000	47,086	47,086	47,086	56,503	65,920	NOT OK
Story 6	4000	39,537	39,537	39,537	47,444	55,352	NOT OK
Story 5	4000	31,845	31,845	31,845	38,214	44,583	NOT OK
Story 4	4000	24,763	24,763	24,763	29,716	34,668	NOT OK
Story 3	4000	17,536	17,536	17,536	21,043	24,550	NOT OK
Story 2	4000	10,312	10,312	10,312	12,374	14,437	NOT OK
Story 1	4000	3,724	3,724	3,724	4,469	5,214	NOT OK

(Sumber: Hasil Analisis Penulis, 2025)

Tabel 5.47 Ketidakberaturan Horizontal Kategori 1a dan 1b Arah X (TSD)

Story	height (mm)	Perpindahan		δ_{max} (mm)	$I,2 \delta_{avg}$ (mm)	$I,4 \delta_{avg}$ (mm)	$\delta_{max} > 1,2 \delta_{avg}$ 65 tau $\delta_{max} > 1,4 \delta_{avg}$
		δ_a (mm)	δ_b (mm)				
Story 10	4000	58,9	58,9	58,900	70,680	82,460	NOT OK
Story 9	4000	56,4	56,4	56,400	67,680	78,960	NOT OK
Story 8	4000	52,1	52,1	52,100	62,520	72,940	NOT OK
Story 7	4000	46	46	46,000	55,200	64,400	NOT OK
Story 6	4000	38,8	38,8	38,800	46,560	54,320	NOT OK
Story 5	4000	31,4	31,4	31,400	37,680	43,960	NOT OK
Story 4	4000	24,6	24,6	24,600	29,520	34,440	NOT OK
Story 3	4000	17,7	17,7	17,700	21,240	24,780	NOT OK
Story 2	4000	10,6	10,6	10,600	12,720	14,840	NOT OK
Story 1	4000	4	4	4,000	4,800	5,600	NOT OK

(Sumber: Hasil Analisis Penulis, 2025)

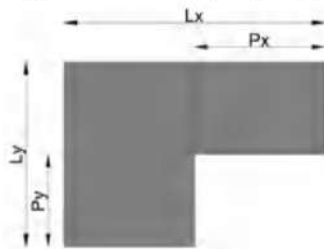
Tabel 5.48 Ketidakberaturan Horizontal Kategori 1a dan 1b Arah Y (TSD)

Story	height (mm)	Perpindahan		δ_{max} (mm)	$I,2 \delta_{avg}$ (mm)	$I,4 \delta_{avg}$ (mm)	$\delta_{max} > 1,2 \delta_{avg}$ 65 tau $\delta_{max} > 1,4 \delta_{avg}$
		δ_a (mm)	δ_b (mm)				
Story 10	4000	59,3	59,3	59,300	71,160	83,020	NOT OK
Story 9	4000	56,5	56,5	56,500	67,800	79,100	NOT OK
Story 8	4000	52	52	52,000	62,400	72,800	NOT OK
Story 7	4000	45,9	45,9	45,900	55,080	64,260	NOT OK
Story 6	4000	38,6	38,6	38,600	46,320	54,040	NOT OK
Story 5	4000	31,2	31,2	31,200	37,440	43,680	NOT OK
Story 4	4000	24,3	24,3	24,300	29,160	34,020	NOT OK
Story 3	4000	17,2	17,2	17,200	20,640	24,080	NOT OK
Story 2	4000	10,1	10,1	10,100	12,120	14,140	NOT OK
Story 1	4000	3,7	3,7	3,700	4,440	5,180	NOT OK

(Sumber: Hasil Analisis Penulis, 2025)

¹²
2) Kategori 2

Kategori ini merupakan parameter yang mengindikasikan sebuah struktur memiliki ketidakberaturan sudut dalam. Dalam penelitian ini denah yang digunakan adalah persegi panjang tanpa adanya cekungan atau sudut dalam didenahnya, sehingga struktur tidak tergolong kategori 2.



Gambar 5.103 Ketidakberaturan Horizontal Kategori 2

(Sumber: SNI 1726:2019)

¹²
3) Kategori 3

Kategori ini merupakan parameter yang mengindikasikan sebuah struktur memiliki diskontinuitas diafragma dengan luasan lantai terbuka lebih dari 50%. Pada penelitian ini setiap lantai ditutup oleh pelat sehingga tidak termasuk kategori 3.



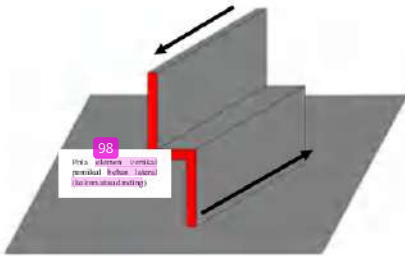
Gambar 5.104 Ketidakberaturan Horizontal Kategori 3

(Sumber: SNI 1726:2019)

4) Kategori 4

Kategori ini merupakan parameter yang mengindikasikan sebuah struktur memiliki diskontinuitas dalam lintasan gaya lateral. Dalam penelitian ini

struktur tidak menggunakan *shear wall* yang menahan gaya lateral. Sehingga tidak tergolong kategori 4.

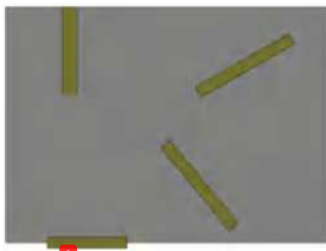


Gambar 5.105 Ketidakberaturan Horizontal Kategori 4

(Sumber: SNI 1726:2019)

5) ¹² Kategori 5

Kategori ini merupakan parameter yang mengindikasikan sebuah struktur memiliki ketidakberaturan sistem non paralel. Pada penelitian ini kolom posisinya paralel terhadap sumbu utama struktur. Jadi **tidak tergolong kategori 5**.



Gambar 5.106 Ketidakberaturan Horizontal Kategori 5

(Sumber: SNI 1726:2019)

b. Analisa ketidakberaturan vertikal

Dalam analisa ketidakberaturan vertikal, terdapat beberapa kategori (1a, 1b, 2, 3, 4, 5a, 5b) yang perlu diperhitungkan yang sesuai dengan isi dari SNI 1726:2019; Tabel 14; Hal-61. Berikut analisis ketidakberaturan vertikal dalam kasus ini.

¹⁰⁶

5
Tabel 5.49 Ketidakberaturan Vertikal Pada Struktur

Kategori	Tipe dan penjelasan ketidakberaturan
1a	Ketidakberaturan Kekakuan Tingkat Lunak didefinisikan ada jika terdapat suatu tingkat yang kekakuan lateralnya kurang dari 70 % kekakuan lateral tingkat di atasnya atau kurang dari 80 % kekakuan rata-rata tiga tingkat di atasnya.
1b	Ketidakberaturan Kekakuan Tingkat Lunak Berlebihan didefinisikan ada jika terdapat suatu tingkat yang kekakuan lateralnya kurang dari 60 % kekakuan lateral tingkat di atasnya atau kurang dari 70 % kekakuan rata-rata tiga tingkat di atasnya.
2	Ketidakberaturan Berat (Massa) didefinisikan ada jika massa efektif di sebarang tingkat lebih dari 150 % massa efektif tingkat di dekatnya. Atap yang lebih ringan dari lantai di bawahnya tidak perlu ditinjau.
3	Ketidakberaturan Geometri Vertikal didefinisikan ada jika dimensi horizontal sistem pemikul gaya seismik di sebarang tingkat lebih dari 130 % dimensi horizontal sistem pemikul gaya seismik tingkat didekatnya.
4	Ketidakberaturan Akibat Diskontinuitas Bidang pada Elemen Vertikal Pemikul Gaya Lateral didefinisikan ada jika pergeseran arah bidang elemen pemikul gaya lateral lebih besar dari panjang elemen itu atau terdapat reduksi kekakuan elemen pemikul di tingkat di bawahnya.
5a	Ketidakberaturan tingkat lemah akibat diskontinuitas pada kekuatan lateral tingkat didefinisikan ada jika kekuatan lateral suatu tingkat kurang dari 80 % kekuatan lateral tingkat di atasnya. Kekuatan lateral tingkat adalah kekuatan total semua elemen pemikul seismik yang berbagi geser tingkat pada arah yang ditinjau.
5b	Ketidakberaturan tingkat lemah berlebihan akibat diskontinuitas pada kekuatan lateral tingkat didefinisikan ada jika kekuatan lateral suatu tingkat kurang dari 65 % kekuatan lateral tingkat di atasnya. Kekuatan lateral tingkat adalah kekuatan total semua elemen pemikul seismik yang berbagi geser tingkat pada arah yang ditinjau.

(Sumber: SNI 1726:2019; Tabel 14; Hal-61)

6
1) Kategori 1a dan 1b

Kategori ini mengklasifikasikan struktur memiliki kekakuan tingkat lunak dengan ketentuan kekakuan lateral kurang dari 70% kekakuan di tingkat ¹⁷ atasnya atau 80% kekakuan lateral dari rata-rata tiga tingkat diatasnya (kategori 1a). Sedangkan untuk kategori 1b parameter yang dipakai yaitu <60% dan <70%.



14

Gambar 5.107 Ketidakberaturan Vertikal Kategori 1a dan 1b

(Sumber: SNI 1726:2019)

Berikut perhitungan analisis ketidakberaturan vertikal kategori 1a dan 1b pada setiap lantai

$$E_{\text{beton}} = 4700 \times \sqrt{f_c} = 4700 \times \sqrt{30} = 25742,96 \text{ MPa}$$

$$I_x (\text{K2} = 600/700) = \frac{b \times h^3}{12} = \frac{600 \times 700^3}{12} = 17150000000 \text{ mm}^4$$

$$I_y (\text{K2} = 600/700) = \frac{h \times b^3}{12} = \frac{700 \times 600^3}{12} = 12600000000 \text{ mm}^4$$

$$K_x (\text{K2} = 600/700) = \frac{12 \times E \times I_y}{L^3} \times n \text{ kolom pada lantai yang ditinjau}$$

$$= \frac{12 \times 25742,96 \times 12600000000}{4000^3} \times 24$$

$$= 1459625,843 \text{ N/mm}$$

$$K_y (\text{K2} = 600/700) = \frac{12 \times E \times I_x}{L^3} \times n \text{ kolom pada lantai yang ditinjau}$$

$$= \frac{12 \times 25742,96 \times 17150000000}{4000^3} \times 24$$

$$= 1986712,954 \text{ N/mm}$$

$$I_x (\text{K1} = 650/750) = \frac{b \times h^3}{12} = \frac{650 \times 750^3}{12} = 22851562500 \text{ mm}^4$$

$$I_y (\text{K1} = 650/750) = \frac{h \times b^3}{12} = \frac{750 \times 650^3}{12} = 17164062500 \text{ mm}^4$$

$$K_x (\text{K1} = 650/750) = \frac{12 \times E \times I_y}{L^3} \times n \text{ kolom pada lantai yang ditinjau}$$

$$\begin{aligned}
 &= \frac{12 \times 25742,96 \times 17164062500}{4000^3} \times 24 \\
 &= 1988342 \text{ N/mm} \\
 K_y(K_1 = 650/750) &= \frac{12 \times E \times I_x}{L^3} \times n \text{ kolom pada lantai yang ditinjau} \\
 &= \frac{12 \times 25742,96 \times 22851562500}{4000^3} \times 24 \\
 &= 2647200,888 \text{ N/mm}
 \end{aligned}$$

Tabel 5.50 Rekapitulasi Kekakuan Lateral Setiap Lantai

Story	L (mm)	Jumlah Kolom (n)	Jenis Kolom	b (mm)	h (mm)	$I_x (\text{mm}^4)$	$I_y (\text{mm}^4)$	$K_x (\text{N/mm})$	$K_y (\text{N/mm})$
Story 10	4000	24	K2	600	700	17150000000,000	12600000000,000	1459625,843	1986712,954
Story 9	4000	24	K2	600	700	17150000000,000	12600000000,000	1459625,843	1986712,954
Story 8	4000	24	K2	600	700	17150000000,000	12600000000,000	1459625,843	1986712,954
Story 7	4000	24	K2	600	700	17150000000,000	12600000000,000	1459625,843	1986712,954
Story 6	4000	24	K2	600	700	17150000000,000	12600000000,000	1459625,843	1986712,954
Story 5	4000	24	K1	650	750	22851562500,000	17164062500,000	1988342,000	2647200,888
Story 4	4000	24	K1	650	750	22851562500,000	17164062500,000	1988342,000	2647200,888
Story 3	4000	24	K1	650	750	22851562500,000	17164062500,000	1988342,000	2647200,888
Story 2	4000	24	K1	650	750	22851562500,000	17164062500,000	1988342,000	2647200,888
Story 1	4000	24	K1	650	750	22851562500,000	17164062500,000	1988342,000	2647200,888

(Sumber: Hasil Analisis Penulis, 2025)

a) Lantai 1

$$K_x \text{ lantai } 1 = K_x \text{ lantai } 2 = K_x \text{ lantai } 3 = K_x \text{ lantai } 4 = 1988342 \text{ N/mm}$$

$$K_y \text{ lantai } 1 = K_y \text{ lantai } 2 = K_y \text{ lantai } 3 = K_y \text{ lantai } 4 = 2647200,888 \text{ N/mm}$$

$$70\% K_x \text{ lantai } 2 = \frac{70}{100} \times 1988342$$

$$= 1391839,400 \text{ N/mm}$$

$$60\% K_x \text{ lantai } 2 = \frac{60}{100} \times 1988342$$

$$= 1193005,200 \text{ N/mm}$$

$$80\% (\text{rata-rata } K_x \text{ lantai } 2 \text{ sampai } 4) = \frac{80}{100} \times \frac{1988342 \times 3}{3}$$

$$= 1590673,600 \text{ N/mm}$$

$$\begin{aligned}
70\% \text{ (rata-rata } K_x \text{ lantai 2 sampai 4)} &= \frac{70}{100} \times \frac{1988342 \times 3}{3} \\
&= 1391839,400 \text{ N/mm} \\
70\% K_y \text{ lantai 2} &= \frac{70}{100} \times 2647200,888 \\
&= 1853040,622 \text{ N/mm} \\
60\% K_y \text{ lantai 2} &= \frac{60}{100} \times 2647200,888 \\
&= 1588320,533 \text{ N/mm} \\
80\% \text{ (rata-rata } K_y \text{ lantai 2 sampai 4)} &= \frac{80}{100} \times \frac{2647200,888 \times 3}{3} \\
&= 2117760,710 \text{ N/mm} \\
70\% \text{ (rata-rata } K_y \text{ lantai 2 sampai 4)} &= \frac{70}{100} \times \frac{2647200,888 \times 3}{3} \\
&= 1853040,622 \text{ N/mm} \quad 4
\end{aligned}$$

Berikut rekapitulasi analisis ketidakberaturan vertikal kategori 1a dan 1b.

Tabel 5.51 Analisa Ketidakberaturan Vertikal Kategori 1a

Story	Kx N/mm	Cek Persyaratan kategori 1a		Ky N/mm	Cek Persyaratan kategori 1a	
		<70 %	<80 %		<70%	<80%
Story 10	1459625,843	-	-	1986712,954	-	-
Story 9	1459625,843	1021738,090	NOT OK	1986712,954	1390699,068	NOT OK
Story 8	1459625,843	1021738,090	NOT OK	1986712,954	1390699,068	NOT OK
Story 7	1459625,843	1021738,090	NOT OK	1167700,675	NOT OK	1986712,954
Story 6	1459625,843	1021738,090	NOT OK	1167700,675	NOT OK	1986712,954
Story 5	1988342,000	1021738,090	NOT OK	1167700,675	NOT OK	2647200,888
Story 4	1988342,000	1391839,400	NOT OK	1308691,650	NOT OK	2647200,888
Story 3	1988342,000	1391839,400	NOT OK	1449682,625	NOT OK	2647200,888
Story 2	1988342,000	1391839,400	NOT OK	1590673,600	NOT OK	2647200,888
Story 1	1988342,000	1391839,400	NOT OK	1590673,600	NOT OK	2647200,888

(Sumber: Hasil Analisis Penulis, 2025)

Tabel 5.52 Analisa Ketidakberaturan Vertikal Kategori 1b

Story	Kx N/mm	Cek Persyaratan kategori 1b		Ky N/mm	Cek Persyaratan kategori 1b	
		<60 %	<70 %		<60%	<70%
Story 10	1459625,843	-	-	1986712,954	-	-
Story 9	1459625,843	875775,506	NOT OK	1986712,954	1192027,772	NOT OK
Story 8	1459625,843	875775,506	NOT OK	1986712,954	1192027,772	NOT OK
Story 7	1459625,843	875775,506	NOT OK	1021738,090	NOT OK	1986712,954
Story 6	1459625,843	875775,506	NOT OK	1021738,090	NOT OK	1986712,954
Story 5	1988342,000	875775,506	NOT OK	1021738,090	NOT OK	2647200,888
Story 4	1988342,000	1193005,200	NOT OK	1145105,194	NOT OK	2647200,888

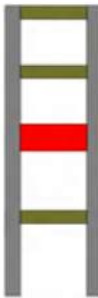
Story	Kx N/mm	Cek Persyaratan kategori 1b				Ky N/mm	Cek Persyaratan kategori 1b			
		<60 %		<70 %			<60%		<70%	
Story 3	1988342,000	1193005,200	NOT OK	1268472,297	NOT OK	2647200,888	1588320,533	NOT OK	1698926,770	NOT OK
Story 2	1988342,000	1193005,200	NOT OK	1391839,400	NOT OK	2647200,888	1588320,533	NOT OK	1853040,622	NOT OK
Story 1	1988342,000	1193005,200	NOT OK	1391839,400	NOT OK	2647200,888	1588320,533	NOT OK	1853040,622	NOT OK

(Sumber: Hasil Analisis Penulis, 2025)

4
Dapat disimpulkan bahwa antara parameter ketidakberaturan vertikal kategori 1a dan kategori 1b tidak ada satupun yang memenuhi. Sehingga struktur dapat dikatakan tidak tergolong ketidakberaturan vertikal kategori 1a dan 1b.

5
2) Kategori 2

Kategori ini mengklasifikasikan struktur memiliki ketidakberaturan berat (massa) jika massa disuatu tingkat melebihi 150% massa tingkat didekatnya (SNI 1726:2019; Gambar 6b; Hal-62). Pada penelitian ini tidak ada massa di suatu tingkat yang melebihi 150% massa tigkat didekatnya, maka tidak termasuk ketidakberaturan vertikal kategori 2.



6

Gambar 5.109 Ketidakberaturan Vertikal Kategori 2

(Sumber: SNI 1726:2019)

Tabel 5.53 Analisa Ketidakberaturan Massa Kategori 2

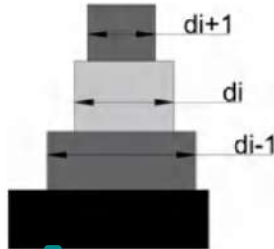
Story	ETABS				TSD					
	Berat (kg)	Diatas W_i		Dibawah W_i		Berat (kg)	Diatas W_i		Dibawah W_i	
		1,5 W_{i+1}	-	1,5 W_{i-1}	-		1,5 W_{i+1}	-	1,5 W_{i-1}	-
Story 10	464691,000	-	-	836633,400	NOT OK	471948,627	-	-	836633,407	NOT OK
Story 9	557755,600	697036,500	NOT OK	836633,400	NOT OK	557755,605	707922,940	NOT OK	836633,407	NOT OK

Story	ETABS				TSD					
	Berat (kg)	Diatas W_i		Dibawah W_i		Berat (kg)	Diatas W_i		Dibawah W_i	
		$1,5 W_{i+1}$		$1,5 W_{i-1}$			$1,5 W_{i+1}$		$1,5 W_{i-1}$	
Story 8	557755,600	836633,400	NOT OK	836633,400	NOT OK	557755,605	836633,407	NOT OK	836633,407	NOT OK
Story 7	557755,600	836633,400	NOT OK	836633,400	NOT OK	557755,605	836633,407	NOT OK	836633,407	NOT OK
Story 6	557755,600	836633,400	NOT OK	881522,700	NOT OK	557755,605	836633,407	NOT OK	882525,378	NOT OK
Story 5	587681,800	836633,400	NOT OK	891386,700	NOT OK	588350,252	836633,407	NOT OK	891386,661	NOT OK
Story 4	594257,800	881522,700	NOT OK	891386,700	NOT OK	594257,774	882525,378	NOT OK	891386,661	NOT OK
Story 3	594257,800	891386,700	NOT OK	891386,700	NOT OK	594257,774	891386,661	NOT OK	891386,661	NOT OK
Story 2	594257,800	891386,700	NOT OK	891386,700	NOT OK	594257,774	891386,661	NOT OK	891386,661	NOT OK
Story 1	594257,800	891386,700	NOT OK	-	-	594257,774	891386,661	NOT OK	-	-

(Sumber: Hasil Analisis Penulis, 2025)

12) 3) Kategori 3

Kategori ini mengklasifikasikan ketidakberaturan dari geometri vertikal struktur jika dimensi horizontal disembarang tingkat melebihi 130% dari dimensi terdekatnya. Pada penelitian ini, dimensi horizontal setiap lantai adalah sama, maka struktur tidak termasuk ketidakberaturan vertikal kategori 3.

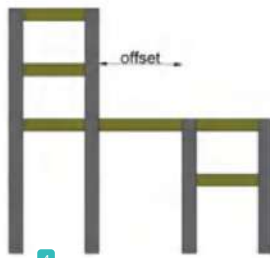


4) Gambar 5.109 Ketidakberaturan Vertikal Kategori 3

(Sumber: SNI 1726:2019)

12) 4) Kategori 4

Kategori ini terkait diskontinuitas bidang pada elemen vertikal pemikul gaya lateral. Pada penelitian ini elemen vertikal seperti kolom saling menerus dari bawah keatas, sehingga tidak tergolong kategori 4.



Gambar 5.10 Ketidakberaturan Vertikal Kategori 4

(Sumber: SNI 1726:2019)

5) Kategori 5a dan 5b

Kategori ini terkait tingkat tinggi lemah akibat diskontinuitas kekuatan lateral. Pada penelitian ini seperti pada perhitungan kekakuan lateral sebelumnya, bahwa kekakuan lateral tiap lantai relatif sama sehingga dapat disimpulkan struktur tidak tergolong kategori 5a dan 5b.



Gambar 5.111 Ketidakberaturan Vertikal Kategori 5

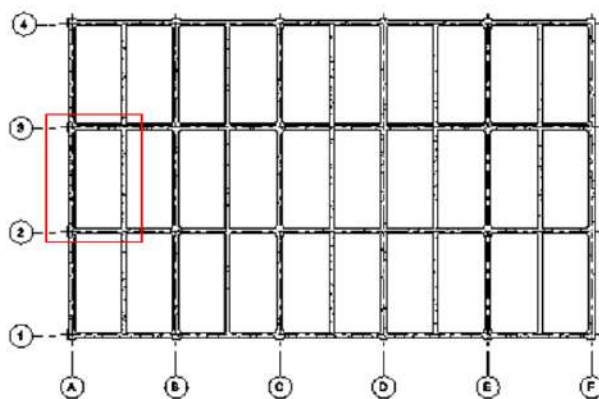
(Sumber: SNI 1726:2019)

5.7 Desain Elemen Struktur

Elemen struktur yang didesain meliputi pelat, balok, kolom, dan hubungan balok-kolom.

5.7.1 Desain pelat

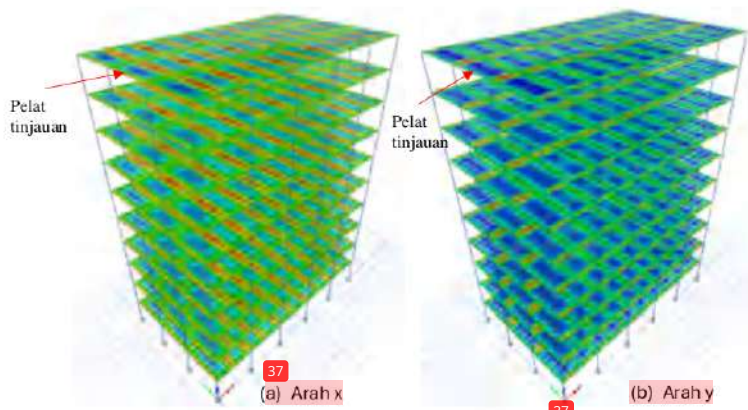
Pelat yang didesain merupakan pelat yang berada di lantai 10 dengan panjang 6000 mm, lebar 3000 mm, tebal pelat 130 mm, selimut setebal 20 mm, mutu kuat tekan beton ($f_{c'}$) sebesar 30 Mpa, dan mutu tulangan leleh baja (f_y) sebesar 420 Mpa. Berikut perhitungan desain pelat pada kedua perangkat lunak.



Gambar 5.112 Pelat Yang Didesain Pada Lantai 10 Grid 2-3/A-B

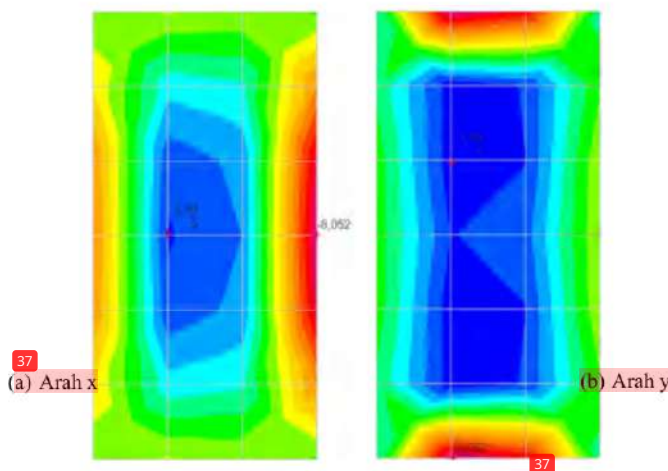
(Sumber: Hasil Analisis Penulis, 2025)

Pada saat permodelan struktur dengan *ETABS*, pelat dimodelkan sebagai *shell*, pelat ¹ difungsikan untuk membantu menahan gaya yang terjadi. Gaya dalam yang terjadi dapat dilihat pada *ETABS*.



Gambar 5.113 Distribusi Momen Pelat Pada *ETABS* (a) Arah x (b) Arah Y

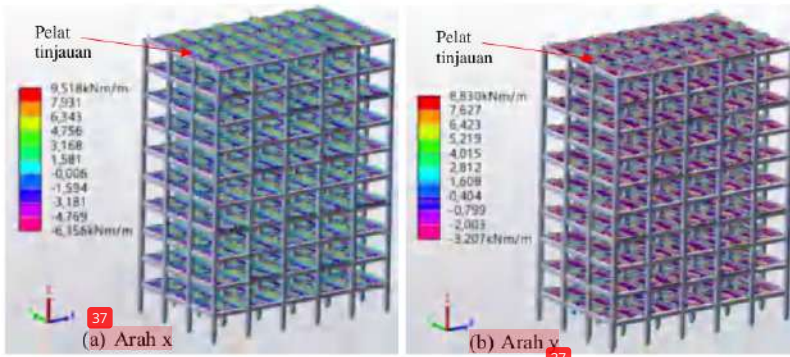
(Sumber: Hasil Analisis Penulis, 2025)



Gambar 5.114 Distribusi Momen Pelat Tinjauan Pada ETABS (a) Arah x (b) Arah Y

(Sumber: Hasil Analisis Penulis, 2025)

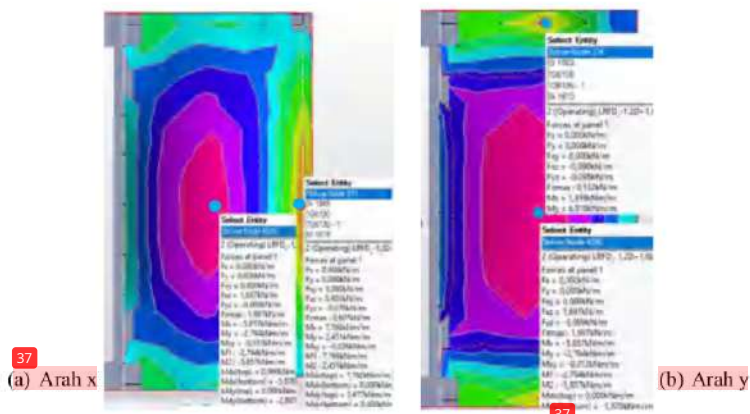
Pada saat permodelan struktur dengan *TSD*, pelat dimodelkan sebagai *slab on beam*, pelat difungsikan untuk membantu menahan gaya yang terjadi. Gaya dalam yang terjadi dapat dilihat pada *TSD*.



37

Gambar 5.115 Distribusi Momen Pelat Pada TSD (a) Arah x (b) Arah Y

(Sumber: Hasil Analisis Penulis, 2025)



Gambar 5.116 Distribusi Momen Pelat Tinjauan Pada TSD (a) Arah x (b) Arah Y

(Sumber: Hasil Analisis Penulis, 2025)

Tabel 5.54 Rekapitulasi Gaya Momen Yang Terjadi Pada Pelat Lantai

Posisi	Mu ETABS (kNm)	Mu TSD (kNm)	COMB
MLX	5,105	5,857	COMB2
MTX	8,05	7,77	COMB2
MLY	1,791	2,794	COMB2
MTY	5,052	6,918	COMB2

(Sumber: Hasil Analisis Penulis, 2025)

Berikut merupakan perhitungan tulangan lentur pada lapangan arah x pada ETABS dengan momen sebesar 5105000 Nmm, dicoba menggunakan tulangan lentur (D_t) 10 mm.

a. Step 1, menghitung nilai momen nominal M_n

Nilai awal ϕ diasumsikan sebesar $\phi = 0,9$

$$M_n = \frac{Mu}{\phi} = \frac{5105000}{0,9} = 5672222,222 \text{ Nmm}$$

b. Step 2, menghitung luas tulangan minimum

Berdasarkan SNI 2847-2019; Tabel 7.6.1.1; Hal-123, nilai A_{smi} untuk $f_y \geq 420$

Mpa diambil dari nilai terbesar dua persamaan berikut:

$$A_{smi} = 0,0014 A_g = 0,0014 \times 1000 \times 130 = 182 \text{ mm}^2$$

$$A_{smin2} = \frac{0,0018 \times 420}{f_y} \times A_g = \frac{0,0018 \times 420}{420} \times 1000 \times 130 = 234 \text{ mm}^2$$

Maka diambil luas tulangan minimum sebesar, $A_{smin} = 234 \text{ mm}^2$

c. Step 3, hitung nilai R_n dan m

$$\begin{aligned} \text{Tinggi efektif balok (d)} &= (h - t_s - \frac{1}{2} \times D_t) \\ &= (130 - 20 - \frac{1}{2} \times 10) \\ &= 105 \text{ mm} \end{aligned}$$

$$\begin{aligned} \text{Coefficient of resistance (R_n)} &= \frac{M_n}{b \times d^2} \\ &= \frac{5672222,222}{1000 \times 105^2} \\ &= 0,514 \end{aligned}$$

$$\text{Nilai parameter (m)} = \frac{f_y}{0,85 \times f_{c'}} = \frac{420}{0,85 \times 30} = 16,471$$

d. Step 4, hitung nilai rasio tulangan

$$\rho = \frac{1}{m} \left(1 - \sqrt{1 - \frac{2 \times m \times R_n}{f_y}} \right) = \frac{1}{16,471} \left(1 - \sqrt{1 - \frac{2 \times 16,471 \times 0,514}{420}} \right) = 0,0123$$

e. Step 5, hitung nilai luas tulangan yang dibutuhkan

$$\begin{aligned} \text{Tulangan (A}_{sperlu} \text{)} &= \rho \times b \times d \\ &= 0,0123 \times 1000 \times 105 \\ &= 129,9462 \text{ mm}^2 \end{aligned}$$

Karena $A_{sperlu} < A_{smin}$, dipakai luas tulangan perlu sebesar $A_{smin} = 234 \text{ mm}^2$

f. Step 6, hitung jarak spasi pelat (s) dan jarak spasi maksimum pelat (s_{max})

$$s_{perlu} = \frac{b \times 1/4 \times \pi \times D_t^2}{As \text{ perlu}} = \frac{1000 \times 1/4 \times \pi \times 10^2}{234} = 335,64 \text{ mm}$$

Berdasarkan SNI 2847:2019 Pasal 7.7.2.3 Hal-126, nilai spasi pelat maksimal harus kurang dari 3h atau 450 mm.

$$s_{max1} = 3 \times h = 3 \times 130 = 390 \text{ mm}$$

$$s_{max2} = 450 \text{ mm}$$

Maka jarak spasi (s) pelat digunakan 330 mm

Jadi dengan jarak spasi 330 mm, didapat $A_{sterpasang}$ sebesar:

$$A_{sterpasang} = \frac{b \times 1/4 \times \pi \times D_t^2}{s_{pakai}} = \frac{1000 \times 1/4 \times \pi \times 10^2}{238} = 238 \text{ mm}$$

g. Step 7, hitung nilai a berdasarkan tulangan pakai

$$a = \frac{A_{stainless} \times f_y}{0,85 \times f'_c \times b} = \frac{238 \times 420}{0,85 \times 30 \times 1000} = 3,92 \text{ mm}$$

h. Step 8, hitung nilai tinggi garis netral (c)

$$\beta = 0,85 - 0,05 \left(\frac{f'_c - 28}{7} \right) \text{ (SNI 2847:2019 Tabel 22.2.4.3 Hal-478)}$$

$$= 0,836$$

$$c = \frac{a}{\beta} = \frac{3,92}{0,836} = 4,691 \text{ mm}$$

i. Step 9, cek kategori penampang

Dikarenakan satu lapis, maka $d_t = d$. Maka untuk cek kategori penampang menggunakan:

$$\frac{c}{d_t} < 0,375$$

$$\frac{4,691}{105} < 0,375$$

$0,0447 < 0,375$ (Terkontrol tarik), sehingga nilai reduksi yang digunakan adalah

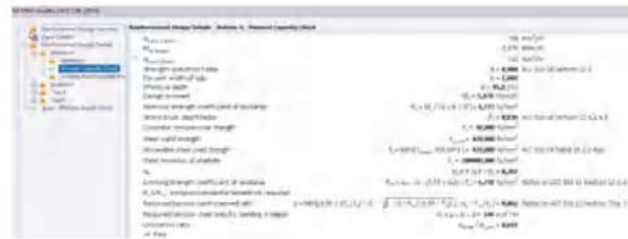
$$\emptyset = 0,9$$

j. Step 10, hitung dan periksa kapasitas penampang

$$\begin{aligned} \emptyset M_n &= \emptyset \times A_{stainless} \times f_y \times \left(d - \frac{a}{2} \right) \\ &= 0,9 \times 238 \times 420 \times \left(105 - \frac{3,92}{2} \right) \\ &= 9269869,30 \text{ Nmm} > 5105000,00 \text{ Nmm (Mu)} \dots \dots \text{(OK)} \end{aligned}$$

$\emptyset M_n > M_u$, sehingga tulangan D10-330 mm dapat digunakan untuk menahan momen lapangan pelat arah x.

Dalam mendesain tulangan lentur pada TSD dapat dilakukan secara otomatis oleh TSD itu sendiri dengan mengacu ACI 318-14. Perhitungan meliputi pengecekan syarat dan juga perhitungan desain tulangan lentur pada tulangan atas dan bawah arah x maupun arah y. Berikut tampilan perhitungan otomatis desain tulangan lentur bawah arah x pada TSD.



Gambar 5.117 Tampilan Perhitungan Otomatis Desain Tulangan Lentur Pelat Pada *TSD*

(Sumber: Hasil Analisis Penulis, 2025)

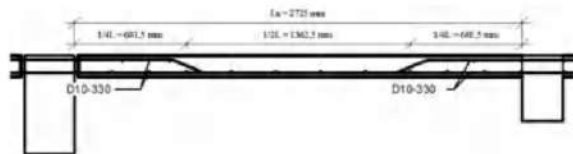
Berikut rekapitulasi hasil desain tulangan lentur pada pelat.

Tabel 5.55 Rekapitulasi Hasil Desain Tulangan Lentur Pelat

Posisi	ETABS				TSD			
	Tulangan Lentur	ϕM_n (kNm)	M _u (kNm)	Ratio	Tulangan Lentur	ϕM_n (kNm)	M _u (kNm)	Ratio
MLX	D10-330	9,270	5,105	0,551	D10-330	9,270	5,857	0,632
MTX	D10-330	9,270	8,052	0,869	D10-330	9,270	7,766	0,838
MLY	D10-330	8,370	1,791	0,214	D10-390	8,370	2,794	0,334
MTY	D10-330	8,370	5,052	0,604	D10-330	8,370	6,918	0,827
Rata-rata		0,559			Rata-rata		0,657	

(Sumber: Hasil Analisis Penulis, 2025)

Hasil desain tulangan lentur pelat didapat hasil bahwa rasio tulangan rata-rata yang dihasilkan oleh *TSD* cenderung lebih besar dibandingkan dengan *ETABS*. Rasio tulangan yang dihasilkan oleh *TSD* sebesar 0,657, sedangkan *ETABS* memiliki rasio lebih kecil yaitu sebesar 0,559.



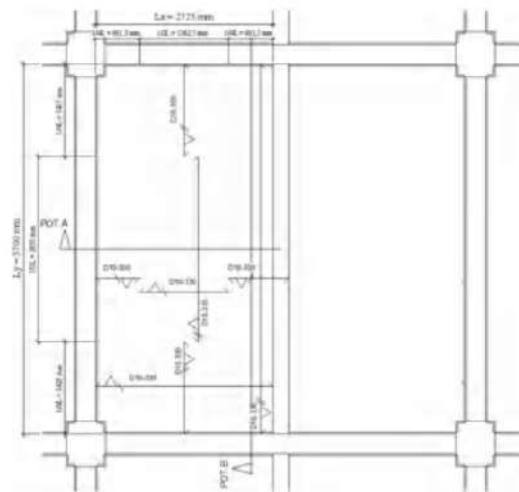
Gambar 5.118 Potongan A-A Pelat

(Sumber: Hasil Analisis Penulis, 2025)

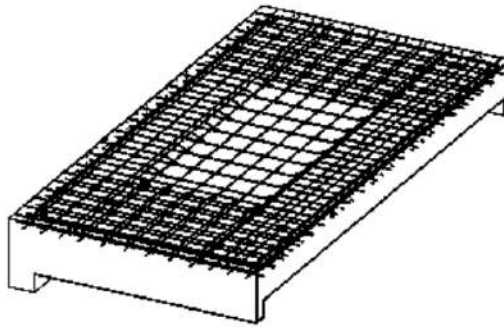


Gambar 5.119 Potongan B-B Pelat

(Sumber: Hasil Analisis Penulis, 2025)



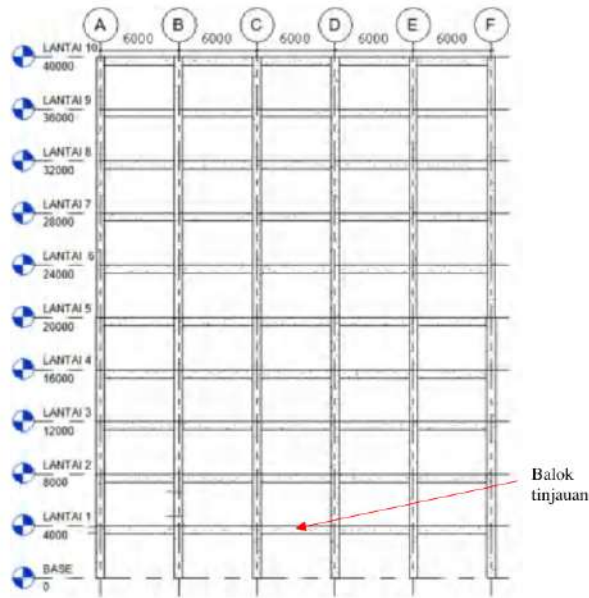
Gambar 5.120 Penulangan Pelat
28
 (Sumber: Hasil Analisis Penulis, 2025)



Gambar 5.121 3D Penulangan Pelat
(Sumber: Hasil Analisis Penulis, 2025)

5.7.2 Desain balok

Desain pada balok meliputi desain tulangan lentur, tulangan geser, dan tulangan torsi. Setelah melakukan pendesain-an tulangan, perlu dilakukan pengecekan syarat-syarat yang berlaku untuk balok SRPMK mengacu SNI 2847:2019 Pasal 18.6 Hal-376. Pada penelitian ini balok yang ditinjau pada grid 2C-D lantai 1



Gambar 5.122 Balok Tinjauan (Grid 2/C-D Lantai 1)

(Sumber: Hasil Analisis Penulis, 2025)

a. Desain tulangan lentur

Pada desain tulangan lentur, hasil analisis yang dikeluarkan berupa momen yang terjadi pada balok. Untuk mendapatkan konfigurasi tulangan balok, perlu dihitung dengan mengacu SNI 2847:2019 Pasal 9. Berikut rekapitulasi momen ultimit yang terjadi pada balok yang dihasilkan oleh kedua perangkat lunak.

Tabel 5.56 Rekapitulasi Momen Ultimit Pada Balok (Grid 2C-D)

Posisi	Mu ETABS (kNm)	COMB	Mu TSD (kNm)	COMB
Tumpuan atas	-357.4222	Comb9	-351.103	COMB9
Tumpuan bawah	165.1698	Comb16	160.572	COMB15
Lapangan atas	-126.3375	Comb9	-102.485	COMB18
Lapangan bawah	133.0535	Comb2	132.252	COMB2

(Sumber: Hasil Analisis Penulis, 2025)

Berikut perhitungan tulangan lentur tumpuan atas pada balok B1 350 x 650 (grid 2C-D) dengan momen ultimate sebesar -357422200 Nmm. Tulangan balok dicoba dengan tulangan utama (D_i) 22 mm dan tulangan sengkang ($\emptyset s$) 10 mm.

- 1) Step 1, menghitung nilai momen nominal M_n

Nilai awal ϕ diasumsikan sebesar $\phi = 0,9$

$$M_n = \frac{Mu}{\phi} = \frac{357422200,00}{0,9} = 397135777,8 \text{ Nmm}$$

- 2) Step 2, menghitung rasio minimum dan maksimum

Berdasarkan SNI 2847-2019; Pasal 9.7.1.2; Hal-189, nilai rasio minimum

diambil dari nilai terbesar dua persamaan berikut:

$$\rho_{min1} = \frac{0,25\sqrt{fc'}}{fy} = \frac{0,25\sqrt{30}}{420} = 0,00326$$

$$\rho_{min2} = \frac{1,4}{fy} = \frac{1,4}{420} = 0,00333$$

Maka diambil rasio minimum sebesar, $\rho_{min} = 0,00333$. Nilai rasio maksimum mengacu pada SNI 2847-2019; Pasal 18.6.3.1; Hal-378, bahwa nilai rasio tidak boleh melebihi dari 0,025.

- 3) Step 3, hitung nilai R_n dan m

$$\begin{aligned} \text{Tinggi efektif balok (d)} &= (h - t_s - \phi s - \frac{1}{2} \times D_i) \\ &= (650 - 50 - 10 - \frac{1}{2} \times 22) \\ &= 579 \text{ mm} \end{aligned}$$

$$\begin{aligned} \text{Coefficient of resistance (R}_n) &= \frac{M_n}{b \times d^2} \\ &= \frac{397135777,8}{350 \times 579^2} \\ &= 3,385 \end{aligned}$$

$$\text{Nilai parameter (m)} = \frac{fy}{0,85 \times fc'} = \frac{420}{0,85 \times 30} = 16,471$$

- 4) Step 4, hitung nilai rasio tulangan

$$\begin{aligned} \rho &= \frac{1}{m} \left(1 - \sqrt{1 - \frac{2 \times m \times R_n}{fy}} \right) \\ &= \frac{1}{16,471} \left(1 - \sqrt{1 - \frac{2 \times 16,471 \times 3,385}{420}} \right) \\ &= 0,00868 \end{aligned}$$

Karena nilai $\rho > \rho_{min}$ maka $\rho_{pukai} = \rho = 0,00868 < 0,025 (\rho_{max})$ (memenuhi syarat).

- 5) Step 5, hitung nilai luas tulangan tarik yang dibutuhkan

$$\begin{aligned} \text{Tulangan tarik (As)} &= \rho \times b \times d \\ &= 0,00868 \times 350 \times 579 \\ &= 1758,8 \text{ mm}^2 \end{aligned}$$

- 6) Step 6, hitung nilai luasan pakai

$$\begin{aligned} n \text{ tulangan} &= \frac{\text{As hitung}}{1/4 \times \pi \times D^2} \\ &= \frac{1758,8}{1/4 \times \pi \times 22^2} \\ &= 4,62 \text{ tulangan, dipakai } 5 \text{ tulangan} \end{aligned}$$

Perlu dipastikan spasi tulangan bila dipasang dalam satu lapis

$$\begin{aligned} S_{\min} &= \frac{b - (2 \times ts) - (2 \times \emptyset s) - (n \times Dt)}{(n-1)} \\ &= \frac{350 - (2 \times 50) - (2 \times 10) - (5 \times 22)}{(5-1)} \\ &= 30 \text{ mm} > 25 \text{ mm (SNI 2847:2019 Pasal 25.2.1 Hal 559)} \end{aligned}$$

Jadi tulangan bisa dipasang dalam satu lapis sebanyak 5D22 mm. Sehingga tulangan pakai adalah:

$$\begin{aligned} \text{As pakai} &= (1/4 \times \pi \times D^2) \times n \\ &= (1/4 \times \pi \times 22^2) \times 5 \\ &= 1900,663 \text{ mm}^2 \end{aligned}$$

- 7) Step 7, hitung nilai a berdasarkan tulangan pakai

$$\begin{aligned} a &= \frac{\text{As pakai} \times f_y}{0,85 \times f'_c \times b} \\ &= \frac{1900,663 \times 420}{0,85 \times 30 \times 350} \\ &= 89,443 \text{ mm} \end{aligned}$$

- 8) Step 8, hitung nilai tinggi garis netral (c)

$$\begin{aligned} \beta &= 0,85 - 0,05 \left(\frac{f'_c - 28}{7} \right) \text{ (SNI 2847:2019 Tabel 22.2.2.4.3 Hal-478)} \\ &= 0,836 \\ c &= \frac{a}{\beta} = \frac{89,443}{0,836} = 107,026 \text{ mm} \end{aligned}$$

- 9) Step 9, cek kategori penampang

Dikarenakan satu lapis, maka $d_i = d$. Maka untuk cek kategori penampang menggunakan:

$$\frac{c}{dt} < 0,375$$

$$\frac{107,026}{579} < 0,375$$

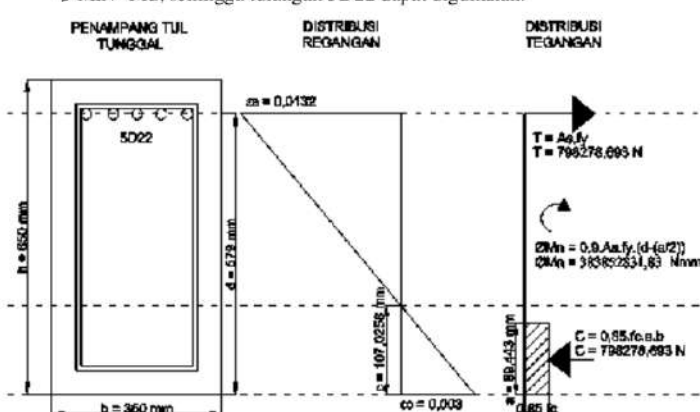
$0,185 < 0,375$ (Terkontrol tarik), sehingga nilai reduksi yang digunakan adalah $\phi = 0,9$

10) Step 10, hitung dan periksa kapasitas penampang

$$\emptyset \text{ Mn} = \emptyset \times \text{Aspakai}_x \text{ fy } x \left(d - \frac{a}{2} \right)$$

$$= 0,9 \times 1900,663 \times 420 \times \left(579 - \frac{89,443}{2} \right)$$

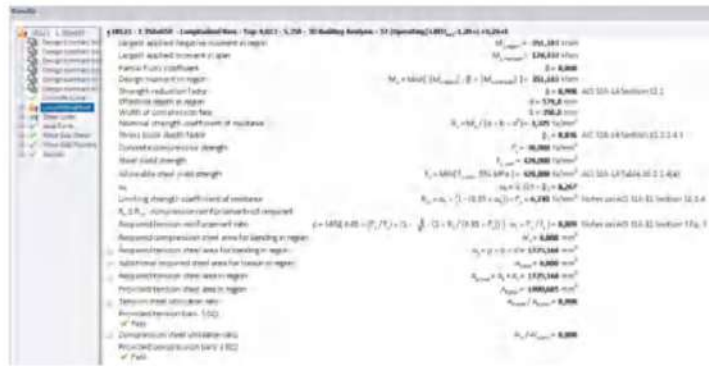
$\phi_{\text{Ma}} > \phi_{\text{Mu}}$, sehingga tulangan SD22 dapat digunakan.



Gambar 5.123 Diagram Tegangan Regangan pada Balok Tulangan Tumpuan Atas

(Sumber: Hasil Analisis Penulis, 2025)

Desain tulangan lentur balok pada *TSD* dapat dihitung secara otomatis oleh *TSD* dengan menghitung sesuai kebutuhan momen ultimit yang terjadi. Perhitungan tulangan lentur balok pada *TSD* mengacu pada ACI 318-14. Berikut tampilan perhitungan otomatis tulangan lentur balok pada tumpuan atas oleh *TSD*.



Gambar 5.124 Tampilan Perhitungan Otomatis Tulangan Lentur Tumpuan Atas

Balok (Grid 2C-D Lantai 1) Pada *TSD*

(Sumber: Hasil Analisis Penulis, 2025)

Berikut rekapitulasi hasil desain tulangan lentur balok (grid 2C-D).

Tabel 5.57 Rekapitulasi Hasil Desain Tulangan Lentur Balok (Grid 2C-D Lantai 1)

Posisi	ETABS				TSD			
	Tulangan Lentur	ϕM_n (kNm)	M _u (kNm)	Ratio	Tulangan Lentur	ϕM_n (kNm)	M _u (kNm)	Ratio
Tumpuan atas	5D22	383.853	357.422	0,931	5D22	383.853	351.103	0,915
Tumpuan bawah	3D22	238.023	165.170	0,694	3D22	238.023	160.572	0,675
Lapangan atas	2D22	161.252	126.338	0,783	2D22	161.252	102.485	0,636
Lapangan bawah	2D22	161.252	133.054	0,825	2D22	161.252	132.252	0,820
Rata-rata		0,808			Rata-rata		0,761	

(Sumber: Hasil Analisis Penulis, 2025)

Hasil perencanaan tulangan lentur balok didapat hasil bahwa rata-rata rasio tulangan yang dihasilkan oleh *ETABS* lebih besar dibandingkan *TSD*. Hasil rata-rata rasio tulangan pada *ETABS* sebesar 0,808, sedangkan *TSD* sebesar 0,761.

b. Desain tulangan geser

Geser rencana akibat gempa pada balok dihitung dengan mengasumsikan sendi plastis terbentuk di ujung-ujung balok dengan tulangan lentur balok mencapai 1,25 f_y dan faktor reduksi kuat lentur $\phi = 1$. Berikut perhitungan desain tulangan geser.

- 6**
1) Kapasitas momen ujung-ujung balok bila struktur bergoyang ke kiri

a) Kondisi 1

$$a_{pr1} \stackrel{6}{=} \frac{1,25 \cdot A_s \cdot f_y}{0,85 \cdot f_c' \cdot b} = \frac{1,25 \cdot 1900,663,420}{0,85 \cdot 30,350} = 111,804 \text{ mm}$$

$$M_{pr1} = 1,25 \cdot A_s \cdot f_y \left(d - \frac{a_{pr1}}{2} \right)$$

$$= 1,25 \cdot 1900,663,420 \cdot (579 - \frac{111,804}{2})$$

$$= 521972615,3 \text{ Nmm}$$

Momen primer searah jarum jam dimuka kolom kiri.

b) Kondisi 3

$$a_{pr3} \stackrel{42}{=} \frac{1,25 \cdot A_s \cdot f_y}{0,85 \cdot f_c' \cdot b} = \frac{1,25 \cdot 1140,398,420}{0,85 \cdot 30,350} = 67,082 \text{ mm}$$

$$M_{pr3} = 1,25 \cdot A_s \cdot f_y \left(d - \frac{a_{pr1}}{2} \right)$$

$$= 1,25 \cdot 1140,398,420 \cdot (579 - \frac{67,082}{2})$$

$$= 326571150,5 \text{ Nmm}$$

Momen primer searah jarum jam dimuka kolom kanan.



Gambar 5.125 Kuat Lentur Mungkin Maksimum (M_{pr1} dan M_{pr3}) Pada Balok

Akibat Goyangan ke Kanan

(Sumber: Hasil Analisis Penulis, 2025)

c) Kondisi 2

47

Karena *detailing* penampang kedua ujung balok adalah identik, kapasitas momen probabel ujung-ujung balok ketika struktur bergoyang ke kanan akan sama dengan pada saat struktur bergoyang yang ke kiri, hanya arahnya saja yang berbeda.

$$a_{pr2} = 111,804 \text{ mm}$$

$$M_{pr2} = 521972615,3 \text{ Nmm}$$

Momen primer berlawanan arah jarum jam dimuka kolom kiri

d) Kondisi 4

$$a_{pr4} = 67,082 \text{ mm}$$

$$M_{pr4} = 326571150,5 \text{ Nmm}$$

Momen primer berlawanan arah jarum jam dimuka kolom kanan



Gambar 5.126 Kuat Lentur Mungkin Maksimum (M_{pr2} dan M_{pr4}) Pada Balok

Akibat Goyangan ke Kiri

(Sumber: Hasil Analisis Penulis, 2025)

Untuk menentukan gaya geser ultimit, perlu dikeluarkan terlebih dahulu gaya geser yang bekerja pada ujung kanan dan kiri pada struktur dengan 18 kombinasi yang telah dimasukkan dan kombinasi 1,2D + ILL.

$$V_{(1,2D+ILL)} = 91964,2 \text{ N (COMB 1,2D+LL)}$$

$$V_{(\text{envelope})} = 183257,1 \text{ N (COMB 9)}$$

1) Struktur begroyang ke kiri

$$\begin{aligned} V_{\text{sway ka}} &= \frac{M_{pr1} + M_{pr3}}{\ln} \\ &= \frac{521972615,3 + 326571150,5}{(6000 - 650)} \\ &= 158606,311 \text{ N} \end{aligned}$$

$$\text{Total gaya geser ujung kiri balok} = 158606,311 + 91964,2$$

$$= 250570,511 \text{ N (kearah atas)}$$

$$\text{Total reaksi geser ujung kanan balok} = 158606,311 - 91964,2$$

$$= 66642,111 \text{ N (kearah bawah)}$$

2) Struktur begroyang ke kanan

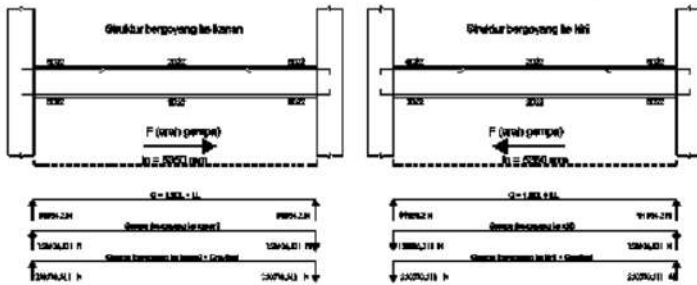
$$V_{\text{sway ka}} = \frac{M_{\text{pr2}} + M_{\text{pr4}}}{l_n}$$

$$= \frac{521972615,3 + 326571150,5}{(6000 - 650)}$$

$$= 158606,311 \text{ N}^{\text{2}}$$

Total reaksi geser ujung kiri balok $= 158606,311 - 91964,2$
 $= 66642,111 \text{ N}$ (kearah bawah)

2
Total reaksi geser ujung kanan balok $= 158606,311 + 91964,2$
 $= 250570,511 \text{ N}$ (kearah atas)



Gambar 5.127 Diagram Gaya Geser Balok (Grid 2C-D Lantai 1) ETABS

(Sumber: Hasil Analisis Penulis, 2025)

10

Untuk menghitung kebutuhan sengkang, harus pilih **gaya geser** yang terjadi pada **struktur** dengan memilih **gaya geser** terbesar antara $V_{(\text{envelope})}$ dan $V_{(\text{sway})} + V_{(1,2D+LL)}$ setelah pentotalan goyangan ke arah kiri dan kanan.

Tabel 5.58 Pemilihan V_c Pakai

Gaya geser	ETABS (N)	TSD (N)
$V_{(1,2D+LL)}$	91964,200	122125
$V_{(\text{sway kanan})}$	158606,311	
$V_{(\text{sway kanan})} + V_{(1,2D+LL)}$	250570,511	280731,311
$V_{(\text{sway kiri})}$	158606,311	
$V_{(\text{sway kiri})} + V_{(1,2D+LL)}$	250570,511	280731,311
$V_{(\text{comb})}$	183257,100 (COMB9)	203601 (COMB10)
$V_{(\text{paku})}$	250570,511	280731,311

(Sumber: Hasil Analisis Penulis, 2025)

Pada SNI 2847-2019 Pasal 18.6.5.2 Hal 382, kontribusi beton dalam menahan geser, V_c harus diambil = 0 pada daerah sendi plastis apabila:

- 1) Gaya geser V_{swy} akibat sendi plastis diujung-ujung balok melebihi $\frac{1}{2}$ (atau lebih) kuat geser perlu maksimum, V_u di sepanjang bentang. Pada arah gempa ke kanan, gaya geser akibat momen gempa dan gravitasi dengan $V_{sway-ka}$ yang pada dasarnya sudah melebihi $\frac{1}{2}$ gaya geser perlu maksimum di ujung balok.

6

Tabel 5.59 Syarat Gaya Geser di Muka Kolom Kiri dan Kanan

Perangkat Lunak	Arah gempa	V_{sway} (N)	Ujung Kiri		Ujung Kanan		CEK
			V_u (N)	$1/2V_u$ (N)	V_u (N)	$1/2V_u$ (N)	
ETABS	Kanan	158606,311	250570,511	125285,256	250570,511	125285,256	$V_c = 0$
	Kiri	158606,311	250570,511	125285,256	250570,511	125285,256	$V_c = 0$
TSD	Kanan	158606,311	280731,311	140365,656	280731,311	140365,656	$V_c = 0$
	Kiri	158606,311	280731,311	140365,656	280731,311	140365,656	$V_c = 0$

(Sumber: Hasil Analisis Penulis, 2025)

- 48
2) Gaya tekan aksial terfaktor, termasuk akibat pembebangan gempa kurang dari $A_{gf_c}/20$.

$$A_{gf_c}/20 = (350.650).(30)/20 = 341250 \text{ N}$$

$$P_u = 0 \text{ N}$$

$$A_{gf_c}/20 \geq P_u, \text{ maka } V_c = 0$$

Karena salah satu pada kedua syarat diatas terpenuhi, sehingga pada 47 perencanaan tulangan geser dilakukan dengan tidak memperhitungkan kontribusi beton (V_c) disepanjang zona sendi plastis di masing-masing muka kolom. Berikut perhitungan tulangan geser pada sendi plastis dengan gaya dalam yang dihasilkan ETABS.

- 1) Muka kolom kiri ($V_u = 250570,511 \text{ N}$)

$$V_c = 0 \text{ N}$$

$$V_u = \frac{V_u}{\phi} - V_c = \frac{250570,511}{0,75} - 0 = 334094,015 \text{ N}$$

$$V_{smax} = \frac{2\sqrt{fc'}}{3} \cdot b_w \cdot d = \frac{2\sqrt{30}}{3} \cdot 350.579 = 739973,175 \text{ N}$$

Mencari spasi tulangan dengan mencoba diameter tulangan sengkang D10 dipasang 3 kaki.

$$s = \frac{A_v \cdot f_y \cdot d}{V_s} = \frac{(3.1/4.\pi.10^2).350.579}{334094,015} = 171,502 \text{ mm}$$

⁹
Pada SNI 2847:2019 Pasal 18.6.4.4 Hal-381 diperlukan sengkang tertutup di sepanjang $2h = 2(650) = 1300$ mm dari sisi (muka) kolom terdekat yang sengkang pertamanya dipasang pada jarak 50 mm dari muka kolom terdekat, dan yang berikutnya dipasang dengan spasi terkecil antara poin berikut.

- ⁴
 a) $d/4 = 579/4 = 144,75$ mm
 b) $6D_t = 6(22) = 132$ mm
 c) 150 mm

¹
Sengkang yang dipasang tidak perlu lebih kecil dari 100 mm, maka pada daerah sendi plastis dipasang tulangan sengkang tertutup 3 kaki D10 dengan spasi 130 mm. Kemudian hitung V_s

$$V_s = \frac{A_v \cdot f_y \cdot d}{s}$$

$$= \frac{(3.1/4.\pi.10^2).350.579}{130}$$

$$= 440753,366 \text{ N} \geq 334094,015 \text{ N} (V_u) \text{ (memenuhi geser rencana)}$$

Maka dari perhitungan diatas pada zona sendi plastis muka kolom kiri menggunakan sengkang tertutup 3 kaki D10 dengan spasi 130 mm.

- 2) Muka kolom kanan ($V_u = 250570,511$ N).

Karena gaya geser yang dibutuhkan sama, maka tulangan sengkang yang dibutuhkan pada muka kolom kanan akan sama seperti muka kolom kiri, diperlukan tulangan sengkang tertutup 3 kaki D10 dengan spasi 130 mm.

- ²
3) Ujung zona sendi plastis

Gaya geser maksimum, V_u diujung zona sendi plastis yaitu $2h = 2(650) = 1300$ mm dari muka kolom adalah

$$V_{u2} = V_u - (2h \times \frac{2V_u}{ln})$$

$$= 250570,511 - (1300 \times \frac{250570,511 \times 2}{5,35})$$

$$= 128797,926 \text{ N}$$

$$V_c = (1/6).\sqrt{f'_c} \cdot b_w \cdot d = (1/6).\sqrt{30} \cdot 350.579 = 184993,294 \text{ N}$$

$$V_s = \frac{V_u}{\emptyset} - V_c = \frac{166051,028}{0,75} - 184993,294 = -13262,725 \text{ N}$$

$$V_{s\max} = \frac{2\sqrt{fc'}}{3} \cdot b_w \cdot d = \frac{2\sqrt{30}}{3} \cdot 350,579 = 739973,175 \text{ N}$$

20

48

Pada SNI 2847:2019 Pasal 18.6.4.6 Hal-381 spasi maksimum tulangan geser di sepanjang balok SRPMK adalah $d/2$.

$$s_{\max} = d/2 = 579/2 = 289,5 \text{ mm}$$

Dipakai sengkang dengan spasi 280 mm. Kemudian hitung V_s

$$V_s = \frac{A_v \cdot f_y \cdot d}{s}$$

$$= \frac{(3,1/4 \cdot \pi \cdot 10^3) \cdot 350,579}{280}$$

$$= 229191,75 \text{ N} \geq 166051,028 \text{ N} (V_{u2}) (\text{OK})$$

Maka dari perhitungan diatas untuk diluar zona sendi plastis digunakan sengkang 3 kaki D10 dengan spasi 280mm.

Desain tulangan geser balok dapat dihitung oleh *TSD* dengan menghitung sesuai kebutuhan geser ultimit akibat gempa yang terjadi. Perhitungan tulangan geser balok pada *TSD* mengacu pada ACI 318-14. Berikut tampilan perhitungan otomatis tulangan lentur balok pada sendi plastis oleh *TSD*.



Gambar 5.128 Tampilan Perhitungan Otomatis Tulangan Geser Sendi Plastis

Balok (Grid 2C-D) Pada *TSD*

(Sumber: Hasil Analisis Penulis, 2025)

Berikut merupakan rekapitulasi hasil desain tulangan geser balok (Grid 2C-D).

Tabel 5.60 Hasil Desain Tulangan Geser Pada Balok

Perangkat Lunak	Posisi	Tulangan geser	Vs (kN)	Ve (kN)	ϕV_n (kN)	Ve (kN)	Ratio	Rasio Rata-rat
<i>ETABS</i>	Sendi plastis	3D10-130	440,753	0,000	330,565	250,571	0,758	0,599
	Luar sendi plastis	3D10-280	204,635	184,993	292,222	128,798	0,441	
<i>TSD</i>	Sendi plastis	3D10-130	440,753	0,000	330,565	280,731	0,849	0,672
	Luar sendi plastis	3D10-280	204,635	184,993	292,222	144,301	0,494	

(Sumber: Hasil Analisis Penulis, 2025)

Hasil perencanaan tulangan geser balok didapat hasil bahwa rata-rata rasio tulangan yang dihasilkan oleh *TSD* lebih besar dibandingkan *ETABS*. Hasil rata-rata rasio tulangan pada *TSD* sebesar 0,672, sedangkan *TSD* sebesar 0,599.

c. Desain tulangan torsi

Berdasarkan SNI 2847:2019 Pasal 22.7.1.1 Hal-509, pengaruh torsi dapat diabaikan jika $\phi T_{th} \geq Tu$. T_{th} adalah nilai ambang batas torsi. Persamaan T_{th} termuat dalam SNI 2847:2019 Tabel 22.7.4.1 (a) Hal-512. Pada balok (grid 2C-D), torsi maksimum yang terjadi sebesar 711200 Nmm pada *ETABS* dan 732000 Nmm pada *TSD*.

$$\phi T_{th} \geq Tu$$

$$\phi \times 0,083 \times \lambda \times \sqrt{f'c'} \times \left(\frac{A_{cp}^2}{P_{cp}} \right) \geq 711200 \text{ Nmm}$$

$$\phi \times 0,083 \times \lambda \times \sqrt{30} \times \left(\frac{(b \times h)^2}{2 \times (b + h)} \right) \geq 711200 \text{ Nmm}$$

$$0,75 \times 0,083 \times 1 \times \sqrt{30} \times \left(\frac{(350 \times 650)^2}{2 \times (350 + 650)} \right) \geq 711200 \text{ Nmm}$$

$$8823335,423 \text{ Nmm} \geq 1733500 \text{ Nmm}$$

Tabel 5.61 Rekapitulasi Perhitungan Desain Tulangan Torsi Balok (Grid 2C-D)

Perangkat Lunak	ϕT_{th} (kNm)	Tu (kNm)	Ratio
<i>ETABS</i>	8,823	0,711	0,081
<i>TSD</i>	8,823	0,732	0,083

(Sumber: Hasil Analisis Penulis, 2025)

d. Kontrol syarat SRPMK

Ada beberapa syarat yang harus dipenuhi dalam mendesain balok SRPMK.

Berikut syarat yang harus dipenuhi berdasarkan SNI 2847:2019.

1) Gaya aksial tekan terfaktor maksimum $0,1A_{gf}c'$ (SNI 2847:2019 Pasal R18.6.1 Hal-376)

$$0,1A_{gf}c' = 0,1 \times 350 \times 650 \times 30 \\ = 682500 \text{ N}$$

$$Pu \text{ max } (\text{i}TABS) = 0 \text{ N}$$

$$Pu \text{ max } (TSD) = 0 \text{ N}$$

Maka Pu max pada *ETABS* maupun *TSD* < $0,1A_{gf}c'$ (memenuhi syarat)

- 20) Bentang bersih balok (l_n) harus minimal 4d (SNI 2847:2019 Pasal 18.6.2.1 poin (a) Hal-377)

$$4d = 4(h - \text{scimut beton}) = 4(650 - 50) = 2400 \text{ mm}$$

$$l_n = 6000 - h_{K1} = 6000 - 750 = 5250 \text{ mm}$$

Maka $l_n \geq 4d$ (memenuhi syarat)

1862 - 2 350x650 - Seismic - Member Properties - Maximum Allowed Effective Depth
 Largest effective depth in span $d = 576,0 \text{ mm}$
 Clear span length $l_c = 5,350 \text{ m}$
 Maximum allowed effeive depth $d_{max} = 0,25 \times l_c = 1337,5 \text{ mm}$ ACI 318-14 Section 18.6.2.1(a)
 Pass

Gambar 5.129 Perhitungan Otomatis Maksimum Tinggi Efektif Izin Balok Pada TSD

(Sumber: Hasil Analisis Penulis, 2025)

- 45) Lebar penampang (b_w) minimal nilai terkecil dari $0,3h$ dan 250 mm (SNI 2847:2019 Pasal 18.6.2.1 poin (b) Hal-377)

$$b_w = 350 \text{ mm}$$

$$0,3h = 0,3(650) = 195 \text{ mm}$$

Maka $b_w > 250 \text{ mm} > 0,3h$ (memenuhi syarat)

1862 - 2 350x650 - Seismic - Member Properties - Minimum Allowed Width
 Beam width $b_s = 350,0 \text{ mm}$
 Overall beam depth $h = 650,0 \text{ mm}$
 Minimum allowed width $b_{min} = \text{MAX}[0,3 \times h, 250\text{mm}] = 250,0 \text{ mm}$ ACI 318-14 Section 18.6.2.1(b)
 Pass

Gambar 5.130 Perhitungan Otomatis Minimum Lebar Izin Balok Pada TSD

(Sumber: Hasil Analisis Penulis, 2025)

- 10) Lebar penampang (b_w) tidak boleh melebihi lebar pendukung (c_2) ditambah nilai terkecil dari lebar kolom atau $\frac{3}{4}$ kali dimensi kolom dalam arah sejajar komponen struktur (c_1) (SNI 2847:2019 Pasal 18.6.2.1 poin (c) Hal-377)

$$b_w = 300 \text{ mm}$$

$$c_1 = 750 \text{ mm}$$

$$c_2 = 650 \text{ mm}$$

$$0,75c_1 = 0,75(750) = 562,5 \text{ mm}$$

$$c_2 + 2 \times 0,75c_1 = 650 + 2 \times 562,5 = 1875 \text{ mm}$$

Maka $b_w < c_2 + 2 \times 0,75c_1$ (memenuhi syarat)

18.6.2 - 2 350x550 - Seismic - Member Properties - Maximum Allowed Width	
Beam width:	$b_w = 350,0 \text{ mm}$
Breadth of the supporting member:	$c_1 = 350,0 \text{ mm}$
Width of the supporting member:	$c_2 = 350,0 \text{ mm}$
Maximum allowed width at end 1:	$b_{max,1} = c_1 + [2 \times 60\% (c_2 - 0,75 \times c_1)] = 1525,0 \text{ mm}$ ACI 318-14 Section 18.6.2.1(c)
Breadth of the supporting member:	$c_1 = 350,0 \text{ mm}$
Width of the supporting member:	$c_2 = 350,0 \text{ mm}$
Maximum allowed width at end 2:	$b_{max,2} = c_2 + [2 \times 60\% (c_1 - 0,75 \times c_2)] = 1525,0 \text{ mm}$ ACI 318-14 Section 18.6.2.1(c)
of Pass:	

Gambar 5.131 Perhitungan Otomatis Maksimum Lebar Balok Pada TSD

(Sumber: Hasil Analisis Penulis, 2025)

- 9) 5) Kekuatan momen positif pada muka *joint* harus tidak kurang dari setengah kekuatan momen negatif pada muka *joint* tersebut (SNI 2847:2019 Pasal 18.6.3.2 Hal-379).

$$\varnothing M_{n(-)} \text{ tumpuan B1(Grid 2C-D)} = 426503146,48 \text{ Nmm}$$

$$\varnothing M_{n(+)} \text{ tumpuan B1(Grid 2C-D)} = 264469939,95 \text{ Nmm}$$

$$\varnothing M_{n(+)} \text{ tumpuan B1(Grid 2C-D)} \geq 0,5, \varnothing M_{n(-)} \text{ tumpuan B1(Grid 2C-D)}$$

$$264469939,95 \geq 0,5 \cdot 426503146,48$$

$$264469939,95 \text{ Nmm} \geq 213251573,2 \text{ Nmm} \text{ (memenuhi syarat)}$$

18.6.2 - 2 350x550 - Seismic - Longitudinal Bars - Bottom: 0,000 - LBM3 - Flexural Strength	
Strength reduction factor:	$\phi = 1,000$
Tension reinforcement area provided for tension:	$A_s < 4346,399 \text{ mm}^2$
Steel yield strength:	$f_y,des = 420,000 \text{ N/mm}^2$
Allowable steel yield strength:	$f_y = 400 \text{ MPa}$ $f_y = 420,000 \text{ N/mm}^2$ ACI 318-14 Table 20.2.2(E)(a)
Concrete compressive strength:	$f'_c = 30,000 \text{ N/mm}^2$
Beam width:	$b_w = 250,0 \text{ mm}$
Concrete on deck height:	$a = 50,0 \text{ mm}$
Effective depth of fibers:	$d = 50,0 \text{ mm}$
Normal moment strength:	$M_n = 0,75 \times f'_c \times b_w \times d = 54,7 \text{ kNm}$
Positive nominal moment strength at end 1:	$M_{n(+)} = 0,75 \times f'_c \times b_w \times d = 54,7 \text{ kNm}$
Negative nominal moment strength at end 1:	$M_{n(-)} = 42,6503 \text{ kNm}$
Positive nominal moment strength at end 2:	$M_{n(+)} = 42,6503 \text{ kNm}$
Negative nominal moment strength at end 2:	$M_{n(-)} = 42,6503 \text{ kNm}$
Minimum nominal moment strength:	$M_{min} = 100,026 \text{ kNm}$ ACI 318-14 Section 18.6.3.2
Facorial strength utilization ratio:	$M_{fac} / M_{min} = 0,420$
or:	
Negative nominal moment strength at end 1:	$M_{n(-)} = 42,6503 \text{ kNm}$
Minimum nominal moment strength for bottom support region:	$M_{min} = (1/4) \times M_{n(+)} = 21,3252 \text{ kNm}$ ACI 318-14 Section 18.6.3.2
Facorial strength utilization ratio:	$M_{fac} / M_{min} = 0,446$
or:	

Gambar 5.132 Perhitungan Syarat Momen Tumpuan Balok SRPMK Pada TSD

(Sumber: Hasil Analisis Penulis, 2025)

Tabel 5.62 Pengecekan Kekuatan Momen Pada Tumpuan Balok SRPMK

Perangkat Lunak	Mn (kNm)			Cek syarat
	Tumpuan atas	Tumpuan bawah	1/2 Tumpuan atas	
ETABS	426,503	264,470	213,252	Memenuhi syarat
TSD	426,503	264,470	213,252	Memenuhi syarat

(Sumber: Hasil Analisis Penulis, 2025)

- 6) **4** Kekuatan momen negatif dan positif pada sebarang penampang di sepanjang bentang komponen struktur tidak boleh kurang dari seperempat kekuatan momen maksimum pada muka kedua joint (SNI 2847:2019 Pasal 18.6.3.2 Hal-379).

$$M_{n(\max)} = 426503146,48 \text{ Nmm}$$

$$M_{n(\min)} = 179169310,65 \text{ Nmm}$$

$$M_{n(\min)} \geq 0,25 \cdot M_{n(\max)}$$

$$179169310,65 \geq 0,25 \cdot 426503146,48$$

$$179169310,65 \text{ Nmm} \geq 106625786,6 \text{ Nmm} \text{ (memenuhi syarat)}$$

SNI 2847-1:2019-BR - Section: Longitudinal Beams Top: L30K-A/E2 - Flexural Strength	
Strength reduction factor	$\phi = 0,80$
Thickness of placement was provided for review	$a_s = 246,264 \text{ mm}^2$
Steel yield strength	$f_y = 420,000 \text{ N/mm}^2$
Allowable yield yield strength	$f_{yallow} = \min(f_{ymin}, 420,000 \text{ N/mm}^2) = 420,000 \text{ N/mm}^2 \text{ ACI 318-14 Table 20.1.3(a)}$
Concrete compressive strength	$f_c = 30,000 \text{ N/mm}^2$
Bent width	$b_c = 250,0 \text{ mm}$
Compression block height	$h + (h_1 + h_2) / (0,85 \times f_c / b_c) = 35,8 \text{ mm}$
Effective depth in region	$(d - M_u / \phi \times a_s \times f_y) / (d - (a_s / 2)) = 37,348 \text{ mm}$
Positive moment resistance strength at end 1	$M_{u1} = 250,033 \text{ kNm}$
negative moment resistance strength at end 1	$M_{u2} = 426,503 \text{ kNm}$
Positive moment resistance strength at end 2	$M_{u3} = 250,033 \text{ kNm}$
Negative moment resistance strength at end 2	$M_{u4} = 426,503 \text{ kNm}$
Minimum moment resistance strength	$M_{u,min} = [1 / 4] \times \min[M_{u1}, M_{u2}, M_{u3}, M_{u4}] = 106,626 \text{ kNm} \text{ ACI 318-14 Section 18.6.3.2}$
Flexural strength utilization ratio	$M_{u,max} / M_{u,min} = 0,999$
<i>∴ Pass</i>	

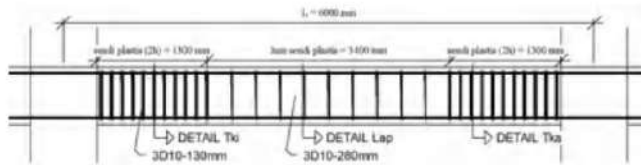
Gambar 5.133 Perhitungan Syarat Momen Tumpuan Balok SRPMK Pada TSD

(Sumber: Hasil Analisis Penulis, 2025)

Tabel 5.63 Pengecekan Kekuatan Momen Pada Sepanjang Bentang Balok SRPMK

Perangkat Lunak	Posisi	Mn (kNm)	0,25.Mn(max) (kNm)	Cek syarat
ETABS	Tumpuan atas	426,503	106,626	Memenuhi syarat
	Tumpuan bawah	264,470		Memenuhi syarat
	Lapangan atas	179,169		Memenuhi syarat
	Lapangan bawah	179,169		Memenuhi syarat
TSD	Tumpuan atas	426,503	106,626	Memenuhi syarat
	Tumpuan bawah	264,470		Memenuhi syarat
	Lapangan atas	179,169		Memenuhi syarat
	Lapangan bawah	179,169		Memenuhi syarat

(Sumber: Hasil Analisis Penulis, 2025)



Gambar 5.134 Potongan Portal Balok B1(Grid 2C-D)

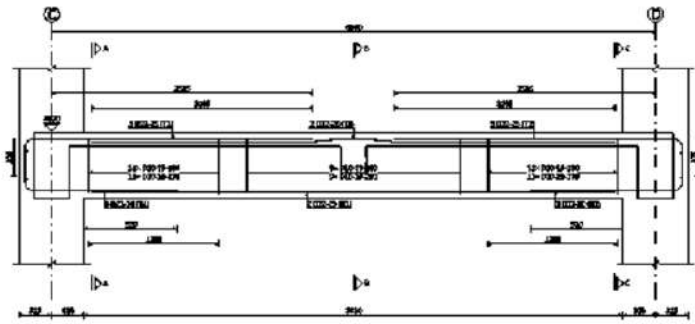
(Sumber: Hasil Analisis Penulis, 2025)

TYPE	B1		
	LEFT SIDE	MIDDLE	RIGHT SIDE
SECTION			
CHAMFER	390x60	340x39	390x69
TOP BAR	SD23	SD23	SD2
BOW BAR	SD3	SD2	SD2
ANCHOR	SD 10-12mm	SD 10-12mm	SD 10-12mm
Cover	50 mm	50 mm	50 mm

Gambar 5.135 Detail Penulangan Balok B1 (Grid 2C-D)

28

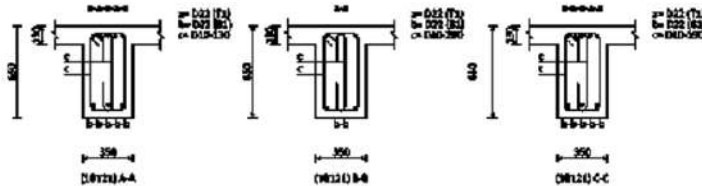
(Sumber: Hasil Analisis Penulis, 2025)



Gambar 5.136 Potongan Portal Balok B1 (Grid 2C-D) Hasil TSD

28

(Sumber: Hasil Analisis Penulis, 2025)



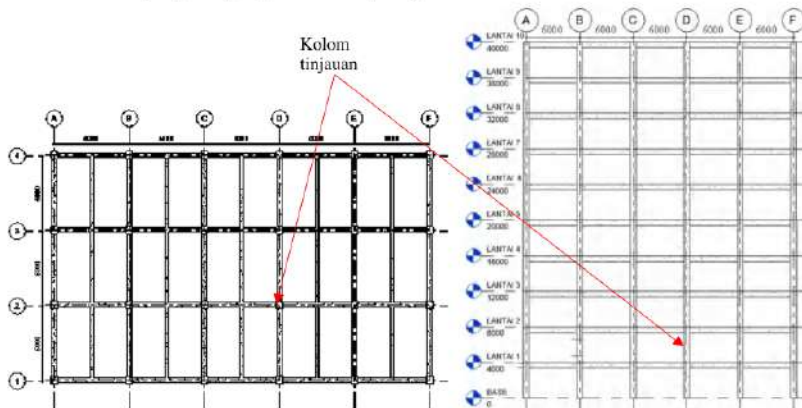
Gambar 5.137 Detail Penulangan Balok B1 (Grid 2C-D) Hasil TSD

(Sumber: Hasil Analisis Penulis, 2025)

5.7.3 Desain kolom

Desain pada kolom meliputi pengecekan kelangsungan kolom, desain tulangan lentur, tulangan geser, dan pada kolom SRPMK perlu dicek kekuatan momen kolom terhadap balok yang mengekang kolom. Setelah melakukan pendesain-an tulangan, perlu dilakukan pengecekan syarat-syarat yang berlaku untuk kolom SRPMK.

Kolom yang ditinjau yaitu kolom pada grid 2/D lantai 1.



Gambar 5.138 Lokasi Kolom Kolom Tinjauan (Grid 2/D Lantai 1)

(Sumber: Hasil Analisis Penulis, 2025)

- Pengecekan kolom bergoyang/tidak bergoyang

Perlu dicari *stability index* (Q) untuk mengetahui kolom bergoyang atau tidak. Dikatakan tidak bergoyang jika Q kurang dari 0,05. Pengecekan pada kolom dilakukan pada setiap jenis kolom di setiap lantainya. Pada *ETABS* dilakukan secara manual untuk perhitungan indeks stabilitas, pada *TSD* stabilitas indeks sudah dihitung secara otomatis namun tidak diperlihatkan hasil perhitungannya.

$$P_u = 6894000,265 \text{ kg (COMB2)}$$

$$\Delta_0 = 36,778 \text{ mm}$$

$$V_u = 246849,69 \text{ kg}$$

$$L_c = \text{Tinggi antar lantai} = 4000 \text{ mm}$$

$$Q = \frac{P_u \Delta_0}{V_u L_c}$$

$$Q = \frac{6894000,265 \times 36,778}{246849,69 \times 4000}$$

$Q = 0,257 > 0,05$, maka kolom bergoyang.

⁴ SNI 2847:2019 Pasal 6.2.5 Hal-91 mengizinkan untuk memperhitungkan kolom menahan goyangan samping apabila elemen pengaku menahan pergerakan lateral sebuah tingkat dengan kekakuan total sebesar paling sedikit 12 kali kekakuan lateral bruto kolom dalam arah tinjauan, diizinkan untuk memperhitungkan kolom dalam tingkat yang ditahan terhadap goyangan samping. Karena pada denah penelitian terdapat jumlah kolom 24 sehingga dapat diizinkan memperhitungkan kolom menahan goyangan samping.

b. Pengecekan kolom pendek/panjang

Untuk mengetahui jenis kolom pendek/panjang, dilakukan perhitungan nilai faktor kelangsingan (kI/r). Karena kolom pada penelitian ini adalah kolom tidak bergoyang maka untuk pengecekan kolom pendek/panjang dikatakan kolom pendek jika faktor kelangsingan $< (34 - 12(M1/M2))$. Pada pengecekan ini dilakukan pada masing-masing arah, pada penelitian ini balok yang mengekang kolom memiliki dimensi dan panjang yang sama maka dapat dilakukan satu arah saja untuk mewakili. Perhitungan menggunakan arah timur-barat.

$$I_{K(3B-1)} = I_{K,atas} = I_{K,bawah} = \frac{1}{12}bh^3 = \frac{1}{12} \times 650 \times 750^3 = 22851562500 \text{ mm}^4$$

$$I_{B,kiri} = I_{B,kanan} = \frac{1}{12}bh^3 = \frac{1}{12} \times 350 \times 650^3 = 8009895833 \text{ mm}^4$$

$$r = \sqrt{\frac{I_K}{Ag}} = \sqrt{\frac{22851562500}{650 \times 750}} = 216,506 \text{ mm}$$

$$\Psi_a = \frac{\frac{EI}{Lc_{(top)}} + \frac{EI}{Lc_{(mid)}}}{\frac{EI}{L_B,Kanan} + \frac{EI}{L_B,Kiri}}$$

$$= \frac{\frac{25742,9602 \times 22851562500}{3350} + \frac{25742,9602 \times 22851562500}{3350}}{\frac{25742,9602 \times 8009895833}{5250} + \frac{25742,9602 \times 8009895833}{5250}}$$

$$= 4,471$$

$$\Psi_b = \frac{\frac{EI}{Lc_{(bot)}} + \frac{EI}{Lc_{(mid)}}}{\frac{EI}{L_B,Kanan} + \frac{EI}{L_B,Kiri}}$$

$$= \frac{\frac{25742,9602 \times 22851562500}{3350} + \frac{25742,9602 \times 22851562500}{3350}}{\frac{25742,9602 \times 8009895833}{5250} + \frac{25742,9602 \times 8009895833}{5250}}$$

$$= 4,471$$

Untuk mencari nilai faktor panjang efektif (k) diambil dari nilai terkecil dari:

$$k_1 = 0,7 + 0,05 \times (\Psi_a + \Psi_b) \leq 1$$

$$k_1 = 0,7 + 0,05 \times (4,471 + 4,471) \leq 1$$

$$k_1 = 1,15 \leq 1 \text{ (diambil nilai } 1)$$

$$k_2 = 0,85 + 0,05 \times \Psi_{\min} \leq 1$$

$$k_2 = 0,85 + 0,05 \times 4,471 \leq 1$$

$$k_2 = 1,07 \leq 1 \text{ (diambil nilai } 1)$$

Digunakan nilai k terkecil yaitu k_1 sebesar 1. Selanjutnya dapat diperoleh nilai faktor kelangsingan sebagai berikut dengan nilai momen diambil pada salah satu kolom yaitu kolom pada lantai K1 grid 3B dengan nilai momen $M_{1(\text{comb 11})} = -207,9862 \text{ kNm}$ dan $M_{2(\text{comb 11})} = 358,0303 \text{ kNm}$

$$\frac{k \cdot L_u}{r} < 34 - 12 \times \frac{M_1}{M_2} < 40$$

$$\frac{1 \times 3350}{216,506} < 34 - 12 \times \frac{-207,9862}{358,0303} < 40$$

$15,473 < 40$, maka kolom dikategorikan sebagai kolom pendek dan tidak perlu memperhitungkan efek kelangsingan.

Pengecekan kolom pendek/panjang juga dapat dilakukan secara otomatis oleh TSD. Berikut tampilan pengecekan kelangsingan kolom.



Gambar 5.139 Perhitungan Otomatis Pengecekan Kolom Pendek/Panjang Pada TSD

(Sumber: Hasil Analisis Penulis, 2025)

Tabel 5.64 Pengecekan Kelangsungan Kolom

Perangkat Lunak	k.Iu/r	M1 (kNm)	M2 (kNm)	Syarat langsing	Cek
				(34 - 12 x (M1/M2)) < 40	
ETABS	15,47298721	-207,9862	358,0303	40,00	Tidak Langsing
TSD	15,47298721	-215,885	354,467	40,00	Tidak Langsing

(Sumber: Hasil Analisis Penulis, 2025)

c. Perhitungan desain tulangan lentur kolom

Pada desain tulangan lentur kolom dengan ETABS, dilakukan dengan perhitungan manual dengan mengambil gaya-gaya yang bekerja pada kolom yang dihasilkan oleh ETABS untuk pengecekan dalam diagram interaksi P-M. Perhitungan dilakukan pada tinjauan desak aksial, tekan menentukan, tarik menentukan, dan tinjauan lentur murni. Sebelum dilakukan perhitungan untuk kondisi tersebut, perlu dihitung parameter pendukung sebagai berikut (arah x). Tulangan dicoba menggunakan 14D22 dengan diameter sengkang 13 mm.

$$\begin{aligned} \text{Tinggi efektif (d)} &= h - ts - \frac{\phi_{tul}}{2} \\ &= 750 - 50 - 13 - \frac{22}{2} \\ &= 676 \text{ mm} \end{aligned}$$

$$\begin{aligned} \text{Luas tul. total (A}_{\text{total}}) &= n \frac{1}{4} \pi D^2 \\ &= 14 \frac{1}{4} \pi 22^2 \\ &= 5321,858 \text{ mm}^2 \end{aligned}$$

$$\text{Regangan leleh baja} = \frac{f_y}{E_s} = \frac{420}{200000} = 0,0021$$

Setelah dilakukan perhitungan diperoleh data nilai ϕ_{Mn} dan ϕ_{Pn} (arah x) sebagai berikut.

1) Analisa kolom dalam kondisi aksial tekan sentris ($M_u = 0$)

a) Rasio tulangan

$$\rho_g = \frac{A_{\text{total}}}{bh} = \frac{5321,858}{650 \times 750} = 0,0109$$

b) Kapasitas nominal tekan (P_n)

$$P_n = P_0 = A_g [0,85 f'_c + \rho_g (f_y - 0,85 f'_c)]$$

$$P_n = P_0 = 650 \times 750 [0,85 \times 30 + 0,0109 (420 - 0,85 \times 30)]$$

$$P_n = P_0 = 14531 \text{ kN}$$

- c) Kapasitas ultimate tekan (P_u)

$$P_u = \emptyset P_n = 0,65 \times 14531 = 9445 \text{ kN}$$

$$P_n \text{ desain} = 0,8 P_0 = 0,8 \times 9445 = 7556 \text{ kN}$$

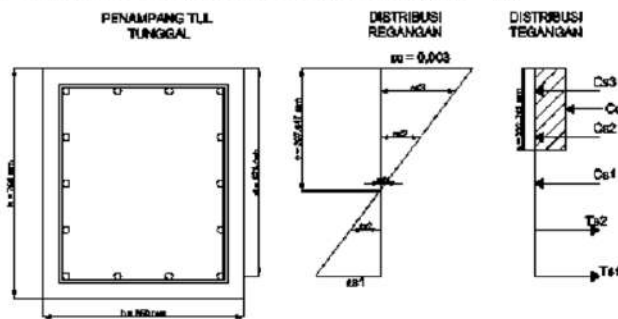
- d) Kesimpulan

$$P_{n_{\max}} = 14531 \text{ kN}$$

$$P_u = 9445 \text{ kN}$$

$$P_{n_{\text{desain}}} = 7556 \text{ kN}$$

- 2) Analisa kolom dalam kondisi keadaan berimbang ($c = cb$)



Gambar 5.140 Diagram Tegangan Regangan Kondisi $c = cb$

(Sumber: Hasil Analisis Penulis, 2025)

- a) Garis netral

$$c = \frac{600d}{600+f_y} = \frac{600 \times 676}{600+420} = 397,647 \text{ mm}$$

- b) Tinggi blok tekan

$$a = \beta \times c = 0,836 \times 397,647 = 332,319 \text{ mm}$$

- c) Gaya tekan dari tulangan tekan

$$A_s' = n \frac{1}{4} \pi D^2 = 8 \frac{1}{4} \pi 22^2 = 3041,062 \text{ mm}^2$$

$$C_s = A_s' f_s' = 3041,062 \times 420 = 1277245,909 \text{ N}$$

- d) Gaya tarik dari tulangan tarik

$$T = A_s f_y = 3041,062 \times 420 = 957934,4319 \text{ N}$$

- c) ²
Gaya tekan dari beton

$$C_c = 0,85 \cdot f'_c \cdot b \cdot a = 0,85 \times 30 \times 650 \times 332,319 = 5508192,857 \text{ N}$$

- f) Kapasitas aksial tekan nominal

$$\begin{aligned} P_{nb} &= C_c + C_s - T_s \\ &= 1277245,909 + 5508192,857 - 957934,4319 \\ &= 5827504 \text{ N} = 5828 \text{ kN} \end{aligned}$$

- g) Kapasitas momen nominal

$$\begin{aligned} M_{nb} &= M_{nc} + M_{nC_c} + M_{nT} \\ &\quad \text{1} \\ &= C_c \left(\frac{(h/2) - a}{2} \right) + C_s \left(\frac{(h/2) - d'}{2} \right) + T \left(\frac{(h/2) - d'}{2} \right) \\ &= 5508192,857 \left(\frac{(750/2) - 332,319}{2} \right) + 1277245,909 \\ &\quad \left(\frac{(750/2)}{2} - 74 \right) + 957934,4319 \left(\frac{(750/2)}{2} - 74 \right) \\ &= 1823122130 \text{ Nmm} = 1823 \text{ kNm} \end{aligned}$$

- h) Kesimpulan

Kuat nominal:

$$P_{nb} = 5828 \text{ kN}$$

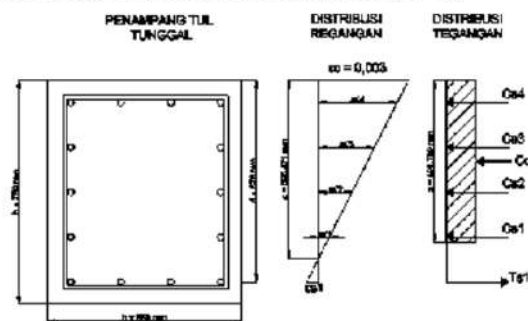
$$M_{nb} = 1823 \text{ kNm}$$

Kuat ultimate:

$$P_{ub} = \emptyset P_{nb} = 0,65 \times 5828 = 3788 \text{ kN}$$

$$M_{ub} = \emptyset M_{nb} = 0,65 \times 1823 = 1185 \text{ kNm}$$

- 3) Analisa kolom dalam kondisi keruntuhannya tekan ($c > cb$)



Gambar 5.141 Diagram Tegangan Regangan Kondisi $c > cb$

(Sumber: Hasil Analisis Penulis, 2025)

- a) **Gaya tekan dari tulangan tekan**

$$As' = \frac{1}{4} \pi D^2 = 10 \frac{1}{4} \pi 22^2 = 3801,327 \text{ mm}^2$$

$$Cs = As' f_s' = 3801,327 \times 420 = 1596557,387 \text{ N}$$

- b) **Gaya tarik dari tulangan tarik**

$$T = As' f_y = 1520,53 \times 80 = 121642,4675 \text{ N}$$

- c) **Gaya tekan dari beton**

$$Cc = 0,85 \cdot fc' \cdot b \cdot a = 0,85 \times 30 \times 650 \times 1,5 \times 397,647 = 8262289,286 \text{ N}$$

- d) Kapasitas aksial tekan nominal

$$\begin{aligned} P_{nb} &= Cc + Cs - Ts \\ &= 8262289,286 + 1596557,387 - 121642,4675 \\ &= 9737204 \text{ N} = 9737 \text{ kN} \end{aligned}$$

- e) Kapasitas momen nominal

$$\begin{aligned} M_{nb} &= Mn_c + Mn_{Cc} + Mn_T \\ &= Cc \left(\frac{(h/2) - a}{2} \right) + Cs \left(\frac{(h/2) - d'}{2} \right) + T \left(\frac{(h/2) - d'}{2} \right) \\ &= 8262289,286 \left(\frac{(750/2) - 498,479}{2} \right) + 1596557,387 \\ &\quad \left(\frac{(750/2)}{2} - 74 \right) + 121642,4675 \left(\frac{(750/2)}{2} - 74 \right) \\ &= 1556247823 \text{ Nmm} = 1556 \text{ kNm} \end{aligned}$$

- f) Kesimpulan

Kuat nominal:

$$P_{nb} = 9737 \text{ kN}$$

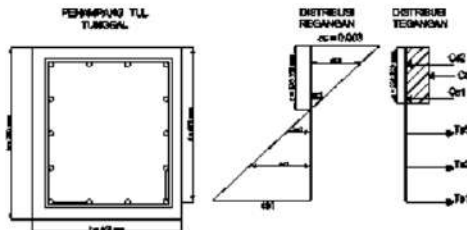
$$M_{nb} = 1556 \text{ kNm}$$

Kuat ultimate:

$$P_{ub} = \emptyset P_{nb} = 0,65 \times 9737 = 6329 \text{ kN}$$

$$M_{ub} = \emptyset M_{nb} = 0,65 \times 1556 = 1012 \text{ kNm}$$

- 4) Analisa kolom dalam kondisi keruntuhan tarik ($c < cb$)



Gambar 5.142 Diagram Tegangan Regangan Kondisi $c < cb$

(Sumber: Hasil Analisis Penulis, 2025)

- a) Gaya tekan dari tulang tekan

$$As' = n \frac{1}{4} \pi D^2 = 6 \frac{1}{4} \pi 22^2 = 2280,796 \text{ mm}^2$$

$$Cs = As' fs' = 2945,243 \times 420 = 957934,4319 \text{ N}$$

- b) Gaya tarik dari tulang tarik

$$T = As' fy = 3041,06 \times 420 = 1277245,909 \text{ N}$$

- c) Gaya tekan dari beton

$$Cc = 0,85fc'.b.a = 0,85 \times 30 \times 650 \times 0,7 \times 397,647 = 3855735 \text{ N}$$

- d) Kapasitas aksial tekan nominal

$$\begin{aligned} P_{nb} &= Cc + Cs - Ts \\ &= 3855735 + 957934,4319 - 1277245,909 \\ &= 3536424 \text{ N} = 3536 \text{ kN} \end{aligned}$$

- e) Kapasitas momen nominal

$$\begin{aligned} M_{nb} &= Mn_{Ct} + Mn_{Cs} + Mn_T \\ &\stackrel{1}{=} Cc \left(\frac{(h/2) - a}{2} \right) + Cs \left(\frac{(h/2) - d'}{2} \right) + T \left(\frac{(h/2)}{2} - d' \right) \\ &= 3855735 \left(\frac{(750/2) - 232,626}{2} \right) + 957934,4319 \\ &\quad \left(\frac{(750/2)}{2} - 74 \right) + 1277245,909 \left(\frac{(750/2)}{2} - 74 \right) \\ &= 1670222566 \text{ Nmm} = 1670 \text{ kNm} \end{aligned}$$

- f) Kesimpulan

Kuat nominal:

$$P_{nb} = 3536 \text{ kN}$$

$$M_{nb} = 1670 \text{ kNm}$$

Kuat ultimate:

$$P_{ub} = \emptyset P_{nb} = 0,65 \times 3536 = 2299 \text{ kN}$$

$$M_{ub} = \emptyset M_{nb} = 0,65 \times 1670 = 1086 \text{ kNm}$$

5) Analisa kolom dalam kondisi lentur murni ($P_u = 0$)

a) Tinggi blok tegangan tekan

$$a = \frac{As f_y}{0,85 f_c b} = \frac{2660,93 \times 420}{0,85 \times 30 \times 650} = 67,426 \text{ mm}$$

b) Momen nominal kondisi lentur

$$\begin{aligned} M_n &= As f_y \left(d - \frac{a}{2} \right) \\ &= 2660,93 \times 420 \times \left(676 - \frac{67,426}{2} \right) \\ &= 717813496 \text{ Nmm} = 718 \text{ kNm} \end{aligned}$$

c) Kesimpulan

Kuat nominal:

$$P_{nb} = 0 \text{ kN}$$

$$M_{nb} = 718 \text{ kNm}$$

Kuat ultimate:

$$P_{ub} = \emptyset P_{nb} = 0,9 \times 0 = 0 \text{ kN}$$

$$M_{ub} = \emptyset M_{nb} = 0,9 \times 718 = 646 \text{ kNm}$$

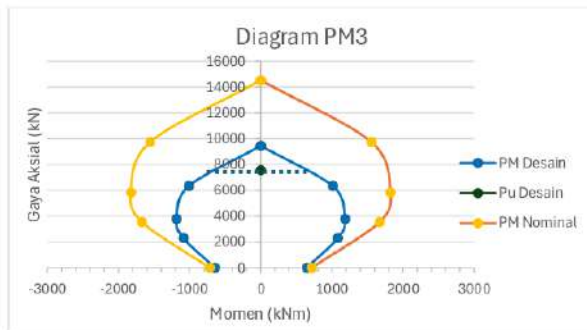
Dengan cara yang sama, kemudian dilakukan perhitungan yang sama untuk nilai

$\emptyset M_n$ dan $\emptyset P_n$ pada arah Y. Berikut merupakan rekapitulasi perhitungan nilai $\emptyset M_n$ dan $\emptyset P_n$ dalam kondisi desak aksial, tekan menentukan, tarik menentukan, dan tinjauan lentur murni arah X dan arah Y.

Tabel 5.65 Rekapitulasi Perhitungan Nilai $\emptyset M_n$ dan $\emptyset P_n$ Arah X dan Arah Y

Kondisi	Arah X					Arah Y				
	$\emptyset I_n$ kNm	M_u kN	$P_{n,max}$ kN	P_u kN	$P_{n,desain}$ kN	M_n kNm	M_u kN	$P_{n,max}$ kN	P_u kN	$P_{n,desain}$ kN
Desak Aksial	0	0	14531	9445	7556	0	0	14531	9445	7556
Terkendali Tekan	1556	1012	9737	-	6329	1314	854	9408	-	6115
Seimbang	1823	1185	5828	-	3788	1554	1010	5415	-	3520
Terkendali Tarik	1670	1086	3536	-	2299	1371	891	2840	-	1846
Lentur Murni	718	646	0	-	0	611	550	0	-	0

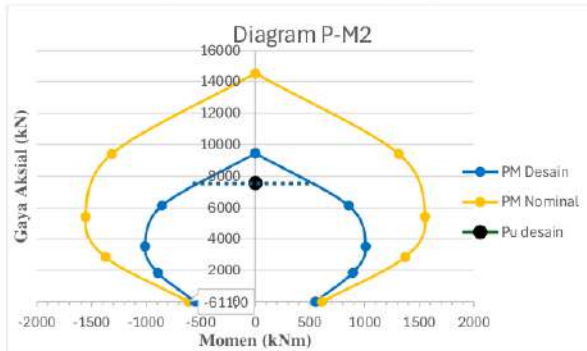
(Sumber: Hasil Analisis Penulis, 2025)



Gambar 5.143 Diagram Interaksi Uniaksial (P-M3) Kapasitas Kolom K1 (Grid

2/D lantai 1)

(Sumber: Hasil Analisis Penulis, 2025)



Gambar 5.144 Diagram Interaksi Uniaksial (P-M2) Kapasitas Kolom K1 (Grid

2/D lantai 1)

(Sumber: Hasil Analisis Penulis, 2025)

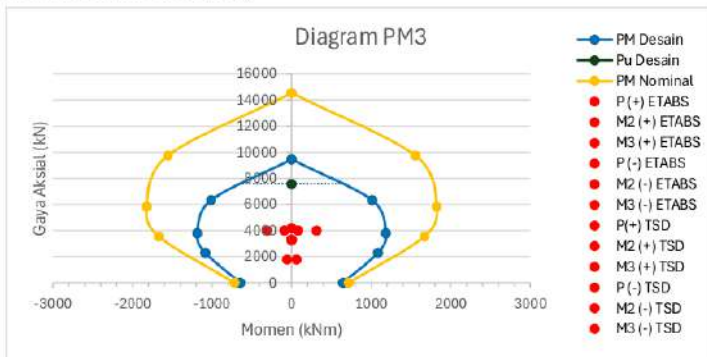
d. Pengecekan kapasitas kolom

Kolom harus dicek apakah mampu menahan beban yang ada. Pengecekan dapat dilakukan secara uniaxial dan biaxial dengan meninjau interaksi P-M3 dan P-M2. Nilai P, M2, dan M3 hasil permodelan menggunakan ETABS. Berikut merupakan perhitungan untuk kolom K1 pada grid 2/D lantai 1.

Tabel 5.66 Data nilai P, M3, dan M2 pada Kolom K1 (Grid 2/D Lantai 1)

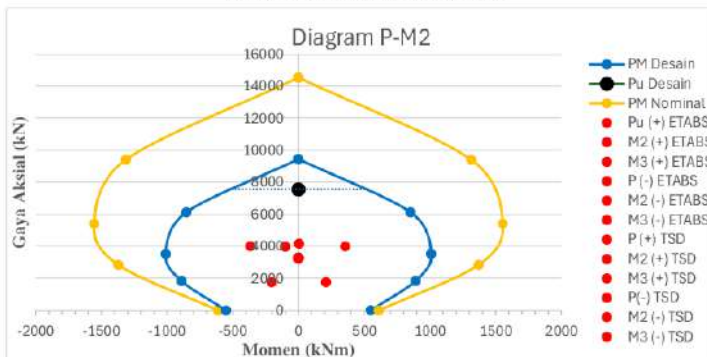
Kondisi	ETABS				TSD			
	P (kN)	M2 (kNm)	M3 (kNm)	COMB	P (kN)	M2 (kNm)	M3 (kNm)	COMB
Pu max	4168,2	-3,7	0,2	Comb2	4168,5	4,4	-0,2	Comb2
Pu min	1771,7	-204,8	-57,3	Comb11	1775,9	210,1	62,1	Comb11
M2 max	4008,5	-365,3	81,3	Comb5	4003,7	354,5	-91,7	Comb5
M2 min	3296,4	0,5	0,1	Comb1	3295,8	-0,3	0,0	Comb1
M3 max	3993,8	-99,2	313,3	Comb9	3983,3	-101,7	-305,5	Comb7
M3 min	3269,5	2,4	0,0	Comb1	3268,9	-2,6	0,0	Comb1

(Sumber: Hasil Analisis Penulis, 2025)



Gambar 5.145 Pengecekan Kapasitas Pada Diagram Uniaxial (P-M3) Kolom K1
(Grid 2/D lantai 1)

(Sumber: Hasil Analisis Penulis, 2025)



Gambar 5.146 Pengecekan Kapasitas Pada Diagram Uniaxial (P-M2) Kolom K1
(Grid 2/D lantai 1)

(Sumber: Hasil Analisis Penulis, 2025)

Untuk pengecekan secara biaksial menggunakan metode ACI dengan menggunakan syarat rasio tegangan sebagai berikut.

$$\text{Rasio tegangan} = \frac{M_{ux}}{M_{ox}} + \frac{M_{uy}}{M_{oy}} \leq 1$$

Dengan:

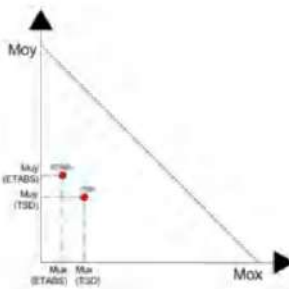
M_{ux} atau M_{uy} = Momen terfaktor arah x dan y pada beban P_u

M_{ox} atau M_{oy} = Momen kapasitas pada beban P_R

$$\begin{aligned}\text{Rasio tegangan (M2}_{\max \text{ ETABS}}\text{)} &= \frac{81,3}{1200} + \frac{365,3}{1000} \leq 1 \\ &= 0,433 \leq 1 \text{ (AMAN)}\end{aligned}$$

$$\begin{aligned}\text{Rasio tegangan (M2}_{\max \text{ TSD}}\text{)} &= \frac{91,7}{1200} + \frac{354,5}{1000} \leq 1 \\ &= 0,431 \leq 1 \text{ (AMAN)}\end{aligned}$$

Berikut ilustrasi pengecekan kapasitas kolom dengan diagram biaksial.



Gambar 5.147 Diagram Biaksial Metode ACI (Beban $M_{2_{\max}}$)

(Sumber: Hasil Analisis Penulis, 2025)

Tabel 5.67 Rekapitulasi Pengecekan Kapasitas Kolom K1 (Grid 2/D Lantai 1)

Perangkat Lunak	Kondisi	P (kN)	M_{ux} (kNm)	M_{uy} (kNm)	M_{ox} (kNm)	M_{oy} (kNm)	Ratio	Ratio rata-rata
ETABS	Pu max	4168,204	0,224	3,704	1200	1000	0,004	0,184
	Pu min	1771,675	57,318	204,807	900	850	0,305	
	M2 max	4008,503	81,339	365,312	1200	1000	0,433	
	M2 min	3296,392	0,055	0,466	1200	1000	0,001	
	M3 max	3993,799	313,323	99,182	1200	1000	0,360	
	M3 min	3269,486	0,030	2,376	1200	1000	0,002	
TSD	Pu max	4168,520	0,174	4,382	1200	1000	0,005	0,185

Perangkat Lunak	Kondisi	P (kN)	Mux(kNm)	Muy(kNm)	Mox(kNm)	Moy(kNm)	Ratio	Ratio rata-rata
	Pu min	1775,857	62,125	210,056	900	850	0,316	
	M2 max	4003,702	91,748	354,467	1200	1000	0,431	
	M2 min	3295,809	0,038	0,325	1200	1000	0,000	
	M3 max	3983,250	305,464	101,701	1200	1000	0,356	
	M3 min	3268,903	0,037	2,642	1200	1000	0,003	

(Sumber: Hasil Analisis Penulis, 2025)

Hasil perencanaan tulangan longitudinal kolom pada grid 2/D lantai 1 didapat rasio rata-rata pada *TSD* lebih besar dari pada *ETABS* dengan rasio rata-rata pada *TSD* sebesar 0,185, dan *ETABS* sebesar 0,184.

e. Kuat kolom (*strong column weak beam*)

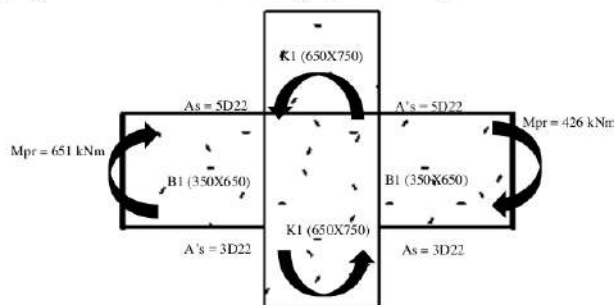
Dalam pengecekan kuat kolom, perlu dicek pada kedua arah yaitu timur-barat dan utara-selatan. Dari penelitian yang dilakukan oleh (S.E & Machmoed, 2021) dalam perencanaannya menggunakan syarat SCWB dan harus memenuhi syarat tersebut. Berdasarkan SNI 2847:2019 Pasal 18.7.3.2 Hal-385, kolom harus memenuhi persamaan sebagai berikut.

$$\sum Mc \geq 1.2 \sum Mg$$

Dimana

$\sum Mc$ = Jumlah Mn dua kolom yang bertemu di join.

$\sum Mg$ = Jumlah Mn dua balok yang bertemu di join



Gambar 5.148 Ilustrasi Kuat Kolom Balok Lemah (Gempa Kanan)

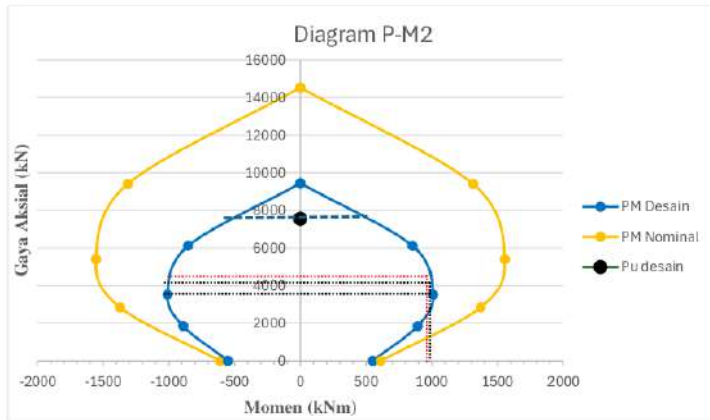
(Sumber: Hasil Analisis Penulis, 2025)

Mengambil beban aksial (P) dari kombinasi terbesar untuk mendapatkan kapasitas momen kolom, berikut beban aksial dan momen nominal yang terjadi.

²
Tabel 5.68 Gaya Aksial Yang Terjadi Pada Kolom Desain, Atas, dan Bawah

Perangkat Lunak	P _{atas} (kN)	P _{desain} (kN)	P _{bawah} (kN)	ØM _{natas} (kNm)	ØM _{ndesain} (kNm)	ØM _{nbawah} (kNm)
ETABS	3696.020	4168.204	4644.233	1000	1000	980
TSD	3696.686	4168.520	4643.836	1000	1000	980
COMBO	COMB2	COMB2	COMB2			

(Sumber: Hasil Analisis Penulis, 2025)



Gambar 5.149 Diagram Interaksi Kapasitas Momen Kolom Desain

(Sumber: Hasil Analisis Penulis, 2025)

Digunakan diagram interaksi P-M2 karena lebih konservatif. Selanjutnya, dilakukan pengecekan syarat kuat kolom untuk kolom lantai atas dan kolom lantai bawah pada arah gempa kanan sebagai berikut.

- 1) Cek kolom lantai atas $\sum Mc \geq 1,2 \sum Mg$

$$\phi M_{n\text{desain}} + \phi M_{n\text{atas}} \geq 1,2 (M_{p1} \text{ Balok timur} + M_{p3} \text{ Balok barat})$$

$$1000 + 1000 \geq 1,2 (521,97 + 326,57)$$

$$2000 \text{ kNm} \geq 1018,25 \text{ kNm} \text{ (Memenuhi syarat)}$$

- 2) Cek kolom lantai bawah $\sum Mc \geq 1,2 \sum Mg$

$$\phi M_{n\text{desain}} + \phi M_{n\text{bawah}} \geq 1,2 (M_{p1} \text{ Balok timur} + M_{p3} \text{ Balok barat})$$

$$1000 + 980 \geq 1,2 (521,97 + 326,57)$$

$$1980 \text{ kNm} \geq 1018,25 \text{ kNm} \text{ (Memenuhi syarat)}$$

Perhitungan diatas merupakan perhitungan pada arah gempa kanan, untuk arah gempa kiri nilainya sama saja. Berdasarkan pengecekan syarat kuat kolom

diantas, kolom yang di desain sudah memenuhi syarat kuat kolom balok lemah. Pengecekan syarat kuat kolom pada *TSD* juga dapat dihitung secara otomatis, berikut pengecekan *SCWB* dengan kombinasi 7 pada perangkat lunak *TSD*.

Stack 2 450x250 - Seismic - Longitudinal Bars - Flexural Strength - 3D Building Analysis - 3S (Operating) 400Pn=5,20+1+0,25+ε - Major Load Direction	
Nominal moment strength in this stack for sway left case:	$M_{nom,sway} = 1489,236 \text{ kNm}$
Nominal moment strength in stack above for sway left case:	$M_{nom,sway} = 1443,368 \text{ kNm}$
Sum of nominal moment strengths for sway left case:	$\Sigma(M_{sway}) = [M_{nom,sway}] + [M_{nom,sway}] = 292,604 \text{ kNm}$
Nominal moment strength in this stack for sway right case:	$M_{nom,sway} = 1489,236 \text{ kNm}$
Nominal moment strength in stack above for sway right case:	$M_{nom,sway} = 1443,368 \text{ kNm}$
Sum of nominal moment strengths for sway right case:	$\Sigma(M_{sway}) = [M_{nom,sway}] + [M_{nom,sway}] = 292,604 \text{ kNm}$
Bent nominal moment strength on left for sway left case:	$M_{sway} = 253,938 \text{ kNm}$
Bent nominal moment strength on right for sway left case:	$M_{sway} = 426,503 \text{ kNm}$
Sum of bent nominal moment strengths for sway left case:	$\Sigma(M_{sway}) = M_{sway} + M_{sway} = 680,446 \text{ kNm}$
Bent nominal moment strength on left for sway right case:	$M_{sway} = 426,503 \text{ kNm}$
Bent nominal moment strength on right for sway right case:	$M_{sway} = 253,938 \text{ kNm}$
Sum of bent nominal moment strengths for sway right case:	$\Sigma(M_{sway}) = M_{sway} + M_{sway} = 680,446 \text{ kNm}$
$[\Sigma(M_{sway})] \geq (6/5) \cdot [\Sigma(M_{sway})]$	AC 318-14 Section 18.7.1
$[\Sigma(M_{sway})] \geq (6/5) \cdot [\Sigma(M_{sway})]$	AC 318-14 Section 18.7.3
✓ Pass	

Gambar 5.150 Pengecekan Otomatis Kuat Kolom Balok Lemah Pada *TSD*

(Sumber: Hasil Analisis Penulis, 2025)

f. Desain tulangan geser

Pada SNI 2847:2019 Pasal 18.10.7.4 Hal-413, total luas penampang hoops tidak kurang dari salah satu yang terbesar antara:

$$A_{sh} = 0,3 \left(\frac{s \cdot b_c \cdot f'_c}{f_y t} \right) \left(\frac{A_g}{A_{ch}} - 1 \right), \text{ dan } A_{sh} = \frac{0,09 \cdot s \cdot b_c \cdot f'_c}{f_y t}$$

b_c = lebar penampang inti beton (terkekang)

$$= b_w - 2(50 + 1/2d_b)$$

$$= 650 - 2(50 + 1/2 (25))$$

$$= 525 \text{ mm}$$

$d_b = 50$

A_{ch} = luas penampang inti beton

$$= (b_w - 2(50)) \times (h_w - 2(50))$$

$$= (650 - 2(50)) \times (750 - 2(50))$$

$$= 357500 \text{ mm}^2$$

Sehingga,

$$\frac{A_{sh}}{s} = 0,3 \left(\frac{b_c \cdot f'_c}{f_y t} \right) \left(\frac{A_g}{A_{ch}} - 1 \right) = 0,3 \left(\frac{525 \cdot 30}{420} \right) \left(\frac{650 \cdot 750}{357500} - 1 \right) = 4,09 \text{ mm}^2/\text{mm}$$

$$\frac{A_{sh}}{s} = \frac{0,09 \cdot s \cdot b_c \cdot f'_c}{f_y t} = \frac{0,09 \cdot 525 \cdot 30}{420} = 3,38 \text{ mm}^2/\text{mm}$$

Dipakai yang terbesar $4,09 \text{ mm}^2/\text{mm}$. Dengan spasi diatur dalam SNI 2847:2019
Pasal 18.7.5.3 Hal-389 yaitu maksimal poin (1) dan minimal poin (3) sampai (4).

1) $\frac{1}{4}$ dimensi kolom terkecil $= \frac{1}{4} (650) = 162,5 \text{ mm}$

2) 6 kali diameter tulangan longitudinal $= 6 (25) = 150 \text{ mm}$

3) $s_0 = 100 + \frac{350 - (2/3 \times hc - 2*(50+db/2))}{3}$
 $= 100 + \frac{350 - (2/3 \times 750 - 2*(50+25/2))}{3}$
 $= 75 \text{ mm}$

4) Namun tidak perlu lebih kecil dari 100 mm

Maka digunakan spasi 100 mm sehingga,

$A_{sh} = s \times A_{sh}/s = 100 \times 4,09 = 409,091 \text{ mm}^2$

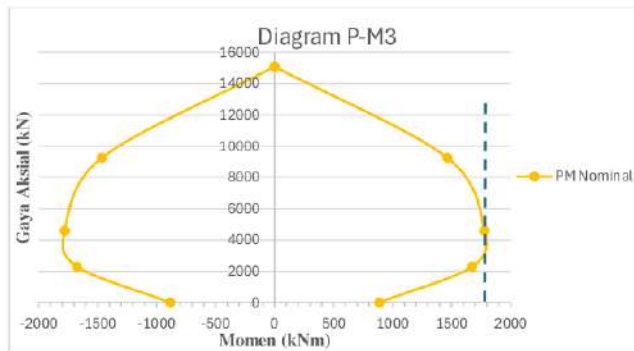
Dicoba dengan menggunakan 4 kaki baja D13 dengan luas penampang 530,93 $\text{mm}^2 > 409,091 \text{ mm}^2$ (OK, kebutuhan $A_{sh min}$ terpenuhi). Pada SNI 2847:2019 Pasal 18.7.5.1 Hal 386, tulangan hoop tersebut diperlukan sepanjang l_o dari ujung-ujung kolom, l_o tidak boleh kurang dari nilai terbesar antara.

1) Tinggi elemen kolom, $h = 750 \text{ mm}$

2) $1/6$ tinggi bersih kolom $= 1/6 (4000 - 650) = 558,333 \text{ mm}$

3) 450 mm

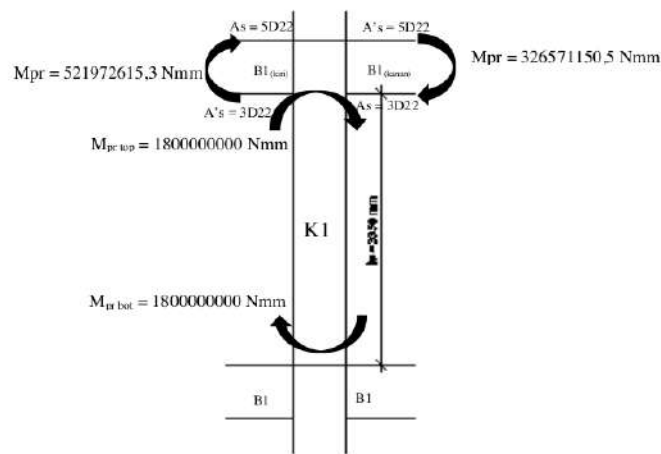
Dipakai l_o sebesar 750 mm. Lalu dicari kebutuhan geser dari kolom dengan menggunakan diagram momen kapasitas lentur kolom, namun f_y ditingkatkan 1,25 seperti balok dan reduksi sebesar 1. Lalu mengambil momen nominal terbesar. Berikut diagram momen setelah f_y ditingkatkan menjadi 1,25 dan reduksi sebesar 1.



Gambar 5.151 Kapasitas Momen Max ($f_y = 1,25$ dan $\phi = 1$) Kolom K1

(Sumber: Hasil Analisis Penulis, 2025)

$$M_n(K1) = 1800 \text{ kNm}$$



Gambar 5.152 Momen Ujung (M_{pr}) Pada Kolom

(Sumber: Hasil Analisis Penulis, 2025)

$$\begin{aligned} V_c \text{ kolom} &= \frac{M_{pr \text{ top}} + M_{pr \text{ bot}}}{l_n} \\ &= \frac{1800000000 + 1800000000}{3500} \end{aligned}$$

$$= 537313,433 \text{ N}$$

$$\begin{aligned} V_c \text{ balok} &= \frac{M_{pr(Bk)} + M_{pr(Bka)}}{\ln} \\ &= \frac{521972615,3 + 326571150,5}{3500} \\ &= 303955,976 \text{ N} \\ V_{u(ETABS)} &= 175490,8 \text{ N (COMB5)} \\ V_{u(TSD)} &= 170254 \text{ N (COMB5)} \end{aligned}$$

Tabel 5.69 Pemilihan Gaya Geser Ultimit Kolom

Perangkat Lunak	V _u terfaktor (kN)	COMB	V _e balok (kN)	V _e kolom (kN)	V _e pakai (kN)
ETABS	175490,8	COMB5	303955,976	537313,433	303955,976
TSD	170254,0	COMB5			303955,976

(Sumber: Hasil Analisis Penulis, 2025)

9

Dalam pemakaian V_u dijelaskan pada SNI 2847:2019 Pasal 18.7.6.1.1 Hal 391 bahwa ¹³ gaya geser kolom tidak perlu melebihi geser balok dan tidak boleh kurang dari geser terfaktor. Karena pada perhitungan geser ultimit pada kolom lebih besar dari geser akibat M_{pr} balok dan masih lebih besar dari gaya geser terfaktor, maka digunakan gaya geser ultimit berdasarkan M_{pr} balok yaitu V_u sebesar 303955,976 N. Dalam memperhitungkan V_c sama seperti balok harus dicek terlebih dahulu apakah gaya geser disepanjang bentang lebih dari 0,5 dari gaya geser terbesar. Karena nilai V_e balok sebesar 303955,976 N sudah melebihi 0,5 dari V_c kolom, maka V_c tidak diperhitungkan dalam desain tulangan geser.

$$\begin{aligned} V_c &= 0 \text{ N} \\ \frac{V_u}{\emptyset} &= \frac{303955,976}{0,75} \\ &= 405274,634 \text{ N} \end{aligned}$$

Sementara itu pada poin sebelumnya sudah kita hitung kebutuhan tulangan *confinement* yaitu A_{sh} untuk 4 kaki D13 = 531 mm².

$$\begin{aligned} V_s &= \frac{Av.fy.d}{s} \\ &= \frac{531.420,676}{100} \end{aligned}$$

= 1507414,067 N > 405274,6344 N (OK, sudah melebihi kebutuhan geser, V_u)

Perlu juga dihitung kebutuhan tulangan geser di sepanjang bentang diluar l_o dengan N_u , gaya tekan aksial terkecil dari kombinasi.

$$\begin{aligned} N_u \text{ (ETABS)} &= 1771674,5 \text{ N} \\ N_u \text{ (TSD)} &= 1775857 \text{ N} \end{aligned}$$

Berikut perhitungan V_c menggunakan gaya aksial tekan dari ETABS

$$\begin{aligned} V_c &= 0,17 \cdot \lambda \cdot \sqrt{f'_c \cdot b_w \cdot d} \cdot \left(1 + \frac{N_u}{14 \cdot A_g}\right) \\ &= 0,17 \cdot 1 \cdot \sqrt{30,650 \cdot 676} \cdot \left(1 + \frac{1771674,5}{14 \cdot 650,750}\right) \\ &= 496601,9288 \text{ N} \\ V_s \text{ (perlu)} &= \frac{V_u}{\phi} - V_c \\ &= 405274,6344 - 496601,928 \\ &= -91327,29432 \text{ N}, \end{aligned}$$

Karena V_c sudah melebihi V_u maka digunakan tulangan geser minimum, tulangan confinement sebelumnya $\frac{2}{2}$ sudah dicari yaitu sebesar 530,929 mm² (diameter 13 mm dengan 4 kaki). Berdasarkan SNI 2847:2019 Pasal 18.7.5.3, spasi transversal tidak boleh melebihi nilai terkecil dari nilai dibawah ini.

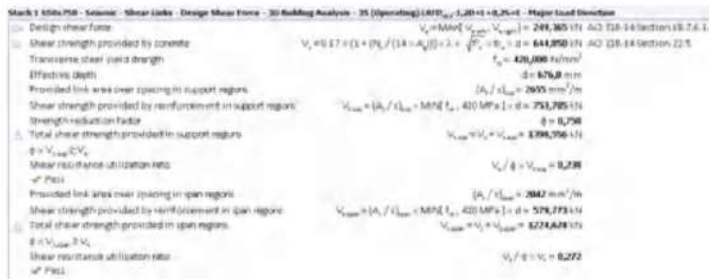
$$\begin{aligned} s_{max,1} &= \frac{1}{4} \text{ dimensi terkecil} = 650/4 = 162,5 \text{ mm} \\ s_{max,2} &= 6d_b = 6 \times 22 = 132 \text{ mm} \\ s_{max,3} &= 100 + \frac{350 - h_x}{3} = 100 + \frac{350 - 132}{3} = 172,667 \text{ mm} \end{aligned}$$

Dengan h_x merupakan jarak spasi kaki sengkang. Maka dipakai jarak spasi sebesar 130 mm pada luar daerah l_o . Hitung ulang nilai V_s berdasarkan luas tulangan yang dipakai dan spasi yang sudah ditentukan.

$$\begin{aligned} V_s &= \frac{A_s \cdot f_y t \cdot d}{s} \\ &= \frac{530,929 \cdot 420 \cdot 676}{130} \end{aligned}$$

$$= 1159549,282 \text{ N}$$

Dengan perhitungan diatas, didapat tulangan geser menggunakan 4D13-100mm pada daerah I_o dan 4D13-130 mm pada luar daerah I_o. Pada TSD juga dapat menghitung secara otomatis desain tulangan geser kolom. Berikut tampilan perhitungan otomatis desain tulangan geser kolom pada TSD dengan kombinasi 7.



Gambar 5.153 Tampilan Perhitungan Otomatis Desain Tulangan Geser Kolom

Pada TSD

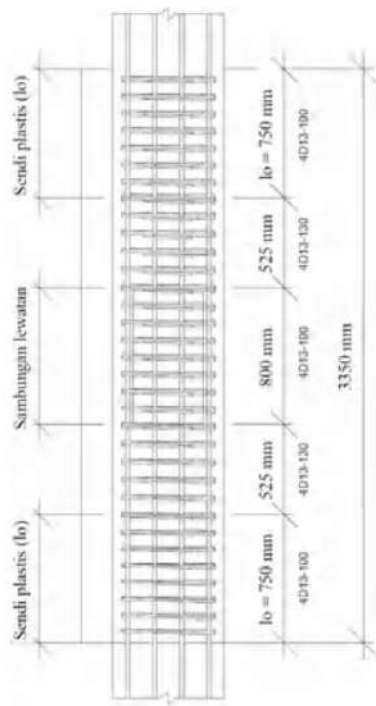
(Sumber: Hasil Analisis Penulis, 2025)

Tabel 5.70 Rekapitulasi Perhitungan Desain Tulangan Geser Kolom

Perangkat Lunak	Posisi	Tulangan geser	Vc (kN)	Vs (kN)	ØVn (kN)	Ve (kN)	Ratio	Rata-rata Rasio
ETABS	Daerah I _o	4D13-100mm	0	1507,414	1130,561	253,297	0,224	0,214
	Luar daerah I _o	4D13-130mm	496,602	1159,549	1242,113	253,297	0,204	
TSD	Daerah I _o	4D13-100mm	0	1507,414	1130,561	253,297	0,224	0,214
	Luar daerah I _o	4D13-130mm	496,808	1159,549	1242,268	253,297	0,204	

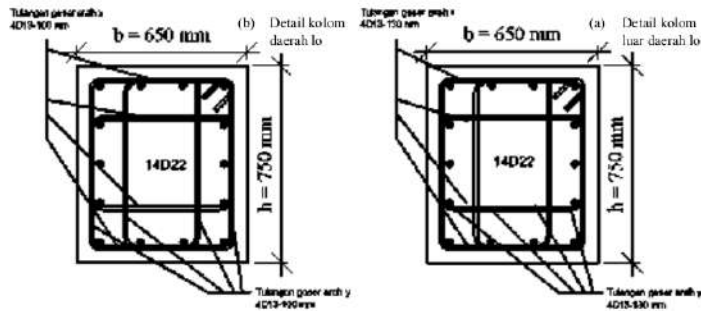
(Sumber: Hasil Analisis Penulis, 2025)

Hasil perencanaan tulangan geser kolom grid 2/D lantai 1 didapat bahwa rasio rata-rata yang dihasilkan oleh kedua perangkat lunak adalah sama yaitu sebesar 0,214.



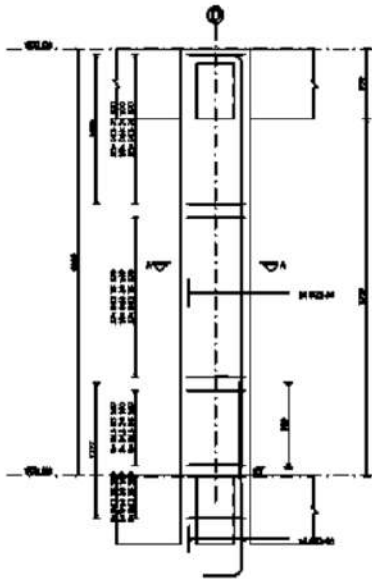
Gambar 5.154 Potongan Kolom K1 Grid 2/D Lantai 1

(Sumber: Hasil Analisis Penulis, 2025)



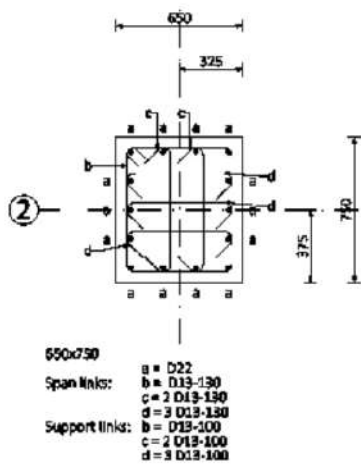
Gambar 5.155 (a) Detail kolom daerah Io, (b) Detail kolom luar daerah Io

(Sumber: Hasil Analisis Penulis, 2025)



Gambar 5.156 Hasil Gambar Potongan Kolom Grid 2/D Lantai 1 (Hasil TSD)

(Sumber: Hasil Analisis Penulis, 2025)



Gambar 5.157 Hasil Gambar Detail Kolom Grid 2/D Lantai 1 (Hasil TSD)

(Sumber: Hasil Analisis Penulis, 2025)

g. Pemeriksaan syarat dimensi kolom SRPMK

⁴ Sesuai dengan ketentuan SNI 2847 Tahun 2019 Pasal 18.7 Hal-384 terdapat beberapa persyaratan yang harus dipenuhi oleh kolom SRPMK yaitu :

- 1) Dimensi penampang terkecil tidak kurang dari 300 mm. Dimensi kolom terkecil pada K1 grid 2/D lantai 1 adalah 650 ⁷⁴ mm.
- 2) Rasio dimensi penampang terkecil terhadap dimensi lurusnya tidak kurang dari 0,4.

$$K1 \text{ (grid 2/D lantai 1)} = 650/750 = 0,867 > 0,4 \text{ (memenuhi syarat)}$$



Gambar 5.158 Perhitungan Otomatis Syarat Dimensi Kolom (K11) SRPMK Pada TSD

(Sumber: Hasil Analisis Penulis, 2025)

Tabel 5.71 Rekapitulasi Perbandingan Hasil Desain Tulangan Geser Kolom

Perangkat Lunak	Tulangan longitudinal	Posisi	Tulangan transversal
ETABS	14D22	daerah lo	4D13-100
		luar daerah lo	4D13-130
TSD	14D22	daerah lo	4D13-100
		luar daerah lo	4D13-130

(Sumber: Hasil Analisis Penulis, 2025)

² 5.7.4 Desain hubungan balok-kolom (HBK)

Pada desain hubungan balok-kolom dengan menggunakan ETABS dihitung dengan perhitungan manual, sedangkan desain hubungan balok-kolom dengan menggunakan TSD dilakukan secara otomatis namun hanya menghitung kapasitas joint saja, tidak mendesain tulangan joint. Joint yang di desain berada pada grid Joint 2/D-2 tepat diatas kolom yang didesain sebelumnya..

a. Dimensi joint

¹³ Berdasarkan SNI 2847:2019 Pasal 18.8.4.3 Hal-395, luas penampang efektif dalam suatu joint (A_j), harus dihitung dari tinggi joint kali lebar joint efektif. Tinggi joint harus sebesar lebar kolom. Lebar joint efektif harus selebar kolom, kecuali bila ada balok yang merangka ke dalam kolom yang lebih lebar, lebar joint efektif tidak boleh

melebihi nilai terkecil dari 1) dan 2):

- 1) Lebar balok ditambah tinggi joint.
- 2) Dua kali jarak tegak lurus yang lebih kecil dari sumbu longitudinal balok ke sisi kolom.

$$\text{Tinggi efektif joint} = 750 \text{ mm}$$

$$\begin{aligned}\text{Lebar efektif joint} &= b + h \leq b + 2 \times \frac{(b \text{ kolom} - b \text{ balok})}{2} \\ &= 350 + 750 \leq 350 + 2 \times \frac{(650 - 350)}{2}\end{aligned}$$

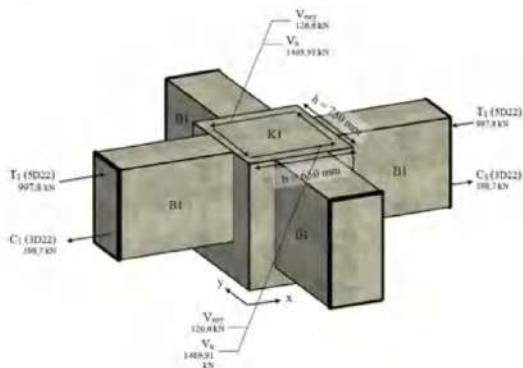
$$= 900 \text{ mm} \leq 650 \text{ mm}. \text{ Digunakan lebar joint } 650 \text{ mm.}$$

Sehingga, diperoleh dimensi joint yaitu:

$$A_j = 650 \times 750 = 487500 \text{ mm}^2$$

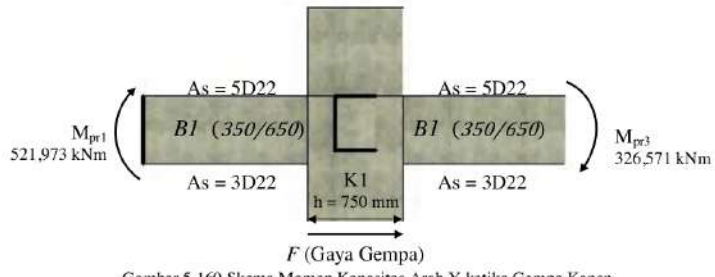
b. Momen kapasitas balok

Berikut ini tahapan perhitungan momen kapasitas dari balok-balok yang mengekang kolom pada joint yang di tinjau, baik arah X maupun arah Y. Pada penelitian ini ditinjau hanya 1 arah saja yaitu arah Y karena keempat balok yang mengekang adalah sama konfigurasi tulungannya yang akan menghasilkan M_{pr} yang sam.



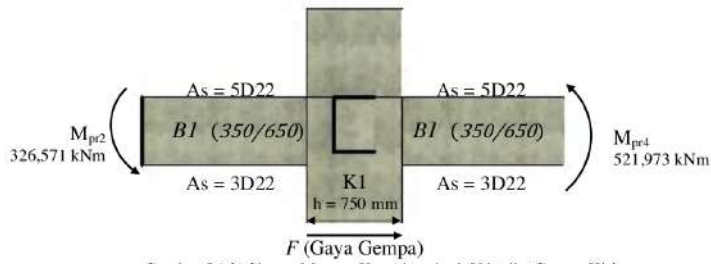
Gambar 5.159 Skema Hubungan Balok-Kolom

(Sumber: Hasil Analisis Penulis, 2025)



Gambar 5.160 Skema Momen Kapasitas Arah Y ketika Gempa Kanan

(Sumber: Hasil Analisis Penulis, 2025)



Gambar 5.161 Skema Momen Kapasitas Arah Y ketika Gempa Kiri

(Sumber: Hasil Analisis Penulis, 2025)

- 1) Perhitungan momen kapasitas; Struktur bergoyang ke kanan

Blok B1: Tulangan tarik, As = 5D25.

$$a_{pr1} = \frac{1,25 \cdot A_s \cdot f_y}{0,85 \cdot f'_c \cdot b}$$

$$= \frac{1,25 \cdot 1900,664,420}{0,85 \cdot 30 \cdot 350}$$

$$= 111,804 \text{ mm}$$

$$M_{pr1} = 1,25 \cdot A_s \cdot f_y \left(d - \frac{a_{pr1}}{2} \right)$$

$$= 1,25 \cdot 1900,664,420 \cdot (579 - \frac{111,804}{2})$$

$$= 521972615,3 \text{ Nmm}$$

Balok B1: Tulangan tarik, As = 3D22.

$$a_{pt3} = \frac{1,25 \cdot A_s \cdot f_y}{0,85 \cdot f_c' \cdot b}$$

$$= \frac{1,25 \cdot 1520,531,420}{0,85 \cdot 30,350}$$

$$= 67,082 \text{ mm}$$

$$M_{pr3} = 1,25 \cdot A_s \cdot f_y \left(d - \frac{a_{pt3}}{2} \right)$$

$$= 1,25 \cdot 1140,398,420 \cdot (579 - \frac{67,082}{2})$$

$$= 326571150,5 \text{ Nmm}$$

Jadi momen kapasitas arah Y ketika struktur bergoyang ke kanan adalah sebesar.

$$\sum M_b \cdot Y = 521972615,3 + 326571150,5 = 848543765,8 \text{ Nmm}$$

2) Perhitungan momen kapasitas; Struktur bergoyang ke kiri

Balok B1: Tulangan tarik, As = 5D22

$$a_{pt2} = \frac{1,25 \cdot A_s \cdot f_y}{0,85 \cdot f_c' \cdot b}$$

$$= \frac{1,25 \cdot 1900,664,420}{0,85 \cdot 30,350}$$

$$= 111,804 \text{ mm}$$

$$M_{pr2} = 1,25 \cdot A_s \cdot f_y \left(d - \frac{a_{pt2}}{2} \right)$$

$$= 1,25 \cdot 1900,664,420 \cdot (579 - \frac{111,804}{2})$$

$$= 521972615,3 \text{ Nmm}$$

Balok B1: Tulangan tarik, As = 3D22.

$$a_{pt4} = \frac{1,25 \cdot A_s \cdot f_y}{0,85 \cdot f_c' \cdot b}$$

$$= \frac{1,25 \cdot 1520,531,420}{0,85 \cdot 30,350}$$

$$= 67,082 \text{ mm}$$

$$M_{pr4} = 1,25 \cdot A_s \cdot f_y \left(d - \frac{a_{pt4}}{2} \right)$$

$$= 1,25 \cdot 1140,398 \cdot 420 \cdot (579 - \frac{67,082}{2}) \\ = 326571150,5 \text{ Nmm}$$

Jadi momen kapasitas arah Y ketika struktur bergoyang ke kiri sebesar.

$$\sum M_{n_b} \cdot Y = 521972615,3 + 326571150,5 = 848543765,8 \text{ Nmm}$$

Pada arah tinjauan arah X, hasilnya tetap sama karena balok yang mengekang mempunyai konfigurasi tulangan yang sama sehingga hasil M_{pr} tetap sama para arah X maupun Y.

c. Gaya geser pada kolom

1) Struktur bergoyang ke kanan

$$V_{swy} = \frac{(M_{px1} + M_{px3})}{2 \times l_o} \\ = \frac{(521972615,3 + 326571150,5)}{2 \times 3350} \\ = 126648,323 \text{ Nmm}$$

2) Struktur bergoyang ke kiri

$$V_{swy} = \frac{(M_{px2} + M_{px4})}{2 \times l_o} \\ = \frac{(521972615,3 + 326571150,5)}{2 \times 3350} \\ = 126648,323 \text{ Nmm}$$

Pada arah tinjauan arah X, hasilnya tetap sama karena balok yang mengekang mempunyai konfigurasi tulangan yang sama sehingga hasil M_{pr} dan V_{swy} tetap sama para arah X maupun Y.

d. Gaya tarik pada tulangan balok

1) Gaya tarik pada struktur bergoyang ke kanan

$$T_1(5D25) = A_{s1} \times 1,25 f_y = 1900,664 \times 1,25 \times 420 = 997848,367 \text{ Nmm} \\ T_3(4D22) = A_{s3} \times 1,25 f_y = 1140,398 \times 1,25 \times 420 = 598709,02 \text{ Nmm}$$

2) Gaya tarik pada struktur bergoyang ke kiri

$$T_2(5D25) = A_{s2} \times 1,25 f_y = 1140,398 \times 1,25 \times 420 = 598709,02 \text{ Nmm} \\ T_4(4D22) = A_{s4} \times 1,25 f_y = 1900,664 \times 1,25 \times 420 = 997848,367 \text{ Nmm}$$

e. Gaya geser joint

1) Gaya geser (V_u) arah x gempa kanan

$$\begin{aligned}
 V_{u1} &= T_1 + T_3 - V_{swy} \\
 &= 997848,367 + 598709,02 - 126648,323 \\
 &= 1469909,063 \text{ N}
 \end{aligned}$$

- 2) Gaya geser (V_u) arah x gempa kanan

$$\begin{aligned}
 V_{u2} &= T_2 + T_4 - V_{swy} \\
 &= 997848,367 + 598709,02 - 126648,323 \\
 &= 1469909,063 \text{ N}
 \end{aligned}$$

Dikarenakan konfigurasi tulangan pada keempat balok yang menekang kolom mempunyai tulangan yang sama, maka nilai V_u pada arah Y akan sama besarnya dengan arah x yaitu V_u sebesar 1469909,063 N.

- f. Pengecekan Geser ijin joint (V_{ijn})

Mengacu pada SNI 2847:2019 Tabel 18.8.4.1 Hal-395 dengan reduksi sebesar 0,85 sesuai SNI 2847:2019 Pasal 21.2.4.3 Hal-475. Dikarenakan joint desain terkekang oleh keempat balok, maka nilai γ diambil sebesar 1,7.

$$\begin{aligned}
 V_{ijn} &= \emptyset \gamma \sqrt{f_c A_j} \\
 &= 0,85 \times 1,7 \times \sqrt{30} \times 487500 \\
 &= 4539250,695 \text{ N} > 1469909,063 \text{ N} (V_u), sehingga memenuhi syarat.
 \end{aligned}$$

- g. Menghitung tulangan geser joint (ditinjau arah x)

Diperoleh melalui permodelan ETABS, $N_u = 1771674,5 \text{ N}$

$$\begin{aligned}
 \frac{2}{V_c} &= 0,17 \left(1 + \frac{N_u}{14A_g} \right) \lambda \sqrt{f_c b d} \\
 &= 0,17 \left(1 + \frac{1771674,5}{14 \times 487500} \right) 1 \sqrt{30 \times 650 \times 676} \\
 &= 515344,243 \text{ N} \\
 V_{spolo} &= \frac{V_u}{\phi} - V_c = \frac{1469909,063}{0,75} - 515344,243 = 1444534,508 \text{ N}
 \end{aligned}$$

Dicoba menggunakan 4D13 dengan jarak sengkang 80 mm dan mutu tulangan 420 MPa. Sehingga dapat dihitung luasan tulangan geser yang diperlukan sebagai berikut.

$$V_s \text{ pakai} = \frac{A_s \times f_y \times d}{s}$$

$$= \frac{4 \times 1/4 \times \pi \times 13^2 \times 420 \times 676}{80}$$

$$= 1884267,583 \text{ N} > 1444534,508 \text{ N} (V_{spofu})$$

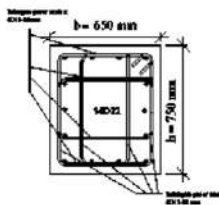
Ditinjau juga arah pada arah Y, berikut rekapitulasi perhitungan desain tulangan geser pada hubungan balok-kolom.

Tabel 5.72 Rekapitulasi Hasil Desain Tulangan Geser HBK

Perangkat Lunak	Posisi	Tulangan geser	V_c (kN)	V_s (kN)	$\emptyset V_n$ (kN)	V_u (kN)	V_{izin} (kN)	Ratio	Rata-rata Rasio
ETABS	Arah X 4D13-80mm	515,344	1884,268	1799,709	1469,909	4539,251	0,817	0,872	0,872
	Arah Y 4D13-80mm	506,665	1605,530	1384,146	1469,909	4539,251	0,928		
TSD	Arah X 4D13-80mm	515,595	1884,268	1799,897	1469,909	4539,251	0,817	0,872	0,872
	Arah Y 4D13-80mm	506,912	1605,530	1384,331	1469,909	4539,251	0,928		

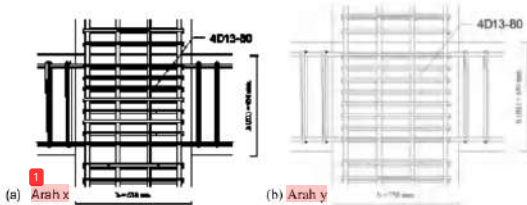
(Sumber: Hasil Analisis Penulis, 2025)

Hasil perencanaan tulangan geser HBK grid 2/D-2 lantai 2 didapat bahwa rasio rata-rata yang dihasilkan oleh kedua perangkat lunak adalah sama yaitu sebesar 0,872.



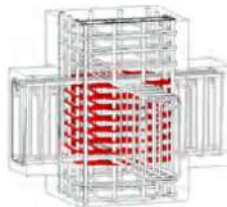
Gambar 5.1612 Detail Joint 2/D-2

(Sumber: Hasil Analisis Penulis, 2025)



Gambar 5.163 Potongan Joint (a) Arah X dan (b) Arah Y

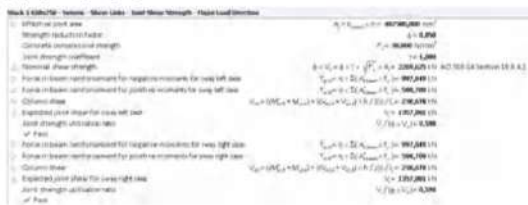
(Sumber: Hasil Analisis Penulis, 2025)



Gambar 5.164 3D Joint 2/D-2

(Sumber: Hasil Analisis Penulis, 2025)

Desain kapasitas geser joint pada TSD dapat dihitung secara otomatis namun tidak dengan desain tulangan jointnya, berikut tampilan output perhitungan desain oleh TSD. Pada perhitungan otomatis TSD, kapasitas joint lebih besar dibanding gaya geser yang terjadi pada joint sehingga joint diizinkan menahan gaya geser yang terjadi.



Gambar 5.165 Tampilan Perhitungan Kapasitas Geser Joint 2/D-2 Pada TSD

(Sumber: Hasil Analisis Penulis, 2025)

BAB 6
KESIMPULAN DAN SARAN

6.1 Kesimpulan

Berikut kesimpulan yang didapat setelah dilakukan pembahasan pada bab sebelumnya, maka didapat kesimpulan sebagai berikut:

- a. Gaya gempa yang dihasilkan pada *TSD* lebih besar dari pada *ETABS* dengan selisih terbesar pada lantai 10 sebesar 680,374 kg pada arah x dan arah y. Perbedaan ini disebabkan karena berat bangunan yang dihasilkan kedua perangkat lunak nilainya lebih besar *TSD* sehingga nilai gaya gempa yang dihasilkan *TSD* lebih besar..
- b. Simpangan antar tingkat yang dihasilkan pada kedua perangkat lunak memiliki rasio yang bervariasi pada arah x maupun arah y, namun rata-rata rasio yang dihasilkan pada kedua perangkat lunak adalah sama sebesar 0,535 pada arah x dan 0,547 pada arah y.
- c. Hasil desain tulangan lentur pelat didapat hasil bahwa rasio tulangan rata-rata yang dihasilkan oleh *TSD* cenderung lebih besar dibandingkan dengan *ETABS*. Rasio tulangan yang dihasilkan oleh *TSD* sebesar 0,657, sedangkan *ETABS* memiliki rasio lebih kecil yaitu sebesar 0,559. Hasil perencanaan tulangan lentur balok didapat hasil bahwa rata-rata rasio tulangan yang dihasilkan oleh *ETABS* lebih besar dibandingkan *TSD*. Hasil rata-rata rasio tulangan pada *ETABS* sebesar 0,808, sedangkan *TSD* sebesar 0,761. Hasil perencanaan tulangan geser balok didapat hasil bahwa rata-rata rasio tulangan yang dihasilkan oleh *TSD* lebih besar dibandingkan *ETABS*. Hasil rata-rata rasio tulangan pada *TSD* sebesar 0,672, sedangkan *TSD* sebesar 0,599. Hasil perencanaan tulangan longitudinal kolom pada grid 2/D lantai 1 didapat rasio rata-rata pada *TSD* lebih besar dari pada *ETABS* dengan rasio rata-rata pada *TSD* sebesar 0,185, dan *ETABS* sebesar 0,184. Hasil perencanaan tulangan geser kolom grid 2/D lantai 1 didapat bahwa rasio rata-rata yang dihasilkan oleh kedua perangkat lunak adalah sama yaitu sebesar 0,214. Hasil perencanaan

tulangan geser HBK 3B-2 didapat bahwa rasio rata-rata yang dihasilkan oleh kedua perangkat lunak adalah sama yaitu sebesar 0,872. Hasil ini menunjukkan bahwa perangkat lunak *TSD* lebih konservatif dalam mendesain tulangan lentur pelat, tulangan geser balok, dan tulangan lentur kolom. Perangkat lunak *ETABS* 71 lebih konservatif dalam mendesain tulangan lentur balok. Pada desain tulangan geser kolom dan tulangan geser HBK kedua perangkat lunak menunjukkan hasil yang sama.

6.2 Saran

Berdasarkan analisis dan perhitungan yang dilakukan dengan menggunakan perangkat lunak *ETABS* dan *TSD*, saran yang dapat peneliti berikan adalah:

- a. Disarankan ketika melakukan analisis dan desain struktur pada perangkat lunak *ETABS* maupun *TSD*, wajib diperhatikan peraturan yang dipakai dalam permodelan karena sangat berpengaruh pada nilai-nilai yang akan digunakan sesuai peraturan yang dipilih pada permodelan.
- b. Penelitian selanjutnya dapat membandingkan dengan perangkat lunak analisis struktur lain.
- c. Penelitian selanjutnya dapat meninjau perilaku struktur yang dihasilkan kedua perangkat lunak dengan beban gempa prosedur *time history analysis* untuk mengetahui perilaku struktur yang lebih mendalam.

DAFTAR PUSTAKA

- Azis Syah, M., Zacky Ardhyan, M., Fajri, H., & Purwandito, M. (2023). Jurnal Ilmiah Rekayasa Sipil Perbandingan Analisis Struktur Gedung Laboratorium PGSD Universitas Samudra Metode Sistem Rangka Pemikul Momen Khusus Menggunakan *ETABS* dan BIM Tekla Struktural Designer. *Edisi Oktober*, 20(2), 2023. <http://ejournal2.pnp.ac.id/index.php/jirs/>
- Badan Standarisasi Nasional (2019). SNI 1726:2019 *Tata Cara Perencanaan Ketahanan Gempa Untuk Struktur Bangunan Gedung Dan Nongedung*.
- Badan Standarisasi Nasional (2019). SNI 2847-2019 *Persyaratan Beton Struktural Untuk Bangunan Gedung Dan Penjelasan*.
- Badan Standarisasi Nasional (2020). SNI 1727-2020 *Beban Desain Minimum Dan Kriteria Terkait Untuk Bangunan Gedung Dan Struktur Lain*.
- Bingly, Y., Setia, L., Wibowo, B., Shofwan, M., & Cahyono, D. (2021). Seminar Nasional Ilmu Terapan V 2021 Universitas Widya Kartika MATERIAL MUTU NORMAL DAN MUTU TINGGI.
- Iswandi Imran, F. H. (n.d.). Perencanaan Lanjut Struktur Beton Bertulang.
- Jaglien, F., Servie, L., Dapas, O., & Wallah, S. E. (2020). PERENCANAAN STRUKTUR BETON BERTULANG GEDUNG KULIAH 5 LANTAI. *Jurnal Sipil Statik*, 8(4), 471–482.
- Lesmana, Y. (2020). *Handbook Desain Struktur Beton Bertulang Berdasarkan SNI 2847-2019* (Edisi Pert). CV. Nas Media Pustaka.
- Lesmana, Y. (2020). *Handbook Prosedur Analisa Beban Gempa Berdasarkan SNI 1726-2019* (Edisi Pert). CV. Nas Media Pustaka.
- Lesmana, Y. (2023). *Analisa Dan Desain Struktur Tahan Gempa Beton Bertulang (SRPMB, SRPMM, SRPMK)*. CV. Nas Media Pustaka.
- Jing Xian, W., & Sofii Md Noh, M. (2022). Comparative Study in the Design of a Reinforced Concrete Structure. *Recent Trends in Civil Engineering and Built Environment*, 3(1), 1169–1177. <http://publisher.uthm.edu.my/periodicals/index.php/rtcebe>
- Madutujuh, N. (2018). Rehabilitasi dan Mitigasi Pasca Bencana Gempa Palu 28 Sept 2018 " Sistem Struktur dan Pondasi Bangunan Tahan Gempa , Retukan t SEMINAR "Rehabilitasi Dan Mitigasi Pasca Bencana Gempa Palu 28 Sept

2018, "January.

- Pamungkas, A. (2021). Contoh Laporan Perencanaan Struktur Gedung Beton Bertulang (Edisi Pert). CV. Budi Utama.
- Rifandi, I. (2020). Analisis Beban Gempa dengan Metode Statik Ekuivalen Berdasarkan SNI 1726-2019 pada Gedung IPAL (Studi Kasus Proyek Pembangunan Gedung IPAL UT-HO-Jakarta Timur). *Jurnal Konstruksi*, 18(18), 72–82. <http://jurnal.sttgarut.ac.id/>
- Rusliyana, I. (2024). ANALISIS KINERJA STRUKTUR GEDUNG DENGAN MENGGUNAKAN SAP2000 DAN TEKLA STRUCTURAL DESIGNER. In *FTSP Series*.
- S.E, M. Y., & Machmoed, S. P. (2021). Perencanaan Gedung Apartemen D'Rini 10 Lantai Dengan Struktur Beton Ringan Bج 1760 Kg/M3 Bertulang Tahan Gempa Menggunakan Srpmk. *Axial: Jurnal Rekayasa Dan Manajemen Konstruksi*, 9(3), 163. <https://doi.org/10.30742/axial.v9i3.1765>

LAMPIRAN



ITS
INSTITUT
TEKNOLOGI
SEPULUH NOPEMBER
SURABAYA

PERPUSTAKAAN

FAKULTAS TEKNIK

PERENCANAAN

STRUKTUR

PERENCANAAN STRUKTUR

PERENCANAAN

STRUKTUR

PERENCANAAN

STRUKTUR

PERENCANAAN

STRUKTUR

PERENCANAAN

STRUKTUR

PERENCANAAN

STRUKTUR

PERENCANAAN

STRUKTUR

PERENCANAAN

STRUKTUR

PERENCANAAN

STRUKTUR

PERENCANAAN

STRUKTUR

PERENCANAAN

STRUKTUR

PERENCANAAN

STRUKTUR

PERENCANAAN

STRUKTUR

PERENCANAAN

STRUKTUR

PERENCANAAN

STRUKTUR

PERENCANAAN

STRUKTUR

PERENCANAAN

STRUKTUR

PERENCANAAN

STRUKTUR

PERENCANAAN

STRUKTUR

PERENCANAAN

STRUKTUR

PERENCANAAN

STRUKTUR

PERENCANAAN

STRUKTUR

PERENCANAAN

STRUKTUR

PERENCANAAN

STRUKTUR

PERENCANAAN

STRUKTUR

PERENCANAAN

STRUKTUR

PERENCANAAN

STRUKTUR

PERENCANAAN

STRUKTUR

PERENCANAAN

STRUKTUR

PERENCANAAN

STRUKTUR

PERENCANAAN

STRUKTUR

PERENCANAAN

STRUKTUR

PERENCANAAN

STRUKTUR

PERENCANAAN

STRUKTUR

PERENCANAAN

STRUKTUR

PERENCANAAN

STRUKTUR

PERENCANAAN

STRUKTUR

PERENCANAAN

STRUKTUR

PERENCANAAN

STRUKTUR

PERENCANAAN

STRUKTUR

PERENCANAAN

STRUKTUR

DAFTAR GAMBAR

TUGAS AKHIR PERBANDINGAN PERENCANAAN STRUKTUR GEDUNG SRPMK MENGGUNAKAN ETABS DAN TEKLA STRUCTURAL DESIGNER

NAMA: RIZKI ARDIYANSAH
NIM: 3336210023

NR.	NAME	FILE NAME
1	Rizki Ardiansah	Rizki_Ardiansah
2	ETABS	ETABS
3	TEKLA	TEKLA
4	SRPMK	SRPMK

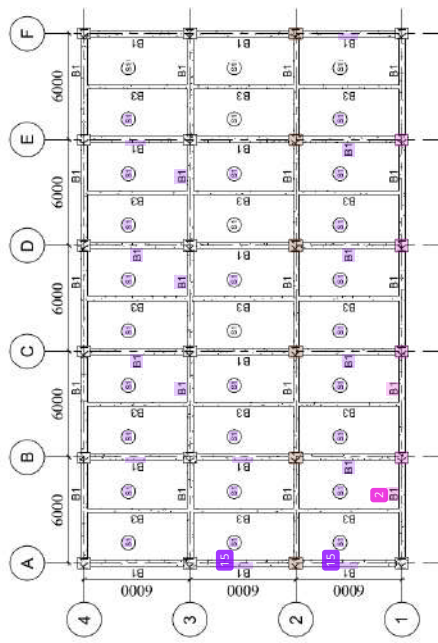
NR.	NAME	FILE NAME
1	SRPMK	SRPMK
2	ETABS	ETABS
3	TEKLA	TEKLA
4	Rizki Ardiansah	Rizki_Ardiansah



PROSES
DILUSYANTEKNIK SISTEM
AKTIVITAS KEGIATAN
THTAYA USA
SULTANAGUNG

TRIGAS ASHLIE

TUGAS AKHIR
PERBANDINGAN STRUKTUR
PERANCANGAN SISTEM
SIRI BIMBINGAN

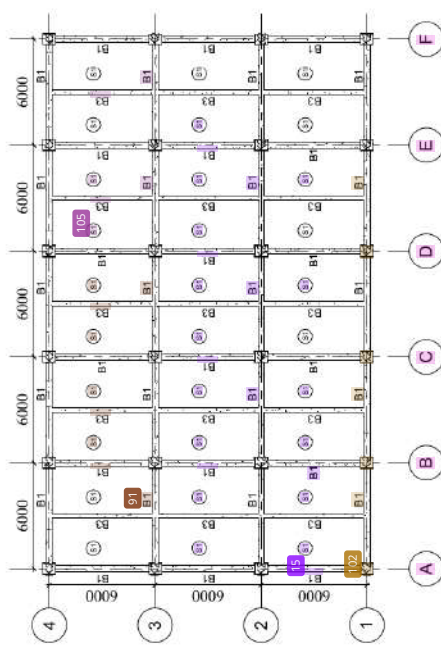


DENAH KOLOM BALOK PELAT LT 1-4
 1 : 150



UNIVERSITAS MULYANA
JL. TIRTA AGA
FACULTAS TEKNIK
PRODI SISTEM
TUGAS AKHIR

TIGAS AKHIR
PERBANDINGAN
PERANCANGAN STRUKTUR
GERUNG SPASIK
MEMOROSAKAN ETASIS DENGAN
MEMOROSAKAN ETASIS DALAM



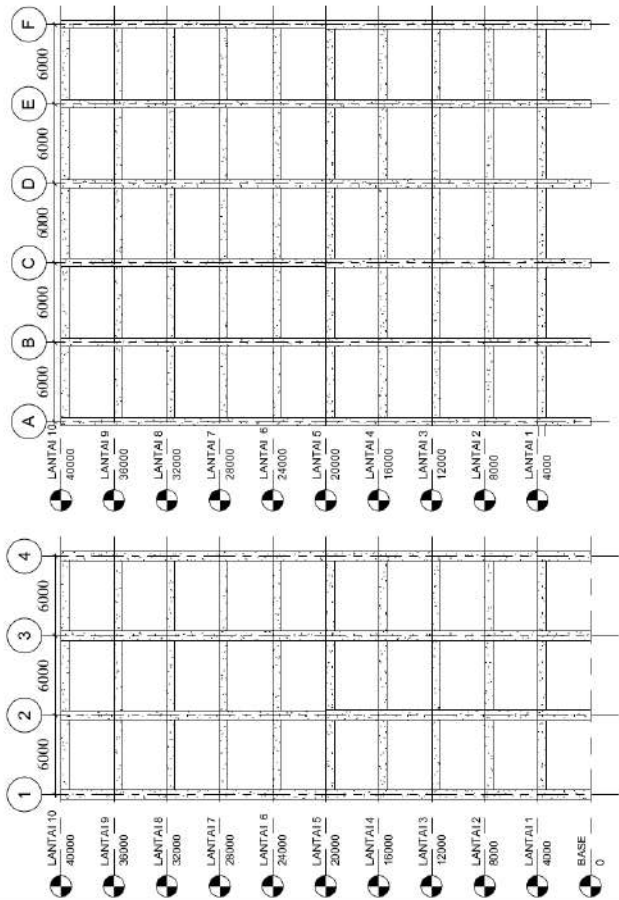
(1) DENAH KOLOM BALOK PELAT LT 5
1 : 150



UNIVERSITAS ISLAM
NEGERI SULTAN SYARIF
KASIM PEKANBARU
PERENCANAAN STRUKTUR
PERENCANAAN ARSITEKTUR
PERENCANAAN KONSEP
PERENCANAAN LAYAR

TUGAS AKHIR

PERENCANAAN STRUKTUR
PERENCANAAN ARSITEKTUR
PERENCANAAN KONSEP
PERENCANAAN LAYAR



POTONGAN 1-1

② 1 : 200

POTONGAN A-A

① 1 : 200

NAME	TYPE	SIZE
BUKIT MELAKA	LAND	150x100x25

NAME	TYPE	SIZE
BUKIT MELAKA	LAND	150x100x25

NAME	TYPE	SIZE
BUKIT MELAKA	LAND	150x100x25

NAME	TYPE	SIZE
BUKIT MELAKA	LAND	150x100x25

NAME	TYPE	SIZE
BUKIT MELAKA	LAND	150x100x25

NAME	TYPE	SIZE
BUKIT MELAKA	LAND	150x100x25

NAME	TYPE	SIZE
BUKIT MELAKA	LAND	150x100x25

NAME	TYPE	SIZE
BUKIT MELAKA	LAND	150x100x25

NAME	TYPE	SIZE
BUKIT MELAKA	LAND	150x100x25

NAME	TYPE	SIZE
BUKIT MELAKA	LAND	150x100x25

NAME	TYPE	SIZE
BUKIT MELAKA	LAND	150x100x25

NAME	TYPE	SIZE
BUKIT MELAKA	LAND	150x100x25

NAME	TYPE	SIZE
BUKIT MELAKA	LAND	150x100x25

NAME	TYPE	SIZE
BUKIT MELAKA	LAND	150x100x25

NAME	TYPE	SIZE
BUKIT MELAKA	LAND	150x100x25

NAME	TYPE	SIZE
BUKIT MELAKA	LAND	150x100x25

NAME	TYPE	SIZE
BUKIT MELAKA	LAND	150x100x25

NAME	TYPE	SIZE
BUKIT MELAKA	LAND	150x100x25

NAME	TYPE	SIZE
BUKIT MELAKA	LAND	150x100x25

NAME	TYPE	SIZE
BUKIT MELAKA	LAND	150x100x25

NAME	TYPE	SIZE
BUKIT MELAKA	LAND	150x100x25

NAME	TYPE	SIZE
BUKIT MELAKA	LAND	150x100x25

NAME	TYPE	SIZE
BUKIT MELAKA	LAND	150x100x25

NAME	TYPE	SIZE
BUKIT MELAKA	LAND	150x100x25

NAME	TYPE	SIZE
BUKIT MELAKA	LAND	150x100x25

NAME	TYPE	SIZE
BUKIT MELAKA	LAND	150x100x25

NAME	TYPE	SIZE
BUKIT MELAKA	LAND	150x100x25

NAME	TYPE	SIZE
BUKIT MELAKA	LAND	150x100x25

NAME	TYPE	SIZE
BUKIT MELAKA	LAND	150x100x25

NAME	TYPE	SIZE
BUKIT MELAKA	LAND	150x100x25

NAME	TYPE	SIZE
BUKIT MELAKA	LAND	150x100x25

NAME	TYPE	SIZE
BUKIT MELAKA	LAND	150x100x25

NAME	TYPE	SIZE
BUKIT MELAKA	LAND	150x100x25

NAME	TYPE	SIZE
BUKIT MELAKA	LAND	150x100x25

NAME	TYPE	SIZE
BUKIT MELAKA	LAND	150x100x25

NAME	TYPE	SIZE
BUKIT MELAKA	LAND	150x100x25

NAME	TYPE	SIZE
BUKIT MELAKA	LAND	150x100x25

NAME	TYPE	SIZE
BUKIT MELAKA	LAND	150x100x25

NAME	TYPE	SIZE
BUKIT MELAKA	LAND	150x100x25

NAME	TYPE	SIZE
BUKIT MELAKA	LAND	150x100x25

NAME	TYPE	SIZE
BUKIT MELAKA	LAND	150x100x25

NAME	TYPE	SIZE
BUKIT MELAKA	LAND	150x100x25

NAME	TYPE	SIZE
BUKIT MELAKA	LAND	150x100x25

NAME	TYPE	SIZE
BUKIT MELAKA	LAND	150x100x25

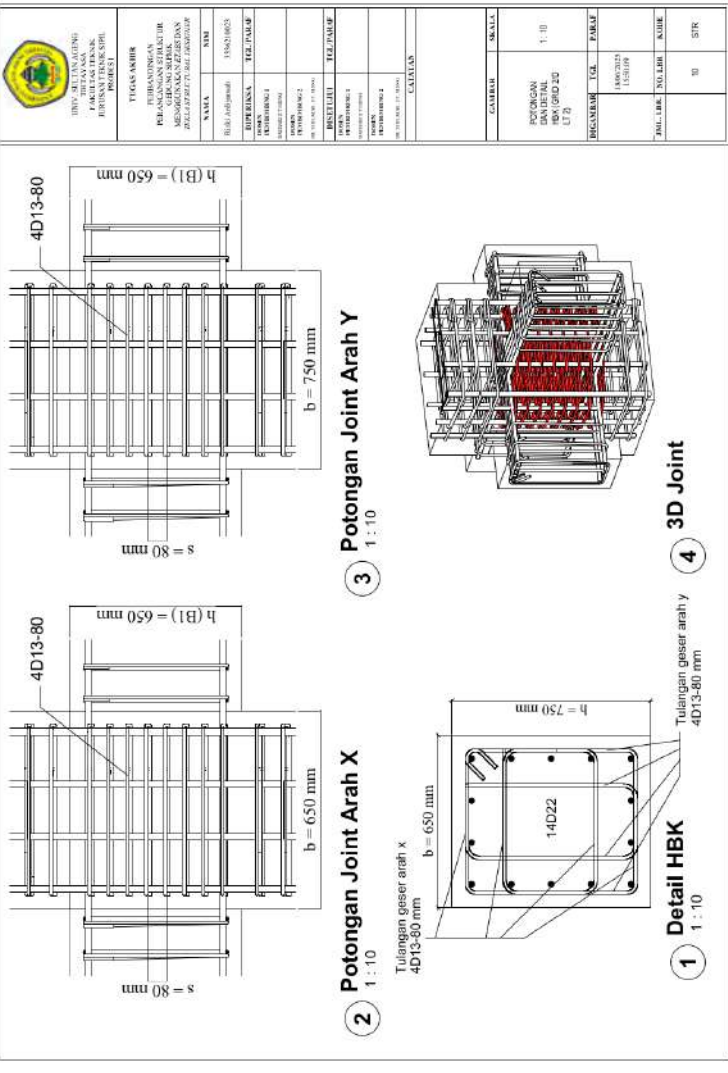
NAME	TYPE	SIZE
BUKIT MELAKA	LAND	150x100x25

NAME	TYPE	SIZE
BUKIT MELAKA	LAND	150x100x25

NAME	TYPE	SIZE
BUKIT MELAKA	LAND	150x100x25

NAME	TYPE	SIZE
BUKIT MELAKA	LAND	150x100x25

NAME



Detail HBK 1 : 10 Tulangan geser arah y 4D13-80 mm **3D Joint** ④

LAMPIRAN TABLE ELEMENT FORCE - BEAM (GRID 2/C-D LT 1) (ETABS)

Story	Beam	Unique Name	Output Case	Case Type	Step Number	Station	P	Y2	Y3	T	W2	W3	Element	Element Station	
								m	in	in	in	in	in	m	in
Story1	B13	171	1/2D+1L	Combination	1,000	0	-55.7988	0	0.3551	0	-47.5776	17.12	0		
Story1	B13	171	1/2D+1L	Combination	5,000	0	95.1688	0	0.2851	0	-47.5776	17.15	1		
Story1	B13	171	1/2D+1L	Combination	1,000	0	-108.676	0	0.3551	0	-47.7319	17.11	1		
Story1	B13	171	1/2D+1L	Combination	5,000	0	129.6759	0	0.3338	0	-47.7319	17.16	0		
Story1	B13	171	1/2D+1L	Combination	0.662	0	-111.945	0	0.3338	0	-86.1135	17.11	0.6625		
Story2	B13	171	1/2D+1L	Combination	5,328	0	111.9445	0	0.3338	0	-85.1135	17.16	0.3276		
Story1	B13	171	1/2D+1L	Combination	0.325	0	-114.013	0	0.3338	0	-123.227	17.11	0.325		
Story1	B13	171	1/2D+1L	Combination	5,675	0	114.0133	0	0.3338	0	-123.227	17.16	0.375		
Story1	B13	171	1/2D+1L	Combination	4,500	0	91.9642	0	0.3551	0	-7.9232	17.15	0.5		
Story2	B13	171	1/2D+1L	Combination	4,000	0	88.7515	0	0.3551	0	-44.8866	17.15	0		
Story1	B13	171	1/2D+1L	Combination	4,000	0	74.3271	0	0.3322	0	-44.2635	17.14	1		
Story1	B13	171	1/2D+1L	Combination	3,500	0	70.1956	0	0.3322	0	-80.7464	17.14	0.5		
Story1	B13	171	1/2D+1L	Combination	3,000	0	67.0988	0	0.3322	0	-115.083	17.14	0		
Story1	B13	171	1/2D+1L	Combination	3,000	0	-67.0988	0	0.3322	0	115.083	17.13	1		
Story2	B13	171	1/2D+1L	Combination	2,500	0	-70.8195	0	0.3322	0	80.4784	17.13	0.5		
Story1	B13	171	1/2D+1L	Combination	2,000	0	-74.1221	0	0.3322	0	-44.2635	17.13	0		
Story2	B13	171	1/2D+1L	Combination	2,000	0	-88.7515	0	0.3551	0	-44.3666	17.12	1		
Story1	B13	171	1/2D+1L	Combination	1,500	0	-91.9842	0	0.3551	0	-0.7923	17.12	0.5		
Story1	B13	171	Com1	Combination	2,000	0	-76.1933	0	0.2989	0	-38.8480	17.12	1		
Story1	B13	171	Com1	Combination	1,500	0	-79.9411	0	0.2989	0	-0.3842	17.12	0.5		
Story1	B13	171	Com1	Combination	3,000	0	-57.0104	0	0.2797	0	98.3207	17.13	1		
Story1	B13	171	Com1	Combination	2,500	0	-60.9765	0	0.2797	0	63.8739	17.13	0.5		
Story1	B13	171	Com1	Combination	2,000	0	-64.5196	0	0.2797	0	38.5651	17.13	0		

Story	Beam	Lineup Name	Outrest Case	Case Type	Span Type	Span Number	Station	S6						Element	Beam Station	
								E	m	N	N	M1	kNm	N2		
Story1	B13	171	Comb1	Combination			1,000	0	-83.88802	0	0.298	0	-41.298	171.2	0	
Story1	B13	171	Comb1	Combination			5,000	0	83.88802	0	-0.298	0	-41.298	171.5	1	
Story1	B13	171	Comb1	Combination			5,000	0	-205.1865	0	0.2614	0	-41.416	171.4	1	
Story1	B13	171	Comb1	Combination			5,000	0	96.1885	0	-0.2814	0	-41.416	171.6	0	
Story1	B13	171	Comb1	Combination			0.963	0	-97.2185	0	0.2614	0	-73.967	171.4	0.6626	
Story1	B13	171	Comb1	Combination			5,338	0	97.7185	0	-0.2814	0	-73.967	171.6	0.3375	
Story1	B13	171	Comb1	Combination			0.325	0	-104.246	0	0.2614	0	-107.373	171.4	0.335	
Story1	B13	171	Comb1	Combination			5,675	0	109.2455	0	0.2814	0	-107.373	171.6	0.6775	
Story1	B13	171	Comb1	Combination			4,000	0	64.5156	0	-0.2739	0	38.5651	171.4	1	
Story1	B13	171	Comb1	Combination			3,500	0	60.2675	0	-0.2739	0	69.9739	171.4	0.5	
Story1	B13	171	Comb1	Combination			3,000	0	57.0154	0	-0.2739	0	99.2007	171.4	0	
Story1	B13	171	Comb1	Combination			4,500	0	79.5411	0	-0.269	0	-3.942	171.5	0.5	
Story1	B13	171	Comb1	Combination			4,000	0	76.193	0	-0.269	0	38.6460	171.5	0	
Story1	B13	171	Cero19	Combination	Max		5,000	0	22.1623	0	0.2985	0	113.1265	171.5	1	
Story1	B13	171	Cero19	Combination	Max		5,000	0	37.5515	0	-0.2447	0	112.9982	171.6	0	
Story1	B13	171	Cero19	Combination	Min		5,000	0	20.3296	0	-0.2913	0	110.3977	171.5	1	
Story1	B13	171	Cero19	Combination	Min		5,000	0	36.1824	0	0.2509	0	110.2315	171.6	0	
Story1	B13	171	Cero19	Combination	Max		5,338	0	39.5604	0	-0.2447	0	100.3418	171.6	0.3375	
Story1	B13	171	Cero19	Combination	Min		5,338	0	36.5923	0	0.2509	0	97.1534	171.6	0.3375	
Story1	B13	171	Cero19	Combination	Max		5,675	0	42.3653	0	-0.2447	0	86.3104	171.6	0.6775	
Story1	B13	171	Cero19	Combination	Min		2,000	0	-178.969	0	0.2913	0	-32.873	171.2	1	
Story1	B13	171	Cero19	Combination	Max		1,500	0	-189.528	0	0.2913	0	-32.245	171.2	0.5	
Story1	B13	171	Cero19	Combination	Min		2,000	0	-179.324	0	0.2856	0	-34.237	171.2	1	
Story1	B13	171	Cero19	Combination	Max		5,675	0	41.0011	0	-0.2509	0	83.2652	171.6	0.6775	
Story1	B13	171	Cero19	Combination	Min		1,500	0	-181.862	0	0.2856	0	-24.291	171.2	0.5	
Story1	B13	171	Cero19	Combination	Max		3,000	0	-153.941	0	0.2805	0	124.6212	171.3	1	

Story	Beam	Unique Name	Outer Case	Case Type	Span Type	Span Number	Station	P	W1	W2	W3	T	M1	M2	M3	Element	Beam Station	
									m	kN	kN	kN	kNm	kNm	kNm	mm		
Story4	B13	171	Cero19	Combination	Max		2,500	0	-157,569	0	0,2605	0	46,6567	171-3	0,5			
Story1	B13	171	Cero19	Combination	Max		2,000	0	-161,078	0	0,2805	0	32,9862	171-3	0			
Story2	B13	171	Cero19	Combination	Min		3,000	0	-153,304	0	0,2751	0	124,6211	171-3	1			
Story1	B13	171	Cero19	Combination	Min		2,500	0	-158,873	0	0,2751	0	45,3768	171-3	0,5			
Story4	B13	171	Cero19	Combination	Min		2,000	0	-162,442	0	0,2751	0	-34,352	171-3	0			
Story1	B13	171	Cero19	Combination	Max		4,000	0	-751,8	0	-0,2702	0	180,2057	171-4	1			
Story1	B13	171	Cero19	Combination	Max		3,500	0	-4,9205	0	-0,2752	0	158,5557	171-4	0,5			
Story1	B13	171	Cero19	Combination	Max		3,900	0	-7,8893	0	-0,2752	0	124,6214	171-4	0			
Story2	B13	171	Cero19	Combination	Min		4,000	0	-2,156	0	-0,2905	0	128,8419	171-4	1			
Story1	B13	171	Cero19	Combination	Min		3,500	0	-5,6843	0	-0,2905	0	127,5748	171-4	0,5			
Story1	B13	171	Cero19	Combination	Min		3,000	0	-9,233	0	-0,2905	0	124,6214	171-4	0			
Story1	B13	171	Cero19	Combination	Max		4,500	0	18,5935	0	-0,2856	0	122,8331	171-5	0,5			
Story1	B13	171	Cero19	Combination	Max		4,900	0	15,0248	0	-0,2856	0	130,3553	171-5	0			
Story2	B13	171	Cero19	Combination	Min		4,500	0	17,2289	0	-0,2913	0	130,5867	171-5	0,5			
Story1	B13	171	Cero19	Combination	Min		4,000	0	13,6601	0	-0,2913	0	128,9913	171-5	0			
Story1	B13	171	Cero19	Combination	Max		1,000	0	-184,997	0	0,2913	0	-23,401	171-2	0			
Story1	B13	171	Cero19	Combination	Max		1,000	0	-199,889	0	0,2951	0	-23,5667	171-1	1			
Story2	B13	171	Cero19	Combination	Min		1,000	0	-183,463	0	-0,2656	0	-216,53	171-2	0			
Story1	B13	171	Cero19	Combination	Min		1,000	0	-20,267	0	0,2448	0	-216,295	171-1	1			
Story4	B13	171	Cero19	Combination	Max		0,963	0	-20,266	0	0,2521	0	-281,426	171-1	0,6625			
Story1	B13	171	Cero19	Combination	Min		0,863	0	-20,4,866	0	0,2448	0	-284,626	171-1	0,6625			
Story1	B13	171	Cero19	Combination	Max		0,325	0	-20,4,707	0	0,2521	0	-280,118	171-1	0,325			
Story1	B13	171	Cero19	Combination	Min		0,325	0	-206,075	0	0,2448	0	-353,77	171-1	0,325			
Story1	B13	171	Cero11	Combination	Max		2,000	0	-15,3761	0	0,4832	0	47,652	171-2	1			
Story1	B13	171	Cero11	Combination	Min		1,500	0	-17,295	0	0,4632	0	39,186	171-2	0,5			
Story4	B13	171	Cero11	Combination	Min		2,000	0	-19,1062	0	0,4728	0	43,7956	171-2	1			

Story	Beam	Unique Name	Outer Case	Case Type	Span Type	Span Number	Station	P	W1	W2	W3	T	M1	M2	M3	Element	Item Station	
									m	kN	kN	kN	kNm	kNm	kNm	mm		
Story4	B13	171	Cem11	Combination	Min	1,500	0	-21,1586	0	0,4728	0	23,7551	171,2	0,5				
Story1	B13	171	Cem11	Combination	Max	3,000	0	-4,8189	0	0,4501	0	54,4041	171,3	1				
Story2	B13	171	Cem11	Combination	Max	3,500	0	6,9424	0	0,4501	0	51,4462	171,3	0,5				
Story1	B13	171	Cem11	Combination	Max	2,000	0	-8,9558	0	0,4501	0	47,4817	171,3	0				
Story4	B13	171	Cem11	Combination	Min	3,000	0	-8,9558	0	0,4155	0	54,4041	171,3	1				
Story1	B13	171	Cem11	Combination	Min	2,500	0	-10,67	0	0,4155	0	49,8524	171,3	0,5				
Story1	B13	171	Cem11	Combination	Min	2,000	0	-12,7354	0	0,4155	0	43,7341	171,3	0				
Story1	B13	171	Cem11	Combination	Max	1,000	0	-19,4829	0	0,4682	0	30,9495	171,2	0				
Story2	B13	171	Cem11	Combination	Max	1,000	0	-25,7167	0	0,5384	0	30,0279	171,1	1				
Story1	B13	171	Cem11	Combination	Min	1,000	0	-23,2113	0	0,4728	0	22,6362	171,2	0				
Story1	B13	171	Cem11	Combination	Min	1,000	0	-29,4981	0	0,5215	0	22,5644	171,1	1				
Story1	B13	171	Cem11	Combination	Max	0,663	0	-27,1927	0	0,5384	0	21,1,098	171,1	0,6625				
Story1	B13	171	Cem11	Combination	Min	0,663	0	-30,8422	0	0,5215	0	12,3891	171,1	0,6625				
Story2	B13	171	Cem11	Combination	Max	0,325	0	-28,4088	0	0,5384	0	17,7286	171,1	0,325				
Story1	B13	171	Cem11	Combination	Min	0,325	0	-32,2283	0	0,5215	0	17,46	171,1	0,325				
Story1	B13	171	Cem11	Combination	Max	5,900	0	72,2027	0	0,4728	0	67,6577	171,6	1				
Story1	B13	171	Cem11	Combination	Min	5,000	0	78,6579	0	0,5215	0	67,9,51	171,6	0				
Story2	B13	171	Cem11	Combination	Min	5,000	0	68,4726	0	0,4892	0	-75,3922	171,5	1				
Story1	B13	171	Cem11	Combination	Min	5,000	0	74,2184	0	0,5384	0	-75,3936	171,6	0				
Story4	B13	171	Cem11	Combination	Max	5,338	0	79,3539	0	0,5215	0	-83,2256	171,6					
Story1	B13	171	Cem11	Combination	Min	5,338	0	76,2145	0	0,5384	0	-102,144	171,6	0,3375				
Story1	B13	171	Cem11	Combination	Max	5,675	0	81,34	0	0,5215	0	-119,38	171-6	0,6775				
Story1	B13	171	Cem11	Combination	Min	5,675	0	77,6006	0	0,5384	0	-129,363	171-6	0,6775				
Story1	B13	171	Cem11	Combination	Max	4,000	0	61,8815	0	-0,4154	0	-1,4965	171-4	1				
Story1	B13	171	Cem11	Combination	Max	3,500	0	59,2821	0	0,4154	0	26,9671	171-4	0,5				
Story4	B13	171	Cem11	Combination	Max	3,000	0	57,2347	0	-0,4154	0	54,404	171-4	0				

Story	Beam	Unique Name	Outer Case	Case Type	Span Type	Span Number	Station	P	W1	W2	W3	T	M1	M2	M3	Element	Item Station
							m	kN	kN	kN	kN	kNm	kNm	kNm			
Story4	B13	171	Cero11	Combination	Min		4,000	0	57,6559	0	0,4205	0	-0,2241	171-4	1		
Story1	B13	171	Cero11	Combination	Min		3,500	0	55,3005	0	-0,4301	0	25,1053	171-4	0,5		
Story2	B13	171	Cero11	Combination	Min		3,000	0	53,0471	0	-0,4205	0	15,4424	171-4	0		
Story1	B13	171	Cero11	Combination	Max		4,500	0	70,1463	0	-0,4728	0	-34,1448	171-5	0,5		
Story4	B13	171	Cero11	Combination	Max		4,900	0	68,0599	0	-0,4228	0	-14,4465	171-5	0		
Story1	B13	171	Cero11	Combination	Min		4,900	0	66,1512	0	-0,4882	0	-39,7832	171-6	0,5		
Story1	B13	171	Cero11	Combination	Min		4,900	0	64,5658	0	-0,4882	0	-5,768	171-5	0		
Story1	B13	171	Cero12	Combination	Max		2,900	0	46,5547	0	0,4916	0	-0,6301	171-2	1		
Story2	B13	171	Cero12	Combination	Max		1,500	0	45,6904	0	0,4916	0	-32,9369	171-2	0,5		
Story1	B13	171	Cero12	Combination	Min		2,000	0	48,9147	0	0,4695	0	-9,9853	171-2	1		
Story1	B13	171	Cero12	Combination	Min		1,500	0	46,9851	0	0,4695	0	-40,986	171-2	0,5		
Story1	B13	171	Cero12	Combination	Max		3,000	0	53,0288	0	0,4533	0	54,4024	171-3	1		
Story1	B13	171	Cero12	Combination	Max		2,500	0	55,0482	0	0,4533	0	29,73762	171-3	0,5		
Story2	B13	171	Cero12	Combination	Max		2,000	0	57,1386	0	0,4533	0	-6,782	171-3	0		
Story1	B13	171	Cero12	Combination	Min		3,000	0	58,3920	0	0,4122	0	54,4044	171-3	1		
Story1	B13	171	Cero12	Combination	Min		2,500	0	59,4464	0	0,4122	0	24,8942	171-3	0,5		
Story1	B13	171	Cero12	Combination	Min		2,000	0	62,4988	0	0,4122	0	-0,0424	171-9	0		
Story2	B13	171	Cero12	Combination	Max		5,000	0	24,0348	0	-0,4936	0	31,2777	171-5	1		
Story1	B13	171	Cero12	Combination	Max		5,000	0	30,277	0	0,5176	0	31,6801	171-6	0		
Story4	B13	171	Cero12	Combination	Max		5,338	0	31,6551	0	0,5176	0	20,0259	171-6	0,375		
Story1	B13	171	Cero12	Combination	Min		5,000	0	38,6641	0	0,4916	0	20,9948	171-5	1		
Story1	B13	171	Cero12	Combination	Min		5,000	0	24,6598	0	-0,5421	0	2,9772	171-6	0		
Story1	B13	171	Cero12	Combination	Max		5,675	0	33,6491	0	0,5176	0	13,5199	171-6	0,675		
Story4	B13	171	Cero12	Combination	Min		5,338	0	26,3819	0	-0,5421	0	19,4748	171-6	0,3376		
Story1	B13	171	Cero12	Combination	Min		5,675	0	27,6579	0	0,5421	0	0,453	171-6	0,675		
Story4	B13	171	Cero12	Combination	Max		1,000	0	47,2558	0	0,4916	0	-96,2305	171-2	0		

Story	Beam	Unique Name	Outer Case	Case Type	Span Type	Span Number	Station	P	W1	W2	W3	T	M1	M2	M3	Element	Beam Station	
									m	kN	kN	kNm	kNm	kNm	kNm	kNm		
Story4	B13	171	Cero112	Combination	Max	1,000	0	-74,2075	0	0,5421	0	-68,929	171-1	1				
Story1	B13	171	Cero112	Combination	Min	1,000	0	-73,0215	0	-0,4695	0	-76,9654	171-2	0				
Story2	B13	171	Cero112	Combination	Min	1,000	0	-79,3362	0	0,5178	0	-77,0368	171-1	1				
Story1	B13	171	Cero112	Combination	Max	0,963	0	-75,3936	0	0,5421	0	-91,9594	171-1	0,6625				
Story4	B13	171	Cero112	Combination	Min	0,963	0	-69,7748	0	0,5178	0	-104,098	171-1	0,6625				
Story1	B13	171	Cero112	Combination	Max	0,325	0	-76,7796	0	0,5421	0	-117,189	171-1	0,325				
Story1	B13	171	Cero112	Combination	Min	0,325	0	-62,1569	0	0,5178	0	-131,1554	171-1	0,325				
Story1	B13	171	Cero112	Combination	Max	4,900	0	13,4147	0	0,4123	0	48,7969	171-4	1				
Story2	B13	171	Cero112	Combination	Max	3,500	0	11,4868	0	0,4123	0	51,9863	171-4	0,5				
Story1	B13	171	Cero112	Combination	Max	3,000	0	9,4248	0	0,4123	0	54,4041	171-4	0				
Story1	B13	171	Cero112	Combination	Min	4,000	0	8,1775	0	0,4233	0	42,9566	171-4	1				
Story1	B13	171	Cero112	Combination	Min	3,500	0	6,1241	0	0,4333	0	49,1753	171-4	0,5				
Story1	B13	171	Cero112	Combination	Min	3,000	0	4,0707	0	0,4333	0	54,4044	171-4	0				
Story2	B13	171	Cero112	Combination	Max	4,500	0	21,3764	0	0,4695	0	40,5464	171-5	0,5				
Story1	B13	171	Cero112	Combination	Max	4,000	0	19,925	0	0,4695	0	48,2864	171-5	0				
Story1	B13	171	Cero112	Combination	Min	4,500	0	16,2107	0	0,4916	0	32,4973	171-5	0,5				
Story1	B13	171	Cero112	Combination	Min	4,000	0	14,6573	0	0,4916	0	42,9732	171-5	0				
Story2	B13	171	Cero113	Combination	Max	1,000	0	-16,6798	0	-0,1416	0	31,7194	171-2	0				
Story1	B13	171	Cero113	Combination	Max	1,000	0	-24,3074	0	-0,2095	0	31,0519	171-1	1				
Story4	B13	171	Cero113	Combination	Min	0,963	0	-26,2985	0	-0,2095	0	20,0117	171-1	0,6625				
Story1	B13	171	Cero113	Combination	Min	1,000	0	-24,0487	0	-0,1639	0	20,3865	171-2	0				
Story1	B13	171	Cero113	Combination	Min	1,000	0	-30,2486	0	-0,2338	0	20,9119	171-4	1				
Story1	B13	171	Cero113	Combination	Max	0,325	0	-27,6796	0	-0,2095	0	13,9058	171-1	0,325				
Story1	B13	171	Cero113	Combination	Min	0,663	0	-31,6747	0	-0,2338	0	10,4626	171-1	0,6625				
Story1	B13	171	Cero113	Combination	Max	4,500	0	70,9849	0	0,1624	0	-32,2123	211-5	0,5				
Story4	B13	171	Cero113	Combination	Max	4,900	0	68,2245	0	0,1624	0	-6,6245	171-5	0				

Story	Beam	Uline Name	Outer Case	Case Type	Span Type	Span Number	Station	P	W1	W2	W3	T	M1	M2	M3	Element		Elem Station
									m	kN/m	kN/m	kNm	kNm	kNm	kNm			
Story4	B13	171	Cero13	Combination	Min	4,500	0	65,1542	0	0,1448	0	-30,9824	171,6	0,5				
Story1	B13	171	Cero13	Combination	Min	4,000	0	63,5688	0	0,1448	0	-30,9888	171,6	0				
Story2	B13	171	Cero13	Combination	Max	4,000	0	62,5152	0	0,1269	0	-30,7296	171,4	1				
Story1	B13	171	Cero13	Combination	Max	3,500	0	60,7857	0	0,1269	0	-27,3885	171,4	0,5				
Story4	B13	171	Cero13	Combination	Max	3,000	0	58,4063	0	0,1269	0	-54,423	171,4	0				
Story1	B13	171	Cero13	Combination	Min	3,255	0	-33,0988	0	-0,2338	0	-46,615	171,1	0,325				
Story1	B13	171	Cero13	Combination	Min	4,000	0	57,1449	0	0,1058	0	-6,0367	171,4	1				
Story1	B13	171	Cero13	Combination	Min	3,500	0	55,0986	0	0,1058	0	-24,7065	171,4	0,5				
Story2	B13	171	Cero13	Combination	Min	3,000	0	53,0422	0	0,1058	0	-54,423	171,4	0				
Story1	B13	171	Cero13	Combination	Max	5,000	0	73,4353	0	0,164	0	-36,2367	171,6	1				
Story1	B13	171	Cero13	Combination	Max	5,000	0	79,4054	0	0,2337	0	-56,3062	171,6	0				
Story1	B13	171	Cero13	Combination	Max	5,000	0	67,8676	0	0,1418	0	-76,9717	171,5	1				
Story1	B13	171	Cero13	Combination	Min	5,000	0	74,0192	0	0,2055	0	-77,0391	171,6	0				
Story2	B13	171	Cero13	Combination	Max	5,328	0	80,7864	0	0,2337	0	-51,216	171,6	0,3275				
Story1	B13	171	Cero13	Combination	Max	3,000	0	-4,9841	0	-0,1058	0	-54,4231	171,3	1				
Story1	B13	171	Cero13	Combination	Max	2,500	0	6,375	0	-0,1058	0	-54,8677	171,3	0,5				
Story1	B13	171	Cero13	Combination	Max	2,000	0	-8,1909	0	0,1058	0	48,2865	171,9	0				
Story2	B13	171	Cero13	Combination	Min	3,000	0	9,4492	0	-0,1268	0	-54,423	171,3	1				
Story1	B13	171	Cero13	Combination	Min	2,500	0	-11,5016	0	-0,1268	0	49,8586	171,3	0,5				
Story4	B13	171	Cero13	Combination	Min	2,000	0	-13,5581	0	-0,1268	0	-42,9274	171,3	0				
Story1	B13	171	Cero13	Combination	Max	2,000	0	-14,5711	0	0,1418	0	-48,244	171,2	1				
Story1	B13	171	Cero13	Combination	Max	1,500	0	-16,6346	0	-0,1418	0	-40,5451	171,2	0,5				
Story1	B13	171	Cero13	Combination	Min	5,328	0	75,4052	0	0,2055	0	-104,071	171,6	0,3275				
Story1	B13	171	Cero13	Combination	Min	2,000	0	-19,9388	0	-0,1639	0	-42,9767	171,2	1				
Story1	B13	171	Cero13	Combination	Max	1,500	0	-21,932	0	0,1639	0	32,098	171,2	0,5				
Story4	B13	171	Cero13	Combination	Max	5,675	0	62,1175	0	-0,2337	0	-17,205	171,6	0,6775				

Story	Beam	Unique Name	Output Case	Case Type	Span Type	Span Number	Station						Element	Elem Station		
							E	δ	σ	ε	T	W2	W3	W4	W5	
Ssey1	B13	171	Comb13	Cumulative	Min	5,075	0	-76,793	0	0,2065	0	-132,57	171,6	0,675	0	
Ssey1	B13	171	Comb14	Cumulative	Max	5,000	0	-23,2389	0	0,1606	0	30,0822	171,6	1	0	
Ssey1	B13	171	Comb14	Cumulative	Min	5,000	0	-29,4576	0	0,2001	0	30,0746	171,6	0	0	
Ssey1	B13	171	Comb14	Cumulative	Min	5,000	0	-19,4988	0	0,1452	0	22,6237	171,6	1	0	
Ssey1	B13	171	Comb14	Cumulative	Min	5,000	0	-25,7283	0	0,1419	0	22,5562	171,6	0	0	
Ssey1	B13	171	Comb14	Cumulative	Max	5,338	0	-30,8538	0	0,2801	0	21,0970	171,6	0,3376	0	
Ssey1	B13	171	Comb14	Cumulative	Min	5,338	0	-37,1144	0	0,1439	0	13,3768	171,6	0,3376	0	
Ssey1	B13	171	Comb14	Cumulative	Max	5,675	0	-32,2396	0	0,2301	0	11,7125	171,6	0,675	0	
Ssey1	B13	171	Comb14	Cumulative	Min	4,900	0	-21,1734	0	0,1606	0	39,3172	171,6	0,5	0	
Ssey1	B13	171	Comb14	Cumulative	Max	4,900	0	-15,12	0	0,1606	0	47,5256	171,6	0	0	
Ssey1	B13	171	Comb14	Cumulative	Min	4,900	0	-17,4454	0	0,1452	0	33,7238	171,6	0,5	0	
Ssey1	B13	171	Comb14	Cumulative	Min	5,075	0	-28,5004	0	0,2132	0	1,7298	171,6	0,675	0	
Ssey1	B13	171	Comb14	Cumulative	Min	4,900	0	-15,3869	0	0,1452	0	43,7972	171,6	0	0	
Ssey1	B13	171	Comb14	Cumulative	Max	4,900	0	-12,7388	0	0,1236	0	47,4673	171,6	1	0	
Ssey1	B13	171	Comb14	Cumulative	Max	3,900	0	-10,6834	0	0,1236	0	54,4585	171,4	0,5	0	
Ssey1	B13	171	Comb14	Cumulative	Max	3,900	0	-8,63	0	0,1236	0	54,4251	171,4	0	0	
Ssey1	B13	171	Comb14	Cumulative	Min	4,000	0	9,0092	0	0,109	0	43,7397	171,4	1	0	
Ssey1	B13	171	Comb14	Cumulative	Min	3,900	0	6,9568	0	0,109	0	49,5947	171,4	0,5	0	
Ssey1	B13	171	Comb14	Cumulative	Min	3,900	0	4,9023	0	0,109	0	54,4231	171,4	0	0	
Ssey1	B13	171	Comb14	Cumulative	Max	4,000	0	58,4864	0	0,1452	0	67,876	171,2	0	0	
Ssey1	B13	171	Comb14	Cumulative	Max	4,000	0	-7,434	0	0,2132	0	-67,9434	171,1	1	0	
Ssey1	B13	171	Comb14	Cumulative	Min	4,000	0	-72,2165	0	0,1096	0	-75,3344	171,2	0	0	
Ssey1	B13	171	Comb14	Cumulative	Min	4,000	0	-78,5795	0	-0,23	0	-75,0419	171,1	1	0	
Ssey1	B13	171	Comb14	Cumulative	Max	0,663	0	-76,2361	0	-0,2132	0	-93,4358	171,1	0,626	0	
Ssey1	B13	171	Comb14	Cumulative	Max	3,900	0	53,8964	0	-0,109	0	54,423	171,3	1	0	
Ssey1	B13	171	Comb14	Cumulative	Max	2,900	0	-55,9139	0	-0,109	0	26,9794	171,3	0,5	0	

Story	Beam	Unique Name	Outer Case	Case Type	Span Type	Span Number	Station	P	W1	W2	W3	T	M1	M2	M3	Element	Item Station
							m	kN	kN	kN	kN	kNm	kNm	kNm			
Story4	B13	171	Cero14	Combination	Max	2,000	0	-57,24673	0	-0,169	0	-1,2909	171-3	0			
Story1	B13	171	Cero14	Combination	Min	3,000	0	-57,5081	0	-0,1237	0	54,423	171-3	1			
Story2	B13	171	Cero14	Combination	Min	2,500	0	-59,0445	0	0,1237	0	25,1566	171-3	0,5			
Story1	B13	171	Cero14	Combination	Min	2,000	0	-61,6949	0	-0,1237	0	-2,2485	171-3	0			
Story4	B13	171	Cero14	Combination	Max	2,000	0	-64,3796	0	-0,1452	0	-4,4299	171-2	1			
Story1	B13	171	Cero14	Combination	Min	3,003	0	-79,9496	0	-0,23	0	-102,196	171-1	0,6625			
Story1	B13	171	Cero14	Combination	Max	1,500	0	-68,423	0	-0,1452	0	-54,4461	171-2	0,5			
Story1	B13	171	Cero14	Combination	Min	2,000	0	-68,1197	0	0,1605	0	-6,1713	171-2	1			
Story2	B13	171	Cero14	Combination	Min	1,500	0	-70,1631	0	0,1605	0	-59,7386	171-2	0,5			
Story1	B13	171	Cero14	Combination	Max	0,325	0	-77,6122	0	-0,2132	0	-19,3986	171-1	0,325			
Story1	B13	171	Cero14	Combination	Min	0,325	0	-81,3536	0	-0,23	0	-29,379	171-1	0,325			
Story1	B13	171	Cero15	Combination	Max	0,325	0	27,5165	0	0,2639	0	161,5176	171-1	0,325			
Story1	B13	171	Cero15	Combination	Min	0,325	0	26,2564	0	0,2638	0	157,8854	171-1	0,325			
Story2	B13	171	Cero15	Combination	Min	0,663	0	29,0046	0	0,2639	0	151,9925	171-1	0,6625			
Story1	B13	171	Cero15	Combination	Max	0,663	0	27,3984	0	0,2638	0	148,772	171-1	0,6625			
Story1	B13	171	Cero15	Combination	Min	1,000	0	36,1841	0	0,2617	0	142,0072	171-2	0			
Story1	B13	171	Cero15	Combination	Max	1,000	0	30,9966	0	0,2699	0	141,9935	171-1	1			
Story2	B13	171	Cero15	Combination	Min	1,000	0	35,1195	0	0,256	0	159,2785	171-2	0			
Story1	B13	171	Cero15	Combination	Max	1,000	0	29,0225	0	0,2638	0	159,2198	171-1	1			
Story4	B13	171	Cero15	Combination	Max	2,000	0	40,501	0	0,2617	0	163,4897	171-2	1			
Story1	B13	171	Cero15	Combination	Min	1,500	0	38,5376	0	0,2617	0	123,2518	171-2	0,5			
Story1	B13	171	Cero15	Combination	Max	2,000	0	39,2268	0	0,256	0	162,1056	171-2	1			
Story1	B13	171	Cero15	Combination	Min	1,500	0	37,4729	0	0,256	0	121,2054	171-2	0,5			
Story1	B13	171	Cero15	Combination	Max	3,000	0	61,0422	0	0,2368	0	54,4168	171-3	1			
Story2	B13	171	Cero15	Combination	Min	2,500	0	46,8866	0	0,2368	0	79,185	171-3	0,5			
Story4	B13	171	Cero15	Combination	Max	2,000	0	46,9354	0	0,2368	0	103,3996	171-3	0			

Story	Beam	Uplift Name	Outrest Case	Case Type	Span Type	Span Number	Station	P	W1	W2	W3	T	W4	W5	M1	M2	M3	Element	Beam Station
									m	kN	kN	kNm	kNm	kNm	kNm				
Story4	B13	171	Cero15	Combination	Min	3,000	0	49,33584	0	0,2315	0	54,4166	171-3	1					
Story1	B13	171	Cero15	Combination	Min	2,500	0	47,6205	0	0,2315	0	78,2867	171-3	0,5					
Story2	B13	171	Cero15	Combination	Min	2,000	0	45,3736	0	0,2315	0	102,0316	171-3	0					
Story1	B13	171	Cero15	Combination	Max	4,000	0	117,6221	0	-0,2314	0	-59,7943	171-4	1					
Story4	B13	171	Cero15	Combination	Max	3,500	0	115,5696	0	-0,2314	0	-21,785	171-4	0,5					
Story1	B13	171	Cero15	Combination	Max	3,000	0	113,5152	0	-0,2314	0	54,4196	171-4	0					
Story1	B13	171	Cero15	Combination	Min	4,000	0	116,2583	0	-0,2367	0	-61,1581	171-4	1					
Story1	B13	171	Cero15	Combination	Min	3,500	0	114,2049	0	-0,2367	0	-58,8604	171-4	0,5					
Story2	B13	171	Cero15	Combination	Min	3,000	0	112,1514	0	-0,2367	0	54,4166	171-4	0					
Story1	B13	171	Cero15	Combination	Max	4,500	0	126,1336	0	-0,256	0	-121,6268	171-5	0,5					
Story1	B13	171	Cero15	Combination	Max	4,000	0	124,0726	0	-0,256	0	59,7567	171-5	0					
Story1	B13	171	Cero15	Combination	Min	4,500	0	124,7814	0	-0,2617	0	-123,6722	171-5	0,5					
Story1	B13	171	Cero15	Combination	Min	4,000	0	122,7079	0	-0,2617	0	-61,1227	171-5	0					
Story2	B13	171	Cero15	Combination	Max	5,000	0	128,1725	0	-0,256	0	-184,52	171-5	1					
Story1	B13	171	Cero15	Combination	Max	5,000	0	134,6833	0	-0,2639	0	-184,587	171-6	0					
Story1	B13	171	Cero15	Combination	Min	5,000	0	125,8148	0	-0,2617	0	-187,249	171-6	1					
Story1	B13	171	Cero15	Combination	Min	5,000	0	133,3152	0	-0,27	0	-187,346	171-6	0					
Story2	B13	171	Cero15	Combination	Max	5,308	0	136,0653	0	-0,2639	0	-229,815	171-6	0,3275					
Story1	B13	171	Cero15	Combination	Min	5,308	0	134,7012	0	-0,27	0	-233,006	171-6	0,3275					
Story4	B13	171	Cero15	Combination	Max	5,675	0	137,4554	0	-0,2639	0	-275,511	171-6	0,675					
Story1	B13	171	Cero15	Combination	Min	5,675	0	136,0673	0	-0,27	0	-273,153	171-6	0,675					
Story1	B13	171	Cero15	Combination	Max	5,675	0	-24,4823	0	-0,2576	0	165,1698	171-6	0,675					
Story1	B13	171	Cero15	Combination	Min	5,328	0	-26,2563	0	-0,2576	0	185,4559	171-6	0,3275					
Story1	B13	171	Cero15	Combination	Min	5,675	0	-28,9866	0	-0,2761	0	184,2133	171-6	0,675					
Story1	B13	171	Cero15	Combination	Max	5,000	0	-30,3227	0	-0,2761	0	145,8935	171-6	0,3275					
Story4	B13	171	Cero15	Combination	Max	5,000	0	-33,7548	0	-0,2504	0	144,7339	171-5	1					

Story	Beam	Unique Name	Outer Case	Case Type	Span Type	Span Number	Station	P	W1	W2	W3	T	M1	M2	M3	Element	Beam Station
							m	kN	kN	kN	kNm	kNm	kNm	kNm			
Story4	B13	171	Ceros16	Combination	Max	5,000	0	-273544	0	0,2576	0	144,6892	171,6	0			
Story1	B13	171	Ceros16	Combination	Min	5,000	0	-37,8488	0	-0,2673	0	136,5498	171,5	1			
Story2	B13	171	Ceros16	Combination	Min	5,000	0	-31,7587	0	0,2705	0	136,4891	171,6	0			
Story1	B13	171	Ceros16	Combination	Max	2,000	0	-121,343	0	0,2673	0	-58,3946	171,2	1			
Story4	B13	171	Ceros16	Combination	Max	1,500	0	-123,389	0	0,2673	0	-119,56	171,2	0,5			
Story1	B13	171	Ceros16	Combination	Min	2,000	0	-123,437	0	0,2604	0	-62,4868	171,2	1			
Story1	B13	171	Ceros16	Combination	Min	1,500	0	-127,495	0	0,2604	0	-52,719	171,2	0,5			
Story1	B13	171	Ceros16	Combination	Max	3,900	0	-112,788	0	0,2421	0	54,116	171,3	1			
Story2	B13	171	Ceros16	Combination	Max	2,500	0	-112,941	0	0,2421	0	-4,998	171,3	0,5			
Story1	B13	171	Ceros16	Combination	Max	2,000	0	-114,895	0	0,2421	0	-50,4396	171,3	0			
Story1	B13	171	Ceros16	Combination	Min	3,000	0	-114,879	0	0,238	0	54,4105	171,3	1			
Story1	B13	171	Ceros16	Combination	Min	2,500	0	-115,932	0	0,236	0	-35,9423	171,3	0,5			
Story1	B13	171	Ceros16	Combination	Min	2,000	0	-116,986	0	0,236	0	-62,5118	171,3	0			
Story2	B13	171	Ceros16	Combination	Min	4,000	0	-44,2078	0	0,2261	0	164,7653	171,4	1			
Story1	B13	171	Ceros16	Combination	Max	3,500	0	-46,2813	0	-0,2261	0	80,0064	171,4	0,5			
Story1	B13	171	Ceros16	Combination	Max	3,000	0	-48,3147	0	-0,2261	0	54,4106	171,4	0			
Story1	B13	171	Ceros16	Combination	Min	4,000	0	-48,2991	0	0,2422	0	100,6721	171,4	1			
Story2	B13	171	Ceros16	Combination	Min	3,500	0	-50,3569	0	0,2422	0	70,0568	171,4	0,5			
Story1	B13	171	Ceros16	Combination	Min	3,000	0	-52,406	0	0,2422	0	54,4106	171,4	0			
Story4	B13	171	Ceros16	Combination	Max	4,500	0	-55,8982	0	0,2504	0	125,2982	171,5	0,5			
Story1	B13	171	Ceros16	Combination	Max	4,000	0	-57,8636	0	0,2504	0	104,8337	171,5	0			
Story1	B13	171	Ceros16	Combination	Min	4,500	0	-59,3922	0	-0,2673	0	119,159	171,5	0,5			
Story1	B13	171	Ceros16	Combination	Min	4,000	0	-41,9556	0	0,2673	0	100,7446	171,5	0			
Story1	B13	171	Ceros16	Combination	Max	1,000	0	-128,45	0	0,2673	0	-181,791	171,2	0			
Story1	B13	171	Ceros16	Combination	Max	1,000	0	-131,947	0	0,2732	0	-181,659	171,1	1			
Story4	B13	171	Ceros16	Combination	Min	1,000	0	-129,544	0	0,2504	0	-189,977	171,2	0			

Story	Beam	Unique Name	Outer Case	Case Type	Span Type	Span Number	Station	P	W1	W2	W3	T	W4	W5	M1	M2	M3	Element	Element Station
									m	kN	kN	kNm	kNm	kNm	kNm				
Story4	B13	171	Cero16	Combination	Min	1,000	0	-126,863	0	0,2677	0	-390,045	171-1	1					
Story1	B13	171	Cero16	Combination	Max	0,963	0	-133,383	0	0,2762	0	-395,625	171-1	0,6625					
Story2	B13	171	Cero16	Combination	Min	0,963	0	-137,468	0	0,2577	0	-396,196	171-1	0,6625					
Story1	B13	171	Cero16	Combination	Max	0,325	0	-134,719	0	0,2762	0	-371,859	171-1	0,325					
Story4	B13	171	Cero16	Combination	Min	0,325	0	-134,854	0	0,2677	0	-392,815	171-1	0,325					
Story1	B13	171	Cero17	Combination	Max	0,325	0	28,8831	0	0,0506	0	166,160	171-1	0,325					
Story1	B13	171	Cero17	Combination	Min	0,663	0	30,6562	0	0,0506	0	165,4983	171-1	0,6625					
Story1	B13	171	Cero17	Combination	Max	0,325	0	24,7388	0	0,0521	0	164,2084	171-1	0,325					
Story2	B13	171	Cero17	Combination	Min	0,663	0	26,6468	0	0,0521	0	165,5579	171-1	0,6625					
Story1	B13	171	Cero17	Combination	Max	1,000	0	37,7440	0	0,0773	0	144,7335	171-2	0					
Story1	B13	171	Cero17	Combination	Min	1,000	0	31,7552	0	0,0506	0	144,0558	171-1	1					
Story1	B13	171	Cero17	Combination	Max	1,000	0	33,7506	0	0,0614	0	136,5473	171-2	0					
Story1	B13	171	Cero17	Combination	Min	1,000	0	27,7509	0	0,0521	0	136,4795	171-1	1					
Story2	B13	171	Cero17	Combination	Max	1,000	0	52,402	0	0,0604	0	54,4365	171-3	1					
Story1	B13	171	Cero17	Combination	Max	2,500	0	50,1485	0	0,0604	0	80,1041	171-3	0,5					
Story1	B13	171	Cero17	Combination	Min	2,000	0	48,2981	0	0,0604	0	84,766	171-3	0					
Story1	B13	171	Cero17	Combination	Max	2,000	0	41,6535	0	0,0773	0	164,8384	171-2	1					
Story2	B13	171	Cero17	Combination	Max	1,500	0	39,9891	0	0,0773	0	125,2978	171-2	0,5					
Story1	B13	171	Cero17	Combination	Min	3,900	0	48,2107	0	0,0644	0	54,4165	171-3	1					
Story4	B13	171	Cero17	Combination	Max	2,500	0	46,2572	0	0,0644	0	70,0585	171-3	0,5					
Story1	B13	171	Cero17	Combination	Min	2,000	0	44,2038	0	0,0644	0	100,6737	171-3	0					
Story1	B13	171	Cero17	Combination	Max	2,000	0	37,8575	0	0,0604	0	100,4933	171-2	1					
Story1	B13	171	Cero17	Combination	Min	1,500	0	35,9041	0	0,0604	0	118,4556	171-2	0,5					
Story1	B13	171	Cero17	Combination	Max	4,500	0	127,4948	0	-0,0504	0	-119,58	171-5	0,5					
Story1	B13	171	Cero17	Combination	Min	4,000	0	125,4444	0	-0,0504	0	-56,929	171-5	0					
Story4	B13	171	Cero17	Combination	Max	4,000	0	118,9698	0	-0,0543	0	-58,4259	171-4	1					

Story	Beam	Unique Name	Outrest Case	Case Type	Span Type	Span Number	Station	P	W1	W2	W3	T	M1	M2	M3	Element	Beam Station
							m	kN	kN	kN	kNm	kNm	kNm	kNm			
Story4	B13	171	Cero117	Combination	Max		3,500	0	116,9064	0	0,0643	0	5,693	171-4	0,5		
Story1	B13	171	Cero117	Combination	Max		3,000	0	114,6863	0	-0,0545	0	5,45163	171-4	0		
Story2	B13	171	Cero117	Combination	Min		4,500	0	125,4026	0	-0,0773	0	-52,719	171-5	0,5		
Story1	B13	171	Cero117	Combination	Min		4,900	0	121,3474	0	-0,0773	0	-62,4851	171-5	0		
Story4	B13	171	Cero117	Combination	Min		4,900	0	114,6935	0	-0,0833	0	-62,2501	171-4	1		
Story1	B13	171	Cero117	Combination	Min		3,900	0	112,8451	0	-0,0803	0	-5,5386	171-4	0,5		
Story1	B13	171	Cero117	Combination	Min		3,000	0	110,7917	0	-0,0833	0	5,45162	171-4	0		
Story1	B13	171	Cero117	Combination	Max		5,900	0	129,5453	0	0,0604	0	-151,794	171-5	1		
Story2	B13	171	Cero117	Combination	Max		5,900	0	136,0549	0	-0,0322	0	-181,961	171-6	0		
Story1	B13	171	Cero117	Combination	Max		5,900	0	125,4543	0	-0,0773	0	-89,98	171-6	1		
Story1	B13	171	Cero117	Combination	Min		5,900	0	131,9508	0	-0,0537	0	-190,047	171-6	0		
Story1	B13	171	Cero117	Combination	Max		5,328	0	137,4459	0	0,0322	0	-226,628	171-6	0,3375		
Story1	B13	171	Cero117	Combination	Min		5,328	0	133,3366	0	-0,0537	0	-236,2	171-6	0,3375		
Story2	B13	171	Cero117	Combination	Max		5,675	0	138,827	0	-0,0322	0	-271,863	171-6	0,675		
Story1	B13	171	Cero117	Combination	Min		5,675	0	134,7227	0	-0,0537	0	-282,02	171-6	0,675		
Story1	B13	171	Cero118	Combination	Max		5,675	0	26,2469	0	-0,0383	0	16,15458	171-6	0,675		
Story1	B13	171	Cero118	Combination	Min		5,675	0	-27,6115	0	0,0446	0	167,8896	171-6	0,675		
Story2	B13	171	Cero118	Combination	Max		5,328	0	27,633	0	-0,0383	0	161,9568	171-6	0,3375		
Story1	B13	171	Cero118	Combination	Min		5,328	0	-29,0211	0	0,0445	0	148,7084	171-6	0,3375		
Story4	B13	171	Cero118	Combination	Max		5,900	0	-35,1153	0	-0,0866	0	142,0367	171-5	1		
Story1	B13	171	Cero118	Combination	Max		5,900	0	-29,0119	0	0,0383	0	141,9371	171-6	0		
Story1	B13	171	Cero118	Combination	Min		5,900	0	-36,48	0	-0,0716	0	139,276	171-5	1		
Story1	B13	171	Cero118	Combination	Min		5,900	0	-30,3471	0	0,0445	0	139,2084	171-6	0		
Story1	B13	171	Cero118	Combination	Max		3,000	0	-112,1166	0	0,075	0	5,44163	171-3	1		
Story2	B13	171	Cero118	Combination	Max		2,500	0	-114,290	0	0,075	0	-21,748	171-3	0,5		
Story4	B13	171	Cero118	Combination	Max		2,000	0	-116,262	0	0,075	0	-39,7995	171-3	0		

Story	Branch	Unique Name	Content Case	Case Type	Step Type	Step Number	Item Station					
							P	V2	V3	T	M2	M3
Story1	B132	Comb18	Combination	Max	2,900	0	-322,752	0	0,67346	0	69,753	17-2
Story1	B132	Comb18	Combination	Max	1,500	0	-124,766	0	0,67348	0	-121,626	17-2
Story1	B132	Comb18	Combination	Min	3,900	0	-113,539	0	0,66956	0	54,46363	17-3
Story1	B132	Comb18	Combination	Min	2,500	0	-115,573	0	0,66956	0	-2,8667	17-3
Story1	B132	Comb18	Combination	Min	2,900	0	-117,626	0	0,66956	0	-61,1564	17-3
Story1	B132	Comb18	Combination	Min	2,000	0	-124,077	0	0,6696	0	61,121	17-2
Story1	B132	Comb18	Combination	Min	1,500	0	-126,113	0	0,6696	0	-123,263	17-2
Story1	B132	Comb18	Combination	Max	4,500	0	-37,74887	0	-0,066	0	123,254	17-1
Story1	B132	Comb18	Combination	Max	4,000	0	-39,2922	0	-0,066	0	303,473	17-1
Story1	B132	Comb18	Combination	Max	4,000	0	-45,676	0	0,06937	0	103,4213	17-4
Story1	B132	Comb18	Combination	Max	3,900	0	-47,021	0	0,06937	0	79,4222	17-4
Story1	B132	Comb18	Combination	Max	3,000	0	-49,744	0	0,06937	0	54,46165	17-4
Story1	B132	Comb18	Combination	Max	4,500	0	-38,334	0	0,07318	0	121,206	17-1
Story1	B132	Comb18	Combination	Min	4,000	0	-40,968	0	-0,07316	0	102,1073	17-1
Story1	B132	Comb18	Combination	Min	4,000	0	-46,313	0	-0,07315	0	102,0375	17-1
Story1	B132	Comb18	Combination	Min	3,500	0	-49,948	0	-0,07315	0	73,7464	17-1
Story1	B132	Comb18	Combination	Min	3,000	0	-51,982	0	-0,07315	0	54,41665	17-1
Story1	B132	Comb18	Combination	Max	1,000	0	-126,819	0	0,07316	0	-184,523	17-2
Story1	B132	Comb18	Combination	Max	1,000	0	-133,319	0	0,04446	0	-184,523	17-1
Story1	B132	Comb18	Combination	Min	1,000	0	-124,184	0	0,04466	0	-187,251	17-1
Story1	B132	Comb18	Combination	Min	1,000	0	-134,687	0	0,04468	0	-187,319	17-1
Story1	B132	Comb18	Combination	Min	0,963	0	-134,705	0	0,04466	0	-229,819	17-1
Story1	B132	Comb18	Combination	Min	0,663	0	-136,073	0	0,03844	0	-233,009	17-1
Story1	B132	Comb18	Combination	Max	0,325	0	-135,921	0	0,04446	0	-275,546	17-1
Story1	B132	Comb18	Combination	Min	0,325	0	-137,489	0	0,03844	0	-270,168	17-1
Story1	B132	Comb18	Combination	Min	2,900	0	-102,817	0	0,04443	0	51,14418	17-2

Story	Beam	Unique Name	Outrest Case	Case Type	Span Type	Span Number	Station	P	W1	W2	W3	T	W4	W5	M1	M2	M3	Element		Free Station
									m	kN	kN	kNm	kNm	kNm	kNm	kNm	kNm			
Story4	B13	171	Comb02	Combination			1,500	0	-106,23	0	0,4143	0	-0,0764	171,2	0,5					
Story1	B13	171	Comb02	Combination			3,000	0	-78,4866	0	0,3876	0	133,0535	171,3	1					
Story2	B13	171	Comb02	Combination			2,500	0	-62,5363	0	0,3676	0	92,9271	171,3	0,5					
Story1	B13	171	Comb02	Combination			2,000	0	-45,272	0	0,3876	0	59,9942	171,3	0					
Story4	B13	171	Comb02	Combination			1,000	0	-109,243	0	0,4143	0	-0,0763	171,2	0					
Story1	B13	171	Comb02	Combination			5,000	0	-109,2428	0	-0,1145	0	-0,0483	171,6	1					
Story1	B13	171	Comb02	Combination			1,000	0	-126,559	0	0,3894	0	-0,0507	171,4	1					
Story1	B13	171	Comb02	Combination			5,000	0	-126,5269	0	0,3894	0	-0,0502	171,6	0					
Story2	B13	171	Comb02	Combination			0,663	0	-124,688	0	0,3894	0	0,98,1414	171,4	0,6626					
Story1	B13	171	Comb02	Combination			5,320	0	-126,6975	0	0,3894	0	-0,0764	171,6	0,3075					
Story1	B13	171	Comb02	Combination			0,325	0	-130,886	0	0,3894	0	-0,1141	171,1	0,325					
Story1	B13	171	Comb02	Combination			5,675	0	-130,886	0	0,3894	0	-0,1141	171,6	0,675					
Story1	B13	171	Comb02	Combination			4,000	0	85,272	0	0,3876	0	0,98,1414	171,4	1					
Story2	B13	171	Comb02	Combination			3,500	0	82,0563	0	0,3976	0	92,9271	171,4	0,5					
Story1	B13	171	Comb02	Combination			3,000	0	78,4866	0	0,3876	0	-0,0763	171,2	0					
Story1	B13	171	Comb02	Combination			4,500	0	106,0361	0	0,4143	0	-0,0761	171,6	0,5					
Story1	B13	171	Comb02	Combination			4,000	0	102,8174	0	0,4143	0	0,1143	171,5	0					
Story2	B13	171	Comb03	Combination	Max		2,000	0	49,623	0	0,7079	0	74,4934	171,2	1					
Story1	B13	171	Comb03	Combination	Max		1,500	0	-73,1916	0	0,7079	0	39,2002	171,2	0,5					
Story4	B13	171	Comb03	Combination	Min		2,000	0	-73,1531	0	0,6975	0	70,756	171,2	1					
Story1	B13	171	Comb03	Combination	Min		1,500	0	-76,3239	0	0,6925	0	33,0468	171,2	0,5					
Story1	B13	171	Comb03	Combination	Max		3,000	0	-46,6741	0	0,6356	0	124,5069	171,3	1					
Story4	B13	171	Comb03	Combination	Max		2,500	0	-50,2438	0	0,6356	0	100,2297	171,3	0,5					
Story1	B13	171	Comb03	Combination	Max		2,000	0	-53,8116	0	0,6356	0	74,3661	171,3	0					
Story2	B13	171	Comb03	Combination	Min		3,000	0	-59,4027	0	0,621	0	124,5059	171,3	1					
Story4	B13	171	Comb03	Combination	Min		2,500	0	-53,9705	0	0,621	0	98,4159	171,3	0,5					

Story	Beam	Unique Name	Outer Case	Case Type	Span Type	Span Number	Station	P	W1	W2	W3	T	M1	M2	M3	Element	Beam Station
							m	kN	kN	kN	kNm	kNm	kNm	kNm			
Story4	B13	171	Comb0	Combination	Min	2,000	0	-57,5902	0	0,621	0	70,5385	171-3	0			
Story1	B13	171	Comb0	Combination	Max	3,000	0	-76,7805	0	0,7079	0	102,1222	171-2	0			
Story2	B13	171	Comb0	Combination	Max	3,000	0	-92,2971	0	0,7448	0	10,6451	171-1	1			
Story1	B13	171	Comb0	Combination	Min	1,000	0	-80,4905	0	0,68925	0	-4,2463	171-2	0			
Story4	B13	171	Comb0	Combination	Min	1,000	0	-96,0266	0	0,7279	0	-6,8124	171-1	1			
Story1	B13	171	Comb0	Combination	Max	1,000	0	-94,6965	0	0,7448	0	-30,0974	171-1	0,6625			
Story1	B13	171	Comb0	Combination	Min	0,683	0	-58,4955	0	0,7279	0	-59,2294	171-1	0,6625			
Story1	B13	171	Comb0	Combination	Max	0,325	0	-97,1049	0	0,7448	0	-62,738	171-1	0,325			
Story1	B13	171	Comb0	Combination	Min	0,325	0	-109,344	0	0,7279	0	-72,8564	171-1	0,325			
Story1	B13	171	Comb0	Combination	Max	5,000	0	129,4603	0	0,6925	0	-96,746	171-6	1			
Story1	B13	171	Comb0	Combination	Min	5,000	0	145,1384	0	0,7279	0	36,912	171-6	0			
Story1	B13	171	Comb0	Combination	Min	5,000	0	125,7502	0	0,7079	0	-104,205	171-5	1			
Story1	B13	171	Comb0	Combination	Min	5,000	0	141,3869	0	0,7448	0	-104,371	171-6	0			
Story2	B13	171	Comb0	Combination	Max	5,328	0	147,5473	0	0,7279	0	-545,041	171-6	0,3275			
Story1	B13	171	Comb0	Combination	Min	5,328	0	143,8078	0	0,7448	0	-53,791	171-6	0,3275			
Story1	B13	171	Comb0	Combination	Max	5,675	0	149,9561	0	0,7279	0	-59,1962	171-6	0,675			
Story1	B13	171	Comb0	Combination	Min	5,675	0	146,2167	0	0,7448	0	-203,965	171-6	0,675			
Story2	B13	171	Comb0	Combination	Max	4,900	0	106,4973	0	-0,621	0	25,3079	171-4	1			
Story1	B13	171	Comb0	Combination	Max	3,500	0	102,9266	0	-0,621	0	75,8006	171-4	0,5			
Story1	B13	171	Comb0	Combination	Min	3,000	0	99,3598	0	-0,621	0	124,5059	171-4	0			
Story1	B13	171	Comb0	Combination	Min	4,000	0	102,7697	0	0,6356	0	2,5863	171-4	1			
Story1	B13	171	Comb0	Combination	Min	3,500	0	99,2069	0	-0,6356	0	7,33868	171-4	0,5			
Story1	B13	171	Comb0	Combination	Min	3,000	0	96,6322	0	0,6356	0	124,5059	171-4	0			
Story1	B13	171	Comb0	Combination	Max	4,500	0	125,9415	0	0,6925	0	-34,7631	171-5	0,5			
Story1	B13	171	Comb0	Combination	Min	4,000	0	122,3438	0	0,6925	0	25,3155	171-5	0			
Story1	B13	171	Comb0	Combination	Min	4,500	0	122,1815	0	-0,7079	0	-30,3565	171-5	0,5			

Story	Beam	Unique Name	Outer Case	Case Type	Span Type	Span Number	Station	P	W1	W2	W3	T	M1	M2	M3	Element	Beam Station	
									m	kN	kN	kN	kNm	kNm	kNm	Element	ft	in
Story4	B13	171	Comb0	Combination	Min	4,000	0	-118,6127	0	-0,7079	0	-21,2071	171-6	0				
Story1	B13	171	Comb4	Combination	Max	2,000	0	-117,794	0	-0,7112	0	-26,2569	171-2	1				
Story2	B13	171	Comb5	Combination	Max	3,000	0	-121,363	0	-0,7142	0	-30,3563	171-2	0.5				
Story1	B13	171	Comb4	Combination	Min	2,000	0	-121,362	0	-0,6891	0	-28,886	171-2	1				
Story4	B13	171	Comb4	Combination	Min	1,500	0	-126,73	0	-0,6891	0	-41,583	171-2	0.5				
Story1	B13	171	Comb4	Combination	Max	3,000	0	-94,814	0	-0,6388	0	-124,0069	171-3	1				
Story1	B13	171	Comb4	Combination	Max	2,500	0	-98,3827	0	-0,6388	0	-76,0497	171-3	0.5				
Story1	B13	171	Comb4	Combination	Max	2,000	0	-101,961	0	-0,6388	0	-26,1262	171-3	0				
Story1	B13	171	Comb4	Combination	Min	3,000	0	-101,178	0	-0,6177	0	-124,5569	171-3	1				
Story1	B13	171	Comb4	Combination	Min	2,500	0	-103,747	0	-0,6177	0	-73,9277	171-3	0.5				
Story1	B13	171	Comb4	Combination	Min	2,000	0	-107,336	0	-0,6177	0	-20,7621	171-3	0				
Story1	B13	171	Comb4	Combination	Max	5,000	0	81,2054	0	-0,6891	0	-2,8694	171-5	1				
Story1	B13	171	Comb4	Combination	Max	5,000	0	96,8475	0	-0,7242	0	-2,6833	171-6	0				
Story2	B13	171	Comb4	Combination	Min	5,000	0	75,2437	0	-0,7112	0	-7,8385	171-5	1				
Story1	B13	171	Comb4	Combination	Min	5,000	0	91,0663	0	-0,7485	0	-0,0466	171-6	0				
Story1	B13	171	Comb4	Combination	Max	5,358	0	99,7564	0	-0,7242	0	-28,9301	171-6	0.375				
Story1	B13	171	Comb4	Combination	Min	5,358	0	93,2752	0	-0,7485	0	-41,1422	171-6	0.375				
Story2	B13	171	Comb4	Combination	Max	5,675	0	101,6653	0	-0,7242	0	-60,9855	171-6	0.675				
Story1	B13	171	Comb4	Combination	Min	5,675	0	96,7841	0	-0,7485	0	-75,0427	171-6	0.675				
Story4	B13	171	Comb4	Combination	Min	5,000	0	-124,9531	0	-0,7112	0	-95,1088	171-2	0				
Story1	B13	171	Comb4	Combination	Max	1,000	0	-148,578	0	-0,7485	0	-95,2748	171-1	1				
Story1	B13	171	Comb4	Combination	Min	1,000	0	-130,299	0	-0,6891	0	-105,642	171-2	0				
Story1	B13	171	Comb4	Combination	Max	1,000	0	-145,969	0	-0,7242	0	-106,008	171-1	1				
Story1	B13	171	Comb4	Combination	Min	0,663	0	-143,987	0	-0,7485	0	-143,126	171-1	0.6625				
Story1	B13	171	Comb4	Combination	Max	0,325	0	-145,395	0	-0,7485	0	-155,675	171-1	0.6625				
Story4	B13	171	Comb4	Combination	Max	0,325	0	-145,395	0	-0,7485	0	-191,791	171-1	0.325				

Story	Beam	Unique Name	Outrest Case	Case Type	Span Type	Span Number	Station	P	W1	W2	W3	T	M1	M2	M3	Element	Item Station
							m	kN	kN	kN	kN	kNm	kNm	kNm			
Story4	B13	171	Comb4	Combination	Min		0,205	0	-150,777	0	0,7942	0	-206,546	171,1	0,235		
Story1	B13	171	Comb4	Combination	Max		4,000	0	-58,3575	0	-0,6178	0	75,0843	171,4	1		
Story2	B13	171	Comb4	Combination	Max		3,500	0	54,7867	0	-0,6178	0	100,6916	171,4	0,5		
Story1	B13	171	Comb4	Combination	Max		3,000	0	51,22	0	-0,6178	0	124,509	171,4	0		
Story4	B13	171	Comb4	Combination	Min		4,000	0	52,3933	0	-0,6388	0	69,7202	171,4	1		
Story1	B13	171	Comb4	Combination	Min		3,900	0	49,4246	0	-0,6388	0	99,0068	171,4	0,5		
Story1	B13	171	Comb4	Combination	Min		3,000	0	45,5559	0	-0,6388	0	124,509	171,4	0		
Story1	B13	171	Comb4	Combination	Max		4,500	0	77,4767	0	0,6891	0	39,2201	171,5	0,5		
Story2	B13	171	Comb4	Combination	Max		4,000	0	74,1739	0	0,6891	0	75,2224	171,5	0		
Story1	B13	171	Comb4	Combination	Min		4,500	0	72,373	0	-0,7142	0	31,879	171,6	0,5		
Story1	B13	171	Comb4	Combination	Min		4,000	0	68,0402	0	-0,7142	0	69,0571	171,6	0		
Story1	B13	171	Comb5	Combination	Max		1,000	0	-75,5385	0	0,0778	0	2,8411	171,2	0		
Story1	B13	171	Comb5	Combination	Max		1,000	0	-91,4779	0	-0,0031	0	2,675	171,1	1		
Story2	B13	171	Comb5	Combination	Max		3,000	0	-45,8602	0	0,6937	0	124,529	171,3	1		
Story1	B13	171	Comb5	Combination	Max		2,500	0	-45,438	0	0,6937	0	100,7011	171,3	0,5		
Story1	B13	171	Comb5	Combination	Max		2,000	0	53,3067	0	0,6937	0	75,69	171,3	0		
Story1	B13	171	Comb5	Combination	Min		1,000	0	-81,2322	0	0,0657	0	-8918	171,2	0		
Story2	B13	171	Comb5	Combination	Min		1,000	0	-96,8591	0	-0,0274	0	-9,0579	171,1	1		
Story1	B13	171	Comb5	Combination	Max		0,963	0	-93,8986	0	-0,0031	0	-26,0653	171,1	0,6625		
Story4	B13	171	Comb6	Combination	Min		3,000	0	-51,2394	0	0,0787	0	124,5279	171,3	1		
Story1	B13	171	Comb6	Combination	Min		2,500	0	-54,8121	0	0,0787	0	98,0191	171,3	0,5		
Story1	B13	171	Comb6	Combination	Min		2,000	0	-58,3706	0	0,0787	0	69,7259	171,3	0		
Story1	B13	171	Comb6	Combination	Min		0,663	0	-99,2698	0	-0,0274	0	-41,1544	171,1	0,6625		
Story1	B13	171	Comb6	Combination	Max		2,000	0	-58,8181	0	0,6778	0	75,223	171,2	1		
Story1	B13	171	Comb6	Combination	Max		1,500	0	-72,3966	0	0,6778	0	39,2667	171,2	0,5		
Story4	B13	171	Comb6	Combination	Max		0,325	0	-96,2287	0	-0,0031	0	-90,0966	171,1	0,325		

Story	Beam	Unique Name	Outrest Case	Case Type	Span Type	Span Number	Station	P	V1	V2	V3	T	M1	M2	M3	Element	Element Station
							m	kN	kN	kN	kNm	kNm	kNm	kNm			
Story4	B13	171	Combi5	Combination	Min	2,000	0	-74,1868	0	0,0557	0	69,98627	171,2	1			
Story1	B13	171	Combi5	Combination	Min	3,500	0	-77,7545	0	0,0557	0	30,8776	171,2	0,5			
Story2	B13	171	Combi5	Combination	Max	4,500	0	126,7442	0	0,0557	0	-93,9366	171,6	0,5			
Story1	B13	171	Combi5	Combination	Max	4,900	0	123,1754	0	-0,0557	0	26,2595	171,5	0			
Story4	B13	171	Combi5	Combination	Min	0,325	0	-101,677	0	-0,0774	0	-75,0658	171,1	0,325			
Story1	B13	171	Combi5	Combination	Min	4,900	0	121,3765	0	-0,0775	0	-41,9857	171,6	0,5			
Story1	B13	171	Combi5	Combination	Min	4,900	0	117,8078	0	-0,0776	0	-29,9842	171,5	0			
Story1	B13	171	Combi5	Combination	Max	4,900	0	107,3269	0	-0,0786	0	26,3338	171,4	1			
Story2	B13	171	Combi5	Combination	Max	3,500	0	108,7602	0	-0,0786	0	76,222	171,4	0,5			
Story1	B13	171	Combi5	Combination	Max	3,000	0	100,1945	0	-0,0786	0	124,6279	171,4	0			
Story1	B13	171	Combi5	Combination	Max	5,000	0	130,3129	0	-0,0557	0	-35,117	171,5	1			
Story1	B13	171	Combi5	Combination	Min	4,000	0	101,9648	0	0,0997	0	20,7677	171,4	1			
Story1	B13	171	Combi5	Combination	Min	3,500	0	98,3961	0	0,0997	0	73,54	171,4	0,5			
Story2	B13	171	Combi5	Combination	Min	3,000	0	94,2273	0	0,0997	0	124,6279	171,4	0			
Story1	B13	171	Combi5	Combination	Max	5,000	0	145,9709	0	0,0273	0	-95,283	171,6	0			
Story1	B13	171	Combi5	Combination	Min	5,000	0	124,9452	0	-0,0775	0	-105,056	171,5	1			
Story1	B13	171	Combi5	Combination	Min	5,000	0	140,5887	0	0,0031	0	-106,016	171,6	0			
Story2	B13	171	Combi5	Combination	Max	5,328	0	146,3798	0	0,0273	0	-143,159	171,6	0,3275			
Story1	B13	171	Combi5	Combination	Min	5,328	0	142,9665	0	0,0031	0	-155,688	171,6	0,3275			
Story4	B13	171	Combi5	Combination	Max	5,675	0	150,7866	0	0,0273	0	-131,807	171,4	0,6775			
Story1	B13	171	Combi5	Combination	Min	5,675	0	145,4074	0	0,0031	0	-205,172	171,6	0,6775			
Story1	B13	171	Combi5	Combination	Max	5,000	0	60,2504	0	-0,0591	0	1,2039	171,5	1			
Story1	B13	171	Combi6	Combination	Min	5,000	0	96,2303	0	0,0237	0	2,0278	171,6	0			
Story1	B13	171	Combi6	Combination	Min	5,000	0	76,7743	0	-0,0745	0	-6,546	171,5	1			
Story1	B13	171	Combi6	Combination	Max	3,000	0	92,2908	0	0,0038	0	-6,2027	171,6	0			
Story4	B13	171	Combi6	Combination	Max	3,000	0	-95,6466	0	0,0965	0	124,6279	171,3	1			

Story	Beam	Uline Name	Outrest Case	Case Type	Span Type	Span Number	Station	P	W1	W2	W3	T	W4	W5	M1	M2	M3	Element	Element Station
									m	kN	kN	kNm	kNm	kNm	kNm				
Story4	B13	171	Combi6	Combination	Max		2,500	0	-99,214.3	0	0,0905	0	75,512.9	171.3	0	0,5			
Story1	B13	171	Combi6	Combination	Max		5,328	0	96,447.2	0	0,0237	0	-90,519.6	171.46	0	0,3375			
Story2	B13	171	Combi6	Combination	Max		2,000	0	-103,763	0	0,0905	0	25,513.5	171.3	0				
Story1	B13	171	Combi6	Combination	Min		3,000	0	-99,373.2	0	0,0818	0	124,527.9	171.3	1				
Story4	B13	171	Combi6	Combination	Min		2,500	0	-103,942	0	0,0818	0	73,949.1	171.3	0	0,5			
Story1	B13	171	Combi6	Combination	Min		2,000	0	-106,511	0	0,0818	0	21,985.9	171.3	0				
Story1	B13	171	Combi6	Combination	Min		5,328	0	94,707.7	0	0,0698	0	-89,240.1	171.46	0	0,3375			
Story1	B13	171	Combi6	Combination	Max		2,000	0	-114,627	0	0,0745	0	25,441	171.2	1				
Story2	B13	171	Combi6	Combination	Max		1,500	0	-123,196	0	0,0745	0	-94,764.4	171.2	0				
Story1	B13	171	Combi6	Combination	Max		5,675	0	100,836	0	0,0237	0	-62,085.9	171.6	0	0,675			
Story1	B13	171	Combi6	Combination	Min		2,000	0	-122,357	0	0,0591	0	21,712.6	171.2	1				
Story1	B13	171	Combi6	Combination	Min		1,500	0	-125,925	0	0,0591	0	-40,557.9	171.2	0	0,5			
Story1	B13	171	Combi6	Combination	Max		4,500	0	76,335.7	0	0,0591	0	38,896.9	171.5	0				
Story2	B13	171	Combi6	Combination	Max		4,000	0	73,367	0	0,0591	0	74,409.6	171.5	0				
Story1	B13	171	Combi6	Combination	Min		5,675	0	97,146	0	0,0698	0	-72,072.5	171.6	0	0,675			
Story1	B13	171	Combi6	Combination	Min		4,500	0	73,206.6	0	0,0745	0	33,065	171.6	0	0,5			
Story1	B13	171	Combi6	Combination	Min		4,000	0	69,364.9	0	0,0745	0	70,881.1	171.5	0				
Story2	B13	171	Combi6	Combination	Max		4,900	0	57,559.6	0	0,0819	0	-74,271.7	171.4	1				
Story1	B13	171	Combi6	Combination	Max		3,500	0	53,089.9	0	0,0819	0	100,292	171.4	0	0,5			
Story4	B13	171	Combi6	Combination	Max		3,000	0	50,425.1	0	0,0819	0	124,528	171.4	0				
Story1	B13	171	Combi6	Combination	Min		4,000	0	53,825	0	0,0819	0	70,844.1	171.4	1				
Story1	B13	171	Combi6	Combination	Min		3,500	0	50,2562	0	0,0819	0	98,428.2	171.4	0	0,5			
Story1	B13	171	Combi6	Combination	Min		3,000	0	46,875	0	0,0819	0	124,527.9	171.4	0				
Story1	B13	171	Combi6	Combination	Max		1,000	0	-121,764	0	0,0745	0	96,754.3	171.2	0				
Story1	B13	171	Combi6	Combination	Min		1,000	0	-141,411	0	0,0058	0	96,203.3	171.1	1				
Story4	B13	171	Combi6	Combination	Min		1,000	0	-129,484	0	0,0591	0	-104,213	171.2	0				

Story	Beam	Lineup Name	Outer Case	Case Type	Span Type	Span Number	Station	P	W1	W2	W3	T	M1	M2	M3	Element	Beam Station
Story4	B13	171	Comb6	Combination	Min	1,000	0	-265.15	0	0.0236	0	-504.379	171-1	1	0.6625		
Story1	B13	171	Comb6	Combination	Max	0,963	0	-143.859	0	-0.0088	0	-145.063	171-1	0.6625			
Story2	B13	171	Comb6	Combination	Min	0,963	0	-147.569	0	0.0236	0	-153.773	171-1	0.6625			
Story1	B13	171	Comb6	Combination	Max	0,325	0	-146.226	0	-0.0088	0	-133.988	171-1	0.325			
Story4	B13	171	Comb6	Combination	Min	0,325	0	-148.968	0	-0.0236	0	-203.981	171-1	0.325			
Story1	B13	171	Comb7	Combination	Max	2,000	0	-13.696	0	0.4813	0	180.357	171-2	1			
Story1	B13	171	Comb7	Combination	Max	1,500	0	-17.2947	0	0.4813	0	122.635	171-2	0.5			
Story1	B13	171	Comb7	Combination	Min	2,000	0	-15.2097	0	0.4757	0	128.9886	171-2	1			
Story2	B13	171	Comb7	Combination	Min	1,500	0	-18.5984	0	0.4757	0	120.5871	171-2	0.5			
Story1	B13	171	Comb7	Combination	Max	3,000	0	9.257	0	0.4423	0	124.5157	171-3	1			
Story1	B13	171	Comb7	Combination	Max	2,500	0	5.0863	0	0.4423	0	126.252	171-3	0.5			
Story1	B13	171	Comb7	Combination	Max	2,000	0	2.1196	0	0.4423	0	130.264	171-3	0			
Story1	B13	171	Comb7	Combination	Min	3,000	0	7.8933	0	0.437	0	124.5157	171-3	1			
Story2	B13	171	Comb7	Combination	Min	2,500	0	4.2346	0	0.437	0	127.5791	171-3	0.5			
Story1	B13	171	Comb7	Combination	Min	2,000	0	0.7558	0	0.437	0	128.8492	171-3	0			
Story1	B13	171	Comb7	Combination	Max	1,000	0	-20.7934	0	0.4613	0	113.259	171-2	0			
Story1	B13	171	Comb7	Combination	Max	1,000	0	-36.1799	0	0.4763	0	112.6827	171-1	1			
Story2	B13	171	Comb7	Combination	Min	1,000	0	-22.1561	0	0.4757	0	110.4922	171-2	0			
Story1	B13	171	Comb7	Combination	Min	1,000	0	-37.548	0	0.4702	0	110.254	171-1	1			
Story4	B13	171	Comb7	Combination	Max	0,963	0	-38.5988	0	0.4763	0	100.9485	171-1	0.6625			
Story1	B13	171	Comb7	Combination	Min	0,963	0	-39.569	0	0.4702	0	97.155	171-1	0.6625			
Story1	B13	171	Comb7	Combination	Max	0,325	0	-40.3997	0	0.4763	0	86.9153	171-1	0.325			
Story1	B13	171	Comb7	Combination	Min	0,325	0	-42.3658	0	0.4762	0	83.2631	171-1	0.325			
Story1	B13	171	Comb7	Combination	Max	4,000	0	162.4378	0	-0.4369	0	-32.9899	171-4	1			
Story1	B13	171	Comb7	Combination	Min	3,500	0	158.6601	0	-0.4369	0	-46.555	171-4	0.5			
Story4	B13	171	Comb7	Combination	Max	3,000	0	155.3004	0	-0.4369	0	-24.6155	171-4	0			

Story	Beam	Unique Name	Outer Case	Case Type	Span Type	Span Number	Station	P	W1	W2	W3	T	W4	W5	M3	Element	Beam Station	
									m	kN	kN	kNm	kNm	mm	mm	mm		
Story4	B13	171	Comb7	Combination	Min	4,000	0	161,0741	0	0,4422	0	-24,5227	171-4	1				
Story1	B13	171	Comb7	Combination	Min	3,500	0	157,5053	0	-0,4422	0	48,9731	171-4	0.5				
Story2	B13	171	Comb7	Combination	Max	5,000	0	205,447	0	-0,4757	0	-213,308	171-5	1				
Story1	B13	171	Comb7	Combination	Max	5,000	0	201,2538	0	-0,4703	0	-213,564	171-6	0				
Story4	B13	171	Comb7	Combination	Min	5,000	0	184,0924	0	-0,4813	0	-216,327	171-5	1				
Story1	B13	171	Comb7	Combination	Min	5,000	0	199,8857	0	-0,4764	0	-216,283	171-6	0				
Story1	B13	171	Comb7	Combination	Min	5,000	0	153,9356	0	-0,4422	0	524,5154	171-4	0				
Story1	B13	171	Comb7	Combination	Max	4,500	0	191,8853	0	-0,4757	0	-122,244	171-5	0.5				
Story2	B13	171	Comb7	Combination	Max	4,000	0	178,3196	0	-0,4757	0	-32,5747	171-5	0				
Story1	B13	171	Comb7	Combination	Min	4,500	0	180,5236	0	-0,4813	0	-214,291	171-6	0.5				
Story1	B13	171	Comb7	Combination	Min	4,000	0	176,9549	0	-0,4813	0	-214,287	171-5	0				
Story1	B13	171	Comb7	Combination	Min	5,328	0	203,6627	0	-0,4703	0	-261,432	171-6	0.3375				
Story1	B13	171	Comb7	Combination	Min	5,338	0	202,2946	0	-0,4764	0	-284,623	171-6	0.3375				
Story2	B13	171	Comb7	Combination	Max	5,675	0	206,0746	0	-0,4703	0	-350,113	171-6	0.675				
Story1	B13	171	Comb7	Combination	Min	5,675	0	204,7034	0	-0,4764	0	-353,795	171-6	0.675				
Story1	B13	171	Comb8	Combination	Max	2,000	0	175,59	0	0,4659	0	-211,506	171-2	1				
Story1	B13	171	Comb8	Combination	Max	1,500	0	179,159	0	0,4659	0	-120,198	171-2	0.5				
Story2	B13	171	Comb8	Combination	Min	2,000	0	179,694	0	0,47	0	-55,6198	171-2	1				
Story1	B13	171	Comb8	Combination	Min	1,500	0	183,263	0	0,47	0	-126,337	171-2	0.5				
Story4	B13	171	Comb8	Combination	Max	3,000	0	151,573	0	0,4476	0	124,5155	171-3	1				
Story1	B13	171	Comb8	Combination	Max	2,500	0	158,142	0	0,4476	0	47,3388	171-3	0.5				
Story1	B13	171	Comb8	Combination	Max	2,000	0	159,71	0	0,4476	0	-31,6251	171-3	0				
Story1	B13	171	Comb8	Combination	Max	5,000	0	23,6228	0	-0,47	0	115,6576	171-5	1				
Story1	B13	171	Comb8	Combination	Max	5,000	0	38,9381	0	-0,464	0	115,6914	171-6	0				
Story1	B13	171	Comb8	Combination	Min	3,000	0	158,664	0	0,4315	0	124,5154	171-3	1				
Story4	B13	171	Comb8	Combination	Min	2,500	0	160,233	0	0,4315	0	45,2912	171-3	0.5				

Story	Beam	Unique Name	Outer Case	Case Type	Span Type	Span Number	Station	P	W1	W2	W3	T	M1	M2	M3	Element	Beam Station
							m	kN	kN	kN	kN	kNm	kNm	kNm			
Story4	B13	171	Combi8	Combination	Min	2,000	0	-162,802	0	0,4235	0	-26,724	171-3	0			
Story1	B13	171	Combi8	Combination	Min	5,000	0	19,288	0	-0,4899	0	107,6715	171-5	1			
Story2	B13	171	Combi8	Combination	Min	5,000	0	24,1158	0	-0,4925	0	107,6703	171-6	0			
Story1	B13	171	Combi8	Combination	Max	5,328	0	41,325	0	-0,464	0	103,8359	171-6	0	0,3275		
Story4	B13	171	Combi8	Combination	Min	5,328	0	37,2407	0	-0,4825	0	93,3646	171-6	0	0,3275		
Story1	B13	171	Combi8	Combination	Max	5,675	0	43,7359	0	-0,464	0	90,9674	171-6	0	0,675		
Story1	B13	171	Combi8	Combination	Min	5,675	0	59,2396	0	-0,4825	0	79,5169	171-6	0	0,675		
Story1	B13	171	Combi8	Combination	Max	4,900	0	9,6079	0	-0,4315	0	121,6578	171-4	1			
Story2	B13	171	Combi8	Combination	Max	4,900	0	182,728	0	-0,4869	0	-219,67	171-2	0			
Story1	B13	171	Combi8	Combination	Max	3,000	0	-194,538	0	-0,4626	0	-210,8386	171-1	1			
Story1	B13	171	Combi8	Combination	Max	3,500	0	-2,9008	0	-0,4318	0	128,9337	171-4	0			
Story1	B13	171	Combi8	Combination	Max	3,000	0	-6,3295	0	-0,4316	0	124,5157	171-4	0			
Story1	B13	171	Combi8	Combination	Min	4,900	0	-3,4834	0	-0,4477	0	127,4985	171-4	1			
Story2	B13	171	Combi8	Combination	Min	3,500	0	-7,0521	0	-0,4477	0	126,8893	171-4	0			
Story1	B13	171	Combi8	Combination	Min	3,000	0	-10,2908	0	-0,4477	0	124,6157	171-4	0			
Story1	B13	171	Combi8	Combination	Max	4,500	0	19,954	0	-0,47	0	124,6739	171-5	0			
Story1	B13	171	Combi8	Combination	Max	4,900	0	36,3853	0	-0,47	0	131,7177	171-5	0			
Story2	B13	171	Combi8	Combination	Min	4,900	0	-48%,822	0	0,47	0	-219,856	171-2	0			
Story1	B13	171	Combi8	Combination	Min	1,000	0	-20%,622	0	0,4641	0	-219,022	171-1	1			
Story4	B13	171	Combi8	Combination	Min	4,500	0	15,86	0	-0,4869	0	118,5407	171-5	0			
Story1	B13	171	Combi8	Combination	Min	4,900	0	12,2913	0	-0,4869	0	127,6236	171-5	0			
Story1	B13	171	Combi8	Combination	Max	5,663	0	-204,927	0	0,4826	0	-278,242	171-4	0	0,6625		
Story1	B13	171	Combi8	Combination	Min	5,663	0	-204,031	0	0,4641	0	-287,813	171-1	0	0,6625		
Story1	B13	171	Combi8	Combination	Max	3,25	0	-201,335	0	0,4826	0	-346,481	171-1	0,325			
Story1	B13	171	Combi8	Combination	Min	3,25	0	-307,744	0	0,4641	0	-357,417	171-1	0,325			
Story4	B13	171	Combi8	Combination	Max	1,000	0	-19,4329	0	0,2969	0	115,6552	171-2	0			

Story	Beam	Unique Name	Outrest Case	Case Type	Span Type	Span Number	Station	P	W1	W2	W3	T	M1	M2	M3	Element	Beam Station
							m	kN	kN	kN	kN	kNm	kNm	kNm			
Story4	B13	171	Combi9	Combination	Max	1,000	0	-34.8153	0	0.257	0	115.6889	171.1	1			
Story1	B13	171	Combi9	Combination	Min	1,000	0	-23.2669	0	0.28	0	97.6669	171.2	0			
Story2	B13	171	Combi9	Combination	Min	1,000	0	-39.2196	0	0.2935	0	167.5205	171.1	1			
Story1	B13	171	Combi9	Combination	Max	0.963	0	-37.2242	0	0.257	0	103.5323	171.1	0.6625			
Story4	B13	171	Combi9	Combination	Max	2,000	0	-12.2985	0	0.2659	0	131.7194	171.2	1			
Story1	B13	171	Combi9	Combination	Min	0.963	0	-41.2285	0	0.2385	0	93.5669	171.1	0.6625			
Story1	B13	171	Combi9	Combination	Max	0.325	0	-59.633	0	0.257	0	90.5626	171.1	0.35			
Story1	B13	171	Combi9	Combination	Max	1,500	0	-15.6842	0	0.2659	0	124.6795	171.2	0.5			
Story1	B13	171	Combi9	Combination	Max	3,000	0	-10.5488	0	0.2859	0	124.6794	171.3	1			
Story1	B13	171	Combi9	Combination	Max	2,500	0	-7.4481	0	0.2659	0	126.9376	171.3	0.5			
Story1	B13	171	Combi9	Combination	Min	2,000	0	-17.7973	0	0.2659	0	131.6594	171.3	0			
Story1	B13	171	Combi9	Combination	Min	0.325	0	-43.374	0	0.2385	0	79.0661	171.1	0.35			
Story1	B13	171	Combi9	Combination	Min	2,000	0	-16.3895	0	0.28	0	127.6272	171.2	1			
Story2	B13	171	Combi9	Combination	Min	1,500	0	-19.5852	0	0.28	0	118.5493	171.2	0.5			
Story1	B13	171	Combi9	Combination	Min	3,000	0	6.5255	0	0.2659	0	124.6214	171.3	1			
Story1	B13	171	Combi9	Combination	Min	2,500	0	2.3658	0	0.2659	0	126.892	171.3	0.5			
Story1	B13	171	Combi9	Combination	Min	2,000	0	-6.612	0	0.2659	0	127.6262	171.3	0			
Story2	B13	171	Combi9	Combination	Max	4,000	0	163.8056	0	-0.2658	0	-51.6245	171.4	1			
Story1	B13	171	Combi9	Combination	Max	3,500	0	160.2309	0	-0.2658	0	47.3405	171.4	0.5			
Story4	B13	171	Combi9	Combination	Max	3,000	0	156.6862	0	-0.2658	0	124.5212	171.4	0			
Story1	B13	171	Combi9	Combination	Max	4,500	0	183.2571	0	-0.28	0	-120.198	171.5	0.5			
Story1	B13	171	Combi9	Combination	Max	4,000	0	179.6884	0	-0.28	0	-31.509	171.5	0			
Story1	B13	171	Combi9	Combination	Min	4,000	0	159.7143	0	-0.2858	0	-35.7157	171.4	1			
Story1	B13	171	Combi9	Combination	Min	3,500	0	156.1456	0	-0.2858	0	45.2649	171.4	0.5			
Story1	B13	171	Combi9	Combination	Min	3,000	0	152.5759	0	-0.2858	0	124.5211	171.4	0			
Story4	B13	171	Combi9	Combination	Min	4,500	0	179.1631	0	-0.2859	0	-120.338	171.5	0.5			

Story	Beam	Unique Name	Outer Case	Case Type	Span Type	Span Number	Station	P	W1	W2	W3	T	M1	M2	M3	Element	Beam Station	
									m	kN	kN	kNm	kNm	kNm	kNm	kNm		
Story4	B13	171	ConnB	Combination	Min	4,000	0	175,5944	0	0,2969	0	-26,931	171,6	0	0	0		
Story1	B13	171	ConnB	Combination	Max	5,000	0	186,8258	0	-0,28	0	-20,672	171,6	1	0	0		
Story2	B13	171	ConnB	Combination	Max	5,000	0	202,6254	0	0,2386	0	-20,858	171,6	0	0	0		
Story1	B13	171	ConnS	Combination	Min	5,000	0	182,7318	0	-0,2969	0	-26,858	171,6	1	0	0		
Story4	B13	171	ConnS	Combination	Min	5,000	0	198,5211	0	-0,2571	0	-219,024	171,6	0	0	0		
Story1	B13	171	ConnS	Combination	Max	5,338	0	205,0343	0	-0,2386	0	-278,245	171,6	0	0,375	0		
Story1	B13	171	ConnS	Combination	Min	5,338	0	206,9259	0	-0,2571	0	-282,817	171,6	0	0,375	0		
Story1	B13	171	ConnS	Combination	Max	5,675	0	207,4431	0	0,2386	0	-346,468	171,6	0,675	0	0		
Story1	B13	171	ConnS	Combination	Min	5,675	0	203,3368	0	-0,2571	0	-357,422	171,6	0,675	0	0		
Story1	B13	171	Px	Combination		1,500	0	-10,544	0	0,3123	0	-0,374	171,2	0,5	0	0		
Story1	B13	171	Px	Combination		2,000	0	-77,8988	0	0,3123	0	-38,0653	171,2	1	0	0		
Story1	B13	171	Px	Combination		2,000	0	-64,8156	0	0,2622	0	-38,7659	171,3	0	0	0		
Story1	B13	171	Px	Combination		2,500	0	-62,1384	0	0,2922	0	-79,4844	171,3	0,5	0	0		
Story1	B13	171	Px	Combination		3,000	0	-59,4612	0	0,2922	0	-100,893	171,3	1	0	0		
Story1	B13	171	Px	Combination		1,000	0	-33,2212	0	0,3123	0	-14,6737	171,2	0	0	0		
Story1	B13	171	Px	Combination		5,000	0	83,2212	0	-0,3123	0	-41,6737	171,5	1	0	0		
Story1	B13	171	Px	Combination		1,000	0	-96,078	0	0,2936	0	-41,3155	171,1	1	0	0		
Story1	B13	171	Px	Combination		5,000	0	96,078	0	-0,2936	0	-43,3155	171,6	0	0	0		
Story1	B13	171	Px	Combination		0,963	0	-97,8151	0	0,2936	0	-74,5468	171,1	0,6625	0	0		
Story1	B13	171	Px	Combination		5,338	0	97,3851	0	-0,2936	0	-74,5468	171,6	0,375	0	0		
Story1	B13	171	Px	Combination		0,325	0	-99,5922	0	0,2936	0	-107,688	171,1	0,325	0	0		
Story1	B13	171	Px	Combination		5,675	0	99,5922	0	-0,2936	0	-107,688	171,6	0,675	0	0		
Story1	B13	171	Px	Combination		3,000	0	69,4612	0	-0,2922	0	-100,893	171,4	0	0	0		
Story1	B13	171	Px	Combination		3,500	0	62,1384	0	-0,2922	0	-79,4844	171,4	0,5	0	0		
Story1	B13	171	Px	Combination		4,000	0	64,1516	0	-0,2922	0	-38,7559	171,4	1	0	0		
Story1	B13	171	Px	Combination		4,900	0	77,2668	0	-0,3123	0	-38,8653	171,5	0	0	0		

Story	Beam	Unique Name	Output Case	Case Type	Span Type	Span Number	Station	P	V2	V3	T	M2	M3	Element	Beam Station
					m	m	kN	kN	kNm	kNm					m
Story4	B13	171	Px	Combination		4,500	0	80,544	0	0,3123	0	-0,7324	171,6	0,5	

LAMPIRAN TABEL ELEMENT FORCE - BEAM (GRID 2/C-D/LT 1) /TS/

COMBO	Member Reference	Span/Stac k	Size	Positive n	Shear Major	Shear Minor	Moment Major	Moment Minor	Axial Force	Torsion n	Deflection Max	Deflection Min	
C04B1	1B121		350x65	2.675	-55.441	0	68.64	0	0	0.207	1.1	0	
C04B1	1B121	0	350x65	4.013	-76.531	0	13.045	0	0	0.302	0.6	0	
C04B1	1B121	0	350x65	5.35	-90.616	0	-106.502	0	0	0.302	0	0	
C04B1	1B121	0	350x65	0	88.982	0	-205.366	0	0	-0.307	0	0	
C04B1	1B121	0	350x65	1.338	76.024	0	12.685	0	0	-0.307	0.6	0	
C04B1	1B121	0	350x65	2.675	55.671	0	98.841	0	0	0.307	1.1	0	
C04B1	1B121	0	350x65	2.675	10.984	0	123.603	0	0	0.291	1.4	0	
C04B1	1B121	0	350x65	3.4	1.282	0	128.629	0	0	0.231	1.6	0	
C04B1	1B121	0	350x65	3.469	0.006	0	128.878	0	0	0.291	1.6	0	
C04B1	1B121	0	350x65	4.013	-13.536	0	125.416	0	0	0.291	1.5	0	
C04B1	1B121	0	350x65	5.35	-39.446	0	86.564	0	0	0.291	0	0	
C04B1	1B121	0	350x65	0	203.501	0	-350.309	0	0	-0.291	0	0	
C04B1	1B121	0	350x65	0.096	185.712	0	-228.596	0	0	0.291	-0.3	0	
C04B1	1B121	0	350x65	0	1.338	176.519	0	-93.543	0	0	0.291	0.1	0
C04B1	1B121	0	350x65	2.675	153.213	0	123.603	0	0	-0.291	1.4	0	
C04B1	1B121	0	350x65	2.675	-54.924	0	54.159	0	0	0.508	0.6	0	

Combo	Member	Span/Sec	Size	Positive	Negative	Shear Major	Shear Minor	Moment Major	Moment Minor	Axial Force		Torsion		Deflection	
										n	a	M	R	Major	Minor
C0HB1	1	18/21	350x65	4,013	-66,482	0	-25,682	0	0	0.508	0.1	0	0	0	0
C0HB1	1	18/21	350x65	4,936	+76,196	0	-91,963	0	0	0.508	-0.1	0	0	0	0
C0HB1	1	18/21	350x65	5,35	-78,485	0	-124,037	0	0	0.508	0	0	0	0	0
C0HB1	1	18/21	350x65	0	29,692	0	7,367	0	0	0	-0.508	0	0	0	0
C0HB1	1	18/21	350x65	0	13,348	17,111	0	39,702	0	0	0	-0.508	0.5	0	0
C0HB1	1	18/21	350x65	0	2,163	9,652	0	50,367	0	0	0	-0.508	0.7	0	0
C0HB1	1	18/21	350x65	0	2,675	6,006	0	54,159	0	0	0	-0.508	0.6	0	0
C0HB1	2	18/21	350x65	0	2,675	-5,831	0	54,159	0	0	0	-0.508	0.6	0	0
C0HB1	2	18/21	350x65	0	1,189	-8,837	0	50,466	0	0	0	-0.508	0.7	0	0
C0HB1	2	18/21	350x65	4,013	-17,389	0	39,98	0	0	0	-0.508	0.5	0	0	0
C0HB1	2	18/21	350x65	5,35	-29,392	0	7,287	0	0	0	-0.508	0	0	0	0
C0HB1	2	18/21	350x65	0	78,785	0	-123,987	0	0	0	-0.508	0	0	0	0
C0HB1	2	18/21	350x65	0	41,14	76,203	0	-91,784	0	0	0	-0.508	-0.1	0	0
C0HB1	2	18/21	350x65	0	1,338	63,204	0	-25,88	0	0	0	-0.508	0.1	0	0
C0HB1	2	18/21	350x65	0	2,675	55,16	0	54,159	0	0	0	-0.508	0.6	0	0
C0HB1	3	18/21	350x65	0	29,705	0	7,251	0	0	0	0	0.171	0	0	0
C0HB1	3	18/21	350x65	0	1,338	17,123	0	39,703	0	0	0	0	0.171	0.5	0
C0HB1	3	18/21	350x65	0	1,163	9,083	0	50,379	0	0	0	0	0.171	0.7	0

COMEND	Member Reference	Span/Slab k	Site	Position n	Shear Major	Shear Minor	Moment Major	Moment Minor	Axial Force	Torsio n	Deflection Major	Deflection Minor		
C0M81	1B121	3	350e65	2,675	6,079	0	54,176	0	0	0,171	0,6	0		
C0M81	1B121	3	350e65	0	-54,936	0	54,176	0	0	-0,171	0,6	0		
C0M81	1B121	3	350e65	0	4,013	-66,494	0	-25,681	0	0	-0,171	0,1	0	
C0M81	1B121	3	350e65	0	4,036	-76,296	0	-91,981	0	0	-0,171	-0,1	0	
C0M81	1B121	3	350e65	5,35	-78,597	0	-124,032	0	0	0	-0,171	0	0	
C0M81	1B121	4	350e65	0	78,798	0	-123,973	0	0	0	-0,171	0	0	
C0M81	1B121	4	350e65	0	4,414	78,216	0	-91,801	0	0	0,171	-0,1	0	
C0M81	1B121	4	350e65	1,338	65,216	0	-25,879	0	0	0	0,171	0,1	0	
C0M81	1B121	4	350e65	0	2,675	65,172	0	54,176	0	0	0	0,171	0,6	0
C0M81	1B121	4	350e65	0	2,675	-5,843	0	54,176	0	0	-0,171	0,6	0	
C0M81	1B121	4	350e65	0	3,169	-8,468	0	50,478	0	0	0,171	0,7	0	
C0M81	1B121	4	350e65	0	4,013	-17,491	0	39,961	0	0	0,171	0,5	0	
C0M81	1B121	4	350e65	0	5,35	-29,564	0	7,271	0	0	0,171	0	0	
C0M81	1B121	5	350e65	0	2,675	-112,293	0	54,165	0	0	0,27	0,6	0	
C0M81	1B121	5	350e65	0	4,013	-122,791	0	-102,287	0	0	0,27	-0,3	0	
C0M81	1B121	5	350e65	0	4,534	-129,882	0	-168,485	0	0	0,27	-0,5	0	
C0M81	1B121	5	350e65	0	5,35	-139,884	0	-277,254	0	0	0,27	0	0	
C0M81	1B121	5	350e65	0	-27,579	0	169,572	0	0	-0,27	0	0		

Combo	Member	Span/Sec	Size	Polar	Shear	Moment	Axial Force	Torsion	Deflection Major	Deflection Minor
COMB1	18 21	35 60 65	1,338	-40,165	116,388	0	-0,27	1	0	0
COMB1	5	0	35 60 65	1,524	-42,249	0	108,691	0	-0,27	1
COMB1	18 21	0	35 60 65	1,524	-51,294	0	54,165	0	-0,27	0,6
COMB1	6	0	35 60 65	2,675	51,444	0	54,165	0	0,27	0
COMB1	18 21	0	35 60 65	3,226	-42,216	0	109,915	0	0,27	1
COMB1	6	0	35 60 65	4,013	39,982	0	116,388	0	0,27	1
COMB1	18 21	0	35 60 65	5,956	23,778	0	100,438	0	0,27	0
COMB1	6	0	35 60 65	0	126,065	0	-277,174	0	-0,27	0
COMB1	18 21	0	35 60 65	0	129,383	0	-168,388	0	-0,27	0,5
COMB1	6	0	35 60 65	0	133,483	0	-102,485	0	-0,27	0,3
COMB1	18 21	0	35 60 65	2,675	112,459	0	54,165	0	-0,27	0,6
COMB1	7	0	35 60 65	2,675	-112,207	0	54,17	0	0,066	0
COMB1	18 21	0	35 60 65	4,013	-123,765	0	-102,287	0	0,066	-0,3
COMB1	7	0	35 60 65	4,534	-129,695	0	-168,489	0	0,066	-0,5
COMB1	18 21	0	35 60 65	5,35	-135,698	0	-277,288	0	0,066	0
COMB1	7	0	35 60 65	0	-27,575	0	160,568	0	0,066	0
COMB1	18 21	0	35 60 65	0	1,338	-40,156	0	116,388	0	-0,065
COMB1	7	0	35 60 65	0	1,524	-42,246	0	108,691	0	0,066
COMB1	18 21	0	35 60 65	0	0	0	0	0	0,066	0

COMEND	Member Reference	Span/Slab k	Size	Position n	Shear Major	Shear Minor	Moment Major	Moment Minor	Axial Force	Torsio n	Deflection Major	Deflection Minor
C0M01	1B121	7	350x65	2,675	-51,201	0	54,17	0	0	-0,066	0,6	0
C0M01	1B121	8	350x65	0	51,437	0	54,17	0	0	0,066	0,6	0
C0M01	1B121	8	350x65	0	3,828	42,212	0	108,915	0	0	0,066	1
C0M01	1B121	6	350x65	4,013	39,876	0	116,586	0	0	0,066	1	0
C0M01	1B121	6	350x65	0	5,36	27,776	0	103,486	0	0	0,066	0
C0M01	1B121	6	350x65	0	136,069	0	-27,179	0	0	-0,066	0	0
C0M01	1B121	6	350x65	0	0,817	126,387	0	-168,342	0	0	0,066	-0,5
C0M01	1B121	6	350x65	0	1,338	123,487	0	-102,486	0	0	0,066	-0,3
C0M01	1B121	6	350x65	0	2,675	112,443	0	54,17	0	0	0,066	0,6
C0M02	1B121	6	350x65	0	2,675	-76,414	0	132,232	0	0	0,424	1,5
C0M02	1B121	6	350x65	4,013	-101,631	0	16,876	0	0	0,424	0,8	0
C0M02	1B121	6	350x65	0	5,36	-125,363	0	-140,612	0	0	0,424	0
C0M02	1B121	6	350x65	0	126,951	0	-140,366	0	0	0,424	0	0
C0M02	1B121	6	350x65	0	1,338	101,816	0	16,341	0	0	-0,424	0,8
C0M02	1B121	6	350x65	0	2,675	77,04	0	132,232	0	0	-0,424	1,5
C0M03	1B121	6	350x65	0	2,675	-95,376	0	123,792	0	0	0,732	1,4
C0M03	1B121	6	350x65	0	4,013	-119,916	0	-16,853	0	0	0,732	0,6
C0M03	1B121	6	350x65	0	5,36	-145,816	0	-197,881	0	0	0,732	0

COMEND	Member Reference	Span/Slab k	Site	Position n	Shear Major	Shear Minor	Moment Major	Moment Minor	Axial Force	Torsion n	Deflection Major	Deflection Minor
COMH3	1B121		350x65	0	97.224	0	-65.364	0	0	-0.732	0	0
COMH3	1B121		350x65	1.338	70.142	0	48.323	0	0	-0.732	1	0
COMH3	1B121		350x65	2.474	48.616	0	114.213	0	0	-0.732	1.4	0
COMH3	1B121		350x65	2.675	48.854	0	123.792	0	0	-0.732	1.4	0
COMH4	1B121		350x65	2.675	-46.248	0	123.792	0	0	0.732	1.4	0
COMH4	1B121		350x65	2.879	-48.078	0	114.176	0	0	0.732	1.4	0
COMH4	1B121		350x65	4.013	-70.823	0	48.809	0	0	0.732	1	0
COMH4	1B121		350x65	5.36	-96.723	0	66.557	0	0	0.732	0	0
COMH4	1B121		350x65	0	146.317	0	-197.687	0	0	0.732	0	0
COMH4	1B121		350x65	1.338	119.235	0	-17.358	0	0	-0.732	0.6	0
COMH4	1B121		350x65	2.675	86.947	0	123.792	0	0	-0.732	1.4	0
COMH5	1B121		350x65	2.675	-95.399	0	123.809	0	0	0.053	1.4	0
COMH5	1B121		350x65	4.013	-110.959	0	-16.852	0	0	0.053	0.6	0
COMH5	1B121		350x65	5.36	-145.828	0	-197.687	0	0	0.053	0	0
COMH5	1B121		350x65	0	97.237	0	-66.379	0	0	-0.053	0	0
COMH5	1B121		350x65	1.338	70.115	0	48.324	0	0	-0.053	1	0
COMH5	1B121		350x65	2.474	48.628	0	114.223	0	0	-0.053	1.4	0
COMH5	1B121		350x65	2.675	48.866	0	123.809	0	0	0.053	1.4	0

COMEND	Member Reference	Span/Stac k	Site	Position n	Shear Major	Shear Minor	Moment Major	Moment Minor	Axial Force	Torsio n	Deflection Major	Deflection Minor	
COHB65	1B121		350e65	2.675	-46.296	0	123.819	0	0	0.053	-1.4	0	
COMBS65	1B121		350e65	0	2.879	-48.033	0	114.193	0	0	0.053	-1.4	0
COMBS65	1B121		350e65	4.013	-70.836	0	-49.81	0	0	0.053	1	0	
COMBS65	1B121		350e65	0	5.35	-96.735	0	-86.573	0	0	0.053	0	0
COMBS65	1B121		350e65	0	148.33	0	-197.703	0	0	-0.053	0	0	
COMBS65	1B121		350e65	1.338	119.248	0	-17.338	0	0	-0.053	0.6	0	
COMBS65	1B121		350e65	2.675	95.959	0	123.809	0	0	0.053	1.4	0	
COMB67	1B121		350e65	2.675	-155.666	0	123.798	0	0	0.495	-1.4	0	
COMB67	1B121		350e65	4.013	-177.186	0	-93.468	0	0	0.495	0.1	0	
COMB67	1B121		350e65	4.795	-194.071	0	-246.045	0	0	0.495	-0.3	0	
COMB67	1B121		350e65	5.35	-203.066	0	-163.088	0	0	0.495	0	0	
COMB67	1B121		350e65	0	29.953	0	86.842	0	0	0.495	0	0	
COMB67	1B121		350e65	0	1.338	12.871	0	124.929	0	0	0.495	1.5	0
COMB67	1B121		350e65	0	1.987	0.062	0	126.45	0	0	-0.495	1.6	0
COMB67	1B121		350e65	0	1.991	-0.054	0	123.411	0	0	-0.495	1.6	0
COMB67	1B121		350e65	0	2.675	-10.417	0	123.798	0	0	-0.495	1.4	0
COMBS68	1B121		350e65	0	2.675	10.988	0	123.798	0	0	0.495	1.4	0
COMBS68	1B121		350e65	3.4	1.386	0	128.827	0	0	0.495	1.6	0	

COMEND	Member Reference	Span/Slab k	Site	Position n	Shear Major	Shear Minor	Moment Major	Moment Minor	Axial Force	Torsion n	Deflection Major	Deflection Minor	
COHBB	1B121		350e65	3.469	0.008	0	128.875	0	0	0.495	-1.6	0	
COHBB	1B121		350e65	0	4.013	-13.532	0	125.415	0	0	0.495	1.5	0
COHBB	1B121		350e65	0	5.36	-39.432	0	36.648	0	0	0.495	0	0
COHBB	1B121		350e65	0	203.597	0	-350.904	0	0	-0.495	0	0	0
COHBB	1B121		350e65	0	0.568	195.708	0	-229.531	0	0	-0.495	-0.3	0
COHBB	1B121		350e65	1.398	176.535	0	-35.944	0	0	-0.495	0.1	0	0
COHBB	1B121		350e65	0	2.675	153.227	0	123.798	0	0	0.495	1.4	0
COHBB	1B121		350e65	2.675	-152.36	0	123.603	0	0	0.291	1.4	0	0
COHBB	1B121		350e65	4.013	-177.189	0	-35.468	0	0	0.291	0.1	0	0
COHBB	1B121		350e65	4.795	-196.075	0	-240.09	0	0	0.291	-0.3	0	0
COHBB	1B121		350e65	5.36	-203.069	0	-351.103	0	0	0.291	0	0	0
COHBB	1B121		350e65	0	39.957	0	86.338	0	0	0.291	0	0	0
COHBB	1B121		350e65	0	1.338	12.875	0	124.93	0	0	0.291	1.5	0
COHBB	1B121		350e65	0	1.907	0.002	0	128.433	0	0	-0.291	1.6	0
COHBB	1B121		350e65	0	1.951	-0.83	0	128.444	0	0	-0.291	1.6	0
COHBB	1B121		350e65	0	2.675	-10.413	0	123.803	0	0	-0.291	1.4	0
PX	1B121		350e65	0	2.675	-57.639	0	103.308	0	0	0.32	1.1	0
PX	1B121		350e65	4.013	-771.186	0	12.878	0	0	0.32	0.6	0	0

COMEND	Member Reference	Span/Stack k	Site	Position n	Shear Major	Shear Minor	Moment Major	Moment Minor	Axial Force	Torsio n	Deflection Major	Deflection Minor
PX	1B121		350665 0	5.35	-97.837	0	-106.906	0	0	0.32	0	0
PX	1B121		350665 0	0	98.251	0	-106.747	0	0	-0.32	0	0
PX	1B121		350665 0	1.398	76.625	0	12.478	0	0	-0.32	0.6	0
PX	1B121		350665 0	2.675	68.127	0	103.008	0	0	-0.32	1.1	0
SHEAR	1B121		350665 0	2.675	-65.579	0	114.428	0	0	0.364	1.3	0
SHEAR	1B121		350665 0	4.013	-88.119	0	14.742	0	0	0.364	0.7	0
SHEAR	1B121		350665 0	5.35	-111.925	0	-122.125	0	0	0.364	0	0
SHEAR	1B121		350665 0	0	112.391	0	-121.946	0	0	0.363	0	0
SHEAR	1B121		350665 0	1.398	87.486	0	14.29	0	0	0.363	0.7	0
SHEAR	1B121		350665 0	2.675	65.109	0	114.425	0	0	-0.363	1.3	0

LAMPIRAN TABLE ELEMENT FORCE - COLUMN (GRID 2/D/LT1) (ETABS)

23

TABLE: Element Forces - Columns

Story	Column	Unique Name	Output Case	Case Type	Step Type	Step Number	Station	S6 kN	V6 kN	V9 kN	T kNm	M3 kNm	Element	Item Station
Story2	C14	296	Comb11	Combination		3.35	-389.4981	0.051	-1.1401	0	2,375.5	-4,303	296	3,35
Story2	C14	296	Comb11	Combination		1,675	0.051	-1.1401	0	0.4658	0.0551	296	1,675	
Story2	C14	296	Comb11	Combination		0	3,923.2981	0.051	-1.1401	0	-1,443.9	0.1406	296	0
Story2	C14	296	Comb10	Combination	Max	3.35	-3843.7803	-151.4834	-50.9601	2,1764	69.3133	208.344	296	3,35
Story2	C14	296	Comb10	Combination	Min	3.35	-3944.107	-154.0866	53.3553	-2,754	65.6026	205.348	296	3,35
Story2	C14	296	Comb10	Combination	Max	1,675	-3869.4093	-151.4834	-50.9601	2,1764	-19.7689	-48.6	296	1,675
Story2	C14	296	Comb10	Combination	Min	1,675	-3869.7253	-150.1086	53.3553	-2,754	-20.8927	-49.8979	296	1,675
Story2	C14	296	Comb10	Combination	Max	0	-3996.022	-151.4834	-50.9601	2,1764	-105.1404	-302.3347	296	0
Story2	C14	296	Comb10	Combination	Min	0	-3955.3487	-154.1086	53.3553	-2,754	111.0988	-37.6392	296	0
Story2	C14	296	Comb11	Combination	Max	3.35	-177.6745	48.4792	171.0389	5,3488	-204.8874	-57.3178	296	3,35
Story2	C14	296	Comb11	Combination	Min	3.35	-1722.5537	42.3024	163.1459	-5,3488	-24,5930	-56.08834	296	3,35
Story2	C14	296	Comb11	Combination	Max	1,675	-1765.4151	49.4792	171.0389	5,3488	71.5401	15,9706	296	1,675
Story2	C14	296	Comb11	Combination	Min	1,675	-1787.2894	42.3024	163.1459	-5,3488	68.4664	13,0382	296	1,675
Story2	C14	296	Comb11	Combination	Max	0	-1801.1559	49.4792	171.0389	5,3488	35.0303	9.6355	296	0
Story2	C14	296	Comb11	Combination	Min	0	-1802.0563	42.3024	163.1459	-5,3488	345.7442	64.3943	296	0
Story2	C14	296	Comb12	Combination	Max	3.35	-1771.7519	-40.071	172.7707	8.5604	-202.5029	68.3499	296	3,35
Story2	C14	296	Comb12	Combination	Min	3.35	-1773.0172	-50.9975	161.4148	-8,5604	-217.1760	55.1846	296	3,35
Story2	C14	296	Comb12	Combination	Max	1,675	-1788.4925	-40.071	172.7707	8.5604	72.2144	-12.3859	296	1,675
Story2	C14	296	Comb12	Combination	Min	1,675	-1787.7576	-50.9975	161.4148	-8,5604	-16.2709	296	1,675	
Story2	C14	296	Comb12	Combination	Max	0	-1801.2352	-40.071	172.7707	8.5604	361.1605	-81.0629	296	0
Story2	C14	296	Comb12	Combination	Min	0	-1802.4985	-50.9975	161.4148	-8,5604	338.1692	-124.8917	296	0

TABLE Element Forces Columns														
23	Column	Unique Name	Output Case	Case Type	Step Type	Step Number	Station	E3	V2	V3	M2	M3	Element Station	
							m	N	N	N	N	N	m	
Story2	C14	266	Comb13	Combination	Max	3.35	-1809.4955	61.01534	-162.6872	215.7794	-55.21.81	266	3.35	
Story2	C14	266	Comb13	Combination	Min	3.35	1810.6798	40.72389	-174.0169	8.5654	205.15338	-56.03.931	266	
Story2	C14	266	Comb13	Combination	Max	1.675	-1824.1461	51.01534	-162.6872	8.5654	-67.24857	16.5313	266	1.675
Story2	C14	266	Comb13	Combination	Min	1.675	-1825.4114	40.72089	-174.0169	8.5654	-71.704	12.26334	266	1.675
Story2	C14	266	Comb13	Combination	Max	0	-1838.8869	51.01534	-162.6872	8.5654	-338.7613	102.0467	266	0
Story2	C14	266	Comb13	Combination	Min	0	-1840.1921	40.72089	-174.0169	8.5654	-363.1674	8.1.21.689	266	0
Story2	C14	266	Comb14	Combination	Max	3.35	-1809.8693	-42.2462	-164.399	5.9468	217.553	6.6.5501	266	3.35
Story2	C14	266	Comb14	Combination	Min	3.35	-1810.7482	-43.4223	-172.2682	5.9458	207.4103	6.7.2566	266	3.35
Story2	C14	266	Comb14	Combination	Max	1.675	-1824.6095	-42.2462	-164.399	5.9468	-67.958	13.4778	266	1.675
Story2	C14	266	Comb14	Combination	Min	1.675	-1825.4088	-43.4223	-172.2682	5.9458	-71.0297	-15.8332	266	1.675
Story2	C14	266	Comb14	Combination	Max	0	-1838.2602	-42.2462	-164.399	5.9468	-342.20263	-84.2403	266	0
Story2	C14	266	Comb14	Combination	Min	0	-1840.2295	-43.4223	-172.2682	5.9458	-359.61.24	-86.71.45	266	0
Story2	C14	266	Comb15	Combination	Max	3.35	-1784.9112	15.2196	51.1342	2.1764	-60.1973	-205.2134	266	3.35
Story2	C14	266	Comb15	Combination	Min	3.35	-1785.2239	15.5892	46.2479	2.1754	-63.938	-239.712	266	3.35
Story2	C14	266	Comb15	Combination	Max	1.675	-1799.6518	15.12146	51.1342	2.1764	21.7416	49.9495	266	1.675
Story2	C14	266	Comb15	Combination	Min	1.675	-1809.9305	15.15892	46.2479	2.1754	20.618	46.8985	266	1.675
Story2	C14	266	Comb15	Combination	Max	0	-1814.3925	15.2196	51.1342	2.1764	107.2617	307.0629	266	0
Story2	C14	266	Comb16	Combination	Max	3.35	-1785.4919	146.54079	54.0205	6.1291	-101.4933	-326.6105	266	3.35
Story2	C14	266	Comb16	Combination	Min	3.35	-1789.4559	-156.7841	45.5516	-6.5321	-95.4960	212.794	266	3.35
Story2	C14	266	Comb16	Combination	Max	1.675	-1800.2315	-146.8079	54.0205	6.1291	22.8656	-47.7402	266	1.675
Story2	C14	266	Comb16	Combination	Min	1.675	-1801.1966	-156.7841	45.5516	-6.5321	-49.4942	-45.4534	266	1.675
Story2	C14	266	Comb16	Combination	Max	0	-1814.9722	-146.8079	54.0205	6.1291	113.3499	-297.161	266	0
Story2	C14	266	Comb16	Combination	Min	0	-1815.9373	-156.7841	45.5516	-6.5321	95.4749	-33.0474	266	0

TABLE Element Errors - Columns																	
23	Story	Column	Unique Name	Output Case	Case Type	Step Type	Step Number	Station	Y ₁	Y ₂	Y ₃	M ₁	M ₂	M ₃	Element	Element Station	
Story2	C14	296	Comb17	Combination	Max				EN	EN	EN	EN	EN	EN			
Story2	C14	296	Comb17	Combination	Min				156.84	-48.6109	61.2931	70.2216	61.2931	-201.7139	296	3.35	
Story2	C14	296	Comb17	Combination	Max				3.35	179.9219	148.9538	55.2697	-6.5331	50.0584	-232.2126	296	3.35
Story2	C14	296	Comb17	Combination	Min				1.675	181.0703	156.84	48.6109	61.2931	-18.9888	56.4944	296	1.675
Story2	C14	296	Comb17	Combination	Min				1.675	181.6724	146.9630	55.2697	-6.5331	-22.3562	47.3006	296	1.675
Story2	C14	296	Comb17	Combination	Max				0	182.5446	156.84	46.6109	61.2931	-97.057	31.3204	296	0
Story2	C14	296	Comb17	Combination	Min				0	182.6413	148.9538	55.2697	-6.5331	114.3832	-297.315	296	0
Story2	C14	296	Comb18	Combination	Max				3.35	-179.1989	-151.6333	-49.4972	21.784	66.5109	208.6726	296	3.35
Story2	C14	296	Comb18	Combination	Min				3.35	-179.5115	-154.1637	-52.3635	-2.1784	62.8602	205.1802	296	3.35
Story2	C14	296	Comb18	Combination	Max				1.675	-181.9304	-151.6333	-49.4972	21.784	-28.1976	-48.6341	296	1.675
Story2	C14	296	Comb18	Combination	Min				1.675	-181.7282	-154.1637	-52.3635	-2.1784	-21.2334	-49.3561	296	1.675
Story2	C14	296	Comb18	Combination	Max				0	-182.6711	-151.6333	-49.4972	21.784	168.0154	-302.4655	296	0
Story2	C14	296	Comb18	Combination	Min				0	-182.9929	-154.1637	-52.3635	-2.1784	-108.9737	-307.7519	296	0
Story2	C14	296	Comb2	Combination					3.35	-412.0719	0.0906	-2.5932	0	4.9834	-0.0719	296	3.35
Story2	C14	296	Comb2	Combination	Max				1.675	-412.6143	0.0906	-2.5932	0	0.6338	0.0227	296	1.675
Story2	C14	296	Comb2	Combination	Min				0	-416.8208	0.0906	-2.5932	0	-3.7037	0.2423	296	0
Story2	C14	296	Comb3	Combination	Max				3.35	-381.8227	49.5281	169.5668	53.9488	-292.0065	-57.5832	296	3.35
Story2	C14	296	Comb3	Combination	Min				3.35	-391.9148	42.3612	161.6789	-5.9488	-212.1477	-96.6238	296	3.35
Story2	C14	296	Comb3	Combination	Max				1.675	-394.0386	49.5281	169.5668	53.9488	71.8766	161.0307	296	1.675
Story2	C14	296	Comb3	Combination	Min				1.675	-394.4767	42.3512	161.6789	-5.9488	13.9764	296	1.675	
Story2	C14	296	Comb3	Combination	Max				0	-395.5067	49.5281	169.5668	53.9488	355.9553	96.9603	296	0
Story2	C14	296	Comb3	Combination	Min				0	-397.7036	42.3512	161.6789	-5.9488	339.6192	84.5156	296	0
Story2	C14	296	Comb4	Combination	Max				3.35	-391.9474	-40.6721	171.2996	8.5604	-159.7785	68.5405	296	3.35
Story2	C14	296	Comb4	Combination	Min				3.35	-391.9512	-50.9416	169.9471	-8.5604	214.5741	86.1384	296	3.35
Story2	C14	296	Comb4	Combination	Max				1.675	-394.5957	-40.6721	171.2996	8.5604	72.5551	-12.1699	296	1.675

TABLE Element Forces Columns														
23	Column	Unique Name	Output Case	Case Type	Step Type	Step Number	Station	E3 kN	V2 kN	V3 kN	M2 kNm	M3 kNm	Element Station	
Story2	C14	266	Comb4	Combination	Min	1.675	-3845.231	-50.9476	169.9471	68.1328	-16.4328	266	1.675	
Story2	C14	266	Comb4	Combination	Max	0	3869.5814	-49.6211	171.2998	8.5604	265.4903	-90.3412	266	0
Story2	C14	266	Comb4	Combination	Min	0	-3870.8434	-50.9476	169.9471	-8.5604	265.0442	-101.77	266	0
Story2	C14	266	Comb5	Combination	Max	3.25	-3939.6001	51.1030	-164.1361	8.5604	222.5618	-55.2635	266	3.25
Story2	C14	266	Comb5	Combination	Min	3.35	-3867.2663	40.7088	-37.4008	-8.5604	207.8962	-69.0246	266	3.35
Story2	C14	266	Comb5	Combination	Max	1.675	-3981.6159	51.1030	-164.1361	8.5604	96.9461	16.5689	266	1.675
Story2	C14	266	Comb5	Combination	Min	1.675	-3862.8846	40.7088	-37.4008	-8.5604	-71.3485	13.0376	266	1.675
Story2	C14	266	Comb5	Combination	Max	0	-4007.2377	51.1030	-164.1361	8.5604	-341.8763	102.1675	266	0
Story2	C14	266	Comb6	Combination	Min	0	-4008.503	40.7088	-37.4008	-8.5604	-385.3124	8.1387	266	0
Story2	C14	266	Comb6	Combination	Max	3.35	-3989.4644	-42.1963	-36.8669	5.3488	220.3554	66.5047	266	3.35
Story2	C14	266	Comb6	Combination	Min	3.35	-3867.2437	49.9224	-37.3759	5.3488	210.2127	57.7232	266	3.35
Story2	C14	266	Comb6	Combination	Max	1.675	-3862.9826	-42.1963	-36.8669	5.3488	-67.6193	-13.5397	266	1.675
Story2	C14	266	Comb6	Combination	Min	1.675	-3982.962	-49.9224	-37.3759	-5.3488	-70.6931	-15.8954	266	1.675
Story2	C14	266	Comb6	Combination	Max	0	-4007.7014	-42.1963	-36.8669	5.3488	346.5514	84.1156	266	0
Story2	C14	266	Comb6	Combination	Min	0	-4008.504	-49.9224	-37.3759	-5.3488	-361.7274	-96.6938	266	0
Story2	C14	266	Comb7	Combination	Max	3.35	-3851.5067	154.2945	49.6563	2.7064	-57.3849	-20.5269	266	3.35
Story2	C14	266	Comb7	Combination	Min	3.35	-3831.8294	151.6391	46.7771	-2.7064	-61.1666	-20.7524	266	3.35
Story2	C14	266	Comb7	Combination	Max	1.675	-3857.126	154.2945	49.6563	2.7064	22.0816	49.5356	266	1.675
Story2	C14	266	Comb7	Combination	Min	1.675	-3867.4467	151.6391	46.7771	-2.7064	20.9567	48.7367	266	1.675
Story2	C14	266	Comb7	Combination	Max	0	-3882.7434	154.2945	49.6563	2.7064	105.2666	30.8227	266	0
Story2	C14	266	Comb7	Combination	Min	0	-3830.0651	151.6391	46.7771	-2.7064	99.3063	30.2732	266	0
Story2	C14	266	Comb8	Combination	Max	3.35	-3862.0864	-146.4981	52.5496	6.5291	-53.6441	242.134	266	3.35
Story2	C14	266	Comb8	Combination	Min	3.35	-3833.0514	-156.2342	43.9067	-6.5291	-64.8163	201.8382	266	3.35
Story2	C14	266	Comb8	Combination	Max	1.675	-3887.7047	-148.4981	52.5496	6.5291	23.2049	-47.702	266	1.675

TABLE Element Forces Columns															
23	Story	Column	Unique Name	Output Case	Case Type	Step Type	Step Number	Station	E3 kN	V2 kN	V3 kN	M2 kNm	M3 kNm	Element	Element Station
Story2	C14	266	Combi8	Combination	Min		1.675	-3659.6098	-16.7342	43.9407	-6.5291	19.8320	-50.3938	266	1.675
Story2	C14	266	Combi8	Combination	Max		0	3692.2321	146.6581	52.5496	6.2941	111.2349	267.0293	266	0
Story2	C14	266	Combi8	Combination	Min		0	-3684.2480	-16.7342	43.9407	-6.5291	93.3469	-312.9256	266	0
Story2	C14	266	Combi8	Combination	Max		3.25	-3642.5622	156.6869	-44.0617	6.2941	73.0234	-211.7603	266	3.25
Story2	C14	266	Combi8	Combination	Min		3.35	-3843.5272	149.0137	-55.2496	-6.5291	61.8938	-212.2348	266	3.35
Story2	C14	266	Combi8	Combination	Max		1.675	3669.1006	156.6869	-48.0617	6.2941	18.6461	60.3226	266	1.675
Story2	C14	266	Combi8	Combination	Min		1.675	-3669.1455	149.0137	-55.2496	-6.5291	-22.0165	47.5388	266	1.675
Story2	C14	266	Combi8	Combination	Max		0	3693.7980	156.6869	-44.0617	6.2941	59.1921	313.2321	266	0
Story2	C14	266	Combi8	Combination	Min		0	-3694.7654	149.0137	-55.2496	-6.5291	117.0657	297.4368	266	0

LAMPIRAN TABEL ELEMENT FORCE – COLUMN (GRID 2D LT1) (TSI)

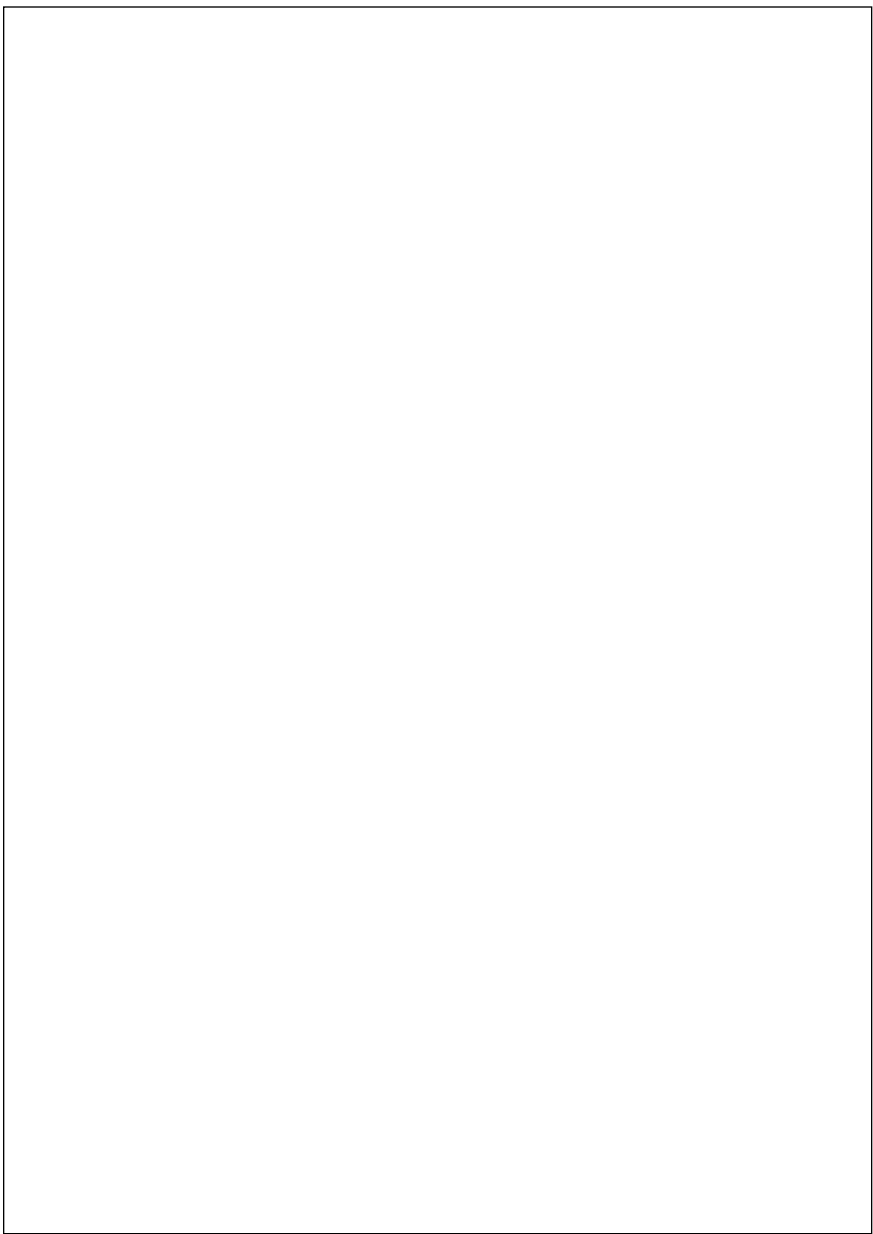
COMB	Member Reference	Site	Position	Shear Major	Shear Minor	Moment Major	Moment Minor	Axial Force	Torsion	Deflection Major	Deflection Minor
C0NB15	C497	650/750	3.35	-170.254	45.946	-171.895	62.117	3952.475	0.001	0	0
C0NB15	C497	650/750	3.131	-170.254	45.946	-178.583	52.103	3955.625	0.001	0	0
C0NB15	C497	650/750	3.016	-170.254	45.946	-159.083	46.829	3955.7561	0.001	0	0
C0NB15	C497	650/750	1.673	-170.254	45.946	170.291	-14.789	3897.8768	0.001	0.2	-0.1
C0NB15	C497	650/750	1.033	-170.254	45.946	178.643	-44.3	3887.91	0.001	0.3	-0.1
C0NB15	C497	650/750	0.978	-170.254	45.946	188.025	-46.821	3984.753	0.001	0.3	-0.1
C0NB15	C497	650/750	0	-170.254	45.946	354.467	-91.748	4093.702	0.001	0	0
C0NB15	C497	650/750	0	-170.254	45.946	354.467	91.426	4094.024	0	0	0
C0NB15	C497	650/750	0.977	-170.254	45.946	168.148	-46.681	3895.096	0	0.3	0.1
C0NB15	C497	650/750	1.033	-170.254	45.946	178.643	44.124	3938.232	0	0.3	0.1
C0NB15	C497	650/750	1.675	-170.254	45.946	189.291	14.698	3979.41	0	0.2	0.1
C0NB15	C497	650/750	3.131	-170.254	45.946	-170.583	-52.002	3956.147	0	0	0
C0NB15	C497	650/750	3.35	-170.254	45.946	-215.886	-62.039	3955.795	0	0	0
C0NB13	C497	650/750	0	-188.639	45.904	351.991	-61.654	3938.255	0	0	0
C0NB13	C497	650/750	0.977	-188.639	45.904	187.155	-46.785	3827.651	0	0.3	-0.1
C0NB13	C497	650/750	1.036	-188.639	45.904	177.295	-44.101	3827.116	0	0.3	-0.1
C0NB13	C497	650/750	1.675	-188.639	45.904	69.52	-14.765	1821.49	0	0.2	-0.1
C0NB13	C497	650/750	3.016	-188.639	45.904	-156.586	46.782	3895.687	0	0	0
C0NB13	C497	650/750	3.139	-188.639	45.904	-177.333	52.429	1881.604	0	0	0
C0NB13	C497	650/750	3.35	-188.639	45.904	-212.951	62.125	3895.745	0	0	0
C0NB14	C497	650/750	0	-188.639	-45.655	351.991	94.53	3835.557	0	0	0
C0NB14	C497	650/750	0.977	-188.639	-45.655	187.221	46.727	3827.956	0	0.3	0.1

COMB	Member Reference	Size	Position	Shear Major	Shear Minor	Moment Major	Moment Minor	Axial Force	Tension	Deflection Major	Deflection Minor
CONHB14	C497	650/7.50	1.036	-188.6339	-45.8655	177.294	44.028	1872.458	0	0.3	0.1
CONHB14	C497	650/7.50	1.675	-188.6339	-45.8655	69.52	14.723	5921.912	0	0.2	0.1
CONHB14	C497	650/7.50	3.015	-188.6339	-45.8655	-156.458	-46.723	3910.015	0	0	0
CONHB14	C497	650/7.50	3.129	-188.6339	-45.8655	-177.303	-52.4	2610.926	0	0	0
CONHB14	C497	650/7.50	3.35	-188.6339	-45.8655	-212.951	-62.085	1897.066	0	0	0
CONHB9	C497	650/7.50	0	-52.738	152.958	108.346	-305.453	3952.516	0.001	0	0
CONHB9	C497	650/7.50	0.977	-52.738	152.958	59.296	-156.929	3897.571	0.001	0.1	-0.3
CONHB9	C497	650/7.50	1.621	-52.738	152.958	54.597	-149.137	3974.687	0.001	0.1	-0.3
CONHB9	C497	650/7.50	1.675	-52.738	152.958	20.038	-49.191	3986.963	0.001	0.1	-0.2
CONHB9	C497	650/7.50	3.018	-52.738	152.958	-50.597	155.957	3946.403	0.001	0	0
CONHB9	C497	650/7.50	3.106	-52.738	152.958	-54.967	165.728	3945.1021	0.001	0	0
CONHB9	C497	650/7.50	3.35	-52.738	152.958	-67.833	3944.269	0.001	0	0	0
CONHB10	C497	650/7.50	0	-52.737	-152.958	108.838	3051.151	3953.589	0	0	0
CONHB10	C497	650/7.50	0.977	-52.737	-152.958	57.306	155.779	3978.646	0	0.1	0.3
CONHB10	C497	650/7.50	1.021	-52.737	-152.958	54.97	145.069	3977.969	0	0.1	0.3
CONHB10	C497	650/7.50	1.675	-52.737	-152.958	29.103	49.1	3952.975	0	0.1	0.2
CONHB10	C497	650/7.50	3.015	-52.737	-152.958	-50.175	-155.767	3947.461	0	0	0
CONHB10	C497	650/7.50	3.106	-52.737	-152.958	-54.961	-149.64	3946.094	0	0	0
CONHB10	C497	650/7.50	3.35	-52.737	-152.958	-67.833	-206.55	3942.961	0	0	0
CONHB17	C497	650/7.50	0	-51.123	152.957	105.362	-305.37	1875.049	0	0	0
CONHB17	C497	650/7.50	0.977	-51.123	152.957	56.939	-156.854	3916.446	0	0.1	-0.3
CONHB17	C497	650/7.50	1.632	-51.123	152.957	53.613	-147.546	3855.966	0	0.1	-0.3
CONHB17	C497	650/7.50	1.675	-51.123	152.957	20.731	-49.167	3810.304	0	0.1	-0.2
CONHB17	C497	650/7.50	3.015	-51.123	152.957	-47.798	155.871	3798.503	0	0	0
CONHB17	C497	650/7.50	3.129	-51.123	152.957	-53.595	173.215	3797.505	0	0	0

COMB	Member Reference	Size	Position	Shear Major	Shear Minor	Moment Major	Moment Minor	Axial Force	Torsion	Deflection Major	Deflection Minor
COMB17	C497	650/750	3.35	-51.123	152.957	-464.699	207.058	1795.569	0	0	0
COMB18	C497	650/750	0	-51.122	-152.966	168.362	365.245	1826.522	0	0	0
COMB19	C497	650/750	0.977	-51.122	-152.966	56.405	155.805	1817.519	0	0.1	0.3
COMB20	C497	650/750	1.622	-51.122	-152.966	53.012	147.472	1817.059	0	0.1	0.3
COMB28	C497	650/750	1.675	-51.122	-152.966	29.731	49.125	1811.376	0	0.1	0.2
COMB18	C497	650/750	3.015	-51.122	-152.966	-47.767	-156.813	1795.578	0	0	0
COMB28	C497	650/750	3.129	-51.122	-152.966	-53.495	-170.196	1795.577	0	0	0
COMB18	C497	650/750	3.35	-51.122	-152.966	-44.699	-206.905	1795.651	0	0	0
SHEAR	C497	650/750	0	-2.373	0.916	3.568	0.456	3984.419	0	0	0
PX	C497	650/750	0	-2.044	0.055	3.695	-0.179	3198.667	0	0	0
COMB2	C497	650/750	0	-2.876	0.076	-4.382	-0.174	4108.52	0.001	0	0
COMB2	C497	650/750	1.675	-2.876	0.076	-0.24	-4145.468	0.001	0	0	0
SHEAR	C497	650/750	1.675	-2.373	0.066	-0.407	-0.045	3962.805	0	0	0
COMB2	C497	650/750	3.35	-2.876	0.076	-5.251	0.08	4172.365	0.001	0	0
PX	C497	650/750	1.675	-2.044	0.055	-0.229	-0.036	3179.448	0	0	0
COMB1	C497	650/750	0	-1.383	0.945	1.993	-0.113	3322.715	0	0	0
PX	C497	650/750	3.35	-2.044	0.055	-3.754	0.057	3161.23	0	0	0
SHEAR	C497	650/750	3.35	-2.373	0.066	-4.382	0.086	3937.452	0	0	0
COMB1	C497	650/750	1.675	-1.383	0.045	-0.205	-0.036	3295.869	0	0	0
COMB1	C497	650/750	3.35	-1.383	0.045	-2.642	0.037	3268.903	0	0	0
COMB87	C497	650/750	3.35	47.991	152.986	59.099	207.061	3852.023	0.001	0	0
COMB87	C497	650/750	3.383	47.991	152.986	51.077	181.601	3834.57	0.001	0	0
COMB87	C497	650/750	3.016	47.991	152.986	43.021	155.917	3837.157	0.001	0	0
COMB87	C497	650/750	1.675	47.991	152.986	-21.316	-49.101	3857.657	0.001	-0.1	-0.2
COMB87	C497	650/750	1.065	47.991	152.986	-51.075	-144.064	3867.119	0.001	-0.1	-0.3

COMB	Member Reference	Size	Position	Shear Major	Shear Minor	Moment Major	Moment Minor	Axial Force	Tension	Deflection Major	Deflection Minor
COMB87	C497	650/7.50	0.977	47.994	152.988	-54.798	-156.929	3986.305	0.001	-0.1	-0.3
COMB87	C497	650/7.50	0	47.994	152.988	-103.701	308.464	3980.25	0.001	0	0
COMB88	C497	650/7.50	3.25	47.994	152.986	-152.986	3933.095	0	0	0	0
COMB88	C497	650/7.50	3.25	47.994	152.986	59.07	181.402	3935.642	0	0	0
COMB88	C497	650/7.50	3.015	47.994	152.986	43.014	-156.767	3938.215	0	0	0
COMB88	C497	650/7.50	1.675	47.994	152.986	-21.316	49.1	3955.709	0	-0.1	0.2
COMB88	C497	650/7.50	1.065	47.994	152.986	-0.175	145.891	3984.191	0	-0.1	0.3
COMB88	C497	650/7.50	0.977	47.994	152.986	-54.807	155.779	3989.38	0	-0.1	0.3
COMB88	C497	650/7.50	0	47.994	152.986	-101.701	303.151	3984.222	0	0	0
COMB85	C497	650/7.50	3.25	49.606	152.957	62.018	207.056	1786.269	0	0	0
COMB85	C497	650/7.50	3.157	49.606	152.957	52.413	177.464	1787.995	0	0	0
COMB85	C497	650/7.50	3.015	49.606	152.957	45.41	155.871	1785.207	0	0	0
COMB85	C497	650/7.50	1.675	49.606	152.957	-21.067	49.167	2601.058	0	-0.1	-0.2
COMB85	C497	650/7.50	1.044	49.606	152.957	-52.405	-146.735	3895.595	0	-0.1	-0.3
COMB85	C497	650/7.50	0.977	49.606	152.957	-55.807	-155.884	1807.18	0	-0.1	-0.3
COMB85	C497	650/7.50	0	49.606	152.957	-104.177	-305.37	1815.783	0	0	0
COMB85	C497	650/7.50	3.25	49.606	152.998	62.033	206.305	1787.365	0	0	0
COMB85	C497	650/7.50	3.157	49.606	152.998	52.113	-177.453	1788.067	0	0	0
COMB85	C497	650/7.50	3.015	49.606	152.998	45.939	-156.913	1790.342	0	0	0
COMB85	C497	650/7.50	1.675	49.606	152.998	-21.067	49.125	1802.11	0	-0.1	0.2
COMB85	C497	650/7.50	1.044	49.606	152.998	-52.405	-145.962	1810.168	0	-0.1	0.3
COMB85	C497	650/7.50	0.977	49.606	152.998	-55.703	155.825	1818.253	0	-0.1	0.3
COMB85	C497	650/7.50	0	49.606	152.998	-104.178	308.245	1816.856	0	0	0
COMB83	C497	650/7.50	3.25	165.508	45.946	207.122	64.17	3921.568	0	0	0
COMB83	C497	650/7.50	3.155	165.508	45.946	174.772	53.189	3924.577	0	0	0

COMB	Member Reference	Size	Position	Shear Major	Shear Minor	Moment Major	Moment Minor	Axial Force	Torsion	Deflection Major	Deflection Minor
COMB3	C497	650/750	3.016	165.598	45.846	151.865	46.828	3926.684	0	0	0
COMB3	C497	650/750	1.675	165.598	45.846	-70.104	-14.789	3947.201	0	-0.2	-0.1
COMB3	C497	650/750	1.043	165.598	45.846	-174.747	-43.838	3956.87	0	-0.3	-0.1
COMB3	C497	650/750	0.678	165.598	45.846	-195.596	-46.801	3957.066	0	-0.3	-0.1
COMB3	C497	650/750	0	165.598	45.846	-347.33	-91.748	3972.815	0	0	0
COMB4	C497	650/750	3.375	165.598	-45.814	207.122	-62.039	3921.909	0	0	0
COMB4	C497	650/750	3.158	165.598	-45.814	174.772	-43.085	3924.888	0	0	0
COMB4	C497	650/750	1.675	165.598	-45.814	-70.104	-14.698	3947.523	0	-0.2	0.1
COMB4	C497	650/750	1.043	165.598	-45.814	-174.747	-43.664	3952.151	0	-0.3	0.1
COMB4	C497	650/750	0.677	165.598	-45.814	-195.597	-46.681	3955.598	0	-0.3	0.1
COMB4	C497	650/750	0	165.598	-45.814	-347.33	-91.426	3973.157	0	0	0
COMB11	C497	650/750	3.375	167.123	45.904	210.056	62.125	1775.857	0	0	0
COMB11	C497	650/750	3.147	167.123	45.904	176.119	52.803	1777.645	0	0	0
COMB11	C497	650/750	3.016	167.123	45.904	154.197	46.782	1778.8	0	0	0
COMB11	C497	650/750	1.675	167.123	45.904	-69.075	-14.705	1790.803	0	-0.2	-0.1
COMB11	C497	650/750	1.039	167.123	45.904	-176.087	-43.938	1795.197	0	-0.3	-0.1
COMB11	C497	650/750	0.877	167.123	45.904	-196.453	-46.796	1795.743	0	-0.3	-0.1
COMB11	C497	650/750	0	167.123	45.904	-346.807	-91.654	1805.348	0	0	0
COMB12	C497	650/750	3.375	167.123	-45.855	210.056	-62.084	1776.179	0	0	0
COMB12	C497	650/750	3.147	167.123	-45.855	176.119	-52.773	1777.967	0	0	0
COMB12	C497	650/750	3.015	167.123	-45.855	154.071	-46.723	1795.328	0	0	0
COMB12	C497	650/750	1.675	167.123	-45.855	-69.875	-14.723	1795.924	0	-0.2	0.1
COMB12	C497	650/750	1.039	167.123	-45.855	-176.087	-43.865	1796.519	0	-0.3	0.1
COMB12	C497	650/750	0.877	167.123	-45.855	-196.518	-46.727	1797.069	0	-0.3	0.1
COMB12	C497	650/750	0	167.123	-45.855	-349.897	-91.53	1805.67	0	0	0



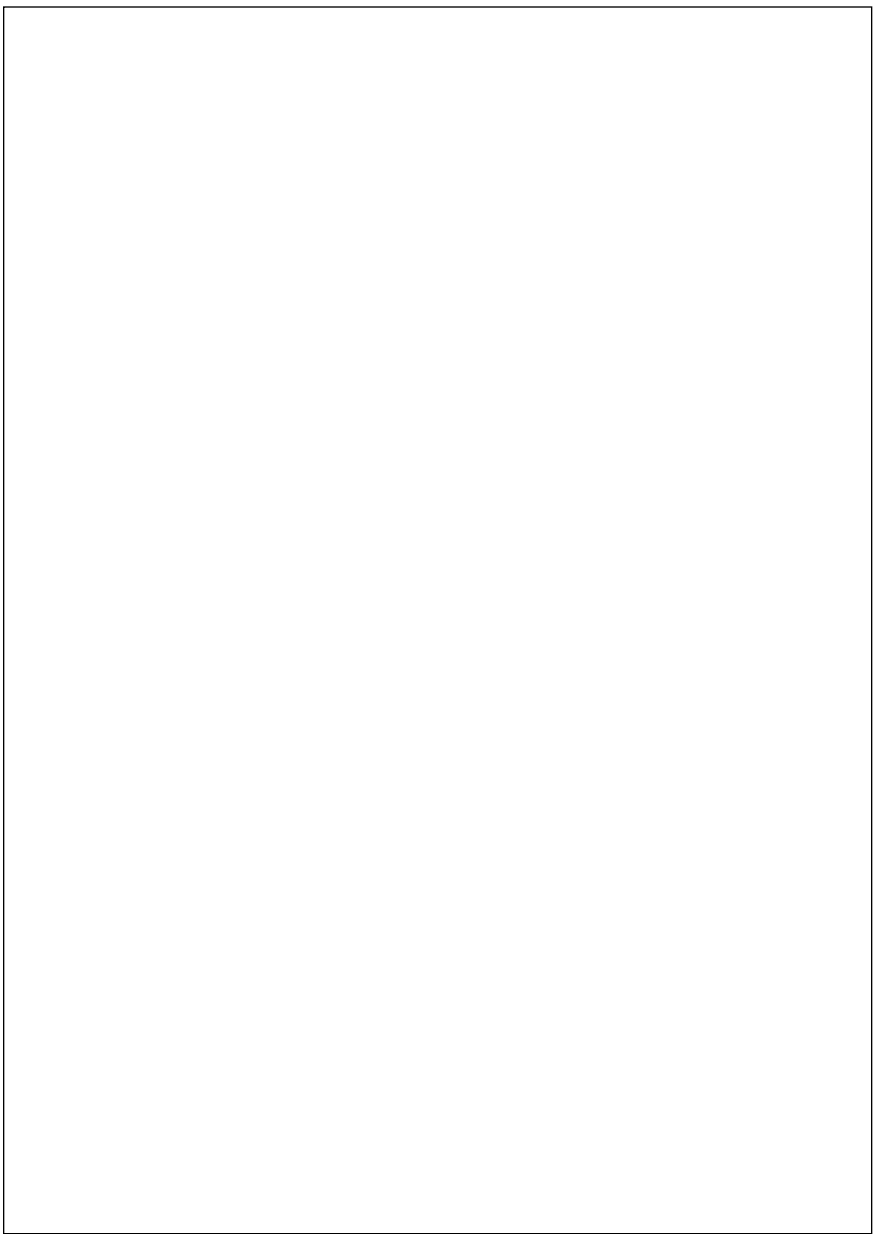
ETABS

LAMPIRAN TABEL BERAT BANGUNAN

Story	Diaphragm	Mass X	Mass Y	XCM	YCM	Cum Mass X	Cum Mass Y	XCCM	YCCM	XCR	YCR
Story10	D1	464.691	464.691	1.5	9	464.691	464.691	1022446.6	1022446.6	1.5	9
Story9	D1	557755.6	557755.6	1.5	9	1022446.6	1022446.6	1580202.2	1580202.2	1.5	9
Story8	D1	557755.6	557755.6	1.5	9	1580202.2	1580202.2	2137957.8	2137957.8	1.5	9
Story7	D1	557755.6	557755.6	1.5	9	2137957.8	2137957.8	2695713.4	2695713.4	1.5	9
Story6	D1	557755.6	557755.6	1.5	9	2695713.4	2695713.4	32853395.2	32853395.2	1.5	9
Story5	D1	587681.8	587681.8	1.5	9	32853395.2	32853395.2	3877653	3877653	1.5	9
Story4	D1	594257.8	594257.8	1.5	9	3877653	3877653	4471910.79	4471910.79	1.5	9
Story3	D1	594257.8	594257.8	1.5	9	4471910.79	4471910.79	50966168.59	50966168.59	1.5	9
Story2	D1	594257.8	594257.8	1.5	9	50966168.59	50966168.59	5660426.38	5660426.38	1.5	9
Story1	D1	594257.8	594257.8	1.5	9	5660426.38	5660426.38				

TSD

Story	Weight (kN)	Weight (kg)
Story10	4628.25	47198.627
Story9	5469.714	55755.605
Story8	5469.714	55755.605
Story7	5469.714	55755.605
Story6	5469.714	55755.605
Story5	5469.745	588350.252
Story4	5827.678	594257.774
Story3	5827.678	594257.774
Story2	5827.678	594257.774
Story1	5827.678	594257.774



LAMPIRAN TABEL GAYA LATERAL

ETABS

TABLE 5

TABLE: Shear Forces

Story	Output Case	Case Type	Step Type	Step Number	Location	P	VN	VN	T	MX	MV
						kN	kN/m	kN/m	kN/m	kNm/mm	kNm/mm
Story 5	Ey	LinStatic	Step By Step	3	Top	0	-2184.434	-294954671.13	26.21339564	0.00005887	
Story 5	Ey	LinStatic	Step By Step	3	Bottom	0	-2184.434	-294954671.13	35.16279238	0.00006355	
Story 4	Ez	LinStatic	Step By Step	1	Bottom	0	-23285304	0	20991447366	-0.001035	-35.16279328
Story 4	Ez	LinStatic	Step By Step	2	Top	0	-23285304	0	230652103	-0.00007939	-35.16279328
Story 4	Ez	LinStatic	Step By Step	2	Bottom	0	-23285304	0	230652103	-0.00007939	-35.16279328
Story 4	Ez	LinStatic	Step By Step	3	Top	0	-23285304	0	1882302630	-0.00006207	-35.16279328
Story 4	Ez	LinStatic	Step By Step	3	Bottom	0	-23285304	0	1882302630	-0.00006207	-35.16279328
Story 4	Ey	LinStatic	Step By Step	1	Top	0	0	-2123.3304	-3485745010	35.16279328	0.00007939
Story 4	Ey	LinStatic	Step By Step	1	Bottom	0	0	-2123.3304	-3485745010	35.16279328	0.00007939
Story 4	Ey	LinStatic	Step By Step	2	Top	0	0	-2123.3304	-3884320171	35.16279328	0.00007939
Story 4	Ey	LinStatic	Step By Step	2	Bottom	0	0	-2123.3304	-3884320171	35.16279328	0.00007939
Story 4	Ey	LinStatic	Step By Step	3	Top	0	0	-2123.3304	-3117171049	35.16279328	0.00007939
Story 4	Ey	LinStatic	Step By Step	3	Bottom	0	0	-2123.3304	-3117171049	35.16279328	0.00007939
Story 3	Ez	LinStatic	Step By Step	1	Top	0	-24102245	0	166203856	-0.00103	-44.45811490
Story 3	Ez	LinStatic	Step By Step	1	Bottom	0	-24102245	0	166203856	-0.00103	-44.45811490
Story 3	Ez	LinStatic	Step By Step	2	Top	0	-24102245	0	128612432	-0.001019	-44.45811490
Story 3	Ez	LinStatic	Step By Step	2	Bottom	0	-24102245	0	128612432	-0.001019	-44.45811490
Story 3	Ez	LinStatic	Step By Step	3	Top	0	-24102245	0	1952233471	-0.001044	-44.45811490
Story 3	Ez	LinStatic	Step By Step	3	Bottom	0	-24102245	0	1952233471	-0.001044	-44.45811490
Story 3	Ey	LinStatic	Step By Step	1	Top	0	-24102245	0	1615339761	-0.001028	-5.499902093
Story 3	Ey	LinStatic	Step By Step	1	Bottom	0	-24102245	0	1615339761	-0.001028	-5.499902093
Story 3	Ey	LinStatic	Step By Step	2	Top	0	-24102245	0	1410902963	0.001028	5.499902093
Story 3	Ey	LinStatic	Step By Step	2	Bottom	0	-24102245	0	1410902963	0.001028	5.499902093
Story 3	Ey	LinStatic	Step By Step	3	Top	0	-24102245	0	1410902963	0.001028	5.499902093
Story 3	Ey	LinStatic	Step By Step	3	Bottom	0	-24102245	0	1410902963	0.001028	5.499902093
Story 3	Ey	LinStatic	Step By Step	1	Top	0	-24544348	0	208991282	-0.00126	-5.499902093
Story 3	Ey	LinStatic	Step By Step	1	Bottom	0	-24544348	0	208991282	-0.00126	-5.499902093
Story 2	Ez	LinStatic	Step By Step	2	Top	0	-24544348	0	2428900111	-0.00126	-6.391675997
Story 2	Ez	LinStatic	Step By Step	2	Bottom	0	-24544348	0	2428900111	-0.00126	-6.391675997
Story 2	Ez	LinStatic	Step By Step	3	Top	0	-24544348	0	198802154	-0.00126	-6.391675997
Story 2	Ez	LinStatic	Step By Step	3	Bottom	0	-24544348	0	198802154	-0.00126	-6.391675997
Story 2	Ez	LinStatic	Step By Step	1	Top	0	0	-24543348	-5691652137	5.499902093	0.00126
Story 2	Ez	LinStatic	Step By Step	1	Bottom	0	0	-24543348	-5691652137	5.499902093	0.00126
Story 2	Ey	LinStatic	Step By Step	2	Top	0	0	-24543348	-1049817351	5.499902093	0.00126
Story 2	Ey	LinStatic	Step By Step	2	Bottom	0	0	-24543348	-1049817351	5.499902093	0.00126
Story 2	Ey	LinStatic	Step By Step	3	Top	0	0	-24543348	-3313486923	5.499902093	0.00126

TABLE: Shear Forces										
Story	Output Case	Case Type	Step Type	Step Number	Location	P	Vx	Vy	T	MN
						kN	kN/mm	kN/mm	kNm/mm	kNm
Story 2	Fly	LinStatic	Step By Step	3	Bottom	0	-24843.48	-331348692.3	639167997	0.001523
Story 1	Fly	LinStatic	Step By Step	1	Bottom	0	-24849.69	0	-222161720.4	-5.39167597
Story 1	Fly	LinStatic	Step By Step	1	Bottom	0	-24849.69	0	-222161720.4	-5.39167597
Story 1	Fly	LinStatic	Step By Step	2	Bottom	0	-24438192.4	-9.001751	-7.379014734	
Story 1	Fly	LinStatic	Step By Step	2	Bottom	0	-24849.69	0	-24438192.4	-9.001751
Story 1	Fly	LinStatic	Step By Step	3	Bottom	0	-24849.69	0	-24438192.4	-9.001751
Story 1	Fly	LinStatic	Step By Step	3	Bottom	0	-24849.69	0	-24438192.4	-9.001751
Story 1	Fly	LinStatic	Step By Step	1	Bottom	0	-24849.69	0	-24438192.4	-9.001751
Story 1	Fly	LinStatic	Step By Step	1	Bottom	0	-24849.69	0	-24438192.4	-9.001751
Story 1	Fly	LinStatic	Step By Step	2	Bottom	0	-24849.69	0	-24438192.4	-9.001751
Story 1	Fly	LinStatic	Step By Step	3	Bottom	0	-24849.69	0	-24438192.4	-9.001751
Story 1	Fly	LinStatic	Step By Step	1	Bottom	0	-24849.69	0	-24438192.4	-9.001751
Story 1	Fly	LinStatic	Step By Step	2	Bottom	0	-24849.69	0	-24438192.4	-9.001751
Story 1	Fly	LinStatic	Step By Step	3	Bottom	0	-24849.69	0	-24438192.4	-9.001751
Story 1	Fly	LinStatic	Step By Step	1	Bottom	0	-24849.69	0	-24438192.4	-9.001751
Story 1	Fly	LinStatic	Step By Step	2	Bottom	0	-24849.69	0	-24438192.4	-9.001751
Story 1	Fly	LinStatic	Step By Step	3	Bottom	0	-24849.69	0	-24438192.4	-9.001751

TSD

Level [m]	Reference	Shear Dir 1 [kN]		Shear Dir 2 [kN]	
		X	Y	X	Y
40,000	St. 10 (10)	491.136		491.136	
36,000	St. 9 (9)		978.817		978.817
32,000	St. 8 (8)			1380.244	
28,000	St. 7 (7)			1702.184	
24,000	St. 6 (6)			1951.728	
20,000	St. 5 (5)			2146.483	
16,000	St. 4 (4)			2282.529	
12,000	St. 3 (3)			2367.101	
8,000	St. 2 (2)			2410.376	
4,000	St. 1 (1)			2424.141	



KEMENTERIAN PENDIDIKAN, KEBUDAYAAN,
RISET DAN TEKNOLOGI
UNIVERSITAS SULTAN AGENG TIRTAYASA
FAKULTAS TEKNIK
Jalan Jendral Soedirman KM. 3 Kota Cilegon Provinsi Banten 42435
Telepon (0254) 376712 Laman: ft.unirta.ac.id

FORM PERSETUJUAN TANGGAL SIDANG

Nama : Rizki Ardiyansah
NIM : 3336210023
Jurusan : Teknik Sipil
Rencana Sidang : Seminar Proposal/ Seminar Hasil/ Sidang Akhir *)
Waktu Sidang :
Hari/Tanggal : 14 Jun 2025
Jam : 08.00 - 16.00

No	Nama Dosen	Pembimbing	Penguji	Tanda Tangan
1	Bachakri, S.T., M.Eng	I		Tanggal: <u>14/06/2025</u> Paraf:
2	Dr. Soelarso, S.T., M.Eng	II		Tanggal: Paraf:
3	Zulmahdi Darwis, S.T., M.Eng		I	Tanggal: <u>14/06/2025</u> Paraf:
4	Midia Rahma , S.Pd., M.T		II	Tanggal: Paraf:

Cilegon,
Koordinator TA

2025

Firyal Nabilah, S.T., M.Eng.
NIP. 199810252024062001

*) coret yang tidak perlu

Dipindai dengan CamScanner

Dipindai dengan CamScanner



KEMENTERIAN PENDIDIKAN, KEBUDAYAAN,
RISET DAN TEKNOLOGI
UNIVERSITAS SULTAN AGENG TIRTAYASA
FAKULTAS TEKNIK
Jalan Jendral Soedirman KM. 3 Kota Cilegon Provinsi Banten 42435
Telepon (0254) 376712 Laman: f.untirta.ac.id

FORM PENETAPAN DOSEN PEMBIMBING TA

Nama : Rizki Ardiansah
NIM : 3336210023
Program Studi : Teknik Sipil
Semester : Ganjil/Genap *) Tahun Akademik 2025
KBK : Struktur
Judul Tugas Akhir : PERBANDINGAN PERANCANGAN STRUKTUR GEDUNG SRPMK MENGGUNAKAN ETABS DAN TEKLA STRUCTURAL DESIGNER

No	Uraian	Nama Dosen	Paraf Dosen
1.	Pembimbing 1	1. Bachaki, S.T., M.Eng	1.
2.	Pembimbing 2	2. Dr. Soelarso, S.T., M.Eng	2.

Cilegon, 1/1/2025
Ketua KBK

Dr. Soelarso, S.T., M.Eng
NIP. 198010012008121004

*) coret yang tidak perlu

Dipindai dengan CamScanner

Dipindai dengan CamScanner



KEMENTERIAN PENDIDIKAN, KEBUDAYAAN,
RISET DAN TEKNOLOGI
UNIVERSITAS SULTAN AGENG TIRTAYASA
FAKULTAS TEKNIK
Jl. Jendral Soedirman Km. 3 Kota Cilegon Provinsi Banten 42435
Telepon (0254) 376712 Laman: ft.untirta.ac.id

Smp-01

SURAT PERMOHONAN SEMINAR PROPOSAL SKRIPSI

Yang bertanda tangan di bawah ini, saya mahasiswa Program Sarjana Jurusan Jurusan Teknik Sipil Fakultas Teknik Universitas Sultan Ageng Tirtayasa,

Nama Mahasiswa : Rizki Ardiyansah

Nomor Mahasiswa : 3336210023

Alamat Mahasiswa : Kawling kemuning, Ciracas, Serang, Banten

Dosen Pembimbing : Baehaki, S.T., M.Eng

dengan prestasi studi 3,8 sampai dengan tanggal: 5 Juni 2025 seperti terlampir. Dengan ini saya mengajukan permohonan untuk dapat menyelenggarakan seminar proposal skripsi.

Cilegon, 5 Juni 2025

Pemohon

Rizki Ardiyansah

PEMERIKSAAN (oleh Koord. Skripsi)

No	Perihal	Catatan
1.	Hasil studi kumulatif (≥ 116 sks dan IPK $\geq 2,00$)	143 SKS & IPK 3,8
2.	Nilai D maksimal 10% dari total SKS mata kuliah	0 %
3.	Kerja Praktek	
4.	Mengontrak mata kuliah Skripsi dalam KRS berjalan	
5.	Melakukan pendafuruan pada SISSTA (TA-01)	
6.	Draf proposal telah disetujui Dosen Pembimbing (TA-02) Salinan sebanyak 4 eksemplar masing-masing untuk pembimbing dan pengaji	
7.	Naskah seminar telah disetujui Dosen Pembimbing (TA-02) Salinan sebanyak 10-15 eksemplar untuk peserta sidang	
8.	Berita Acara Seminar Proposal (Smp-02)	
9.	Lembar saran & masukan (Smp-03)	
10.	Daftar hadir dosen (Smp-04)	
11.	Daftar hadir peserta seminar (Smp-05)	

Seminar tersebut dapat dilaksanakan, waktu dan tempat seminar harap dikonsultasikan dengan Dosen Pembimbing dan Dosen Pengaji.

Cilegon, 2025

Koordinator Skripsi

Eryaa Nabila, S.T., M.Eng.

NIP. 199810252024062001

Dibuat rangkap 2 untuk:
1. Mahasiswa ybs
2. Koord. Skripsi

* Pendaftaran Seminar Proposal Skripsi selambat-lambatnya 2 hari kerja sebelum seminar dilaksanakan.



KEMENTERIAN PENDIDIKAN, KEBUDAYAAN,
RISET DAN TEKNOLOGI
UNIVERSITAS SULTAN AGENG TIRTAYASA
FAKULTAS TEKNIK
Jl. Jendral Soedirman Km. 3 Kota Cilegon Provinsi Banten 42435
Telepon (0254) 376712 Laman: f.untirta.ac.id

Smp-02

**BERITA ACARA SEMINAR PROPOSAL SKRIPSI
JURUSAN TEKNIK SIPIL UNTIRTA**

Pada hari ini Rabu tanggal 5 bulan Juni tahun 2025, telah dilaksanakan Seminar Proposal Skripsi dari mahasiswa/mahasiswi, yaitu :

Nama : Rizki Ardiyansah

NPM : 3336210023

Judul Skripsi : PERBANDINGAN PERANCANGAN STRUKTUR GEDUNG SRPMX MENGGUNAKAN ETABS DAN TEKLA STRUCTURAL DESIGNER

Dosen pembimbing I : Baehaki, S.T., M.Eng

Dosen pembimbing II: Dr. Soelarso, S.T., M.Eng

Dosen Penguji I : Zulmahdi Darwis, S.T., M.Eng

Dosen Penguji II : Midia Rahma , S.Pd., M.T

Dari Seminar Proposial Skripsi ini dinyatakan bahwa mahasiswa tersebut telah dinyatakan MEMENUHI PERSYARATAN / TIDAK MEMENUHI PERSYARATAN untuk melanjutkan Penelitian (Skripsi) *

Demikian Berita Acara ini dibuat dan selanjutnya dapat dipergunakan sebagaimana mestinya.

Cilegon, 5 Juni 2025

Dosen Penguji I

Zulmahdi Darwis, S.T., M.Eng
NIP. 197706182008011005

Dosen Penguji II

Midia Rahma, S.Pd., M.T
NIP. 199601192024062002

Dosen Pembimbing I

Baehaki, S.T., M.Eng
NIP. 198705082015041001

Dosen Pembimbing II

Dr. Soelarso, S.T., M.Eng
NIP. 198010012008121004

Ket : *) coret yang tidak perlu
CC : Arsip

Dipindai dengan CamScanner

Dipindai dengan CamScanner



KEMENTERIAN PENDIDIKAN, KEBUDAYAAN,
RISET DAN TEKNOLOGI
UNIVERSITAS SULTAN AGENG TIRTAYASA
FAKULTAS TEKNIK
Jl. Jendral Soedirman Km. 3 Kota Cilegon Provinsi Banten 42435
Telepon (0254) 376712 Laman: ft.untirta.ac.id

Smp-03

SARAN / MASUKAN
SEMINAR PROPOSAL SKRIPSI

Hari/Tgl : Kamis, 5 Juni 2025 Waktu : 08.00 - Selesai
Nama Peserta : Rizki Ardiyansah NPM : 3336210023
Judul Skripsi : PERBANDINGAN PERANCANGAN STRUKTUR GEDUNG SRPMK
MENGGUNAKAN ETABS DAN TEKLA STRUCTURAL DESIGNER

NO	HAL	MASUKAN/SARAN/KOREKSI/DLL	KET.
-	-	awal halaman Wahalaan bien menggunakan kata keruuan kata sambungan dan Pengandian - .	/
-	-	latar belakang. - Dipergunakan alur dari penelitian <u>sebut</u> .	/

Cilegon, 5 Juni 2025
Dosen Pengaji I

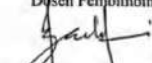
Zulmardi Darwis, S.T., M.Eng
NIP. 197706182008011005



SARAN / MASUKAN
SEMINAR PROPOSAL SKRIPSI

Hari/Tgl : Kamis, 5 Juni 2025 Waktu : 08.00 - Selesai
Nama Peserta : Rizki Ardiyansah NPM : 3336210023
Judul Skripsi : PERBANDINGAN PERANCANGAN STRUKTUR GEDUNG SRPMK
MENGGUNAKAN ETABS DAN TEKLA STRUCTURAL DESIGNER

NO	HAL	MASUKAN/SARAN/KOREksi/DLL	KET.
(1)		Pemelajaran tenis relatif pada ETABS & Tekla (shell / slab on beam)	✓
(2)		Tujuan diperjelas apa yang mau di tuju	✓
(3)		Rumusan masalah diperjelas	✓
(4)		Manfaat penelitian berdasarkan tujuan yg telah tercapai	✓
(5)		teori manufaktur yg dipelajari dalam proposal	✓

Cilegon, 5 Juni 2025
Dosen Pembimbing I

Bachaki, S.T., M.Eng
NIP. 198705082015041001



KEMENTERIAN PENDIDIKAN, KEBUDAYAAN,
RISET DAN TEKNOLOGI
UNIVERSITAS SULTAN AGENG TIRTAYASA
FAKULTAS TEKNIK
Jl. Jendral Soedirman Km. 3 Kota Cilegon Provinsi Banten 42435
Telepon (0254) 376712 Laman: f.untirta.ac.id

Smp-03

**SARAN / MASUKAN
SEMINAR PROPOSAL SKRIPSI**

Hari/Tgl : Kamis, 5 Juni 2025 Waktu : 08.00 - Selesai
Nama Peserta : Rizki Ardiyansah NPM : 3336210023
Judul Skripsi : PERBANDINGAN PERANCANGAN STRUKTUR GEDUNG SRPMK
MENGGUNAKAN ETABS DAN TEKLA STRUCTURAL DESIGNER

NO	HAL	MASUKAN/SARAN/KOREKSI/DLL	KET.
1.		stipulan tidak memakai tanda tanya (?)	

Cilegon, 5 Juni 2025
Dosen Pengaji II

Midia Rahma . S.Pd., M.T
NIP. 199601192024062002



DAFTAR HADIR SEMINAR PROPOSAL SKRIPSI

Hari/Tgl : Kamis, 5 Juni 2025
Waktu : 08.00 - Selasa
Nama Peserta : Rizki Ardiyansah
NPM : 3336210023
Judul Skripsi : PERBANDINGAN PERANCANGAN STRUKTUR GEDUNG SRPMK
MENGGUNAKAN ETABS DAN TEKLA STRUCTURAL DESIGNER

NO	NAMA	NIP	TANDA-TANGAN
1.	Bachaki, S.T., M.Eng	198705082015041001	1.
2.	Dr. Soclarso, S.T., M.Eng	198010012008121004	2.
3.	Zulimahdi Darwis, S.T., M.Eng	197706182008011005	3.
4.	Midia Rahma , S.Pd., M.T	199601192024062002	4.

Cilegon, 2025
Koordinator Skripsi

Firdaus Nabila, S.T., M.Eng.
NIP. 199810252024062001

Dipindai dengan CamScanner

Dipindai dengan CamScanner



DAFTAR HADIR SEMINAR PROPOSAL SKRIPSI

Hari/Tgl : Kamis, 5 Juni 2025

Waktu : 08.00 - Selesai

Nama Peserta : Rizki Ardiyansah

NPM : 3336210023

Judul Skripsi : PERBANDINGAN PERANCANGAN STRUKTUR GEDUNG SRPMK

MENGGUNAKAN ETABS DAN TEKLA STRUCTURAL DESIGNER

NO	NAMA	NPM	TANDA-TANGAN	KET.
1.	Tegar Andriansyah	3336200031	1.	
2.	Mohamed Syahron A	3336210093	2.	
3.	Ahmad Faizon Andriansyah	3336210050	3.	
4.	Deden Buwono	3336210020	4.	
5.	M. Farra A	3336210073	5.	
6.	M. Geria Ramadhan	3336210043	6.	
7.	Guru Sholahuddin	3336210000	7.	
8.	Akmel Alif Rifandi	3336210073	8.	
9.	Faithi Segiwulan	3336230001	9.	
10.	M. Ambari Rawon	3336220085	10.	
11.	Siti Dyah Hucyha	3336210057	11.	
12.	Hoppy Tracy A	3336210053	12.	
13.	Shinta Iman Abutais	3336210109	13.	
14.			14.	
15.			15.	

Cilegon, 2025
Koordinator Skripsi

Firyaal Nabila, S.T,M.Eng.
NIP. 199810252024062001



KEMENTERIAN PENDIDIKAN, KEBUDAYAAN,
RISET DAN TEKNOLOGI
UNIVERSITAS SULTAN AGENG TIRTAYASA
FAKULTAS TEKNIK
Jalan Jenderal Soedirman KM. 3 Kota Cilegon Provinsi Banten 42435
Telepon (0254) 376712 Laman: f1.untirta.ac.id

Smp-06

BUKTI PERBAIKAN PROPOSAL SKRIPSI

Nama Peserta : Rizki Ardiyansah
NPM : 3336210023

NO	HARI/ TANGGAL	PERIHAL	BAB	HALAMAN

Cilegon, 2025

Dosen Pembimbing II

Dr. Soelarto, S.T., M.Eng

NIP. 198010012008121004

Dipindai dengan CamScanner

Dipindai dengan CamScanner



KEMENTERIAN PENDIDIKAN, KEBUDAYAAN,
RISET DAN TEKNOLOGI
UNIVERSITAS SULTAN AGENG TIRTAYASA
FAKULTAS TEKNIK
Jalan Jenderal Soedirman KM. 3 Kota Cilegon Provinsi Banten 42435
Telepon (0254) 376712 Laman: ft.unifta.ac.id

Smp-06

BUKTI PERBAIKAN PROPOSAL SKRIPSI

Nama Peserta : Rizki Ardiyansah
NPM : 3336210023

NO	HARI/ TANGGAL	PERIHAL	BAB	HALAMAN
1.		Tujuan tidak memalai; tanda tanya (?)		

Cilegon, 2025

Dosen Pengaji II

Midia Rahma, S.Pd., M.T
NIP. 199601192024062002



BUKTI PERBAIKAN PROPOSAL SKRIPSI

Nama Peserta : Rizki Ardiyansah
NPM : 3336210023

NO	HARI/ TANGGAL	PERIHAL	BAB	HALAMAN

Cilegon,
Dosen Pengaji I

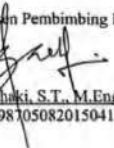
Zulmahdi Darwis, S.T., M.Eng
NIP. 197706182008011005



BUKTI PERBAIKAN PROPOSAL SKRIPSI

Nama Peserta : Rizki Ardiansah
NPM : 3336210023

NO	HARI/ TANGGAL	PERIHAL	BAB	HALAMAN
(1)		jenis pelat ETAB (Shell) & RSD (slab on beam)		
(2)		Rumusan Masalah (ganda, Simpangan, Detailing struktur)		
(3)		Tujuan menjawab rumusan masalah		
(4)		manfaat penelitian telah tujuan pencapaian		
(5)		teori diponcei untuk proposal		

Cilegon,
Dosen Pembimbing I

Bachuki, S.T., M.Eng
NIP. 198305082015041001



FORM BIMBINGAN TUGAS AKHIR

Nama Mahasiswa : Rizki Ardiyansah
NIM : 3336210023
Program Studi : Teknik Sipil
Semester : 8
Pembimbing I : Bachaki, S.T., M.Eng
Judul Tugas Akhir : PERBANDINGAN PERANCANGAN STRUKTUR GEDUNG SRPMK MENGGUNAKAN ETABS DAN TEKLA STRUCTURAL DESIGNER

No.	Tanggal	Topik Pembahasan	Paraf Pembimbing
1.	21/05/2025	Bimbingan PROPOSAL (tujuan, langkah, manajemen, kajian, perbaikan)	
2.	27/05/2025	Seminar PROPOSAL	
3.	13/06/2025	Revisi Bab 5 (Detailing)	
4.	16/06/2025	Bimbingan BAB 5 & 6	
5.	19/06/2025	Seminar Hasil	
6.	23/06/2025	Sidang Akhir	

Cilegon, 27 Mei 2025
Mahasiswa,

Rizki Ardiyansah
NIM. 3336210023

Mengetahui,
Pembimbing I Skripsi,

Bachaki, S.T., M.Eng
NIP. 198705082015041001



FORM BIMBINGAN TUGAS AKHIR

Nama Mahasiswa : Rizki Ardiyansah
NIM : 3336210023
Program Studi : Teknik Sipil
Semester : 8
Pembimbing II : Dr. Soelarso, S.T., M.Eng
Judul Tugas Akhir : PERBANDINGAN PERANCANGAN STRUKTUR GEDUNG SRPMK MENGGUNAKAN ETABS DAN TEKLA STRUCTURAL DESIGNER

No.	Tanggal	Topik Pembahasan	Paraf Pembimbing
1.	21/05/2025	Bimbingan Proposal (tambahin teori dasar)	
2	27/05/2025	Seminar Proposal	
3	13/06/2025	BAB 5 - 6	
4	16/06/2025	BAB 1 - 6	
5	19/06/2025	Seminar Hasil	
6	23/06/2025	Ridang Akhir	

Cilegon, 27 Mei 2025

Mahasiswa,

Rizki Ardiyansah
NIM. 3336210023

Mengetahui,
Pembimbing II Skripsi,

Dr. Soelarso, S.T., M.Eng
NIP. 198010012008121004

Dipindai dengan CamScanner

Dipindai dengan CamScanner



KEMENTERIAN PENDIDIKAN TINGGI, SAINS,
DAN TEKNOLOGI
UNIVERSITAS SULTAN AGENG TIRTAYASA
FAKULTAS TEKNIK
Jalan Jendral Soedirman Km. 03 Kota Cilegon Provinsi Banten
Laman: : www.ft.unirta.ac.id, email: ft.unirta.ac.id

Ahr-01

SURAT PERMOHONAN SIDANG AKHIR SKRIPSI

Yang bertanda tangan di bawah ini, saya mahasiswa Program Sarjana Jurusan Teknik Sipil Fakultas Teknik Universitas Sultan Ageng Tirtayasa,

Nama Mahasiswa : Rizki Ardiyansah

Nomor Mahasiswa : 3336210023

Alamat Mahasiswa : Ciracas, Serang, Banten

Dosen Pembimbing : Baehaki S.T., M.Eng

dengan prestasi studi 3,8 sampai dengan tanggal: 23 Juni 2025 seperti terlampir. Dengan ini saya mengajukan permohonan untuk dapat menyelenggarakan sidang akhir skripsi.

Cilegon, 23 Juni 2025

Pemohon,


Rizki Ardiyansah

PEMERIKSAAN (oleh Koord. Skripsi)

No	Perihal	Catatan
1.	Hasil studi kumulatif (≥ 139 sks dan IPK $\geq 2,00$)	147 sks, IPK 3,8
2.	Hasil studi kumulatif (nilai D $\leq 10\%$)	Nilai D 0 %
3.	Draf bimbingan telah disetujui Dosen Pembimbing (SIAKANG)	
4.	Daftar hadir dosen (Ahr-02)	
5.	Formulir saran & masukan (Ahr-03)	
6.	Formulir Penilaian Skripsi (Ahr-04)	
7.	Berita Acara Sidang Akhir (Ahr-05)	
8.	Formulir Rekapitulasi Penilaian Skripsi (Ahr-06)	
9.	Formulir Revisi Laporan Skripsi (Ahr-07)	
10.	Transkip Nilai Mahasiswa ditandatangani Mahasiswa	
11.	Form bukti pelaksanaan seminar hasil (Hsl-01 sampai Hsl-06)	
12.	Sertifikat TOEFL Lab. Bahasa FT. Untirta (Min. Score 425)	

Sidang Akhir tersebut dapat dilaksanakan, waktu dan tempat seminar harap dikonsultasikan dengan Dosen Pembimbing dan Dosen Pengaji.

Cilegon, 2025

Koordinator Skripsi,


Firyaal Nabila, S.T., M.Eng

NIP. 199810252024062001

Dibuat rangkap 3 untuk:

1. Mahasiswa ybs
2. Koordinator Skripsi

* Pendaftaran Sidang Akhir Skripsi selambut-lambatnya 5 hari kerja sebelum sidang dilaksanakan.



KEMENTERIAN PENDIDIKAN, KEBUDAYAAN,
RISET DAN TEKNOLOGI
UNIVERSITAS SULTAN AGENG TIRTAYASA
FAKULTAS TEKNIK

Ahr-02

Jalan Jenderal Soedirman KM. 3 Kota Cilegon Provinsi Banten 42435
Telepon (0254) 376712 Laman: ft.untirta.ac.id

DAFTAR HADIR SIDANG AKHIR SKRIPSI

Hari/Tgl : Senin, 30 Juni 2025

Waktu : 08.00 - Selesai

Nama Peserta : Rizki Ardiyansah

NPM : 3336210023

Judul Skripsi : PERBANDINGAN PERANCANGAN STRUKTUR GEDUNG

SRPMK MENGGUNAKAN ETABS DAN TEKLA STRUCTURAL DESIGNER

NO	NAMA	NIP	TANDA-TANGAN
1.	Baehaki, S.T., M.Eng	198705082015041001	1.
2.	Dr., Soelarso, S.T., M.Eng	198010012008121004	2.
3.	Zulmahdi Darwis, S.T., M.Eng	197706182008011005	3.
4.	Midia Rahma , S.Pd., M.T	199601192024062002	4.

Cilegon, 2025

Koordinator Skripsi

Firyaal Nabila, S.T.,M.Eng.
NIP. 199810252024062001



KEMENTERIAN PENDIDIKAN, KEBUDAYAAN,
RISET DAN TEKNOLOGI
UNIVERSITAS SULTAN AGENG TIRTAYASA
FAKULTAS TEKNIK

Jl. Jendral Soedirman Km. 3 Kota Cilegon Provinsi Banten 42435
Telepon (0254) 376712 Laman: ft.untirta.ac.id

Ahr-03

SARAN / MASUKAN
SIDANG AKHIR SKRIPSI

Hari/Tgl : Senin, 30 Juni 2025 Waktu : 08.00 - Selesai
Nama Peserta : Rizki Ardiyansah NPM : 3336210023
Judul Skripsi : PERBANDINGAN PERANCANGAN STRUKTUR GEDUNG SRPMK
MENGGUNAKAN ETABS DAN TEKLA STRUCTURAL DESIGNER

NO	HAL	MASUKAN/SARAN/KOREKSI/DLL	KET.

Cilegon, 30 Juni 2025
Dosen Pembimbing I

Baenaki, S.T., M.Eng
NIP. 198705082015041001



KEMENTERIAN PENDIDIKAN, KEBUDAYAAN,
RISET DAN TEKNOLOGI
UNIVERSITAS SULTAN AGENG TIRTAYASA
FAKULTAS TEKNIK

Jl. Jendral Soedirman Km. 3 Kota Cilegon Provinsi Banten 42435
Telepon (0254) 376712 Laman: ft.untirta.ac.id

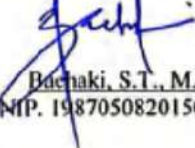
Ahr-03

SARAN / MASUKAN
SIDANG AKHIR SKRIPSI

Hari/Tgl : Senin, 30 Juni 2025 Waktu : 08.00 - Selesai
Nama Peserta : Rizki Ardiyansah NPM : 3336210023
Judul Skripsi : PERBANDINGAN PERANCANGAN STRUKTUR GEDUNG SRPMK
MENGGUNAKAN ETABS DAN TEKLA STRUCTURAL DESIGNER

NO	HAL	MASUKAN/SARAN/KOREKSI/DLL	KET.

Cilegon, 30 Juni 2025
Dosen Pembimbing I


Bachaki, S.T., M.Eng
NIP. 198705082015041001



KEMENTERIAN PENDIDIKAN, KEBUDAYAAN,
RISET DAN TEKNOLOGI
UNIVERSITAS SULTAN AGENG TIRTAYASA
FAKULTAS TEKNIK

Jl. Jendral Soedirman Km. 3 Kota Cilegon Provinsi Banten 42435
Telepon (0254) 376712 Laman: ft.unirta.ac.id

Ahr-03

SARAN / MASUKAN
SIDANG AKHIR SKRIPSI

Hari/Tgl : Senin, 30 Juni 2025 Waktu : 08.00 - Selesai
Nama Peserta : Rizki Ardiyansah NPM : 3336210023
Judul Skripsi : PERBANDINGAN PERANCANGAN STRUKTUR GEDUNG SRPMK
MENGGUNAKAN ETABS DAN TEKLA STRUCTURAL DESIGNER

NO	HAL	MASUKAN/SARAN/KOREksi/DLL	KET.
-		Latar belakang dibacakan Penelitian = sebelurnya. Awal kalimat vadah tidak menggunakan kata depan. pengaduan Sambung .	
-			

Cilegon, 30 Juni 2025
Dosen Pengaji I

Zulmahdi Darwis, S.T., M.Eng
NIP. 197706182008011005



KEMENTERIAN PENDIDIKAN, KEBUDAYAAN,
RISET DAN TEKNOLOGI
UNIVERSITAS SULTAN AGENG TIRTAYASA
FAKULTAS TEKNIK

Jl. Jendral Soedirman Km. 3 Kota Cilegon Provinsi Banten 42435
Telepon (0254) 376712 Laman: ft.untirta.ac.id

Ahr-03

SARAN / MASUKAN
SIDANG AKHIR SKRIPSI

Hari/Tgl : Senin, 30 Juni 2025 Waktu : 08.00 - Selesai
Nama Peserta : Rizki Ardiyansah NPM : 3336210023
Judul Skripsi : PERBANDINGAN PERANCANGAN STRUKTUR GEDUNG SRPMK
MENGGUNAKAN ETABS DAN TEKLA STRUCTURAL DESIGNER

NO	HAL	MASUKAN/SARAN/KOREKSI/DLL	KET.
		Cek, perbedaan rasio antara ETABS Tekla	

Cilegon, 30 Juni 2025
Dosen Pembimbing II

Dr. Soelarso, S.T., M.Eng
NIP. 198010012008121004



KEMENTERIAN PENDIDIKAN, KEBUDAYAAN,
RISET DAN TEKNOLOGI
UNIVERSITAS SULTAN AGENG TIRTAYASA
FAKULTAS TEKNIK
Jl. Jendral Soedirman Km. 3 Kota Cilegon Provinsi Banten 42435
Telepon (0254) 376712 Laman: ft.untirta.ac.id

Ahr-03

SARAN / MASUKAN
SIDANG AKHIR SKRIPSI

Hari/Tgl : Senin, 30 Juni 2025 Waktu : 08.00 - Selesai
Nama Peserta : Rizki Ardiyansah NPM : 3336210023
Judul Skripsi : PERBANDINGAN PERANCANGAN STRUKTUR GEDUNG SRPMK
MENGGUNAKAN ETABS DAN TEKLA STRUCTURAL DESIGNER

NO	HAL	MASUKAN/SARAN/KOREKSI/DLL	KET.
1.		Tambahkan kesimpulan pada setiap bahasan rumusan masalah terbaik lebih konservatif mana software ETABS dan TSD .	

Cilegon, 30 Juni 2025
Dosen Pengaji II

Midia Rahma, S.Pd., M.T
NIP. 199601192024062002



KEMENTERIAN PENDIDIKAN TINGGI, SAINS
DAN TEKNOLOGI
UNIVERSITAS SULTAN AGENG TIRTAYASA
FAKULTAS TEKNIK

Ahr-04

Jalan Jendral Soedirman Km. 03 Kota Cilegon Provinsi Banten
Laman: : www.ft.untirta.ac.id, email: ft.untirta.ac.id

DRAFT FORMAT PENILAIAN SIDANG AKHIR SKRIPSI

Judul Tugas Akhir: **PERBANDINGAN PERANCANGAN STRUKTUR GEDUNG SRPMK MENGGUNAKAN ETABS DAN TEKLA STRUCTURAL DESIGNER** Hari/Tgl :Senin, 30 Juni 2025 Waktu : 08.00 - Selesai Nama Mahasiswa : Rizki Andiyansah NPM : 3336210023

NO	ASPEK YANG DINILAI	PENGUASAAN (0-100)
A	METODOLOGI 1. Rumusan Masalah & Tujuan Penelitian 2. Prosedur Pengumpulan Data & Analisis Data 3. Interpretasi Hasil 4. Penarikan Kesimpulan
	Jumlah Nilai Rata-Rata Nilai (RA) = Jumlah Nilai / 4
B	ISI SKRIPSI 1. Relevansi Teori dan Pembahasan 2. Tata Tulis
	Jumlah Nilai Rata-Rata Nilai (RB) = Jumlah Nilai / 2
C	PROSES BIMBINGAN 1. Intensitas Bimbingan 2. Sikap Saat Bimbingan
	Jumlah Nilai Rata-Rata Nilai (RC) = Jumlah Nilai / 2
D	PROSES SIDANG AKHIR 1. Kemampuan Presentasi 2. Penggunaan Materi 3. Kemampuan Menjawab 4. Sikap Saat Presentasi
	Jumlah Nilai Rata-Rata Nilai (RD) = Jumlah Nilai / 4
NILAI AKHIR = (RA + RB + RC + RD)/4		

Cilegon, 30 Juni 2025

Pengaji II,

Midia Rahma , S.Pd., M.T
NIP. 199601192024062002



KEMENTERIAN PENDIDIKAN TINGGI, SAINS
DAN TEKNOLOGI
UNIVERSITAS SULTAN AGENG TIRTAYASA
FAKULTAS TEKNIK

Ahr-04

Jalan Jendral Soedirman Km. 03 Kota Cilegon Provinsi Banten
Laman: : www.ft.untirta.ac.id, email: ft.untirta.ac.id

DRAFT FORMAT PENILAIAN SIDANG AKHIR SKRIPSI

Judul Tugas Akhir: Hari/Tgl :Senin, 30 Juni 2025
PERBANDINGAN PERANCANGAN STRUKTUR Waktu : 08.00 - Selesai
GEDUNG SRPMK MENGGUNAKAN ETABS DAN Nama Mahasiswa : Rizki Ardiyansah
TEKLA STRUCTURAL DESIGNER NPM : 3336210023

NO	ASPEK YANG DINILAI	PENGUASAAN (0-100)
A	METODOLOGI 1. Rumusan Masalah & Tujuan Penelitian 2. Prosedur Pengumpulan Data & Analisis Data 3. Interpretasi Hasil 4. Penarikan Kesimpulan
	Jumlah Nilai Rata-Rata Nilai (RA) = Jumlah Nilai / 4
B	ISI SKRIPSI 1. Relevansi Teori dan Pembahasan 2. Tata Tulis
	Jumlah Nilai Rata-Rata Nilai (RB) = Jumlah Nilai / 2
C	PROSES BIMBINGAN 1. Intensitas Bimbingan 2. Sikap Saat Bimbingan
	Jumlah Nilai Rata-Rata Nilai (RC) = Jumlah Nilai / 2
D	PROSES SIDANG AKHIR 1. Kemampuan Presentasi 2. Penguasaan Materi 3. Kemampuan Menjawab 4. Sikap Saat Presentasi
	Jumlah Nilai Rata-Rata Nilai (RD) = Jumlah Nilai / 4
NILAI AKHIR = (RA + RB + RC + RD)/4		

Cilegon, 30 Juni 2025
Pembimbing II,

Dr., Soclarso, S.T., M.Eng
NIP. 198010012008121004



KEMENTERIAN PENDIDIKAN TINGGI, SAINS
DAN TEKNOLOGI
UNIVERSITAS SULTAN AGENG TIRTAYASA
FAKULTAS TEKNIK

Ahr-04

Jalan Jendral Soedirman Km. 03 Kota Cilegon Provinsi Banten
Laman: : www.ft.untirta.ac.id, email: ft.untirta.ac.id

DRAFT FORMAT PENILAIAN SIDANG AKHIR SKRIPSI

Judul Tugas Akhir: Hari/Tgl :Senin, 30 Juni 2025
PERBANDINGAN PERANCANGAN STRUKTUR Waktu : 08.00 - Selesai
GEDUNG SRIMK MENGGUNAKAN ETABS DAN Nama Mahasiswa : Rizki Ardiyansah
TEKLA STRUCTURAL DESIGNER NPM : 3336210023

NO	ASPEK YANG DINILAI	PENGUASAAN (0-100)
A	METODOLOGI 1. Rumusan Masalah & Tujuan Penelitian 2. Prosedur Pengumpulan Data & Analisis Data 3. Interpretasi Hasil 4. Penarikan Kesimpulan
	Jumlah Nilai Rata-Rata Nilai (RA) = Jumlah Nilai / 4
B	ISI SKRIPSI 1. Relevansi Teori dan Pembahasan 2. Tata Tulis
	Jumlah Nilai Rata-Rata Nilai (RB) = Jumlah Nilai / 2
C	PROSES BIMBINGAN 1. Intensitas Bimbingan 2. Sikap Saat Bimbingan
	Jumlah Nilai Rata-Rata Nilai (RC) = Jumlah Nilai / 2
D	PROSES SIDANG AKHIR 1. Kemampuan Presentasi 2. Penguasaan Materi 3. Kemampuan Menjawab 4. Sikap Saat Presentasi
	Jumlah Nilai Rata-Rata Nilai (RD) = Jumlah Nilai / 4
NILAI AKHIR = (RA + RB + RC + RD)/4		

Cilegon, 30 Juni 2025

Pengaji I,

Zulmahdi Durwis, S.T., M.Eng
NIP. 197706182008011005



KEMENTERIAN PENDIDIKAN TINGGI, SAINS
DAN TEKNOLOGI
UNIVERSITAS SULTAN AGENG TIRTAYASA
FAKULTAS TEKNIK

Ahr-04

Jalan Jendral Soedirman Km. 03 Kota Cilegon Provinsi Banten
Laman: : www.ft.unirta.ac.id, email: ft.unirta.ac.id

DRAFT FORMAT PENILAIAN SIDANG AKHIR SKRIPSI

Judul Tugas Akhir: Hari/Tgl :Senin, 30 Juni 2025
PERBANDINGAN PERANCANGAN STRUKTUR Waktu : 08.00 - Selesai
GEDUNG SRPMK MENGGUNAKAN ETABS DAN Nama Mahasiswa : Rizki Ardiansah
TEKLA STRUCTURAL DESIGNER NPM : 3336210023

NO	ASPEK YANG DINILAI	PENGUASAAN (0-100)
A	METODOLOGI 1. Rumusan Masalah & Tujuan Penelitian 2. Prosedur Pengumpulan Data & Analisis Data 3. Interpretasi Hasil 4. Penarikan Kesimpulan
	Jumlah Nilai Rata-Rata Nilai (RA) = Jumlah Nilai / 4
B	ISI SKRIPSI 1. Relevansi Teori dan Pembahasan 2. Tata Tulis
	Jumlah Nilai Rata-Rata Nilai (RB) = Jumlah Nilai / 2
C	PROSES BIMBINGAN 1. Intensitas Bimbingan 2. Sikap Saat Bimbingan
	Jumlah Nilai Rata-Rata Nilai (RC) = Jumlah Nilai / 2
D	PROSES SIDANG AKHIR 1. Kemampuan Presentasi 2. Penguasaan Materi 3. Kemampuan Menjawab 4. Sikap Saat Presentasi
	Jumlah Nilai Rata-Rata Nilai (RD) = Jumlah Nilai / 4
NILAI AKHIR = (RA + RB + RC + RD)/4		

Cilegon, 30 Juni 2025

Pembimbing,

Bachuki, S.T., M.Eng
NIP. 198705082015041001



KEMENTERIAN PENDIDIKAN TINGGI, SAINS
DAN TEKNOLOGI
UNIVERSITAS SULTAN AGENG TIRTAYASA
FAKULTAS TEKNIK
Jalan Jendral Soedirman Km. 03 Kota Cilegon Provinsi Banten
Laman: : www.fl.untirta.ac.id, email: fl.untirta.ac.id

Ahr-05

BERITA ACARA SIDANG SKRIPSI/TUGAS AKHIR

Pada hari ini, Tanggal 30 Bulan Juni Tahun 2025, bertempat di Ruang Sidang Fakultas Teknik Universitas Sultan Ageng Tirtayasa, telah dilaksanakan Ujian Sidang Skripsi/Tugas Akhir atas nama:

Nama Mahasiswa : Rizki Andiyansah
NIM : 3336210023
Pengguji : Ketua Sidang : Bachaki, S.T., M.Eng
Pengguji I : Zulmahdi Darwis, S.T., M.Eng
Pengguji II : Midia Rahma , S.Pd., M.T
Pengguji III : Dr. Soelarso, S.T., M.Eng
Judul Skripsi/Tugas Akhir : PERBANDINGAN PERANCANGAN STRUKTUR GEDUNG
SRPMK MENGGUNAKAN ETABS DAN TEKLA
STRUCTURAL DESIGNER
Waktu : 08.00 - Selesai
Catatan Kegiatan :

Tulus Bergoyang

Demikian Berita Acara ini dibuat dengan sebenar – benarnya untuk diketahui dan dipergunakan
sebagaimana mestinya

Cilegon, 30 Juni 2025

Ketua
Sidang : Bachaki, S.T., M.Eng
NIP. 198705082015041001

Pengguji 1 : Zulmahdi Darwis, S.T., M.Eng
NIP. 197706182008011005

Pengguji 2 : Midia Rahma , S.Pd., M.T
NIP. 199601192024062002

Pengguji 3 : Dr. Soelarso, S.T., M.Eng
NIP. 198010012008121004



KEMENTERIAN PENDIDIKAN TINGGI, SAINS,
DAN TEKNOLOGI
UNIVERSITAS SULTAN AGENG TIRTAYASA
FAKULTAS TEKNIK
Jalan Jendral Soedirman Km. 03 Kota Cilegon Provinsi Banten
Laman: : www.ft.untirta.ac.id, email: ft.untirta.ac.id

Ahr-06

**FORM REKAPITULASI PENILAIAN
UJIAN SIDANG SKRIPSI/TUGAS AKHIR**

Nama Mahasiswa : Rizki Ardiyansah
NIM : 3336210023
Judul Skripsi/Tugas Akhir : **PERBANDINGAN PERANCANGAN STRUKTUR
GEDUNG SRPMK MENGGUNAKAN ETABS DAN TEKLA
STRUCTURAL DESIGNER**
Waktu : 08.00 – Selesai

No	Pengguji	Rentang Nilai	Nilai
1	Baehaki, S.T., M.Eng	10 – 100	
2	Zulmahdi Darwis, S.T., M.Eng	10 – 100	
3	Midia Rahma , S.Pd., M.T	10 – 100	
4	Dr., Soelarso, S.T., M.Eng	10 – 100	
Total Nilai			
Nilai Huruf Mutu			

Cilegon, 30 Juni 2025

Ketua Sidang : Baehaki, S.T., M.Eng
NIP. 198705082015041001

Pengguji 1 : Zulmahdi Darwis, S.T., M.Eng
NIP. 197706182008011005

Pengguji 2 : Midia Rahma , S.Pd., M.T
NIP. 199601192024062002

Pengguji 3 : Dr., Soelarso, S.T., M.Eng
NIP. 198010012008121004



KEMENTERIAN PENDIDIKAN TINGGI, SAINS,
DAN TEKNOLOGI
UNIVERSITAS SULTAN AGENG TIRTAYASA
FAKULTAS TEKNIK

Ahr-07

Jalan Jendral Soedirman Km. 03 Kota Cilegon Provinsi Banten
Laman: : www.ft.unirta.ac.id email: ft.unirta.ac.id

FORM REVISI LAPORAN SKRIPSI/TUGAS AKHIR

Nama Mahasiswa : Rizki Ardiyansah
NIM : 3336210023
Tanggal Sidang : Senin, 30 Juni 2025
Waktu : 08.00 - Selesai
Judul Skripsi/Tugas Akhir : PERBANDINGAN PERANCANGAN STRUKTUR
GEDUNG SRPMK MENGGUNAKAN ETABS DAN TEKLA
STRUCTURAL DESIGNER

No	NAMA PENGGUJI	HAL YANG PERLU DIREVISI	PARAF
1	Baehaki, S.T., M.Eng	<i>- Penjelasan Craft Sprague - Pelajaran Over/Under - Non-penancang</i>	Tgl:
2	Zulmahdi Darwis, S.T., M.Eng		Tgl:
3	Midia Rahma , S.Pd., M.T		Tgl:
4	Dr., Soelarso, S.T., M.Eng		Tgl:

Cilegon, 30 Juni 2025

Ketua Pengguji

Baehaki, S.T., M.Eng
NIP.198705082015041001



KEMENTERIAN PENDIDIKAN, KEBUDAYAAN,
RISET DAN TEKNOLOGI
UNIVERSITAS SULTAN AGENG TIRTAYASA
FAKULTAS TEKNIK
Jalan Jenderal Soedirman KM. 3 Kota Cilegon Provinsi Banten 42435
Telepon (0254) 376712 Laman: ft.untirta.ac.id

Hsl-01

**BERITA ACARA SEMINAR HASIL SKRIPSI
JURUSAN TEKNIK SIPIL UNTIRTA**

Pada hari ini Jum'at tanggal 20 bulan Juni tahun 2025, telah dilaksanakan Seminar Hasil Skripsi dari mahasiswa/mahasiswi, yaitu :

Nama : Rizki Ardiyansah
NPM : 3336210023
Judul Skripsi : PERBANDINGAN PERANCANGAN STRUKTUR GEDUNG SRPMK MENGGUNAKAN ETABS DAN TEKLA STRUCTURAL DESIGNER

Dosen pembimbing I : Baehaki, S.T., M.Eng

Dosen pembimbing II: Dr., Soelarso, S.T., M.Eng

Dari Seminar Hasil Skripsi ini dinyatakan bahwa mahasiswa tersebut telah dinyatakan MEMENUHI PERSYARATAN / TIDAK MEMENUHI PERSYARATAN untuk melanjutkan ke Sidang Akhir *)

Demikian Berita Acara ini dibuat dan selanjutnya untuk dapat dipergunakan sebagaimana mestinya.

Cilegon,

2025

Dosen Pembimbing I

Baehaki, S.T., M.Eng
NIP. 198705082015041001

Dosen Pembimbing II

Dr., Soelarso, S.T., M.Eng
NIP. 198010012008121004

Ket : *) coret yang tidak perlu
CC : Arsip



KEMENTERIAN PENDIDIKAN, KEBUDAYAAN,
RISET DAN TEKNOLOGI
UNIVERSITAS SULTAN AGENG TIRTAYASA
FAKULTAS TEKNIK
Jalan Jenderal Soedirman KM. 3 Kota Cilegon Provinsi Banten 42435
Telepon (0254) 376712 Laman: ft.untirta.ac.id

Hsl-02

SARAN / MASUKAN
SEMINAR HASIL SKRIPSI

Hari/Tgl : Jum'at, 20 Juni 2025 Waktu : 09.00 - Selesai

Nama Peserta : Rizki Ardiyansah NPM : 3336210023

Judul Skripsi : PERBANDINGAN PERANCANGAN STRUKTUR GEDUNG SRPMK
MENGGUNAKAN ETABS DAN TEKLA STRUCTURAL DESIGNER

NO	HAL	MASUKAN/SARAN/KOREKSI/DLL	KET.

Cilegon, 2025
Dosen Pembimbing II

Dr. Soelarso, S.T., M.Eng
NIP. 198010012008121004

Dipindai dengan CamScanner

Dipindai dengan CamScanner



KEMENTERIAN PENDIDIKAN, KEBUDAYAAN,
RISET DAN TEKNOLOGI
UNIVERSITAS SULTAN AGENG TIRTAYASA
FAKULTAS TEKNIK
Jalan Jenderal Soedirman KM. 3 Kota Cilegon Provinsi Banten 42435
Telepon (0254) 376712 Laman: ft.untirta.ac.id

Hsl-02

SARAN / MASUKAN
SEMINAR HASIL SKRIPSI

Hari/Tgl : Jum'at, 20 Juni 2025 Waktu : 09.00 - Selesai

Nama Peserta : Rizki Ardiyansah NPM : 3336210023

Judul Skripsi : PERBANDINGAN PERANCANGAN STRUKTUR GEDUNG SRPMK
MENGGUNAKAN ETABS DAN TEKLA STRUCTURAL DESIGNER

NO	HAL	MASUKAN/SARAN/KOREKSI/DLL	KET.

Cilegon,
Dosen Pembimbing I
2025

Bachaki, S.T., M.Eng
NIP. 198705082015041001



KEMENTERIAN PENDIDIKAN, KEBUDAYAAN,
RISET DAN TEKNOLOGI
UNIVERSITAS SULTAN AGENG TIRTAYASA
FAKULTAS TEKNIK
Jalan Jenderal Soedirman KM. 3 Kota Cilegon Provinsi Banten 42435
Telepon (0254) 376712 Laman: f.untirta.ac.id

Hsl-03

DAFTAR HADIR SEMINAR HASIL SKRIPSI

Hari/Tgl : Jum'at, 20 Juni 2025
Waktu : 09.00 - Selesai
Nama Peserta : Rizki Ardiyansah
NPM : 3336210023
Judul Skripsi : PERBANDINGAN PERANCANGAN STRUKTUR GEDUNG SRPMK
MENGGUNAKAN ETABS DAN TEKLA STRUCTURAL DESIGNER

NO	NAMA	NIP	TANDA-TANGAN
1.	Bachaki, S.T., M.Eng	198705082015041001	1.
2.	Dr. Sociarso, S.T., M.Eng	198010012008121004	2.

Cilegon, 2025
Koordinator Skripsi

Fityan Nabila, S.T., M.Eng.
NIP. 199810252024062001



KEMENTERIAN PENDIDIKAN, KEBUDAYAAN,
RISET DAN TEKNOLOGI
UNIVERSITAS SULTAN AGENG TIRTAYASA
FAKULTAS TEKNIK
Jalan Jenderal Soedirman KM. 3 Kota Cilegon Provinsi Banten 42435
Telepon (0254) 376712 Laman: ft.untirta.ac.id

Hsl-04

DAFTAR HADIR SEMINAR HASIL SKRIPSI

Hari/Tgl : Jum'at, 20 Juni 2025
Waktu : 09.00 - Selesai
Nama Peserta : Rizki Ardiyansah
NPM : 3336210023
Judul Skripsi : PERBANDINGAN PERANCANGAN STRUKTUR GEDUNG SRPMK MENGGUNAKAN ETABS DAN TEKLA STRUCTURAL DESIGNER

NO	NAMA	NPM	TANDA-TANGAN	KET.
1.	Fitria Romadhoni	3336210054	1.	
2.	M. NAUFAL FARRAS M.	3336210023	2.	
3.	Andien Puspita Syahruqi	3336210071	3.	
4.	Sasikryu Apriyantongam Sumbolan	3336210028	4.	
5.	Zainan Guardians	3336210076	5.	
6.	Syahrul Arza Nuradieq	3336210019	6.	
7.	RENDY YUSTIAMA Y	3336210066	7.	
8.	Robby Firman H	3336210093	8.	
9.	Rizka A.	3336210021	9.	
10.	Aekmal Sulthon Al-Mubarak	3336210091	10.	
11.			11.	
12.			12.	
13.			13.	
14.			14.	
15.			15.	

Cilegon, 2025
Koordinator Skripsi

Firyaaq Nabila, S.T., M.Eng.
NIP. 199810252024062001



KEMENTERIAN PENDIDIKAN, KEBUDAYAAN,
RISET DAN TEKNOLOGI
UNIVERSITAS SULTAN AGENG TIRTAYASA
FAKULTAS TEKNIK

Hsl-05

Jalan Jenderal Soedirman KM. 3 Kota Cilegon Provinsi Banten 42435
Telepon (0254) 376712 Laman: ft.untirta.ac.id

BUKTI PERBAIKAN LAPORAN HASIL SKRIPSI

Nama Peserta : Rizki Ardiyansah
NPM : 3336210023

NO	HARI/ TANGGAL	PERIHAL	BAB	HALAMAN

Cilegon, 2025

Dosen Pembimbing I

Baehaki, S.T., M.Eng
NIP. 198705082015041001



KEMENTERIAN PENDIDIKAN, KEBUDAYAAN,
RISET DAN TEKNOLOGI
UNIVERSITAS SULTAN AGENG TIRTAYASA
FAKULTAS TEKNIK
Jalan Jenderal Soedirman KM. 3 Kota Cilegon Provinsi Banten 42435
Telepon (0254) 376712 Laman: ft.untirta.ac.id

Hsl-05

BUKTI PERBAIKAN LAPORAN HASIL SKRIPSI

Nama Peserta : Rizki Ardiyansah
NPM : 3336210023

NO	HARI/ TANGGAL	PERIHAL	BAB	HALAMAN

Cilegon, 23 - 06 - 2025
Dosen Pembimbing II


Dr. Soelarso, S.T., M.Eng
NIP. 198010012008121004

 Dipindai dengan CamScanner

 Dipindai dengan CamScanner



KEMENTERIAN PENDIDIKAN, KEBUDAYAAN,
RISET DAN TEKNOLOGI
UNIVERSITAS SULTAN AGENG TIRTAYASA
FAKULTAS TEKNIK
Jalan Jenderal Soedirman KM. 3 Kota Cilegon Provinsi Banten 42435
Telepon (0254) 376712 Laman: ft.untirta.ac.id

Hsl-06

BUKTI KEHADIRAN TELAH MENGIKUTI SEMINAR

Nama Peserta : Rizki Ardiyansah
NPM : 3336210023

SEMINAR YANG PERNAH DIIKUTI

NO	JUDUL	Mahasiswa	Paraf ¹
1	Analisis Produktivitas Pelajuaran Penumpang di Bandung Menggunakan Model Komparasi (Studi Kasus : Proyek Samudra Maritim Indonesia di Bojonegoro)	Radi Arya Rafaelliq (3336210072)	
2	Analisis Perbandingan preferensi penumpang pada moda transportasi travel dengan bus Alcap (Batu Karung - Bandung)	DIVA Galuh Rusnanti (3336210088)	
3	Analisis kebutuhan fasilitas pedestrian berbasis konsep Active living & Inklusif pada Kawasan kampus UIN Raden Intan Lampung	Muhammad Hendri Ardiansyah (3336210028)	
4	Analisis tingkat pelayanan stasiun Batu Ceper berdasarkan preferensi penumpang	Mulyanah (3336210007)	
5	Pengaruh Pemanfaatan Abu Sawit dan Semen Portland terhadap nilai CBR unsaturated (Studi Kasus : N. Baga Sokang, Ciamis, Kec. Sobrang)	Purwita Dwitika (3336210007)	
6	Stabilisasi Tanah Lempong Menggunakan Serbuk Limbah Karat dan terhadap nilai kuat tekan brin	Zahra Ananda Nur. F (3336210063)	
7	Stabilisasi tanah lempung menggunakan zerkut bayah dan semen portland terhadap nilai CBR unsaturated	MZAI Yunita Putri (3336210002)	
8	Stabilisasi tanah lempung menggunakan serbuk limbah karat dan terhadap nilai CBR unsaturated	Siti Djulia (3336210057)	
9	Analisis kebutuhan fasilitas perujang Halk BRT di koridor 1 Ciamis Karang	Hobby Firmansyah (3336210047)	
10	Evaluasi zona pelamat sekolah (2055) di Kabupaten Pandeglang	Faidi Hanefah (3336210062)	

¹ paraf pembimbing 1 skripsi



UNIVERSITAS SULTAN AGENG TIRTAYASA

Jalan Raya Jakarta KM. 04 Pakupatan Kota Serang - Banten, Telp. 0254-280330, Faks. (0254)-281254

TRANSKRIP AKADEMIK

Sementara

Diberikan Kepada : **RIZKI ARDIYANSAH**
 Tempat, Tanggal Lahir : JAKARTA, 08 Januari 2003
 Nomor Pokok Mahasiswa: 3336210023
 Tanggal Kelulusan :
 Program Pendidikan : (S1)
 Fakultas : TEKNIK
 Program Studi : TEKNIK SIPIL
 Terakreditasi B
 Nomor: 1824/SK/BAN-PT/Ak-PPJ/S/III/2022 Tanggal 30 Maret 2022

No	Nomor Kode dan Nama Matakuliah	Prestasi			
		HM	AM	K	M
1	UNI622101 Agama	A	4,00	2	8,00
2	TSP622105 Dasar-dasar Transportasi	B+	3,50	2	7,00
3	TEKSP622101 Fisika Dasar I	A-	3,75	2	7,50
4	TSP622103 Gambar Teknik	B+	3,50	2	7,00
5	TEKSP622105 Ilmu Lingkungan	A	4,00	2	8,00
6	TSP622107 Ilmu Ukur Tanah	A-	3,75	2	7,50
7	TEKSP622103 Kalkulus I	A	4,00	3	12,00
8	TEKSP622109 Praktikum Fisika Dasar	A	4,00	1	4,00
9	TEKSP622107 Statistik dan Probabilitas	B	3,00	2	6,00
10	TEKSP622102 Fisika Dasar 2	A	4,00	2	8,00
11	TEKSP622104 Kalkulus 2	A	4,00	3	12,00
12	TSP622106 Kesehatan dan keselamatan kerja	A-	3,75	2	7,50
13	TEKSP622106 Kimia Dasar	B	3,00	2	6,00
14	TSP622102 Konstruksi Bangunan	A-	3,75	2	7,50
15	UNI622102 Moderasi Beragama	A	4,00	2	8,00
16	TSP622110 Praktikum Gambar Teknik	A-	3,75	1	3,75
17	TSP622112 Praktikum Ilmu Ukur Tanah	A	4,00	1	4,00
18	TSP622104 Struktur Statis Tertentu	A-	3,75	3	11,25
19	TSP622108 Teknik Lalu Lintas	A	4,00	2	8,00
20	TSP622205 Bandar Udara	A-	3,75	2	7,50
21	TSP622201 Hidrologi	A	4,00	2	8,00
22	TEKSP622201 Kalkulus 3	A	4,00	2	8,00
23	TSP622211 Mekanika Bahan	A	4,00	3	12,00
24	TSP622209 Mekanika Fluida dan Hidrolik	A	4,00	2	8,00
25	TSP622213 Mekanika Tanah 1	A	4,00	2	8,00
26	TSP622203 Pemindahan Tanah Mekanis & Alat Berat	A	4,00	2	8,00
27	TSP622215 Praktikum Hidrolik	A	4,00	1	4,00
28	TSP622217 Praktikum Teknologi Beton	A-	3,75	1	3,75
29	TSP622207 Rel Kereta Api	A-	3,75	2	7,50
30	TSP622202 Drainase	A-	3,75	2	7,50

Nama: **RIZKI ARDIYANSAH**

Nomor Pokok Mahasiswa: **3336210023**

No	Nomor Kode dan Nama Matakuliah	Prestasi			
		HM	AM	K	M
31	TSP622204 Irrigasi dan Bangunan Air	A	4,00	2	8,00

32	TEKSP622202	Kalkulus 4	B+	3,50	2	7,00
33	TSP622212	Manajemen Proyek	A	4,00	2	8,00
34	TSP622210	Mekanika Tanah 2	A	4,00	2	8,00
35	TSP622206	Pemograman Teknik Sipil	A-	3,75	2	7,50
36	TSP622218	Praktikum Mekanika Tanah	A-	3,75	1	3,75
37	TSP622214	Struktur Beton 1	B	3,00	2	6,00
38	TSP622208	Struktur Statis Tak Tentu	A	4,00	3	12,00
39	TSP622216	Teknik Pantai	A-	3,75	2	7,50
40	TSP622303	Analisa Struktur Metode Matriks	A-	3,75	3	11,25
41	UNI622305	Bahasa Indonesia	B+	3,50	2	7,00
42	UNI622303	Kewarganegaraan	A	4,00	2	8,00
43	TEKSP622301	Metode Numerik	A-	3,75	2	7,50
44	UNI622301	Pancasila	A	4,00	2	8,00
45	TSP622301	Perencanaan Struktur Geometri Jalan	B+	3,50	2	7,00
46	TSP622305	Rekayasa Pondasi 1	B+	3,50	2	7,00
47	TSP622307	Struktur Baja 1	A	4,00	2	8,00
48	TSP622309	Struktur Beton 2	A	4,00	2	8,00
49	TSP622300	Kerja Praktek	A	4,00	2	8,00
50	UNI622304	Kuliah Kerja Mahasiswa (KKM)	A	4,00	3	12,00
51	TSP622312	Metodologi Penelitian	A-	3,75	2	7,50
52	TSP622304	Perencanaan Perkerasan Jalan	A-	3,75	2	7,50
53	TSP622314	Praktikum Perkerasan Jalan	A	4,00	1	4,00
54	TSP622306	Rekayasa Pondasi 2	C+	2,50	2	5,00
55	TSP622308	Struktur Baja 2	A	4,00	2	8,00
56	TSP622302	Struktur Kayu	A-	3,75	2	7,50
57	UNI622302	Studi Kebantenan	A	4,00	2	8,00
58	TSP622310	Teknik Gempa	A	4,00	2	8,00
59	UNI622401	English for Academic Purpose	A	4,00	3	12,00
60	UNI622405	Ketahanan Pangan	B+	3,50	2	7,00
61	TSP622403	Kewirausahaan Teknik Sipil	A-	3,75	2	7,50
62	TSP622410	Manajemen Lalu lintas	A	4,00	2	8,00
63	TSP622407	Metode Pelaksanaan Konstruksi	A-	3,75	2	7,50

Nama: RIZKI ARDIYANSAH

Nomor Pokok Mahasiswa: 3336210023

No	Nomor Kode dan Nama Matakuliah	Prestasi				
		HM	AM	K	M	
64	TSP622405	Pelabuhan	A	4,00	2	8,00
65	TSP622401	Perencanaan Struktur Gedung	A	4,00	2	8,00
66	TSP622412	Rencana Anggaran Biaya (RAB)	A-	3,75	2	7,50
67	TSP622414	Teknik Lalu lintas Lanjut	A	4,00	2	8,00
68	UNI622403	Teknologi dan Transformasi Digital	A-	3,75	2	7,50
69	TSP622404	Aspek Hukum Teknik Sipil	A	4,00	2	8,00
70	TSP622428	Building Information Modelling	A	4,00	2	8,00
71	TSP622402	Jembatan	B-	2,75	2	5,50
72	TSP622400	Skripsi	A	4,00	3	12,00
73	TSP622427	Struktur Beton 3	A	4,00	2	8,00
74	TSP622425	Teknologi Bambu dan Kayu	A	4,00	2	8,00
Judul:		Jumlah		150	571	
		Indeks Prestasi : 3,81				
		Predikat Kelulusan : Dengan Pujian				

Keterangan:

HM = Huruf Mutu AM = Angka Mutu

K = Kredit

M = Mutu.

Ketua Jurusan



Dr. Rindu Twidi Bethary, S.T., M.T
NIP 198312062019122001

Serang, 28 Juli 2025

NIP



UNIVERSITAS SULTAN AGENG TIRTAYASA
UPA BAHASA (LANGUAGE CENTER)

ENGLISH PROFICIENCY TEST (EPT)

SCORE RECORD

No.4075/EPT/PB/2025

NAME : RIZKI ARDIYANSAH
PLACE & DATE OF BIRTH : JAKARTA, 8 JANUARY 2003
SEX : MALE
NATIVE COUNTRY : INDONESIA
NATIVE LANGUAGE : INDONESIAN
SCORES : LISTENING : 47
STRUCTURE AND WRITTEN EXPRESSION : 46
READING : 43
TOTAL SCORE : 453

TEST DATE : 18/6/2025

THIS ENGLISH PROFICIENCY TEST (EPT) IS ADMINISTERED BY THE LANGUAGE CENTRE
OF SULTAN AGENG TIRTAYASA UNIVERSITY (UNTIRTA).

AUTHORISED BY:
THE HEAD OF LANGUAGE CENTRE



UDI SAMAN HUDI, PH.D.
NIP. 198304272008041001

JL. RAYA JET KM 4 JL. PERANCANGAN, PERANCANGAN,
KEC. CIPOCOK / KVA, KOTA SERANG, BANTEN - 42124

PERNYATAAN KEASLIAN SKRIPSI

Dengan ini saya sebagai penulis Skripsi berikut :

Judul : PERBANDINGAN PERANCANGAN STRUKTUR
GEDUNG SRPMK MENGGUNAKAN ETABS DAN
TEKLA STRUCTURAL DESIGNER

Nama : Rizki Ardiyansah

Nim : 3336210023

Fakultas/Jurusan : Teknik/Teknik Sipil

Menyatakan dengan sesungguhnya bahwa Skripsi tersebut di atas adalah benar-benar hasil karya asli saya dan tidak memuat hasil karya orang lain, kecuali dinyatakan melalui rujukan yang benar dan dapat dipertanggung jawabkan. Apabila dikemudian hari ditemukan hal – hal yang menunjukkan bahwa sebagian atau seluruh karya ini bukan karya saya, maka saya bersedia dituntut melalui hukum yang berlaku. Saya juga bersedia menanggung segala akibat hukum yang timbul dari pernyataan yang secara sadar dan sengaja akibat hukum yang timbul dari pernyataan yang secara sadar dan sengaja saya nyatakan melalui lembar ini.

Cilegon, Juni 2025



16%
SIMILARITY INDEX

13%
INTERNET SOURCES

5%
PUBLICATIONS

10%
STUDENT PAPERS

PRIMARY SOURCES

- | | | |
|----------|--|---------------|
| 1 | dspace.uii.ac.id
Internet Source | 2% |
| 2 | repository.its.ac.id
Internet Source | 2% |
| 3 | Submitted to University of Greenwich
Student Paper | 1% |
| 4 | e-jurnal.uajy.ac.id
Internet Source | 1% |
| 5 | Submitted to Universitas Diponegoro
Student Paper | 1% |
| 6 | Submitted to Universitas Bung Hatta
Student Paper | 1% |
| 7 | Submitted to Sriwijaya University
Student Paper | 1% |
| 8 | repository.unbari.ac.id
Internet Source | <1% |
| 9 | digilib.polban.ac.id
Internet Source | <1% |

10	repository.umsu.ac.id Internet Source	<1 %
11	123dok.com Internet Source	<1 %
12	Submitted to UM Surabaya Student Paper	<1 %
13	Submitted to Universitas 17 Agustus 1945 Surabaya Student Paper	<1 %
14	eskripsi.usm.ac.id Internet Source	<1 %
15	Submitted to Liverpool John Moores University Student Paper	<1 %
16	Submitted to Program Pascasarjana Universitas Negeri Yogyakarta Student Paper	<1 %
17	Submitted to Universitas Andalas Student Paper	<1 %
18	Submitted to Landmark University Student Paper	<1 %
19	repository.uir.ac.id Internet Source	<1 %
20	eprints.itn.ac.id Internet Source	<1 %

-
- 21 digilib.unila.ac.id <1 %
Internet Source
-
- 22 eprints.umsb.ac.id <1 %
Internet Source
-
- 23 Submitted to Escuela Superior Politécnica del Litoral <1 %
Student Paper
-
- 24 Submitted to Universitas Bengkulu <1 %
Student Paper
-
- 25 Submitted to Politeknik Negeri Bandung <1 %
Student Paper
-
- 26 Submitted to itera <1 %
Student Paper
-
- 27 Achmad Muzaki, Retno Trimurtiningrum. "Analisis Kinerja Struktur Gedung Perkantoran Pabrik Pupuk Gresik dengan Pembebanan Gempa Berdasarkan SNI 1726:2019 terhadap Simpangan Antar Lantai dan Pengaruh P-Delta", Jurnal Teknik Industri Terintegrasi, 2024 <1 %
Publication
-
- 28 Devi Setiawan, Syfa Apriliyani. "ANALISIS KARAKTERISTIK DAN TINGKAT PELAYANAN PEDESTRIAN DI KAWASAN PUSAT PERTOKOAN DI JALAN BRAGA BANDUNG <1 %

DENGAN METODE GREENSHIELDS", JURNAL MOMEN TEKNIK SIPIL, 2024

Publication

29	repository.ummat.ac.id	<1 %
30	eprints3.upgris.ac.id	<1 %
31	repository.usm.ac.id	<1 %
32	Submitted to Forum Perpustakaan Perguruan Tinggi Indonesia Jawa Tengah	<1 %
33	repositori.umsu.ac.id	<1 %
34	Submitted to Fakultas Ekonomi dan Bisnis Universitas Gadjah Mada	<1 %
35	Submitted to Universitas Merdeka Malang	<1 %
36	es.scribd.com	<1 %
37	Budi Rahmad Tangahu, Kasmat Saleh Nur, Mirzan Gani. "Analisis Pengaruh Faktor Modifikasi Respon SRPMK Struktur Gedung	<1 %

Beton Bertulang Pada Balok Kategori Desain Seismik D", Jurnal Teknik, 2019

Publication

-
- 38 Submitted to University of Massachusetts - Amherst <1 %
Student Paper
- 39 Submitted to Universitas Islam Indonesia <1 %
Student Paper
- 40 repository.unja.ac.id <1 %
Internet Source
- 41 Submitted to British University In Dubai <1 %
Student Paper
- 42 Submitted to Yonkers High School <1 %
Student Paper
- 43 Submitted to Rektorat (ADM) <1 %
Student Paper
- 44 www.scribd.com <1 %
Internet Source
- 45 erepository.uwks.ac.id <1 %
Internet Source
- 46 alarsymedia.com <1 %
Internet Source
- 47 mohammadagung62.blogspot.com <1 %
Internet Source

48	pdfcoffee.com Internet Source	<1 %
49	Submitted to Universitas Negeri Surabaya The State University of Surabaya Student Paper	<1 %
50	repository.unisma.ac.id Internet Source	<1 %
51	repository.uhn.ac.id Internet Source	<1 %
52	repository.podomorouniversity.ac.id Internet Source	<1 %
53	Submitted to North South University Student Paper	<1 %
54	Submitted to Sultan Agung Islamic University Student Paper	<1 %
55	Submitted to Konsorsium Perguruan Tinggi Swasta Indonesia Student Paper	<1 %
56	Ton Duc Thang University Publication	<1 %
57	Submitted to Universitas Jember Student Paper	<1 %
58	Submitted to Universitas Muhammadiyah Purwokerto Student Paper	<1 %

-
- 59 Submitted to University of Malaya <1 %
Student Paper
- 60 Eko Walujodjati, Ripan Maulidan, Risa Kristalia. "Pengaruh Perubahan Dimensi Kolom Pada Kapasitas Struktur Tahan Gempa Gedung Beton Bertulang", INTER TECH, 2024 <1 %
Publication
- 61 Alif Alif, Hence Michael Wuaten, Wahyu Mahendra Tyas Admaja. "Kajian Seismik Perencanaan Gedung Universitas 17 Agustus 1945 Samarinda Berdasarkan Sni 1726:2019", Kurva S : Jurnal Keilmuan dan Aplikasi Teknik Sipil, 2024 <1 %
Publication
- 62 Submitted to Syiah Kuala University <1 %
Student Paper
- 63 repositori.uma.ac.id <1 %
Internet Source
- 64 repository.unj.ac.id <1 %
Internet Source
- 65 "Seismic Behaviour and Design of Irregular and Complex Civil Structures III", Springer Science and Business Media LLC, 2020 <1 %
Publication
- 66 Submitted to Tabor College <1 %
Student Paper

-
- 67 Khoerul Fitrianto, Weimintoro Weimintoro. "Analisis Pembebanan Pada Upper Structure Gedung Rumah Sakit Rujukan Kelas B Dinas Kesehatan Provinsi Kalimantan Tengah, Desa Pembuang Hulu I, Kecamatan Hanau, Kabupaten Seruyan", JURNAL ENGINEERING, 2024 <1 %
Publication
-
- 68 Trias Widorini, Ngudi Hari Crista, Bambang Purnijanto. "Analisis Dinding Geser pada Desain Bangunan Gedung Bertingkat yang Tidak Beraturan", Teknika, 2021 <1 %
Publication
-
- 69 lib.unnes.ac.id <1 %
Internet Source
-
- 70 Lintang Enggartiasto, Faizal Mahmud, Kukuh Wisnuaji Widiatmoko. "EVALUASI TINGKAT KELAYAKAN STRUKTUR GEDUNG EKSISTING 8 LANTAI DI KOTA SEMARANG", Teknika, 2023 <1 %
Publication
-
- 71 text-id.123dok.com <1 %
Internet Source
-
- 72 "Indonesia", Walter de Gruyter GmbH, 2021 <1 %
Publication
-
- 73 Duy-Liem Nguyen, Duy-Ngo Tong. "Chapter 8 Bending Resistance of Steel-Bar Reinforced <1 %

**Concrete Beam with Extreme Compression
Zones Using High-Performance Composite",
Springer Science and Business Media LLC,
2018**

Publication

74	tekniksipil. umy.ac.id	<1 %
75	Submitted to LL Dikti IX Turnitin Consortium	<1 %
76	Submitted to UPN Veteran Jawa Timur	<1 %
77	Submitted to Universitas Negeri Surabaya	<1 %
78	Zulkifli Pakaya, Satar Saman, Moh. Faisal Dunggio. "GORONTALO FUTSAL CENTER DENGAN PENDEKATAN ARSITEKTUR METAFORA", JAMBURA Journal of Architecture, 2021	<1 %
79	eprints.umm.ac.id	<1 %
80	I Gede Gegiranang Wiryadi, I Putu Agus Putra Wirawan, I Ketut Diartama Kubon Tubuh, I Made Andika Candra. "LEVEL KINERJA STRUKTUR GEDUNG FAKULTAS PARIWISATA	<1 %

UNIVERSITAS UDAYANA BERDASARKAN FEMA
356 DAN ATC-40", Jurnal Teknik Gradien, 2022

Publication

-
- 81 Submitted to Walters State Community College <1 %
Student Paper
- 82 eprints2.undip.ac.id <1 %
Internet Source
- 83 perpus.usn.ac.id <1 %
Internet Source
- 84 Seong-Ha Jeon, Ji-Hun Park. "Seismic Fragility of Ordinary Reinforced Concrete Shear Walls with Coupling Beams Designed Using a Performance-Based Procedure", Applied Sciences, 2020 <1 %
Publication
- 85 repositori.unsil.ac.id <1 %
Internet Source
- 86 Tanjung Rahayu. "PERENCANAAN STRUKTUR GEDUNG PERKANTORAN 7 LANTAI", JURNAL MOMEN TEKNIK SIPIL, 2021 <1 %
Publication
- 87 "Aceleración de piso en edificios de hormigón armado estructurados en base a muros sometidos a excitaciones sísmicas", Pontificia Universidad Católica de Chile, 2012 <1 %
Publication

-
- 88 Bungale S. Taranath. "Wind and Earthquake Resistant Buildings - Structural Analysis and Design", CRC Press, 2019 **<1 %**
Publication
-
- 89 International Commission on Large Dams. "Twenty-Eighth International Congress on Large Dams: Vingt-Huitième Congrès International Des Grands Barrages", CRC Press, 2025 **<1 %**
Publication
-
- 90 Seto Ditosurya Aranta, Inggar Sephia Irawati. "Evaluasi Kinerja Struktur Pada Desain Struktural Gedung Rumah Sakit Dengan Metode Pushover", Jurnal Permukiman, 2025 **<1 %**
Publication
-
- 91 Submitted to Technological Institute of the Philippines **<1 %**
Student Paper
-
- 92 Submitted to Universidad Continental **<1 %**
Student Paper
-
- 93 Submitted to Universitas Islam Riau **<1 %**
Student Paper
-
- 94 Akbar Giynasiar Fatah, Ahmad Ridwan, Sigit Winarto. "Studi Perencanaan Bangunan Atas Gedung Permata Indah di Desa Kedung Dowo **<1 %**

Kabupaten Nganjuk", Jurnal Manajemen
Teknologi & Teknik Sipil, 2020

Publication

-
- 95 Listika Yusi Risnani. "KEMAMPUAN CALON GURU (PRE-SERVICE TEACHER) BIOLOGI MERENCANAKAN PEMBELAJARAN BERBASIS KETERAMPILAN PROSES SAINS (SCIENCE PROCESS SKILLS)", BIOEDUKASI (Jurnal Pendidikan Biologi), 2017 <1 %
Publication
-
- 96 Winston - Pontoh. "Goodwill No. 1 Vol. 4 Juni 2013", JURNAL RISET AKUNTANSI DAN AUDITING "GOODWILL", 2013 <1 %
Publication
-
- 97 repository.usu.ac.id <1 %
Internet Source
-
- 98 vdocuments.pub <1 %
Internet Source
-
- 99 Christina H. K. Mailangkay, Reky S. Windah, Servie O. Dapas. "Analisis dan Desain Balok Beton Bertulang Menggunakan Tabel Berdasarkan SNI 2847:2019", TEKNO, 2024 <1 %
Publication
-
- 100 F. M. M. Abdullah, A. M. L. N. Gunathilaka. "Structural Effect on Columns of Existing Low-Rise Buildings due to Installation of Rooftop <1 %

Towers - A Case Study", Engineer: Journal of the Institution of Engineers, Sri Lanka, 2025

Publication

-
- 101 I Putu Dion Arditya, Agus Aan Jiwa Permana, Ketut Agus Seputra. "Implementasi Metode Item-Based Collaborative Filtering dalam Rekomendasi Barang pada Aplikasi Mobile Go-BUMDes", MASALIQ, 2025 <1 %
Publication
-
- 102 O. Alshibami, S. Boussakta, M. Aziz. "Fast algorithm for the 2-D new Mersenne number transform", Signal Processing, 2001 <1 %
Publication
-
- 103 qdoc.tips <1 %
Internet Source
-
- 104 "Selected Articles from the 8th International Conference on Architecture and Civil Engineering", Springer Science and Business Media LLC, 2025 <1 %
Publication
-
- 105 Bilinskis. "Adapting Signal Processing to Sampling Nonuniformities", Digital Alias-free Signal Processing, 04/04/2007 <1 %
Publication
-
- 106 Remigildus Cornelis, Raynaldo Lewlelek, Andi Kumalawati. "Efek Rasio Ketinggian dan Luasan Lantai Setback Dua Arah Terhadap <1 %

Respons Dinamik Struktur", Jurnal Permukiman, 2023

Publication

- 107 Suci Fadhilah Ramadhani, Jonathan Saputra, Anis Rosyidah. "Efek Torsi Bangunan Terhadap Respon Struktur Pada Sistem Rangka Pemikul Momen Khusus dan Sistem Ganda", Dinamika Rekayasa, 2022 <1 %

Publication

Exclude quotes Off

Exclude bibliography On

Exclude matches Off